

B.I.G

86799

INSTITUTUL GEOLOGIC

DĂRI DE SEAMĂ
ALE
ȘEDINTELOR

VOL. LVI

1968 - 1969

1. MINERALOGIE - PETROLOGIE - GEOCHIMIE

86799



Institutul Geologic al României

BUCUREŞTI
1970



Institutul Geologic al României



Institutul Geologic al României



Institutul Geologic al României

INSTITUTUL GEOLOGIC

DĂRI DE SEAMĂ

A.I.E
ȘEDINȚELOR

VOL. LVI
(1968—1969)

1. MINERALOGIE — PETROLOGIE — GEOCHIMIE



BUCUREŞTI
1970



Institutul Geologic al României

SUMARUL ȘEDINȚELOR

Şedinţa din 24 ianuarie 1969

Prezidează : Prof. dr. docent D. Rădulescu.

— Papiu G. V., Minzatu Silvia, Iosof V. — Asupra caracterelor petrologice ale bauxitelor din munții Bihorului (regiunea văii Galbina) (p. 209).

— Kräutner H. G., Andăr P., Andăr Anca — Geochimia elementelor majore din zăcămîntul de sulfuri polimetale de la Fundul Moldovei (D.S. LVI/2).

— Antonescu E. — Cîteva date preliminare asupra conținutului palinologic al Triasicului inferior-Seisianului de la Bucca, munții Pădurea Craiului (D.S. LVI/3).

Şedinţa din 31 ianuarie 1969

Prezidează : M. Bleahu.

— Năstăseanu S., Bițoianu Cornelia — Devonianul de la Dreneaova (Banat) (D. S. LVI/4).

— Mureșan M. — Asupra prezenței Paleozoicului superior nemetamorfozat sub facies continental, în zona cristalino-mezozoică a Carpațiilor Orientali (D. S. LVI/4).

— Bulgăreanu V., Ionescu Olga — Unele considerații asupra deflației în nisipurile eoliane cu soluri îngropate din regiunea Valea lui Mihai (Cimpia pannonică) (D. S. LVI/5).

Şedinţa din 7 februarie 1969

Prezidează : M. Bleahu.

— Papiu G. V. — Litologia calcarelor mezozoice asociate bauxitelor din masivul Pădurea Craiului (Munții Apuseni) (p. 187).



— Semaka A.I. — Flora rhacto-liasică de la Mehadia (D. S. LVI/3).

— Mărgărit Gh., Mărgărit Maria — Observații asupra Tortonianului de pe valea Baneului (S de Baia-Mare) (D.S. LVI/4).

Sedința din 14 februarie 1969

Prezidează: M. Sandulescu.

— Mureșan M. — Asupra prezenței depozitelor mezozoice continentale pre-vracone—cenomaniene (albiene?) în cuprinsul unității epimetamorfice a masivului Poiana Ruscă (D. S. LVI/4).

— Antonescu E. — Studiul microflorei anisiene din valea Cristian (Brașov) (Mem. XIII).

— Dumitrescu C., Dumitrescu Florica — Considerații asupra substanței organice din unele roci bituminoase din țară (D. S. LVI/2).

Sedința din 21 februarie 1969

Prezidează: Prof. dr. docent D. Rădulescu.

— Zlatarovă-Top Lozana, Mureșan M. — Ivirile de minereuri manganifere metamorfozate din bazinul văii Borce (muntii Bistriței) (D.S. LVI/2).

— Mușat A.I., Vasilescu Olympia — Asupra prezenței unor elemente de rocă bazice în breciile tectonice de la Arșița-Iacobeni (Carpații Orientali) (p. 83).

Sedința din 28 februarie 1969

Prezidează: M. Sandulescu.

— Staneu Josefina, Popescu A. — Studii biostratigrafice și mineralogice asupra formațiunii tortoniene de pe versantul nord-vestic al masivului Poiana Ruscă (Carpații Meridionali) (D.S. LVI/4).

— Bucur I. — Unele observații privind flisul cretacic și paleogen dintr-o valea Uzului și Plăieșii (Căson) (D.S. LVI/5).

Sedința din 7 martie 1969

Prezidează: M. Sandulescu.

— Staneu Josefina — Otolitele sarmatiene de la Soceni (Banat — România) (D. S. LVI/3).

— Balintoni I. — Asupra caracterului blastic al microclinului din migmatitele oculare de lîngă Plaiu Foii (Bîrsa Groșetuui) (p. 21).

Şedinţa din 28 martie 1969

Prezidează: Prof. dr. docent D. Rădulescu.

— Peltz S., Peltz Margaretă — Contribuţii petrografice şi paleovulcanologice la cunoaşterea părţii de sud-vest a munţilor Gurghiu (p. 89).

— Gurău A., Roşu N., Bălaşa E., Bordea R. — Consideraţii privind structura şi geneza zăcămîntului Borzaş (Baia-Mare) (D.S. LVI/2).

Şedinţa din 4 aprilie 1969

Prezidează: M. Bleahu.

— Savu H. — Structura plutonului granitoid de Șușita şi relaţiile sale cu formaţiunile autohtonului danubian (Carpaţii Meridionali) (D.S. LVI/5).

— Stoicescu D. — Stratigrafia depozitelor pliocene din extremitatea vestică a bazinului Crişului Alb (D.S. LVI/4).

— Tocorgescu Maria, Olteanu R., Orăsanu Th.

— Prezenţa unor depozite cenomaniene în regiunea Pană-Sălişte-Lăpuşiu de Sus (culoarul Mureşului) (D.S. LVI/4).

— Olteanu R., Onescu C. — Asociaţii de ostracode sarmatiene şi pliocene din extremitatea vestică a bazinului Crişului Alb (D.S. LVI/3).

Şedinţa din 11 aprilie 1969

Prezidează: M. Sandulescu.

— Givulescu R., Vasilescu Al. — Date noi asupra florei pleistocene de la Doboşeni (bazinul Baraolt) (D.S. LVI/3).

— Kuskov M., Savu M., Popescu B., Moraru D. — Prezenţa Vraconianului superior peste gresile şi conglomeratele de Postăvaru (D.S. LVI/4).

— Balintoni I. — Relaţia dintre vulcano-carst şi epigeneză în zăcămîntul de sulf din munţii Călimani (D.S. LVI/2).

Şedință din 18 aprilie 1969

Prezidează: Prof. dr. docent D. Rădulescu.

- Stan N. — Migmatitele de pe valea Șușița Verde și valea Porcului (munții Vilcan) (p. 169).
- Nicolaescu V., Ionescu S. — Observații asupra flișului cretacic din partea de sud a munților Ciucului (D.S. LVI/5).
- Ticleanu N. — Contribuții la cunoașterea florei sarmatiene de la Tânășești-Rimetești (Vilcea) (D.S. LVI/3).

Şedință din 23 aprilie 1969

Prezidează: I. Huber-Panu.

- Huber-Panu I., Pandeleșcu C., Ene I., Borcea Maria — Cercetări privind posibilitățile de valorificare a gnaiselor oculare de pe valea Vilsanului (munții Făgăraș)¹.
- Georgescu B., Mușeteanu Cr., Borcea Maria — Cercetări privind prepararea minereului complex de la Lunceșoara-Bihor².
- Georgescu B., Mușeteanu Cr., Borcea Maria — Cercetări privind prepararea minereului auto-argentifer de la Văliug-Bozovici³.
- Pandeleșcu C., Polici Georgeata, Borcea Maria — Cercetări privind prepararea minereului de fier de la Băișoara⁴.
- Georgescu B., Dumitrescu Maria — Cercetări privind valorificarea minereului piritos complex de la Vișeu-Pișcul Caprei⁵.

Şedință din 25 aprilie 1969

Prezidează: M. Bleahu.

- Kräutner Florentina — Relațiile stratigrafice și tectonice din anticlinalul Bretila pe baza datelor furnizate de forajul din valea Rusaiă (Carpații Orientali) (D.S. LVI/5).
- Liteanu E., Feru M., Andrucescu I., Bandrabur T. — Cercetări geologice în regiunea Buzău de la contactul morfologic al colinelor cu câmpia⁶.
- Baltres A. — Microfaciesul calcarelor Cretacicului inferior alohton din partea meridională a munților Hăgimaș (D.S. LVI/3).

^{1, 2, 3, 4, 5} Se publică în *St. tehn. econ.* B 46, București.

⁶ Se publică în *St. tehn. econ.* E 9, București.



— Baltres A. — Notă asupra unui nou „chaetetid” Adaequoparietes schnorfae gen. nov. spec. nov. (D. S. LVI/3).

Sedintă din 29 aprilie 1969

Prezidează: M. Sandulescu.

— Bleahu M., Patrulius D., Tomescu Camelia, Borden Josefină, Panin Stefană, Rădan S. — Date noi asupra stratigrafiei depozitelor triasice din Munții Apuseni (D.S. LVI/4).

— Ștefănescu M., Ștefănescu Marina — Calpionelele din stratele de Sinaia de pe valea Izvorului (sud de orașul Sinaia) (D.S. LVI/4).

— Gurău A. — Structura în budine eşalonate a zăcământului Altin-Tepe — Movila Goală (Dobrogea centrală) (D.S. LVI/5).

— Antonovici Suzana, Borcea Maria — Contribuții la studiul semseyitului de la Baia-Mare (p. 11).

— Borcea Maria, Antonovici Suzana — Contribuții la studiul fulöppitului de la Baia-Mare (p. 51).

Sedintă din 5 mai 1969

Prezidează: N. Florea.

— Florea N. — Hartile de sol ale României la scară 1 : 1.000.000 și 1 : 500.000⁷.

Sedintă din 6 mai 1969

Prezidează: Prof. dr. docent D. Rădulescu.

— Savu H., Vasiliu Cecilia, Udrescu Constanța — Geochimia și petrologia ofiolitelor din prima etapă de evoluție a magmatismului inițial alpin din masivul Drobei (Munții Apuseni) (p. 219).

— Iliescu Violeta, Mureșan M. — Contribuții de ordin palinologic la cunoașterea stratigrafiei și vîrstei seriilor metamorfice din partea sudică a compartimentului Tisa-Ciuc (zona cristalino-mezozoică a Carpaților Orientali) (D.S. LVI/3).

— Vasilescu Al., Bandrabur T. — Ivirea de cristalin de la Racu-Ciuc și importanța ei paleogeografică (D.S. LVI/5).

— Diaconu M., Dragastan O. — Date noi asupra depozitelor triasice din Pădurea Craiului (Munții Apuseni) (D.S. LVI/4).

⁷ Se publică în *St. tehn. econ.* C. 19, București.

MINERALOGIE

CONTRIBUȚII LA STUDIUL SEMSEYITULUI DE LA BAIA-MARE

DE

SUZANA ANTONOVICI, MARIA BORCEA¹

Abstract

Contributions to the Study of the Semseyite from the Baia-Mare Region. This paper deals with a study carried out on some semseyite samples to be found in the collection of the Geological Institute of Romania. The mineral described proceeds from the Baia-Mare area (Baia Sprie and Herja mines). This study presents the results of the macro- and microscopical research concerning this mineral, indicating at the same time its paragenesis. The above study is likewise completed by drawings of crystallographic forms, a spectrum analysis and a comparative table showing the chemical analyses carried out on the semseyite crystal samples studied, as well as other analyses of various ore deposits both in Romania and abroad. The genetical considerations include the succession of the deposition of the minerals encountered within the semseyite paragenesis.

Din seria mineralelor descrise pentru prima dată din țara noastră, face parte și semseyitul. În nota de față vom reda unele caractere ale acestui mineral existent în mai multe eșantioane din colecția Institutului Geologic, înregistrate cu nr. L-19716, 19717, 19718, 19719.

Istorie. Mineralul de care ne ocupăm este cunoscut în numeroase zăcăminte atât din țara noastră cât și din alte țări. Pentru prima dată, semseyitul a fost descris de Krenner în 1930, care l-a identificat într-un material colectat de la mina Baia Sprie, Baia-Mare. În același an Semsey i-a dat denumirea actuală. În manuscrisul rămas de la Krenner s-au găsit desenele formelor cristalografice ale mineralului. Acestea sunt prezentate de Zimány în 1930.

¹ Comunicare în ședință din 29 aprilie 1989.

² Institutul Geologic, Sos. Kiseleff nr. 55, București.

În țara noastră semseyitul a fost găsit apoi în următoarele zăcăminte:

La Săcărîmb (Helke, 1934), în parageneză cu baritină, quart, nagyagit, silvanit, krennerit, hessit, petzit, stützit, altait, pirită, pirotină, marcasită, blendă, galenă, tetraedrit, calcopirită, bournonit, semseyit, jordanit, stibină, alabandină, arsen, realgar, auripigment, cinabru, minereu argentifer.

La Herja (Petrulin, 1934) semseyitul se găsește sporadic, în parageneză cu fizelyitul, jamesonitul, tetraedritul, freieslebenitul. Toate aceste minerale au fost identificate numai microscopic, sunt asociate cu cristale mici de quart și sunt fixate pe blendă, galenă, pirotină, pirită.

La Baia Borșa (Szöke, Steclaci, 1962) semseyitul (observat microscopic) apare asociat cu calcopirită și se prezintă în agregate sub formă de benzi alcătuite din lame subparalele. Semseyitul mulează cristalele de calcopirită, formând pe ele o crustă.

În „Mineralogia topografică a României”, Rădulescu, Dimitrescu (1966), pe baza unui bogat material bibliografic, consemnează numeroase informații privind caracterele fizice și chimice ale semseyitului și punctele de apariție în România ale acestui mineral.

Dintre lucrările cele mai recente asupra zăcămintelor în care apare și semseyitul amintim: lucrarea lui Wallenta (1957) asupra zăcămintului de la Schwarzwald și lucrarea lui Jambor (1967) asupra sulfo-sărurilor de la Mădoe.

Localizarea și studiul mineralului. Exemplarele de semseyit studiate de noi provin din zona minieră Baia-Mare; majoritatea de la mina Baia Sprie (20) și numai 5 de la mina Herja.

Semseyitul aparține grupei sulfo-sărurilor de plumb și anume subgrupei sulfo-antimonitilor și se formează în zăcăminte hidrotermale.

Forma de prezentare. În eșantioanele de la Baia Sprie studiate de noi semseyitul apare sub formă de aglomerări alcătuite din cristale tabulare și mai rar cristale izolate, de obicei fixate pe blendă, în mici druze existente în masa mineralizației. Blenda este mineralul predominant din aceste eșantioane. În proporții reduse se mai observă galenă, pirită, marcasită, jamesonit. Agregatele de semseyit și o parte din celealte minerale sunt uneori acoperite cu o pulbere galben-brună limonitică.

Eșantioanele de la Herja conțin aglomerări mai rare de cristale de semseyit în parageneză cu blendă, galenă, pirotină, sferosiderit, pirită.

Cristalele de semseyit au habitusul tabular idiomorf sau hipidiomorf și se dispun în grupuri ce formează coloane scurte ușor curbată sau aglomerări neregulate; unele aggregate au o dispoziție radiară. Dimensiunile cristalelor sunt cuprinse între 1–6 mmØ. Semseyitul cristalizează în sistemul monoclinic, clasa prismatică. Cele mai frecvente forme cristalografice întâlnite în materialul studiat de noi sunt: $a(100)$; $c(001)$; $p(111)$ și $s(113)$ și mai rar $q(221)$ (fig. 1, 2, 3, 4). Are o duritate redusă (2,5),

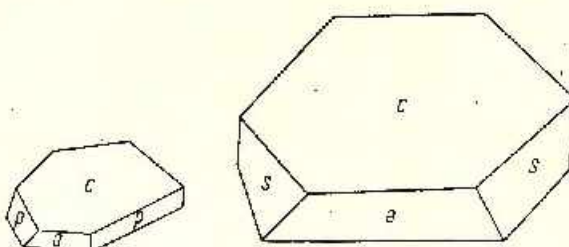


Fig. 1. — Forma cristalelor de semseyit: c (001); a (100); p (111).

Forme des cristaux de semseyite : c (001); a (100);
 p (111).

Fig. 2. — Forma cristalelor de semseyit: a (100); c (001); s (113). Forme des cristaux de semseyite :
 a (100); c (001); s (113).

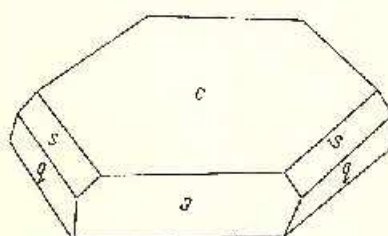


Fig. 3. — Forma cristalelor de semseyit: a (100); c (001); s (113); q (221).

Forme des cristaux de semseyite : a (100); c (001); s (113); q (221).

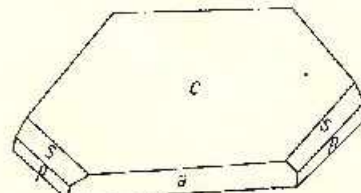


Fig. 4. — Forma cristalelor de semseyit: a (100); c (001); s (113); p (111).

Forme des cristaux de semseyite : a (100); c (001); s (113); p (111).

este casant, în special cristalele izolate se sfârșă ușor; culoarea semseyitului este cenușie închisă și în spărtură cenușiu-argintie, cu un pronunțat luciu metalic, urmă neagră și spărtura concoidală.

Compoziția chimică. Studiul chimic al semseyitului a fost făcut pentru prima dată de Sipőcz în anul 1886, care a stabilit și formula mineralului. După această dată posedăm mai multe studii chimice, ale căror rezultate le dăm mai jos într-un tabel comparativ.

Din materialul studiat de noi și anume din eșantionul L-19722/c am ales cristale curate de semseyit care au fost studiate chimic. Analiza chimică făcută de Iosof³ indică valori ale elementelor majore apropiate de conținuturile teoretice. În tabelul comparativ includem și rezultatele acestei microanalize chimice.

TABELUL 1

Zăcământul	Pb %	Sb %	Fe %	Ag %	SiO ₂ %	SO ₂ %	S %
Theoretic	53,29	27,45	—	—	—	—	19,26
I Baia Sprie	53,16	26,80	0,10	—	—	—	19,42
II Baia Sprie	55,00	28,00	—	—	—	—	17,00
III Ilverja	52,49	28,34	—	0,18	—	—	18,93
IV Cavnic	47,72	26,55	2,80	—	2,90	—	19,93
V Dealul Cruci	52,02	27,39	0,62	—	—	0,66	19,23
VI Wolfsberg (Harz)	51,84	28,62	—	—	—	—	19,42
VII Ocuro (Bolivia)	52,90	24,80	—	1,60	—	—	18,70

I, Sipőcz (Krenauer, 1930); II, Iosof (Antonovici, Borcea, 1969); III, Loecka (1925); IV, Koch (1957); V, Koch, Zsivny (1943); VI, Prior (Spencer, 1898); VII, Prior (Spencer, 1907).

Variatiile cantitative ale elementelor majore componente (Pb, Sb, S), ce se observă în tabelul de mai sus, se datorează caracteristicilor sulfo-sărurilor de a se hidroliza cu ușurință. În urma acestui fenomen sulful precipită și se depune sau este antrenat de apă sub formă de sulf coloidal sau se degajă ca SO₂, ceea ce determină o îmhogăjire în Pb și Sb (ex. II Baia Sprie). De asemenea fenomenul de hidroliză într-un mediu slab acid face posibilă depunerea bioxidului de siliciu sub formă coloidală în semseyitul din zăcământul de la Cavnic (ex. IV). Prezența fierului se explică prin spălarea de către apele acide (carbonatate) a celorlalte elemente din mineral (Pb, Sb) și înlocuirea lor cu fierul, depus în aceleași condiții.

Pentru cunoașterea elementelor minore ce intră în constituția semseyitului s-a făcut o analiză spectrală (4) pe cristale curate de semseyit alese din același eșantion ca și analiza chimică. Sunt primele date ce se

³ Aducem mulțumiri pentru efectuarea analizei chimice.

obțin în legătură cu elementele minore ale semseyitului. Rezultatele cantitative arată prezența următoarelor elemente : Pb >0,3% ; Sb >0,3% ; Ag >0,3% ; Mn >0,3% ; Zn >0,1% ; Hg = 0,1% ; Cu = 0,005% ; B = 0,001% ; Sn = 0,001%.

Aspectul microscopic. Microscopic semseyitul apare în cristale tabulare, larg dezvoltate sau granule neregulate, cu dimensiuni mai mici, care ajung pînă la 0,3 mm (pl. I, fig. 1). Are o culoare albă, foarte asemănătoare cu a galenei, cu o ușoară nuanță gălbui-verzuie și pleocroism observabil în imersie ; efectele de anizotropie puternice sunt foarte bine în evidență forma tabulară a cristalelor și sunt reprezentate prin culori de la cenușiu-verzuie-olive la brun-roșcat-violacee (pl. I, fig. 2). Nu se observă reflexe interne iar puterea de reflexie este asemănătoare cu a galenei. Are elivaj pronunțat după o singură direcție (001). Este asociat cu blenda în care pătrunde uneori sub formă de goluri cu contururi neregulate ; (pl. I, fig. 3) împreună cu galena se întâlnește mai rar. De asemenea cu pirită și marcasaită.

Deseori apare împreună cu jamesonitul care are aceeași culoare albă și pleocroism slab. Jamesonitul apare de regulă în cristale lungi, prismatice pînă la aciculare, aglomerate sub formă de rozete sau disperse. Cînd semseyitul formează agregate compacte cu jamesonitul, aceste două minerale se deosebesc mai greu ele avînd și un relief foarte apropiat (pl. II, fig. 1). În aceste cazuri efectele de anizotropie și mai precis atacul cu reactivi le poate diferenția (pl. II, fig. 2).

Cristalele de jamesonit au o anizotropie accentuată, cu culori de la crem-gălbui deschis la cenușiu-albăstrui închis și prezintă deseori un sistem de macle polisintetice pe una sau două direcții (pl. II, fig. 3).

Atacul cu HCl face ca semseyitul să devină imediat brun, în timp ce jamesonitul rămîne neatacat ; vaporii de HCl într-un timp mai îndelungat formează pe suprafața cristalelor de jamesonit un precipitat slab care se îndepărtează ușor. NO₂H ataca puternic ambele minerale înneagrindu-le.

Dimensiunile cristalelor de jamesonit sunt cuprinse între 0,5-1 mm lungime și 0,08-0,15 mm grosime. Jamesonitul apare în cantitate mai redusă decît semseyitul.

Mineralul de gangă identificat cu eșantioanele studiate este reprezentat prin cuart care apare fie sub formă de cristale bipiramidale de la 1-5 mm lungime depuse pe perotii geodelor din masa mineralizației, fie

⁴ Aducem mulțumiri pentru efectuarea analizei spectrale (I. Acasintovici de la Întreprinderea Geologică de Prospeții).

sub forma cristalelor mărunte și neregulate și a silicei criptocristaline ce impregnează și roca gazdă.

În oșantioanele de la Herja, silicea se asociază cu sideritul care are aspect concreționar și cu foarte puțin calcit.

Considerații genetice. După ultimele considerații genetice asupra zăcământului de la Baia Sprie, (Mănilici et al., 1965) se știe că există aici trei tipuri de mineralizație hipogenă: piroto-enpriferă, polimetalică și auro-argentiferă. Mineralele ce intră în parageneza amintită de noi fac parte din mineralizația polimetalică. Ele au fost precipitate într-un interval larg de temperatură ținând seama că fiecare are temperatură de depunere mult diferită față de celelalte. Se pot stabili mai multe generații de depunere:

O generație mai veche în care s-au depus: cuart, pirită, marcasită, blendă, galenă (depunere ce este favorizată de conținutul bogat în fier, sulf, cupru, zinc, plumb al soluțiilor);

O generație mai nouă în care s-au depus minerale cu un conținut ridicat de stibiu.

Pentru ultima fază de mineralizație este caracteristică creșterea conținutului în plumb care înlocuiește parțial stibiul (în această fază s-au depus jamesonitul și semseyitul) și la sfîrșitul acestei faze se ajunge să rămână numai mineralele bogate în plumb. Am putut stabili următoarea ordine de depunere a mineralelor: cuart, pirită, marcasită, blendă, galenă, jamesonit, semseyit.

Pentru zăcământul Herja se consideră perioada de mineralizație hipogenă caracterizată prin prezența pirotinei, care se știe că se formează la temperaturi foarte ridicate. Această perioadă începe cu pirită singură, apoi însoțită de blendă, pirotină, galenă și se încheie cu depuneri de sulfosăruri (semseyit, jamesonit). Deci se pot distinge trei faze de depuneri: fază sulfurilor de fier și a sulfurilor de zinc; fază sulfurilor de cupru și a celor de plumb; fază sulfo-sărurilor.

S-a putut stabili următoarea ordine de depunere a mineralelor: pirită, blendă, pirotină, marcasită, galenă, sferosiderit, jamesonit, semseyit.

BIBLIOGRAFIE

- Dana E. S. (1950) Minerals and how to study them. New York-London.
 Dana J. D., Dana E. S., Palache Ch., Berman H., Frondell C. (1946)
 The system of Mineralogy. Ed. a 7-a, London.

- Döelter G., Leitmeier H. (1926) Handbuch der Mineralchemie. Leipzig.
- Hawley J. E. (1952) Spectrographic studies of pyrite in gold mines. *Econ. Geol.* 47, New Haven.
- Heelke A. (1934) Die Goldteilur Erzlagerstätten von Săcărîmb (Nagyag) in Rumänien. *N. Jb. Min. Abt. A.* Stuttgart.
- (1938) Die jungvulkanischen Gold und Silber Erzlagerstätten des Karpathenbogens. *Arch. Lagerstättforsch.* 68, Berlin. *Arch.*
- Hintze C. (1955) Handbuch der Mineralogie. Berlin.
- Jambor L. J. (1967) New lead sulfantimonides from Madoc, Ontario. Part. II. Descriptions. *The Canadian Mineralogist*, 9, Ontario.
- Klockmann F. (1907) Lehrbuch der Mineralogie. Stuttgart.
- Koch S. (1957) Data on some rare sulphosalts. *Acta Szeged*, 10, Szeged.
- Krenner J. (1930) Mineralogische Mitteilungen (Semseyit von Felsobánya). *Cbl. Min. Abt. A.* Stuttgart.
- Manilici V., Giuşcă D., Stiopol Victoria (1965) Studiu zăcământului de la Baia Sprie. *Mem. Com. Geol.* VII. Bucureşti.
- Petrullan N. (1934) Étude chalcographique du gisement de plomb et de zinc de Herja. *An. Com. Géol.* XVI, Bucureşti.
- Ramdohr P. (1960) Die Erzminerale und ihre Verwachslungen. Berlin.
- Rădulescu D., Dimitrescu R. (1966) Mineralogia topografică a României, Ed. Acad. R.S. România, Bucureşti.
- Sipőcz L. (1886) Über die chemische Zusammensetzung einiger seltener Minerale aus Ungarn. *T.M.P.M.* 7, *Z.K.* 11, Budapest.
- Strunz H. (1957) Mineralogische Tabellen. Ed. a 3-a, Leipzig.
- Szöke Amalia, Steclaci Livia (1952) Reglunea Toroia-Ga-Baia Borșa. Ed. Acad. R.P.R. Bucureşti.
- Walenta K. (1967) Die Antimonführenden Gänge des Schwarzwaldes. *Jahrb. geol. Landesamt Baden-Württemberg*, 2, Berlin.
- Zepharowich V. (1859, 1873, 1893) Mineralogische Lexicon des Kaiserthums Österreich. Wien.

CONTRIBUTIONS À L'ÉTUDE DE LA SEMSEYTE DE BAIA-MARE

(Résumé)

La semseyite appartient à la série des minéraux décrits pour la première fois dans notre pays par Krenner qui l'a identifiée en 1930 dans un matériel de Baia Sprie (Baia-Mare). Plus tard, ce minéral a été décrit dans notre pays par : Heelke (1934) à Săcărîmb; Petrullan (1934) à Herja; Szöke, Steclaci (1952) à Baia Borșa. Elle a été aussi mentionnée par Rădulescu, Dimitrescu (1966). Dans d'autres pays, elle est citée par Walenta (1957) dans le minéral de Schwarzwald et Jambor (1967) dans les sulfosels de Madoc.

Les échantillons qui font l'objet de notre étude, ont été prélevés de Baia-Mare (mines Baia Sprie et Herja) et ils appartiennent à la collection de l'Institut Géologique.

La semseyite fait partie du groupe des sulfosels de plomb, notamment du sous-groupe des sulfoantimonites. Elle prend naissance dans des gisements hydrothermaux.

Dans les échantillons étudiés, la semseyite apparaît sous forme d'aggrégations, formées de cristaux tabulaires et plus rarement de cristaux isolés, fixés d'habitude sur la blende.

Les cristaux de semseyite ont un habitus tabulaire idiomorphe ou hippidiomorphe. Ils se disposent en groupes qui forment des colonnes courtes ou des aggrégations irrégulières. Les dimensions des cristaux varient entre 1 mm et 6 mm Ø. La semseyite cristallise dans le système monoclinique, classe prismatique. Les plus fréquentes formes cristallographiques, rencontrées dans le minéral que nous avons étudié sont les suivantes : a (100); c (001); p (111); s(113). Le minéral est gris foncé à éclat métallique et il a la dureté 2,5. Une analyse spectrale y indique la présence du Pb > 0,3 %; Sb > 0,3 %; Ag > 0,3 %; Mn > 0,3 %; Zn > 0,1 %; Hg = 0,01; Cu = 0,05%; B = 0,001%; Sn = 0,001%.

En faisant la micro-analyse chimique des cristaux purs de semseyite, on a trouvé les teneurs suivantes : Pb = 55%; Sb = 28%; S = 17%.

Au microscope, la semseyite présente des cristaux tabulaires ou des granules irréguliers à dimensions jusqu'à 0,3 mm. Elle est blanc—jaunâtre-verdâtre et présente un faible pléochroïsme. En nicols croisées (N+), la semseyite est grisâtre—verdâtre-olive jusqu'à brun-rougeâtre—violacé. Elle a un clivage prononcé à partir de 001.

Elle forme des associations avec la jamesonite, la blende, plus souvent la galène, le quartz et parfois avec la sidérite concrétionnaire (à Herja). Elle diffère de la jamesonite par les effets d'anisotropie et l'attaque aux réactifs.

Quant à la période de constitution de la semseyite, on peut dire qu'elle s'est déposée en même temps que les autres sulfosels dans une phase plus récente, caractérisée par le remplacement partiel de l'antimoine par le plomb. On a établi que la constitution des minéraux a eu lieu selon l'ordre suivant :

Baia Sprie : quartz, pyrite, marcassite, blende, galène, jamesonite, semseyite;

Herja : pyrrhotine, pyrite, marcassite, blende, galène, sphérosidérite, jamesonite, semseyite.

PLANŞA I

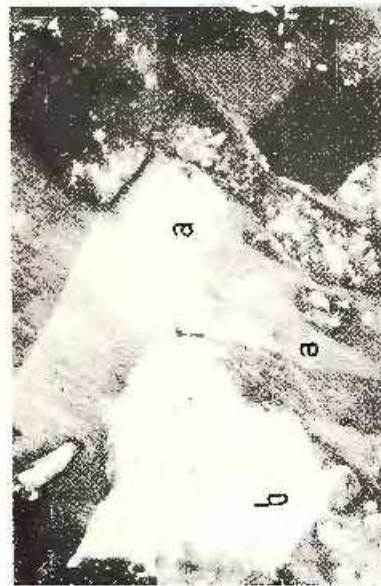
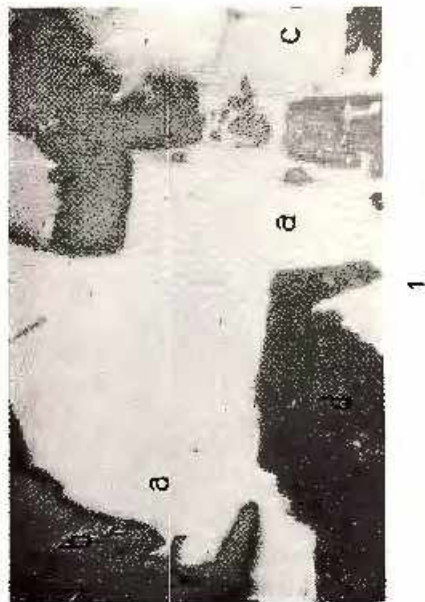


Institutul Geologic al României

PLANŞA I

- Fig. 1. — Cristale tabulare de semseyit divers orientate (a) ; blendă (b) ; galenă (c) ; gangă (d). N II; $\times 70$.
Cristaux tabulaires de semseyite diversement orientés (a) ; blonde (b) ; galène (c) ; gangue (d). N II; $\times 70$.
- Fig. 2. — Cristale de semseyit (a) ; gangă (b). N + ; $\times 70$.
Cristaux de semseyite (a) ; gangue (b). N + ; $\times 70$.
- Fig. 3. — Asociația semseyit-blendă-jamesonit. N II; $\times 140$.
Association semseyite-blende-jamesonite. N II; $\times 140$.





PLANŞA II

Fig. 1. — Jamesonit (a); semseyit (b). N II; x 140.

Jamesonite (a); semseyite (b). N II; x 140.

Fig. 2. — Jamesonit (a); semseyit (b). N +; x 100.

Jamesonite (a); semseyite (b). N +; x 100.

Fig. 3. — Jamesonit (a). Macle polisintetice pe una sau două direcții. N +; x 100.

Jamesonite (a). Macles polysynthétiques suivant une ou deux directions. N+ ; x 100.





2



3



i

MINERALOGIE

ASUPRA CARACTERULUI BLASTIC AL MICROCLINULUI DIN
MIGMATITELE OCULARE DE LÎNGĂ PLAIU FOII (BÎRSA GRO-
SETULUI)¹

de

ION BALINTONI²

Abstract

Cu the Blastic Character of the Microcline within the Augen Migmatite near the Plaiu Foii (Bîrsa Groșetului) Area. The analysis of the relationship between the microcline and the other minerals included in the rock leads to the conclusion that its crystallization as megablasts took place lately, being synchronous with the retro-morphism of the series which comprises it. Its blastasy occurred under hydrothermal conditions, the zone with migmatite corresponding to the deep discontinuity planes through which watery, compact, supracritical fluids rich in dissolved feldspathic material, have percolated.

Gnaisele oculare interstratificate în paragnaisele biotitice cu clorit de pe Bîrsa Groșetului, lîngă cabana Plaiu Foii, constituie trei intercalări: prima, lată de 80 m este deschisă în versantul drept al Bîrsei Tămașului la cca 200 m amonte de confluența cu Bîrsa Groșetului, o a doua de grosime apropiată se găsește deasupra cabanei Plaiu Foii, formind stîncăria abruptă din versantul stîng al Bîrsei Groșetului, iar o a treia, mai îngustă, aflorează în versantul drept al acesteia, amonte de precedenta. Limitele între gnaisele oculare și paragnaise sunt tranșante, microclinul fiind absent în ultimele chiar la 50 cm de contact. Ochiile de microclin, lenticulari, ating 10 cm în diametru, obînuind 1-3 cm, în unele porțiuni ale benzilor răindu-se pînă la dispariție, spre a se trece la gnais microclinic cu textură rubanată (lit-par-lit), clasificat de M e h n e r t (1962) la migmatitele cu textură stromatitică (stratificată).

¹ Comunicare în ședință din 7 martie 1969.

² Universitatea București, Bdul N. Bălcescu nr. 1, București.

Istorie

Geneza gnaiselor oculare din Făgăraș, ca parte a complexului gnaistic purtător de feldspat potasic pe baza căruia a fost separată seria do Cumpăna, a preocupat majoritatea geologilor ce au lucrat în regiune. Datele aduse în favoarea diverselor păreri fiind puține și echivoce, s-au emis toate ipotezele genetice posibile, fără să se impună vreuna hotărîtoare. Mrazec (1930) reluând părerile sale mai vechi (1897) susține ipoteza magmatică pentru gnaisele de Cozia și Cumpăna, pe care le clasificase la grupul I cristalin, ipoteză adoptată de M. Reinhard (1906), Murgoci (1923), Schmidt (1930), Stroockisen (1931), principalul lor argument fiind compoziția chimică și mineralologică a gnaiselor de Cumpăna și Cozia identică granitelor. Ghikă-Budești consideră aportul cristalizat dintr-un fluid hidato-pneumatogen porimagnetic (1938) sau mediu dispers neprecizați (1942). Ideile sale au ca substrat noile orientări teoretice pe plan internațional, precum și necesitatea explicării unor caractere textural-structurale în genere nediscutate anterior. Manili (1955) se raliază primii păreri a lui Ghikă-Budești cu privire la starea fizică a mediului de aport, dar originea lui ar fi legată de mișcări orogenetice, adică de diferențierea metamorfică, cum se prezizează în 1966 (Gherasi et al.). Dossila-Codarcea susține pentru prima oară originea sedimentară a seriei gnaisice cu feldspat potasic din nord-vestul munților Sebeș (1962), extinsă și pentru Făgăraș (1966) și acceptată de Gherasi et al. (1966) pentru gnaisele oculare, ocelare și rubanate de la exteriorul zonei de Păpușa-Voinești sens restrins. Pentru gnaisele microclinice din zona de Cumpăna-Holbaș Dimitrescu (1964) reia ipoteza metasomatică a lui Ghikă-Budești, considerindu-le puse în loc prin înaintarea unui front metasomatic (E. Wegmann), ce a schimbat chimismul rocilor în sensul lui Lapadu-Hargues. Totuși, nici ipoteza injectiei de topituri silicatace magmatische sau anatectice nu este complet abandonată, fiind discutată de Dumofte (1967) și într-o serie de rapoarte ale prospectorilor, spre exemplu Pitulea, Arion⁴ și Arion et al.⁵. Ca vîrstă, toți autorii admit complexul gnaistic sincron cu metamorfitele care îl conțin, seria de Cumpăna (in-

⁴ G. Pitulea, M. Arion. Raport geologic asupra prospecțiunilor pentru nichel în regiunea VL Ghișu-V. Cheii (bazinul Vărsanului). 1966. Arh. Com. Stat. Geol. București.

⁵ M. Arion, Gh. Popa, N. Ceașu, A. Andrei, V. Teodorceanu. Raport geologic asupra prospecțiunilor pentru minereuri neferoase în regiunea bazinului Topologul-V. Capra (munții Făgăraș). 1968. Arh. Com. Stat. Geol. București.

clusiv gnaisele de Cozia) fiind în general crezută ca cea mai veche din Făgăraș, constituind axa geologică a masivului și fundamentul celorlalte serii (Dimitrescu, 1963).

Considerații de petrografie și petrogeneză

Gnaisele oculare de la Plaiu Foii au textură pronunțat sistoasă, cauzată de mici secrete în fișii paralele ce mulează ochii de microclin, ușor lenticulari, cu diametrul mare în planul de sistozitate. În raport cu microclinul textura s-a numit oculară, deși ochii de microclin fiind obișnuit monominerali, este vorba de o structură. Parogeneza dată în ordinea aproximativă a freevenței include: microclin, quart, oligoclaz, muscovit, biotit, albit, clorit, almandin, clinzoizit, titanit, apatit, zircon, ortit, oxizi de Fe. Gnaisele oculare găsindu-se interstratificate în paragnaisele biotitice cu clorit și având prin urmare istoriile întrepătrunse, am urmărit asemănările și deosebirile dintre ele. Calitativ, parogeneza gnaiselor oculare are în plus microclin și ortit; cantitativ, considerind celelalte minerale, cloritul este sporadic în raport cu biotitul. Relațiile reciproce dintre mineralele paragenezei fără microclin și ortit, nu se deosebesc esențial de cele din paragnaise; de aceea raționamentele aplicate la explicarea genezei paragnaiselor pot fi extrapolate într-o primă aproximatie și în cazul gnaiselor oculare și anume: parogeneza este în stare de dezechilibru fizico-chimic, deoarece oligoclazul cu aproximativ 20% An coexistă cu albit și clorit; cloritul, păstrând relicte de biotit incomplet distruse, evident s-a format din acesta; întrucât plagioclazul cu mai mult de 15% An este diagnostic de facies pentru faciesul amfibolitelor cu almandin, conchidem că roca a fost metamorfozată inițial la nivelul superior al acestui facies, suferind într-o etapă ulterioară un retromorfism manifestat în apariția cloritului pe seama biotitului și a albitului prin transformarea parțială a oligoclazului; în primul stadiu K a fost îndepărtat din rocă, aceasta funcționând ca sistem deschis din punct de vedere termodinamic; retromorfismul pare să fi fost sincron cu metamorfismul progresiv al seriei de Leaota, paragnaisele biotitice cu clorit de pe Bârsa Grosetului stând la baza ei; seria de Leaota fiind metamorfozată în faciesul sisturilor verzi, subfaciesurile B1.1 și B1.2, retromorfismul paragnaiselor s-a realizat cel mult la nivelul subfaciesului B1.3; în toate transformările mineralogice apa a jucat un rol important, ea fiind necesară pentru generarea mineralelor mai hidratate decât cele precedente (cloritul în raport cu biotitul) și pentru întreținerea ritmului reacțiilor dintre minerale care în absența ei se pot închinde până la oprire; deoarece metamorfitele, spre deosebire

de sedimente conțin puțină apă, trebuie să admitem că în decursul retro-morfismului, în paragnaise au pătruns cantități mari de apă. Chestiunea majoră care se ridică în continuare este aceea a microclinului. Microscopul evidențiază că mineralele mezostazei sunt incluse în megablastele de microclin; includerea se face atât individual, observindu-se cristale izolate de biotit, muscovit, clorit, cuart, oligoclaz, apatit, clinozoit, granat, și și în rojuri, numărindu-se zeci sau sute de granule într-un singur roi; oligoclazul și cuartul din rojuri sunt de regulă cataclazate, dimensiunile lor medii fiind de 0,02-0,03 mm rareori atingând 0,07 mm, comparativ cu granulele de cuart și oligoclaz din mezostază care au în medie 0,30-0,45 mm; această observație relevă cristalizarea microclinului și/sau postcataclazare; deseori în mezostază se văd plaje de granule de oligoclaz și cuart de formă alungită, dispuse cu axul lung în planul de sistozitate, dând o aparentă de structură asemănătoare acelei a granulitelor; cataclazarea poate fi urmărită și la cristale de granat și apatit; împreună cu dispunerea dimensională preferențială a unor minerale altfel izometrice în metamorfite, indică mișcări diferențiale puternice, parallele cu planele de sistozitate în zona gnaiselor oculare. Mai departe, existența biotitului cloritizat inclus în microclin trebuie interpretată ca blasteză postcloritizare, fiind greu a se admite cloritizarea biotitului după includerea sa în microclin, deoarece că să se întimplă aceasta, ar fi trebuit să fi fost penetrată rețeaua cristalină a microclinului de către un fluid care să fi distrus biotitul și să fi transportat potasiul, fără ca în același timp edificiul cristalin al microclinului să suferă în vreun fel; un atare fenomen nu se pare improbabil. Recapitulând, raporturile microclin-restul mineralelor relevă următoarele: blasteză postcristalizarea mineralelor mezostazei (le include), și/sau postcataclazare (include rojuri de minerale cataclazate din mezostază), postcloritizarea biotitului (INCLUDE BIOTIT CLORITIZAT). Cu aceasta afirmăm că, blasteza microclinului este posterioară începerii retromorfismului paragnaiselor. Indicații mai exacte asupra momentului blastezei se deduc din prezența mirmechitelor, care se interpretează sincrone cu blasteza microclinului, sau cel mult ulterioare. Plagioclazul mirmechitelor cu An cca 15% (relief slab negativ, semn optic ±) indică cristalizare în condiții de temperatură de la începutul faciesului amfibolitelor cu almandin (cca 550°C, Winkler, 1967). Întrucât nu avem informații despre un metamorfism progresiv postretromorfism, deducem că cristalizarea mirmechitelor s-a produs în fază de temperatură maximă a retromorfismului, în zona gnaiselor oculare stabilindu-se o culminăție termică (Winkler, 1967). În microclin se observă de asemenea concreșteri de plagioclaz cu aspect de rețea

neregulată, dificil de interpretat cu exoluții; faptul că aceste concreșteri uneori se anastomozază în rourile de incluzuni, iar alteori păstrează pe traiect cristale individuale de oligoclaz, credem că arată modul de formare cel puțin a unei părți din ele și anume înlocuirea metasomatică a masei fundamentale și recristalizarea oligoclazului pe rețea microclinului. Există cazuri cînd într-un grup de incluzuni de oligoclaz se vede o tendință de uniformizare a extincțiilor și stergere a contururilor dintre granule, deci de creare a unei rețele unice pentru un mare număr de indivizi. Acest proces pare să fi fost ușurat de cataclazarea avansată a mezostazei. Precizind locul blastezei în raport cu retromorfismul, urmează să ne întrebăm dacă feldspatul potasic a existat în rocă de la început, blasteza să fiind o simplă recristalizare, sau dacă el a pătruns în formă în momentul blastezei. Preferăm a doua ipoteză, din cauza coexistenței microclinului cu granatul. Granatul și microclinul sunt minerale incompatibile și ele nu pot lua naștere concomitent în metamorfismul progresiv (Turner, Verhoogen, 1960; Winkler, 1967). Or, granatul fiind inclus în microclin și prezent în întreaga zonă a paragnaiselor biotitice cu clorit de pe Bîrsa Groșetului, rezultă că face parte dintr-componenții inițiali ai rocii, fiind cristalizat într-o ambianță nepotasică. Comparativ cu paragnaisele de pe Bîrsa Groșetului, în masa fundamentală a gnaiselor oculare există mult mai puțin clorit în raport cu biotitul. De asemenea, biotitul este mai larg cristalizat, cu dimensiuni frecvent mai mari de 1 mm, în paragnaise fiind sub 1 mm. În gnaisele oculare, miciile sunt segregate în fisii și îngrămadiri, sunt indoite și rupte. Indoile se fac în jurul ochilor de microclin în același sens, cu concavitatea spre ochi, fapt ce indică neindoielnic o relație între indoile și istoria ochilor de microclin. Spre a se produce indoile în modul specific în care apar, două ipoteze sunt posibile: fie că cristalele de microclin în creștere au dislocat masa din jur, impingind mineralele mezostazei prin forță de cristalizare; fie că în timpul creșterii megablastelor și probabil și ulterior, s-au produs alneacări laminare pe planele de șistozitate, combinate cu compresiune. Prima ipoteză credem că este improbabilă, deoarece admitând-o ar trebui să concepem forțe de cristalizare enorme, neregistrate pînă în prezent; în consecință rămîne a două ipoteză, a cărei corolare necesită însă o tratare specială de mare anvergură. De-a lungul planelor de șistozitate, pe traiectul micelor, dar și pe interstițiile dintre mineralele celealte, sau traversind ochii de microclin pe unele fisuri, se infiltrează un pigment de culoare roșu-brună pînă la roșu-gălbui, criptocristalin, un hidroxid de fier. Proveniența lui este aproape sigură pe scama biotitului, fiind un

produs de oxihidratare ce indică un stadiu de hidrotermalism final în evoluția fenomenelor magmatische. Un caz identic a fost descris de Lătiu (1938), în granitele de la Șoimoș-Radna. Tot în stadiul final al succesiunii fenomenelor descrise în lucrarea de față trebuie să se fi produs și blasteza albitului, sursa lui fiind oligoclazul care arată transformări incipiente, mai ales marginal, inclusiv mirmechitele.

Sintetizând, istoria gnaiselor oculare de la Plaiu Foii ar fi următoarea: metamorfism progresiv al paragnaiselor de pe Bîrsa Groșetu și la nivelul subfaciesului B2.1 ca parte constitutivă a serici de Cumpăna; rol de infrastructură ca fundament al geosinclinalului în care s-au sedimentat rocile seriei de Leaota; retromorfism conjugat cu metamorfismul progresiv al sericii de Leaota; în timpul retromorfismului, pe întreaga zonă a paragnaiselor biotitice cu clorit de pe Bîrsa Groșetu a pătruns o undă de apă supracritică în stare de fluid dens; temperatura a fost în jur de 500°C și compoziția simplă; în acest stadiu a avut loc cloritizarea biotitului și scoaterea potasiului din sistem; într-un stadiu ulterior, corespondător fazei de apogeu a metamorfismului progresiv al seriei de Leaota, mișcările orogenetice au creat spații de minimă rezistență cu corespondență profundă, puse în evidență în paragnaise prin cataclazarea avansată a constituenților; prin aceste spații au pătruns fluide apoase dense supracritice, de data aceasta saturate cu feldspat potasic dizolvat, temperatura crescând pînă la cca 550°C ; simultan a inceput blasteza microclinului și recristalizarea parțială a plagioclazului (mirmechite, concreșteri) și a cloritului format în prima fază în biotit de neoformatie; creșterea relativ rapidă a cristalelor de microclin în raport cu recristalizarea cloritului în biotit, a cuprins cristale de biotit cloritizat, sechestrindu-le în starea în care se aflau în timpul incluziei; blasteza microclinului a fost însoțită de un proces metasomatic de înlăturare a unei părți din materialul aflat în actualul spațiu închis în megablaste; pe fondul general de retromorfism al paragnaiselor, la nivelul superior al subfaciesului B1.3, zonele cu gnaise oculare au constituit locuri de culminărie termică, direcții privilegiate de circulație a unor fluide dense supracritice saturate în feldspat potasic dizolvat; în etapa finală, temperatura fluidelor ca și a întregului complex a inceput să scadă și acestei faze ii corespunde blasteza albitului, transformarea în continuare a oligoclazului, inclusiv a mirmechitelor și depunerea pigmenților feruginoși extrași din biotit; mișcările diferențiale pe planele de sistozitate incepute o dată cu retromorfismul au continuat, ducînd la fisurarea parțială a ochilor de microclin, cu depunerea pigmentului feruginos pe fisuri, precum și la curbarea mai accentuată a micelor;

tot acum s-a produs și o recristalizare parțială a cuarțului din masa fundamentală, rezultând plaje cu structură pavimentoasă și mărimea granulelor pînă la 1 mm; apoi aportul de fluide a încetat, sistemul a redevinut închis termodinamic și transformările au rămas incomplete. Asupra temperaturii mai înalte existente în zona gnaiseelor oculare în raport cu paragnaisele învecinate, ne informează și prezența în apropierea contactelor a unor intercalării cu aspect textural de șisturi pătate, cloritul fiind acumulat în planele de șistozitate în îngrămădiri circulare cu diametrul în jur de 1 cm sau mai mult. Cauzele care au determinat creșterea megablastelor de microclin sunt de natură termodinamică și numai experimentarea ar putea da răspunsuriclare. Nouă ni se par importanți următorii factori: formarea anevoieasă de nuclei stabili pozitiv, care la rîndul ei poate avea cauze multiple; mobilitatea mare a mediului furnizor de particule necesare cristalizării, asemănătoare cazului cristalizării pegmatitelor; accesul ingreuiat transversal pe planele de șistozitate, fapt bine vizibil în cazul pigmentilor feruginoși, cu consecințe în posibilitățile de nucleiere și de aprovizionare a nucleilor formați eventual în interiorul interplanelor; gradul mic de suprasaturație a mediului furnizor de particule necesare cristalizării, cu menținerea constantă îndelungată a temperaturii în jurul unui anumit punct de saturatie; instabilitatea granulelor mici, datorită condițiilor tectonice (laminări, cataclazare etc.). Microclinul din gnaisele oculare de la Plaiu Foi fiind un microclin cu triclinicitate maximă (maclat în grilă în totalitate), iar indicațiile de hidrotermalism în perioada retromorfismului paragnaiseelor biotitice cu clorit multiple, rezultă că teoria cristalizării microclinului maxim sub regim hidrotermal în aproape toate formațiunile granitice și tardeorogene susținută de Marmo (1967) s-ar confirma în cazul de față.

Concluzii

Gnaisele oculare de la Plaiu Foi se încadrează textural și genetic la migmatitele oftalmitee (Mehner, 1962). Megablastele de microclin au cristalizat dintr-o fază dispersă ce poate fi descrisă ca un fluid apăsor dens supracritic, saturat în feldspat potasic dizolvat.

Blașteza microclinului a fost sincronă cu retromorfismul zonei retromorfe a seriei de Cumpăna.

Accesul fluidelor s-a făcut pe planele de mișcări diferențiale intense cu corespondență profundă.

Originea fluidelor probabil trebuie căutată într-un magmatism granitic rămas invizibil în spațiul la care ne referim.

Credem că această geneză trebuie considerată și pentru gnaisele oculare din partea externă a zonei de Păpușa-Voinești sens restrins, care constituie continuarea vestică a formațiunilor descrise de noi.

Pentru migmatitele oculare în discuție este adecvat termenul exteroare, nu superioare.

BIBLIOGRAFIE

- Codarcea-Dessila Marcela (1962) Încercare de reconstituire paleogeografică și orogenetică a Carpaților Meridionali Centrași. *Stud. cerc. geol.* VII/3-4, Ed. Acad. R.P.R. București.
- (1966) Căi noi în descifrarea evoluției geologice a terenurilor cristalofiliene. *Stud. cerc. geol. geof. geogr. seria geol.* 11, 2, București.
- Dimitrescu R. (1963) Structura părții centrale a munților Făgărașului. *Asoc. Geol. Carp.-Balc. Congr.* V, 1961, II, București.
- (1964) Studiul geologic și petrografic al părții de est a masivului Făgăraș. *An. Com. Geol. Rom.* XXXIII, București.
- Dimoște G. (1967) Serile și zonele formațiunilor cristaline din extremitatea vestică a munților Făgăraș. *Anal. Univ. Buc. seria ști. nat. geol. geogr.* XVI, 1, București.
- Gherasim N., Manilici V., Dimitrescu R. (1966) Studiul geologic și petrografic al masivului Ezer-Păpușa. *An. Com. Geol.* XXXV, București.
- Ghika-Budești S. (1938) Considérations géologiques et pétrographiques sur la mine d'or de Valea lui Stan. *C. R. Inst. Géol. Roum.* XXII, București.
- (1942) Métamorphites et migmatites dans les Carpates Méridionales. *Bull. Soc. Roum. Géol.* V, București.
- Giuşcă D., Bîlloiu M., Radulescu D., Stiopoli Victoria, Dimitrescu R. (1956) Studiul petrografic al masivului Poiana Rusă de sud-vest. *D. S. Com. Geol.* XL, București.
- Lațiu V. (1938) Contribuționi la studiul microfiziografic al granititelor de la Șolmoș-Radna (jud. Arad). *Bull. Sci. L'école Polytechn.* VIII/3-4, Timișoara.
- Manilici V. (1955) Cercetări petrografice și geologice în regiunea Râul Doamnei-râul Cernat. *D.S. Com. Geol.* XXXIX, București.
- Marmo V. (1967) On the granite problem. *Earth-Science Rev.* 3, 1, Elsevier Pub. Comp. Amsterdam.
- Mehnert K. R. (1962) Zur Systematik der Migmatite. *Krystallinikum*, 1, Prag.
- Mrazec L. (1897) Despre clasificarea cristalinului din Carpații Meridionali. *Bul. Soc. Șt.* VI, București.
- (1930) Observaționi la comunicarea lui O. Schmidt : Scurtă expunere asupra rezultatelor cercetărilor geologice făcute în regiunile cristaline ale Carpaților Meridionali. *D.S. Inst. Geol. Rom.* XVII, București.
- Murgoci G. M. (1923) Sinteză geologică a Carpaților de sud. *D.S. Inst. Geol. Rom.* I, București.
- Schmidt O. (1930) Cercetări geologice în ramificațiile nord-estice ale munților Făgărașului. *D.S. Inst. Geol. Rom.* XV, București.

- (1930) Scurtă expunere a rezultatelor cercetărilor geologice făcute în sisturile cristaline ale Carpaților Meridionali. *D.S. Inst. Geol. Rom.* XVII, București.
- Strecker A. (1831) Sur la tectonique des Carpates Méridionales, *An. Inst. Géol. Roum.* XVI, București.
- Turner J. F., Verhoogen J. (1960) Igneous and metamorphic petrology. McGraw-Hill, Inc. New York, Toronto, London.
- Winkler H. G. F. (1967) Die Genese der metamorphen Gesteine. Zweite Auflage, Springer Verlag, Berlin, Heidelberg, New York.

CONCERNANT LE CARACTÈRE BLASTIQUE DE LA MICROCLINE
DES MIGMATITES OÉILLÉES DES ENVIRONS DE PLAIU FOII
(BÎRSA GROȘETULUI)

(Résumé)

La microcline, à ce qu'il paraît, a cristallisé plus tard que les autres minéraux de la paragenèse. Les relations structurales et l'histoire d'ensemble de la région indiquent que sa blastéose est synchrone au rétromorphisme de la série qui la renferme. Les mégablastes se sont développées des fluides aqueux denses supracritiques, saturés en matériel feldspathique (sous régime hydrothermal), pénétrés à travers les plans de discontinuité profonde qui ont fonctionnés dans les zones à migmatites œillées pendant le métamorphisme progressif de la série de Leacota qui correspond à celui regressif de la partie supérieure de la série de Cumpăna.

—



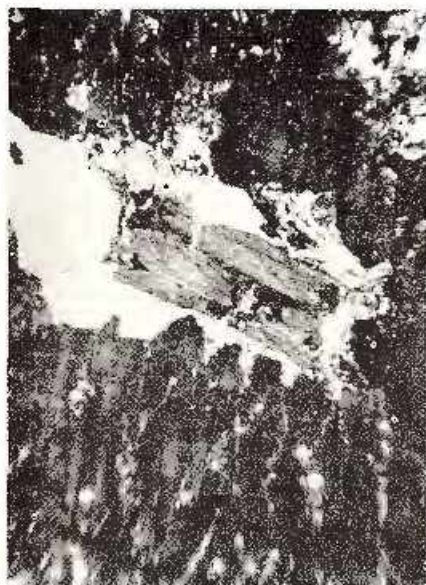
PLANŞA I

- Fig. 1. — Microclin cu incluzioni de biotit cloritizat, quart, muscovit. N + ; x 35.
Microcline à inclusions de biotite chloritisée, quartz, muscovite. N + ; x 35.
- Fig. 2. — Granat, quart, muscovit, incluse în microclin. N + ; x 90.
Grenat, quartz, muscovite, inclus dans une microcline. N + ; x 90.
- Fig. 3. — Roi de incluziuni din masa fundamentală în microclin (biotit cloritizat, quart, oligoclaz, muscovit). N + ; x 35.
Essaim d'inclusions de la masse fondamentale dans la microcline (biotite chloritisée, quartz, oligoclase, muscovite). N + ; x 35.
- Fig. 4. — Roi de granule cataclazate din masa fundamentală la marginea unui ochi de microclin. N + ; x 35.
Essaim de granules cataclasés de la masse fondamentale à la limite d'un oeil de microcline. N + ; x 35.



J. BALINTONI. Caracterul blastic al microclinului din migmatitele oculare-
Plain Foli.

Pl. I.



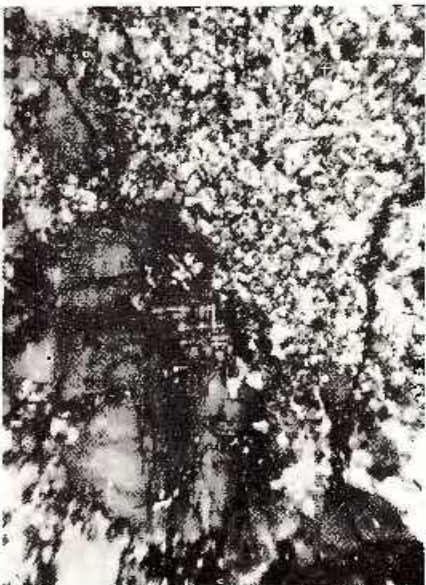
1



2



3



4

Institutul Geologic. Dări de seamă ale ședințelor, vol. LVI/1.



Institutul Geologic al României

PLANSĂ II

Fig. 1. - Tip de concreșteri de plagioclaz în microclin, N = z ~ 35.

Type de développement enchevêtré du plagioclase dans le microcline, N = z ; $\times 35$.

Fig. 2. — Dărăcă de pigmenți ferruginoși de-a lungul unei grupări de muscovit. Se observă curba rea muscovitului, N II; $\times 90$.

Trace de pigments ferrugineux le long d'un groupement de muscovite. On observe la courbure de la muscovite, N II; $\times 90$.

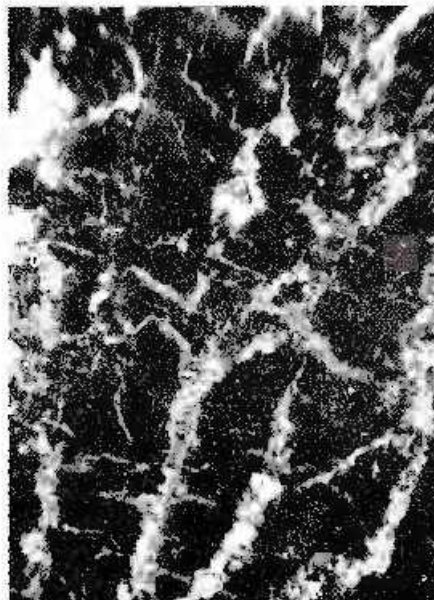
Fig. 3. — Biotit cu guriole pleocrroice provocate de ortit melaniet, N II; $\times 90$.

Biotite à aureoles pleochroïques provoquées par l'orthite mélénique, N II; $\times 90$.

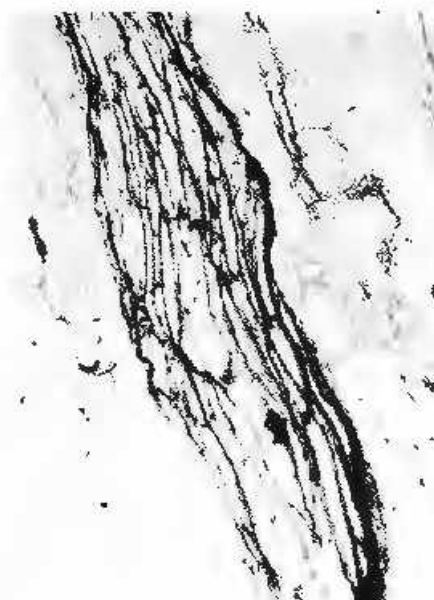
Fig. 4. - Cristal de albă glătări de cristale de oligoclaz transformate marginal, N = z ~ 90.
Cristal d'albite à côté de cristaux d'oligoclase, marginalement transformés, N = z ~ 90.

I. BALINTONI. Caracterul blastic al microclinului din migmatitele oculare-
Plaiu Foii.

Pl.II.



1



2



3



4

Institutul Geologic. Dări de seamă ale ședințelor, vol. LVI/1.



Institutul Geologic al României

MINERALOGIE

ALUNIȚII DE LA VOIA (MUNTII METALIFERI)¹

DE

ION BERBELEAC²

Abstract

Alunites from the Voia Valley Basin (Metalliferous Mountains). This paper comprises data resulted from the optical, chemical, thermic differential and X-ray study of alunites from the Voia valley basin. These alunites are present in quartz-alunite rocks and display two varieties: the first — sodic, and the second — potassic, both genetically linked to the hydrothermal solutions of the late subsequent magmatic phase.

În cadrul aureolelor hidrotermale ce însoțesc filoanele metalifere asociate aparatelor vulcanice din Munții Metaliferi și Carpații Orientali, lucrările de specialitate au consemnat mareea variație a paragenezelor mineralelor de neoformare, variație explicată prin caracterele fizico-chimice (temperatură, presiune, chimism specific pH și eH) diferite ale soluțiilor hidrotermale.

Cu toate că în ultimul deceniu, în țara noastră cercetările geologice au furnizat un număr mare de date privind fenomenele de alterații hidrotermale, se constată în general nemenționarea aluniților în rîndul mineralelor hipogene cu excepția regiunii Negoil Românești din munții Călimani (Teodoru, Teodoru, 1965) și Talaci din munții Zarandului³. Acest fapt se explică prin condițiile cu totul specifice pe care trebuie să le întrunească soluțiile hidrotermale pentru precipitarea aluniților.

Cercetările anterioare, întreprinse în Munții Metaliferi, menționează prezența aluniților de origine supergenă în rocile eruptive terțiere de la

¹ Comunicare în sesiunea științifică a Întreprinderii Geologice de Prospețimi din 19 martie 1969.

² Întreprinderea Geologică de Prospețimi, Cal. Griviței nr. 84, București.

³ I. Teodoru, Camelia Teodoru. Raport asupra prospecțiunilor geologice executate în regiunea Tisa-vîrfurile Talaci-Aciuța. 1964. Arh. Com. Stat. Geol. București.

Hondol (virful Lelii și dealul Coasta Mare) și Roșia Montană (Inkey, 1885; Poșepny, 1868; Pálfy, 1916; Rădulescu, Dimitrescu, 1966).

În lucrare, aluniții de la Voia sunt considerați de origine hipogenă și sunt legați genetic de fază hidrotermală tardivă a activității magmatische terțiare.

Caracterizarea geologică a regiunii Voia

Regiunea Voia (județul Hunedoara) se află situată în partea centrală a Munților Metaliferi și este alcătuită din depozite sedimentare-tortoniene (pietrișuri, nisipuri, argile grezoase, calcare etc.) și sarmatiene (complex vulcano-sedimentar, conglomerate, gresii) și roci eruptive mezozoice și terțiare.

Rocile eruptive mezozoice reprezintă diferențiatele magmatismului inițial ofiolitic (bazalte, dolerite și piroclastite bazaltice) din cadrul geosinclinalului munților Mureșului. Acestea apar pe valea Voia la est de pârâul Certejului și sunt acoperite de depozite sedimentare de vîrstă tortonian-inferioară (Ghiulescu, Socolescu, 1941).

Diferențiatele magmatismului subsecvent tardiv ocupă cea mai mare parte din regiune și cuprinde în ordinea succesiunii următoarele tipuri de roci: andezite cu hornblendă și cuart ± biotit, dacite de Cîinel, andezite cuarțifere cu hornblendă, andezite cuarțifere cu hornblendă și biotit (Săcărimb) andezite cu hornblendă și cuart și dacite de Cetraș.

În regiune, vulcanismul terțiar a inceput din Tortonian și s-a continuat pînă în Pannonian inclusiv. Activitatea vulcanică, efuziv-explosivă este de tip central. Aparătele vulcanice andezitice (dealul Măcriș), sau dacitice (dealurile Buha, Cetraș, Momeasa, Geamăna) au forme eliptice sau circulare și sunt situate la intersecția linilor de falii mezozoice cu cele neogene (Berbeleac, 1969).

În bazinul superior al văii Voia ca și în alte regiuni din Munții Metaliferi, rocile andezitice (andezite cu hornblendă și cuart ± biotit, andezite cuarțifere de tip Barza și Săcărimb), dacitice (dacite de tip Cîinel și Cetraș) și sedimentare au fost supuse unor intense procese de metasomatoză care se caracterizează pe de o parte prin acțiunea de levigare a unor elemente mobile din mineralele rocilor inițiale aduse în condiții de instabilitate chimică, iar pe de altă parte prin depunerea altor elemente, mai puțin mobile, în asociații stabile. În felul acesta în regiunea Voia rocile supuse metamorfismului hidrotermal au fost repartizate în funcție de paragenezele mineralelor noi formate la trei faciesuri: propilitic, sericitic-

argilitic și cuart-alunitic. Ultimul facies nu s-a întîlnit la andezitele cuartifere de tip Săcărîmb și Barza. În condițiile formării aluniților, mineralele rocilor eruptive cu excepția cuartului au fost substituite total. Asemenea roci, constituite din cuart și aluniți sunt cunoscute în literatură sub numele de cuart-alunite (Willard, Proctor, 1946; Steven, Ratté, 1960; Adonova, 1966).

Caracterizarea mineralologică a aluniților

În bazinul superior al văii Voia, aluniții alcătuiesc mai multe iviri, dintre care menționăm pe cele situate în șaua dintre dealurile Măcriș-Coasta Mare și Geamăna, pîriul Paua și Coasta Cetrașului.

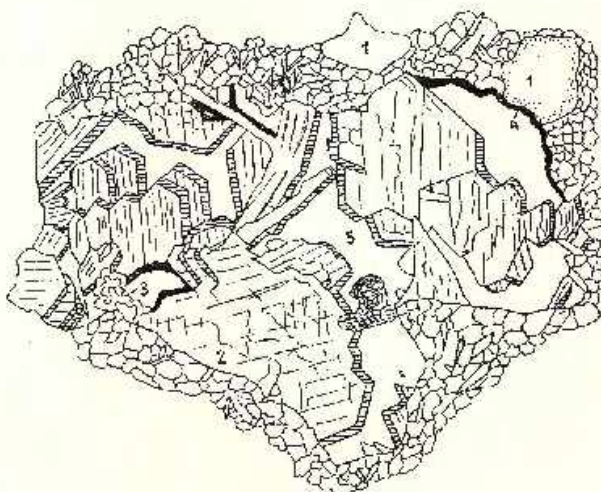
Procesul de alunitizare din regiunea Voia cuprindo rocile sedimentare și vulcano-sedimentare sarmatiene, tulurile și andezitele cu hornblendă și cuart ± biotit și dacitele de Coasta Mare. Rocile alunitizate au o culoare alb-argintie sau rozie, luciu sidefos-mătăsos și aspect poros. Porozitatea este dată de existența mai multor porțiuni incomplet umplute cu aluniți care alcătuiesc mici geode. În aceste geode (fig. 1, 3) și pe fisuri (fig. 2) în dealul Geamăna și Coasta Cetrașului, aluniții alcătuiesc agregate

Fig. 1. — Geodă cu depuneri de aluniți în rocă cuart-alunitică (Dealul Geamăna, $\times 8,5$).

1, cuart primar corrodat cu incuițional de minerale artificiale; 2, cristale de aluniți eluviate și fluviale; 3, alunit reniform (?); 4, hidroxiidi de fier; 5, goare în geodă.

Géode tapisée d'aluminites en roche quartzique-alunitique (Colline Geamăna, $\times 8,5$).

1, quartz primaire corrodé à incusions de nombreux artificiaux; 2, cristaux d'aluminites élutés et fluviaux; 3, alunit reniform (?); 4, hydroxydes de fer; 5, crevasses dans la géode.



foioase, lamelare, mai puțin concreționare și granulare ce cuprind cristale larg dezvoltate (0,1-3 mm).

Cristalele de aluniți au forme prismatice, dezvoltate după axa e (fig. 1, 3), contururi xenomorfe (fig. 2) și mai rar idiomorfe (fig. 4). Re-

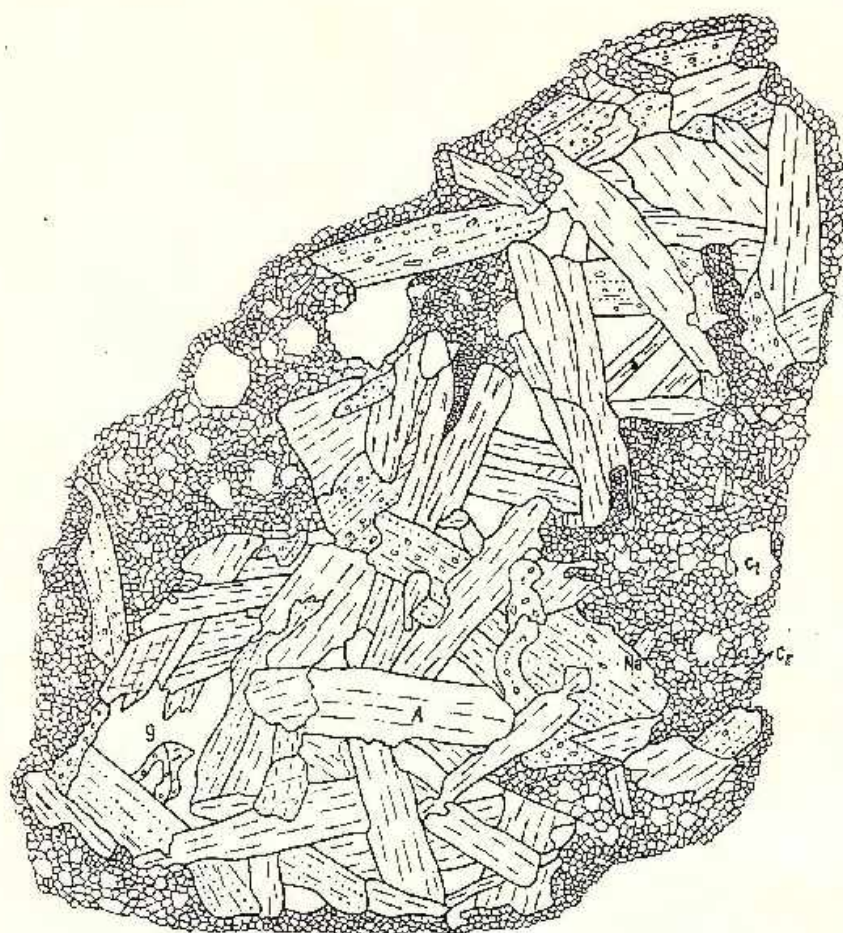


Fig. 2. - Fisură cu depuneri de aluniți (Coasta Cetrașului, $\times 8,5$).
 c₁, cuart primar corodat; c₂, cuart secundar; A, alunit; Na, natroalunit; g, spațiu liber.

Fissure tapissées d'aluminites (Coasta Cetrașului, $\times 8,5$).
 c₁, quartz primaire corrodé; c₂, quartz secondaire; A, alumite; Na, natroalumite; g, espace libre.

marcam asociatii de mai mulți indivizi sub forma unor lamele suprapuse, concrescute sau întrețiate (fig. 1, 2) maclate polisintetic (fig. 5 a) sau în eruco (fig. 5 b).

Rocile cuart-alunitice au rezultat în urma substituției totale a mineralelor (fernice și leucocratice din gresii, tufuri, andezite și dacite) cu cuart, pirită și aluniți. Masa de bază a acestor roci are o structură mozaicată și este alcătuită în predominanță din cuart microgranular (90-95%) la care se mai adaugă cuartul primar corodat (1-7%), cu contururi

neregulate, impurificat marginal de minerale argiloase, aluniți, gips, bohemit, diaspor și zircon.

În matricea unora dintre rocile cuarț-alunitice, aluniții sunt practic absenți. Prezența sau absența aluniților este în funcție de structura masei de bază a rocii inițiale. În cazul andezitelor amfibolice cu cuarț ± biotit,

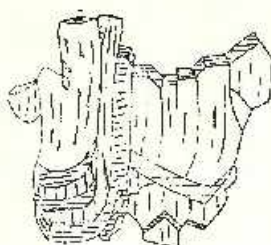


Fig. 3. — Cristale de aluniți
(Dealul Geamăna, $\times 8,5$).

Cristaux d'alunites (Colline Geamăna, $\times 8,5$).

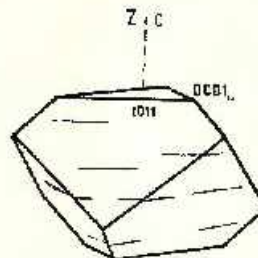


Fig. 4. — Cristal de alunit
(după Trögger, 1959).

Cristal d'alumite (d'après
Trögger, 1959).

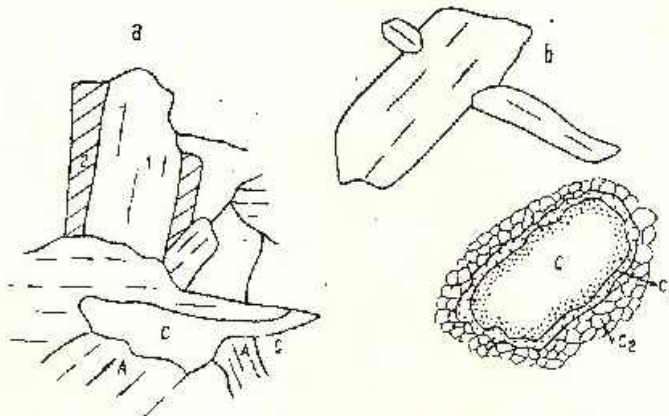


Fig. 5. - a, Alunit maclat polysynthétique în rocă cuarț-alunitică (Dealul Geamăna).

1 și 2, individui orientați diferenți ($\times 40$); c, quart; A, alunit; b, macă în crucea alunit; c, quart primar corodat și impurificat cu minerale argiloase (c); c₁, depuneri de quart secundar pe quartul primar; c₂, granule de quart secundar în masa roci.

a, Alunate maclées polysynthétiques en roche quartzique-alunitique
(Colline Geamăna).

1 et 2, individus différemment orientés ($\times 40$); c, quartz; A, alunite; b, macle en croix de l'alunite; c, quartz primaire porosé et impurifié avec des minéraux argileux (c); c₁, dépôts de quartz secondaire sur le quartz primaire; c₂, granules de quartz secondaire dans la masse de la roche.

care de regulă au structură porfirică și masă vitrofirică, cristalele de aluniți se aglomerează în locul vechilor fenocristale în proporții de 90-95% și numai de 2-3% în masa rocii.

Cristalele agregatelor de aluniți sunt subțiri, lamelare și foioase. Clivajul perfect se observă după fața (0001).

Dezvoltarea preferențială a aluniților după forme prismatice cu contururi pseudohexagonale (fig. 1) și mai puțin după cele romboedrale (fig. 3) se explică prin faptul că structura internă a seriei izomorfe alunit-jarosit arată ca o unitate celulară hexagonală. În această celulă după cum a arătat Hendrick (Brophy, Scott, Snellgrove, 1962) potasiul cu numărul de coordonată 12 este situat între șase O și șase O^{II}, iar aluminiul cu numărul de coordonată șase se află între patru OH și doi O (fig. 6).

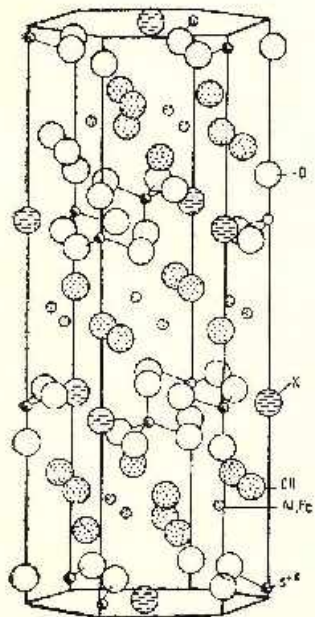


Fig. 6. — Unitatea celulară hexagonală la alunit-jarosit (după Hendrick, din Brophy, Scott, Snellgrove, 1962).

Unité cellulaire hexagonale de l'alunite-jarosite (d'après Hendrick, de Brophy, Scott, Snellgrove, 1962).

În urma cercetării caracterelor optice ale aluniților de la Voia au fost determinate două varietăți, ale căror constante sunt prezentate comparativ în tabelul de mai jos.

La Voia, în rocile cuarț-alunitice cele două varietăți de aluniți sunt răspândite neuniform. Astfel în dealul Geamăna, pîrul Păua și Coasta Cetrașului în unele porțiuni predomină alunitul potasic asupra celui sodic

TABELUL 1

Varieta-tea	Berbeleac	Tröggger	Wincell	Rado-nova	Leinz
Alunit	$ng = 1,59$ $mp = 1,57$ $ng - mp = 0,020$ $c \wedge ng = 0$ $1 = -$	$ng = 1,592$ $np = 1,572$ $ng - mg = -0,020$ $c \wedge ng = 0$ $1 = -$	$ng = 1,592$ $mp = 1,580$ $ng - np = 0,020$ $c \wedge ng = 0$ $1 = -$	$ng = 1,598$ $mp = 1,578$ $ng - np = -0,020$ $c \wedge ng = 0$ $1 = -$	
Natro-alunit	$ng = \text{ne determinat}$ $np = 1,56$ $ng - np = -0,010$		$ng = 1,58$ $ng - np = 0,10$		$ng = 1,587$ $np = 1,577$ $ng - mp = -0,010$

și invers. În general, se poate spune totuși că în această regiune varietatea potasică este predominantă.

Alunitul sodic este depus ulterior celui potasic, deoarece îl include și corodează pe acesta (fig. 2). În afara constantelor optice diferite la varietatea sodică de alunit față de cea potasică se observă numeroase incluziuni de minerale argiloase, cuarț și baritina (?).

Procesele de alterație supergenă exercitată asupra rocilor cuarț-alunitice de la Voia au condus la trecerea piritei în oxizi de fier hidratată (limonit, goethit) și a alunișilor în bohemit și diaspor. În general procesul de transformare a alunișilor în oxizi de aluminiu este foarte slab.

Analizele microscopice ale rocilor cuarț-alunitice de la Voia au indicat următoarea succesiune a mineralelor de neoformăție: cuarț, pirită, alunit, natroalunit, opal, minerale argiloase, limonit, goethit, rutil, bohemit și diaspor.

Caracterele chimice ale alunișilor

Analizele chimice executate pe rocile cuarț-alunitice recoltate din regiunea Voia (tab. 2) au fost prelucrate și comparate cu ivirile similare din Bulgaria (Rădonova, 1966), Spania, Utah, Colorado, Porto Rico (Steven, Ratte, 1960; Brophy, Scott, Snellgrove, 1962).

Datele prelucrate sunt proiectate în diagramele procentajelor atome relative K^+ și Na^+ realizate de Raymond (1962), (fig. 7) și Brophy, Scott, Snellgrove (1962) (fig. 8), pentru alunișii sintetici realizați la $75^\circ C/1$ atm., $100^\circ C/1$ atm., $105^\circ C/1$ atm. și $150^\circ C/6$ atm., în condiții de pH acid (0,5-16).

TABELUL 2
Analizele chimice, procentajele atomice relative K^a, Na^b și dimensiunile celulei elementare la unii cloruri din Utah, Colorado, Puerto Rico, Spania, Bulgaria și România

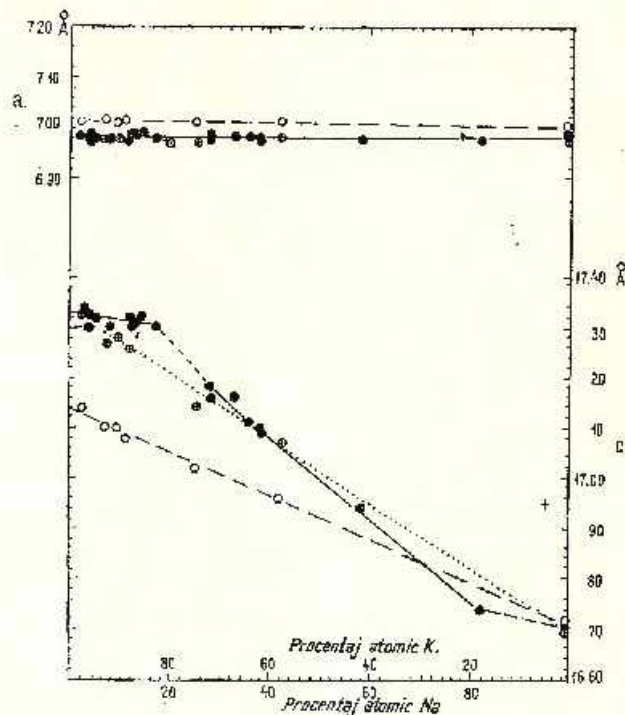
Oxizi	1	2	3	4	5	6	7	8	9	10	11	12	13	14	15	16	17	
SiO ₂	31,72	30,04	2,30	34,80	47,80	13,40	43,78	39,00	65,53	—	73,87	4,4	40,00	37,67	53,86	36,60	0,22	
Al ₂ O ₃	25,14	23,98	39,45	24,40	20,33	31,55	24,80	23,21	13,93	36,8	8,59	36,28	20,45	24,71	18,26	28,22	37,18	
Fe ₂ O ₃	0,57	4,32	0,24	0,97	0,56	0,24	0,81	0,16	0,9	0,4	0,43	—	—	0,98	0,79	0,64	urme	
FeO	—	—	—	—	—	—	—	—	—	—	—	—	—	—	—	—	—	
CaO	—	—	—	—	—	—	—	—	—	—	—	—	—	—	—	—	—	
MgO	7,15	6,90	7,67	6,49	4,59	8,64	1,04	6,4	1,80	0,1	0,87	0,4	3,4	2,60	1,05	2,71	10,46	
Na ₂ O	0,14	0,25	0,68	0,67	0,10	0,79	3,11	1,19	0,68	7,6	1,10	2,4	1,4	2,47	2,60	1,88	0,33	
MnO	—	—	—	—	—	—	—	—	—	—	—	—	—	—	—	—	—	
TiO ₂	0,86	0,78	—	0,35	0,62	0,77	0,62	0,05	0,48	—	0,64	—	—	—	—	—	—	
P ₂ O ₅	—	—	—	—	—	—	—	—	—	—	—	—	—	—	—	—	—	
SO ₃	24,62	23,67	36,10	23,41	19,0	33,80	16,86	23,36	8,34	38,3	9,04	36	19,2	2,23	15,30	17,75	0,58	
H ₂ O ^c	9,81	9,11	13,33	8,28	6,82	10,54	8,61	7,92	4,76	14,9	4,44	—	—	—	—	—	—	
H ₂ O ^b	0,06	0,22	0,15	0,16	0,10	0,08	0,34	—	0,12	0,15	0,15	12,1	6,8	6,46	6,15	7,40	12,90	
BaO	—	—	—	—	—	—	—	—	—	—	—	—	—	—	—	—	—	
SrO	—	—	—	—	—	—	—	—	—	—	—	—	—	—	—	—	—	
PbO	—	—	—	—	—	—	—	—	—	—	—	—	—	—	—	—	—	
CO ₂	—	—	—	—	—	—	—	—	—	—	—	—	—	—	—	—	—	
S	—	—	—	—	—	—	—	—	—	—	—	—	—	—	—	—	—	
Total%	100,07	99,27	99,58	98,86	101,01	100,13	99,97	99,49	99,93	99,7	99,99	97,05	100,02	97,03	98,01	99,50	100,10	
K ^a	97	95	88	86	96	88	18	72	55	1	K ^a 33,	64	62	68	21	57	96	
Na ₂ ^a	5	5	12	14	4	12	82	28	45	99	Na ₂ 67	36	38	42	79	43	4	
a _b	6,91	6,977	6,974	6,982	—	—	6,976	6,976	6	6,981	6,978	6,972	6,972	—	—	—	—	
c ^b	17,34	17,32	17,32	17,32	—	—	16,74	17,16	—	16,699	17,11	17,09	16,866	16,944	—	—	—	—

1,2 probe din zăcămîntul Yellow-Jacket, Marysville, Utah; 3, probă din zăcămîntul Sunshine, Marysville, Utah; 4, probă zăcămîntul White Horse, Marysville, Utah; 5, latit alumînat, Marysville, Utah; 6, fîion cu alumînit, Marysville, Utah; 7, probă din zăcămîntul Big Star, Marysville, Marysville, Colorado; 8, probă din zăcămîntul Summitville, Colorado; 9, cuart-alumînit, Summitville, Colorado; 10, probă din zăcămîntul Sierra Almogrel, Spania (colecția Breithaupt); 11, cuart-alumînit Papînt, Bulgaria; 12, probă din zăcămîntul Cerro la Tiza, Comerç, Porto Rico; 13, probă din zăcămîntul Cerro la Tiza, Comerç, Porto Rico; 14, cuart-alumînit, Coasta Cetăgușului, Voia, România, analist E. Roman; 15, cuart-alumînit, deauți Geamăna, Voia, România, analist M. Nedelcu; 17, alumînit, Mineral Products Mine, Utah; K^a, procentajul atomic relativ pentru K; Na^b, procentajul atomic relativ pentru Na; ab, c_b, dimensiunile celulei elementare în Å.

În figura 7 se prezintă variația valorilor celulei elementare a și c și a procentajelor atomice relative pentru K și Na (K^a , Na^a) în aluniții sintetici și naturali. După cum se vede aluniții sintetici realizati la $100^\circ C/1$ atm. (linie intreruptă) și încălziti la $300^\circ C/1$ atm. (linii punctate) au

Fig. 7. — Variația dimensiunilor a și c și a procentajelor atomice respective K și Na în aluniții sintetici și naturali (după Raymond, 1962); aluniții naturali din Utah, Colorado, Porto Rico și Spania (cercuri pline); aluniții sintetici (cercuri goale); aluniții sintetici încălziti o oră la $300^\circ C$ (cercuri cu cruce); aluniții Voia (croize).

Variation des dimensions a et c et des pourcentages atomiques respectifs (K et Na) dans les aluminos synthétiques et naturelles (l'après Raymond, 1962); aluminos naturels de Utah, Colorado, Porto Rico et Espagne (cercles pleins); aluminos synthétiques (cercles vides); aluminos synthétiques réchauffées pour une heure à $300^\circ C$ (cercles à croix); aluminos—Voia (croix).



cîmpuri proprii și valori mai mici pentru c , față de aluniții naturali (linie plină). În această diagramă valorile c , a și K^a , Na^a la aluniții sodici sunt mai mici decît la cei potasici. La varietățile sodice, c are valori sub $17,00 \text{ \AA}^0$, iar la cele potasice peste $17,00 \text{ \AA}^0$. Aceste valori calculate pentru alunițul din dealul Coasta Cetrașului și proiectate în diagramă indică prezența unei varietăți potasice depusă în intervalul de temperatură cuprins între 150 - $200^\circ C$.

Proiecțarea lui a și c în funcție de raportul $\frac{Al/Al}{Al+Fe} \times 100$ (fig. 8)

indică lipsa aproape totală a fierului în proba cu alunit de la Voia. În această diagramă, parametrul c este situat mult sub limita admisibilă a liniei caracteristice aluniților naturali proiectați și proveniți din Italia, Nevada, Cehoslovacia, Colorado și Utah. Acest fapt se explică probabil prin prezența în cantitate mare a quartului în proba de la Voia.

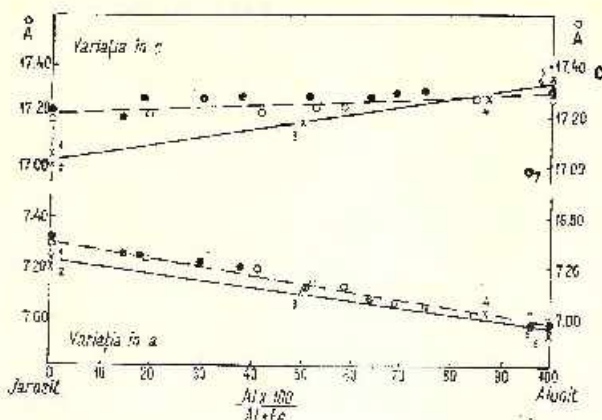


Fig. 8. — Variația în *a* și *c* la produsele soluțiilor artificiale (cercuri pline și goale) sunt indicate de linile punctate. Aceleasi variații pentru soluțiile naturale alunit-jarosit (x) sunt date de linia continuă (după Brophy, Scott, Snellgrove, 1962).

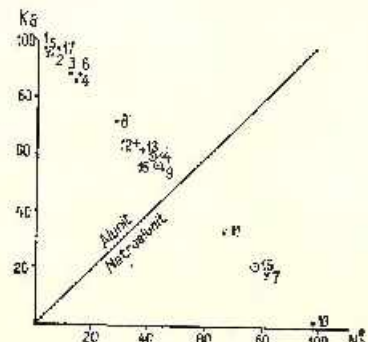
1. jarosita-Pioche, Nevada; 2. jarosita-Tufts, Italia; 3. alunit-jarosita-Kopeč, Československo; 4. alunit-Copper Cap Prospect, Marysvale, Utah; 5. alunit-Rosita Hills, Colorado; 6. alunit-Mineral Products Mine, Marysvale, Utah; 7. alunit-Voia, România.

Diagrama raportului procentajelor atomice relative K^a și Na^a (fig. 9) realizate pentru unii aluniți sau roci cuarț-alunitice din Bulgaria, Colorado, Spania, Porto Rico, Utah și România indică plasarea aluniților de la Voia cu excepția probei nr. 15, în aria ocupată de varietățile potasice alături de ivirile din Colorado, Porto Rico și Utah. De menționat însă că toate cele trei probe provenite de la Voia se plasează în jurul limitei dintre aluniții sodici și potasici. Acest fapt se explică prin existența în aceste probe a celor două varietăți de aluniți în proporții aproximativ egale.

În baza prelucrării datelor provenite din realizarea aluniților artificiali, Brophy, Scott, Snellgrove (1962) trag concluzia că

Fig. 9. — Diagrama K^a , Na^a , pentru unele aluniți din Bulgaria (x), Colorado (puncte fine), România (cerc cu punct), Spania (punct gros), Porto Rico (cruce), Utah (y). Numele corespund probelor din tabelul 2.

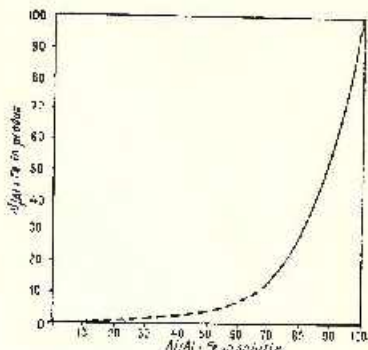
Diagramme K^a , Na^a , pour certaines aluminites de la Bulgarie (x), Colorado (points fins), Roumanie (cerc à point), Espagne (point gros), Porto Rico (croix), Utah (y). Les noms correspondent aux échantillons du tableau 2.



raportul $\text{Al}/(\text{Al} + \text{Fe})$ în soluții este mult mai mare ca în produsul final realizat (fig. 10). Deci, pentru realizarea aluniților este necesar în primul rînd ca Al în soluții să fie ridicat.

Fig. 10. — Curba raportului dintre $\text{Al}/(\text{Al} + \text{Fe})$ în produsele realizate și soluții, la aluniții sintetici realizăți la 105°C și 1 atm. (după Brophy, Scott, Snellgrove, 1962).

Courbe du rapport $\text{Al}/(\text{Al} + \text{Fe})$ dans les produits réalisés et dans les solutions, pour les alunites synthétiques réalisées à 105°C et 1 atm. (d'après Brophy, Scott, Snellgrove, 1962).



Analiza termică diferențială. Analizele termice diferențiale⁴ (fig. 11a, 1, 2) ale aluniților din dealul Geamăna și Coasta Cetrașului se caracterizează prin curbe asemănătoare celor cunoscute în literatură (fig. 11b, 3).

Curba termică a alunitului de la Popinți (Bulgaria, Radonova, 1966), are efectele endotermice la 575° , 700° , 790° și 920° . Spre deosebire de această curbă, curbele aluniților de la Voia cuprind următoarele efecte endotermice: 550° , 585° , 810° pentru aluniții din dealul Geamăna și 555° , 585° , 745° , 790° pentru cei din Coasta Cetrașului.

Popa, Todor (1968) cercetând derivatograamele aluniților de la Voia ajunge la următoarele concluzii:

Aluniții arată o pierdere în greutate în domeniul de temperatură cuprins între 500 - 640°C corespunzătoare eliminării a 6 molecule de apă, din care rezultă sulfatul dublu bazic deshidratat;

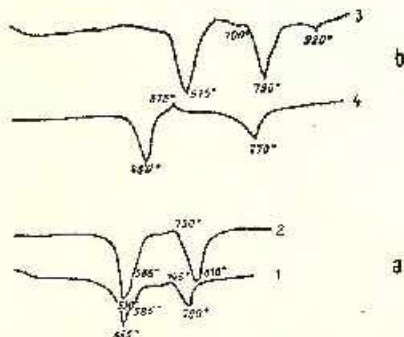


Fig. 11. — Curbele termice diferențiale ale aluniților de la Voia (1, 2, România) și Popinți (3, 4, Bulgaria; Radonova, 1966).
1, quart-alunit; 2, quart-natroalunit; 3, quart-alunit; 4, jaspit.

Courbes thermiques différencielles des alunites de la Voia (1, 2, Roumanie) et Popinți (3, 4, Bulgarie; Radonova, 1966).
1, quartz-alunite; 2, quartz-natralunite; 3, quartz-alunite; 4, jaspite.

⁴ Mulțumiri aduse lui D. Todor care a executat analizele.

Efectul exotermic al alunitiilor se înregistrează între 720-750°C și este cauzat de ruperca legăturilor din sulfatul dublu bazic deshidratat, rezultând o nouă formă cristalină și punind în libertate oxid de aluminiu. Coneomitență are loc și desulfurarea sulfatului dublu care probabil se accentuează după 1200°C. În figura 11b, 4 se prezintă spre comparație curba termică a jarositului de la Popinți (Bulgaria) ale cărei efecte endo- și exotermice se încadrează în limite de temperatură sensibil mai mici decât la aluniti.

Analiza cu raze X. Datele roentgenografice⁵ au fost obținute cu difractometrul FKX, cu diametrul 57,55 mm. Condiții de lucru: 31 KV și 16 mA, 180 V, timp 21 ore. Materialul analizat de la Voia reprezintă o rocă cuarț-alunitică recoltată din dealul Coasta Cetrașului. Rezultatele analizei roentgenografice sunt prezentate comparativ cu datele obținute de Raymond (1962) pentru alunitii proveniți din Yellow-Jachet, Marysvale, Utah (tab. 3, pr. 1) și Mineral Products Mine, (tab. 1, pr. 2)

TABELUL 3

Prezentarea comparativă a datelor roentgenografice ale alunitilor de la Voia și Marysvale (Utah)

Voia-Coasta Cetrașului alunit				Yellow-Jachet, Marysvale alunit				Big Star-Marysvale metralunit			
I	dA°	I	dA°	hkil	I	dA°	hkil	I	dA°	hkil	I
1	5,7	7	2,236	0003	28	5,77	2028	2	1,762	0003	12
1--2	5,4	3	2,119	1011	15	5,72	2240	16	1,746	1011	12
0,5	5,0	2	2,099	0112	53	4,98	1129	2	1,684	0112	76
-4	4,89	2	2,002	1014			2243			1014	
1	4,64	2	1,980	1120	21	3,49	1341	2	1,667	1120	24
1	4,33	0,5	1,915	0115			3036			0115	17
5	4,20	6	1,898	1123	100	2,99	3142	2	1,648	1123	100
1	3,720	6	1,818	0221			1238	2	1,572	0221	70
6	3,673	5	1,743	0006	106	2,89	1344			0006	17
1	3,452	1	1,699	0221	6	2,477	3145	4	1,502	0224	
1	3,381	2	1,676	1017	81	2,293	02210	36	1,503	1017	48
10	3,323	0,5	1,659	2025			2246	9	1,491	2025	
3	3,267	0,5	1,647	1232	6	2,211				1232	12
8	2,952	6	1,543	0118	2	2,038				0118	
1	2,824	1	1,524	2134	2	2,022				2134	
1	2,708	5	1,481	3030						3030	
5	2,452	1	1,454	0009	70	1,926				009	10
-4	2,273	1	1,418	0227						0227	2
		5	1,384	3033	29	1,903				3033	29

⁵ Analiza a fost executată de Gh. Neacsu căruia îl aducem mulțumiri și cu această ocazie.

din Utah. Analizînd comparativ aceste date se desprind următoarele concluzii :

Valoarea $d\Delta^0$ pentru reflexele feței 0003 a alunitului de la Voia ($5,7 \text{ \AA}^0$) corespunde cu cea a alunitului de la Yellow-Jachet care reprezintă o rocă cuarț-alunitică bogată în varietatea potasică (fig. 12) ;

Valorile $d\Delta^0$ pentru natroalunitul de la Big Star se deosebesc radical de cele ale alunișilor de la Voia și Yellow-Jachet deoarece reprezintă valori mult mai mari ;

Intensitățile înregistrate la analiza probei provenită de la Voia au valori mică față de cele din Utah. Acest fapt se explică probabil prin cantitatea mare de cuarț existentă în proba de la Voia ;

Valorile celulei elementare la alunișii de la Voia prezentate în tabelul 2 au fost calculate după cum urmează : pentru a , față 2240 ($4 \times 1,743 = 6,972 \text{ \AA}^0$) și pentru c , față 0006 ($6 \times 2,824 = 16,944 \text{ \AA}^0$).

După cum se vede din tabelul 2, valorile celulelor elementare la alunișii prezențați diferă între ele, diferența se justifică prin compozitia chimică deosebită.

Geneza alunișilor

În literatura de specialitate sunt admise două concepții privind geneza alunișilor : una se referă la originea supergenă a acestora admisă pentru zăcămintele White Horse din Marysvale, Utah (Willard, Proctor, 1916) și din alte regiuni ale lumii, precum și pentru unele iviri din România cum sunt cele de la Hondol (Coasta Mare, vîrful Lelii) și Roșia Montană etc. (Rădulescu, Dimitrescu, 1966), iar cealaltă admisă de Creasy (1959), Nakovnik (1954), Steven, Ratte (1960), Naboko (1961, 1963), Milliot (1964), Radonova (1966) și alții care consideră alunișii ca rezultați din alterația hidrotermală de tip „solfatarie”, în sensul folosit de Burbank (Steven, Ratte, 1960).

După cum s-a menționat în această lucrare, în bazinul superior al văii Voia, rocile transformate hidrotermal au fost incluse la trei faciesuri : propilitic, sericitic-argilitic și cuarț-alunitic. Stabilirea acestei zonalități s-a făcut pe baza observațiilor din teren și laborator. Această zonalitate s-a observat în linii generale la toate tipurile de roci ale căror erupții au fost însoțite în final de soluții hidrotermale.

Faciesurile separate s-au realizat în condiții de temperatură și presiune proprii având parageneze caracteristice.

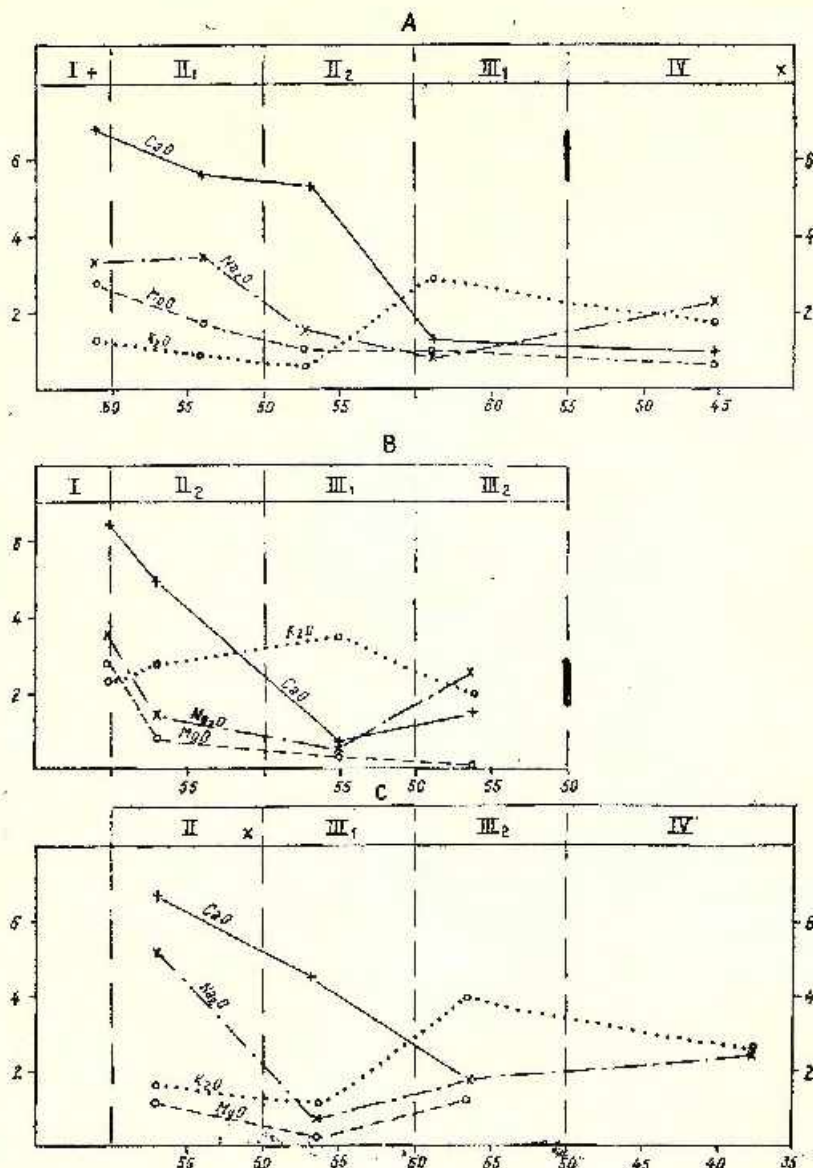


Fig. 12. - Variația oxizilor, SiO_2 , CaO , MgO , K_2O , Na_2O , în faciesul propyllitic (II), sericitic-argilitic (III) și cuart-alunitic (IV) la vulcanitele terțiare de la Voia.

A, dacite; B, andezite quartifère à hornblende et biotite; C, andezite cu hornbleandă și biotit;

C, roci proaspete; II₁, asociatia epidot-albit; II₂, asociatia carbonat-clorit-sericit; III₁, asociatia sericit-carbonat-mineraile argileuze; III₂, asociatia sericit-mineraile argileuze-zecilit; IV, asociatia cuart-alunit.

Pentru studiile I-III, valorile reprezentă media a cinci analize, iar pentru IV, media a două analize.

Variation des oxydes SiO_2 , CaO , MgO , K_2O , Na_2O , dans les faciès propyllitique (II), sérichtique-argilatique (III) et quartzique-alunitique (IV) des volcanites teraires de Voia.

A, dacites; B, andésites quartifères à hornblende et biotite; C, andésites à hornbleandă și quarts și biotit; I, roches fraîches; II₁, association épidoze-albite; II₂, association carbonate-chlorite-sérichte; III₁, association sérichte-carbonate-minéraux argileux; III₂, association sérichte-minéraux argileux-zécilit; IV, association quartz-alunit. Pour les études I à III₁, les valeurs représentent la moyenne de cinq analyses, et pour IV, la moyenne de deux analyses.

TABELUL 4

Principalele minerale primare și hipogene întâlnite în rocile andezitice și dacitice din regiunea Voia

I	II ₁	II ₂	III ₁	III ₂	IV
Feldspat plagioclaz	+	+	-	-	-
Cuarț	+	-	+	+	-
Biotit	--	-	-	-	-
Hornblendă	+	-	-	-	-
Ilmenit	+	-	-	-	-
Magnetit	-	-	-	-	-
Zircon	+	-	+	+	-
Apatit	+	+	+	-	-
Epidot		+	--	-	-
Albit		+	--	--	-
Carbonat		+	+	+	-
Clorit		+	--	-	-
Pirlătă					
Sericit		+	+	+	-
Adular		+	+	+	-
Minerale argiloase		+	+	+	--
Cuarț secundar		+	+	+	--
Rulit				+	
Anhidrit				+	-
Gips					-
Jarosit					-
Zeoliți					-
Alunit					
Natroalunit					
Diaspor					

I, roca proaspătă; II₁, facies propilitic, asociația epidot-albit; II₂, facies propilitic, asociația carbonat-clorit-sericit; III₁, facies sericito-argilitic, asociația sericit-carbonat-minerale argiloase; III₂, facies sericito-argilitic, asociația sericit-minerale argiloase-zeoliți; IV, facies cuarț-alunitic, asociația cuarț-alunit.

Semnul + indică prezența mineralului, semnul - absență, iar -- prezență în cantitate redusă a mineralului.

În tabelul 4 prezentăm principalele minerale primare și secundare întâlnite în rocile proaspete și transformate din regiunea Voia.

La mineralele menționate în tabel, în zonile de alterare superficială se mai adaugă prezența oxizilor de fier (goethit, limonit), mangan (waad), magneziu (brucit) și aluminiu (bohemit, diaspor).

Considerațiile de ordin mineralologic referitoare la evidențierea unei zonalități a proceselor hidrotermale din regiunea Voia sunt argumentate și chimie. În figura 12 se prezintă variația SiO_2 , CaO , MgO , K_2O , Na_2O , la cele trei tipuri de roci afectate hidrotermal: andezite cu hornblendă și cuarț ± biotit (C), andezite cuarțifere cu hornblendă și biotit de tip

TABLEUL 5
Arațările chimice ale dacitului proaspăt și transformat de la
Coasta Mare

Oxizi	I %	II %
SiO ₂	60,99	36,60
Al ₂ O ₃	17,79	28,22
Fe ₂ O ₃	3,86	6,64
FeO	1,34	0,13
MgO	2,86	0,70
CaO	6,40	0,98
Na ₂ O	3,36	1,88
K ₂ O	1,29	2,71
TiO ₂	0,37	0,40
MnO	0,15	0,08
P ₂ O ₅	0,17	0,16
S	0,04	0,06
H ₂ O ⁻	0,88	0,09
Li ₂ O ⁺	1,39	7,40
CO ₂	0,16	1,78
SO ₃	—	17,75
Total	100,78	99,50

I, dacit proaspăt (medie a
trei analize); II, roca cuart-
alunitică.

	K	Na	Ga	Mg	Fe ⁺³	Fe ⁺²	Al	Si	Ti	Mn	P	C	O	OH	SO ₃
I	N	0,18	0,70	6,18	3,58	2,60	0,97	18,86	55,03	0,20	0,06	0,04	0,15	151,66	8,34
II	N-Na ⁺	0,35	0,36	0,78	0,83	0,40	0,04	27,14	29,89	0,20	0,005	0,004	1,22	119,72	40,28
	N-Na ⁺	+0,17	-0,34	-5,40	-2,75	-2,20	-0,93	+ 8,28	-25,14	0	-0,045	-0,046	+1,07	-34,94	-31,94 + 16,1



Săcărîmb (B) și dacite de Cetraș (A). Datele prezentate în această diagramă ne permit să tragem următoarele concluzii :

În general în faciesul de propilitizare, conținuturile în Na_2O cresc, ceilalți oxizi scad în proporții variabile ;

În condițiile faciesului sericito-argilitic se observă o scădere accentuată a SiO_2 , CaO , MgO și foarte accentuată a Na_2O . Soluțiile sunt de această dată îmbogățite în K_2O , acesta fiind de fapt oxidul ce participă la formarea principalelor minerale din acest facies. În cazurile unor silicificieri în faciesul sericito-argilitic se observă o îmbogățire în SiO_2 , așa cum se poate vedea la dacite ;

În cazul faciesului cuarț-alunitic soluțiile au caracter rezidual și cuprind concentrații importante în K_2O , Al_2O_3 , CO_2 , H_2O .

Pentru a avea o imagine de ansamblu asupra caracterului rezidual al soluțiilor hidrotermale ce au generat rocile din faciesul cuarț-alunitic, s-a calculat bilanțul ionic ($N-N_0$). Înindu-se drept reper analiza unui dacit proaspăt (media a trei analize) și unul transformat în rocă cuarț-alunitică (tab. 5).

Compoziția rocii cuarț-alunitice, față de dacitul proaspăt, prezintă un excedent în K (+ 0,17), Al (+ 8,28), C (+ 1,07), OH (+ 31,94), SO_4 (+ 16,19). TiO_2 este unicul oxid care rămâne constant față de situația inițială.

Zonalitatea fenomenelor de alterație hidrotermală semnalată în regiunea Voia se deosebește de datele prezentate de Giușcă et al. (1965), Borcoș, Stanciu (1963), Stanciu (1961), Stanciu et al. (1967), Măldărescu, Măldărescu (1965), pentru regiunile cercetate din munții Gutii și Munții Metaliferi. Deosebirea principală constă în abundența în regiunea Voia a aluniților și a gipsului și prezența în cantități cu totul reduse a adularului.

Concluzii

Din cele prezentate referitoare la aluniții de la Voia se poate spune că aceștia sunt de origine hidrotermală și s-au depus în condițiile faciesului cuarț-alunitic.

Soluțiile hidrotermale din care au rezultat aluniții au avut un pH acid (0,5-1,6).

Studiiile experimentale referitoare la realizarea aluniților pe cale artificială au confirmat faptul că aceștia se formează în condiții de temperatură și presiune scăzută ($100-150^\circ\text{C}$, 1-6 atm.), dar existența acestor minerale în zăcăminte polimetale mezotermale din regiunea Beregovsk

(U.R.S.S.; Sahin, 1965), Summitville (Colorado, Steven, Ratté, 1960) etc. ne determină să credem că este posibilă formarea lor și la temperaturi mai ridicate ($150\text{--}250^{\circ}\text{C}$).

Semnalarea aluniilor în regiunea Voia, confirmă existența în Munții Metaliferi a unui tip de alterație hidrotermală necunoscut pînă în prezent. Această alterație este legată genetic de soluțiile hidrotermale corespunzătoare momentului de erupție a dacitelor de Cetraș.

BIBLIOGRAFIE

- Berbeleac I. (1970) Considerații tectonice, magmatische și metalogenetice în partea centrală și sudică a Munților Metaliferi. *Stud. cerc. geol. geof. geogr. seria geol.* 15, 2, București.
- Borcea M., Stanciu Constantina (1963) Alterația hidrotermală a andezitului quartifer din zăcăminte Haneș (Munții Metaliferi). *Congr. VI. Carp.-Balk.* Varsavia.
- Brophy P. G., Scott S. E., Snellgrove A. R. (1962) Sulfate studies II. Solid solution Between Alunite and Jarosite. *Am. Min.* 47, Menasha.
- Cioflică G., Istrate Gh., Popescu Gh., Udubășa G. (1966) Contribuția cunoașterei vîrstei produselor vulcanice din regiunea Hărăgani Trestia (Munții Metaliferi). *Stud. cerc. geol. geof. geogr. seria geol.* 11, 1, București.
- Creasy S. C. (1959) Some phase relations in the hydrothermally altered rocks of porphyry. *Ee. geol.* 51, 3, Lancaster.
- Ghițulescu T. P., Socolescu M. (1941) Etude géologique et minière de Monts Métallifères. *An. Inst. Géol. Roum.* XXI, București.
- Giuscă D. (1960) Adularizarea vulcanitelor din regiunea Baia Mare. *Stud. cerc. geol. geof. geogr. seria geol.* V, 3, București.
- Stanciu Constantina, Dimitriu A.I., Medeașan Alexandra, Udrescu Constanța (1955) Contributions à la géochimie des processus de sérialisation des andésites. *Assoc. Géol. Carp.-Balk. Congr.* VII, III. Sofia.
- Inkey B. (1885) Nagy und seine Erzlägerstätten, Budapest.
- Măldărescu I., Măldărescu Maria (1965) Asupra unor probleme privind alterația hidrotermală din regiunea Baia Mare. *Anal. Univ. Buc. seria fil. nat. geol. geogr.* 1, București.
- Millot G. (1964) Géologie des argiles. Paris.
- Naboko S. I. (1961) Sovremenne ghidrotermalne protesi i metamorfizm vulkaniceskikh porod. *Tr. Labor. vulkanologich.* 19. Moscova.
- (1963) Ghidrotermalni metamorfism porod v vulkaniceskikh oblastiah. *Izd. Acad. Nauk S.S.R.* Moscova.
- Nakovnik N. J. (1964) Vtoricinlie kvartiti, „Izmenenie ocoiorudnie porod i ili poisoboe znacenie”. *Tr. V.S.E.G.E.I. Gasg.* Moscova.
- Pálfy M. (1916) Az erupcioz zöldkövesedése. *Öhl. Kör.* 46, Budapest.
- Popa Gr., Todor N. (1970) Corestarea derivatografică a alunitelor. *J. Therm. Anal.* 2, 1, Budapest.

- Pöschl P. (1868) Zur geologie des siebenburgischen Erzgebirges. *Jb. R. A.* 18, Wien.
- Rădonova G. T. (1966) Zonalnost na hidrotermalnite metamorfity vltah pri s Popinț, Panatiursko, *Ac. Nauk. Bulg. Geol.* 1, Sofia.
- Raymond L. P. (1962) Isomorphous substitution in natural and synthetic alunite. *Am. Min.* 47, Menasha.
- Rădulescu D. (1953) Contribuții la cunoașterea fenomenelor de propilitizare a rocilor vulcanice. *Rev. Univ. C. I. Parhon, seria st. nat.* 3, București.
- Dimitrescu Il. (1968) Mineralogia topografică a României. București.
- Sabin G. G. (1955) Tectonicskie zaonomernosti razmešenija neoghenovo polimetalliceskoj orudjenija severnoj Vengnii, Avestkogo zacarpatalia i severnol Rumînii. *Geol. sbornic Livovskogo ob.* 9, Lvov.
- Stanciu Constantin (1961) Contribuții la cunoașterea transformărilor hidrotermale ale rocilor andezitice. *Stud. cerc. geol. geof. geogr. seria geol.* 8, 4, București.
- Dimitriu Al., Udrescu Constanța (1967) Studiul geochemical al procesului de sericitizare a andezitului cuarțifer din Munții Metaliferi (zăc. Bucium și Concordia). *Stud. cerc. geol. geof. geogr. seria geol.* 12, 1, București.
- Steven A., Ratte C. J. (1960) Geology and ore deposits, of the Summitville district, San Juan Mountains, Colorado. *Geol. surv. Profess. Paper*, 343, Nevada.
- Teodoru I., Teodoru Camelia (1965) Faciesuri de metamorfism hidrotermal în caldera munților Călimani. *D. S. Com. Geol. LIV*!, București.
- Tröger E. W. (1959) Optische Bestimmung der gestein bilden den Minerale, Teil 1, Stuttgart.
- Willard E. M., Proctor D. P. (1946) Deposit of alunit „White Horse” Marysville Utah. *Ec. geol. and the art. economic geologists.* XLI.
- Winchell N. Al., Winchell If. (1956) Elements of optical Mineralogy. New York.

ALUNITES DE VOIA (MONTS MÉTALLIFÈRES)

(Résumé)

Dans le bassin supérieur de la vallée Voia, les dépôts sédimentaires lortonien et sarmatiens (grès, tuffites etc.) et les roches éruptives tertiaires (andésites à hornblende et quartz \pm biotite, andésites quartzifères et dacites) ont été soumis à une intense métasomatose hydrothermale. Il en a résulté de nouvelles associations de minéraux, attribuées aux faciès : propylitique, séricito-argileux et quartzo-alunitique. Les minéraux du dernier faciès se sont formés dans des conditions spéciales, les solutions hydrothermales ayant un chimisme spécifique (excès de Al_2O_3 , SO_4 , H_2O , CO_2).

À la suite de l'étude minéralogique, chimique, thermique différentiel et rontgénographique des alunites de Voia et après avoir comparer les résultats obtenus avec les données similaires de la littérature de spécialité, on a séparé, dans cette région, deux variétés d'alunites: une variété potassique et une autre sodique (natro-alunite), la première étant prédominante.

Pour tirer au clair la genèse de ces minéraux, on prend en considération l'ensemble des altérations hydrothermales de la région et on arrive à mettre en évidence une zonalité

dans la disposition des minéraux hypogènes. Du point de vue de la sédimentation, les alunites se situent parmi les derniers minéraux formés (avant le gypse).

EXPLICATION DE LA PLANCHE

Carte géologique du bassin supérieur de la vallée Voia (Monts Métallifères).

Dépôts sédimentaires : 1, Quaternaire ; cône de déjection ; 2, Sarmatiens (?) ; complexe volcano-sédimentaire : a, grès, schistes argileux, conglomérats ; b, conglomérats andésitiques ; 3, Tortonien inférieur (?) ; a, grès, sables, schistes argileux violâtres ; b, calcaires ; c, conglomérats, graviers quartzeux. Magmatisme subséquent tardif : 4, dacites (Coasta Mare, Cetras) ; a, neck ; b, laves ; c, aggrégats ; 5, andésites à hornblende et quartz ; 6, andésites quartzifères à hornblende et biotite (Săcărîmb) ; 7, andésites quartzifères à hornblende et biotite (Barza) ; 8, dacites (Cimiel) ; 9, andésites à hornblende et quartz \perp biotite ; a, laves ; b, lufs ; c, aggrégats ; d, brèches. Magmatisme initial ophiolitique : 10, laves, aggrégats et brèches basaltiques. Faciès hydrothermaux : 11, quartzique-alunitique ; 12, séricillique-argillistique ; 13, propylitique. Minéralisations : 14, pyrite et marcasite. Éléments tectoniques : 15, faille ; 16, brèche ; Travaux exécutés : 17, galerie.

MINERALOGIE

CONTRIBUȚII LA STUDIUL FÜLÖPPITULUI DE LA BAIA-MARE¹

DE

MARIA BORGÉA, SUZANA ANTONOVICI²

Abstract

Contributions to the Study of Fülöppite from the Baia-Mare Region. This paper presents a study of the fülöppite to be found in the collection of the Geological Institute of Romania. The mineral dealt with proceeds from the Baia-Mare region, Dealul Crucii mine. The data obtained both as a result of the macro- and microscopical study, carried out on the above mineral sample and on the paragenesis minerals, are given. The study is also completed by drawings of crystallographic forms, by a microchemical analysis and a spectral one. In conclusion, some genetical considerations are expounded.

În colecția de minerale a Institutului Geologic, se găsesc o serie de eșantioane care conțin printre alte specii minerale și fülöppit. Am considerat că fiind util studiul acestui mineral, care este foarte puțin cunoscut atât la noi în țară cît și în alte țări. De asemenea faptul că mineralul amintit a fost descris pentru prima oară în lume din țara noastră, ne-a făcut să acordăm acestui studiu și mai multă atenție.

Istorie. Fülöppitul a fost identificat de F i n á l y, K o c h în anul 1929. Materialul examinat fusese colectat de la mina Dealul Crucii, Baia-Mare de F ü l ö p p, după care a primit de altfel și numele.

Autorii care l-au studiat au crezut la început că este vorba de plagiomit, cristalele având o mare asemănare cu cele de plagiomit de la Wolfsberg în munții Harz. Cercetări amănuințite au arătat că este vorba de un alt mineral la care s-au putut face măsurători goniometrice.

În asociatie cu fülöppitul a fost descris un mineral cu formeză grupuri radiare de ace fine, de culoare cenușie de oțel pînă la negru, cu

¹ Comunicare în ședință din 29 aprilie 1969.

² Institutul Geologic, Sos. Kiseleff nr. 55, București.

luciu metalic slab și urmă albastră. Autorii presupun că este vorba de keelyit, un mineral descris de G. S. Gordon de la Oruro (Bolivia), în 1922. Alături de aceste minerale mai sunt menționate ace de plomoziit, blendă, cuart, cristale mici de sulf.

Rădulescu, Dimitrescu (1966) în „Mineralogia topografică a României” consemnează pe baza unui material bibliografic bogat, numeroase date privind caracterele fizice și chimice ale fülöppitului. De asemenea autorii indică localitățile în care este cunoscut acest mineral la noi în țară.

Localizarea și studiul mineralului. Exemplarele studiate de noi sunt în număr de 17, înregistrate în colecția Institutului Geologic cu nr. L-19736. Materialul provine de la Baia-Mare, probabil ca și tot restul materialului din mina Dealul Crucii.

Fülöppitul aparține grupei plagonit-heteromorfit-semiscyit și se formează în zăcăminte hidrotermale.

Forma de prezentare. Fülöppitul se prezintă sub formă de cristale individuale depuse pe peretii geodelor de cuart sau pe rocă intens silicifiată sau cristale crescute neregulat unele peste altele. În materialul cercetat de noi nu am găsit cristale maclate, niște concreșteri paralele. Cristalele sunt friabile, cu spărtură neregulată, în general cu habitus senz prismatic și nu prezintă clivaj. Formele alungite sunt foarte rare. Cele mai frecvente forme întâlnite în exemplarele studiate de noi sunt: a(100); o(111); c(001) și mai rar s(221); d(101); t(223) (fig. 1, 2). Mineralul se prezintă sub două aspecte: cristale de culoare cenușiu-plumburie cu luciu metalic strălucitor și striații slabe neregulate și cu aspect zgrunțuros; cristale de culoare cenușie de oțel, un luciu slab și striații puternice și dese.

Rar mineralul arată o patină albăstră de oțel. Majoritatea cristalelor sunt mici, nedepășind 2 mm. Dintre cele două forme de prezentare a fülöppitului, forma în care cristalele au luciu metalic strălucitor conține cristale cu dimensiuni mai mari dar care nu depășesc 3 mm.

Compoziția chimică. Primul studiu chimic al fülöppitului a fost făcut în 1929. Rezultatele sunt date în lucrarea lui Finály, Koch (1929). În afară de acest studiu care redă conținuturile elementelor majore și stabilește formula mineralului nu posedăm alte date chimice.

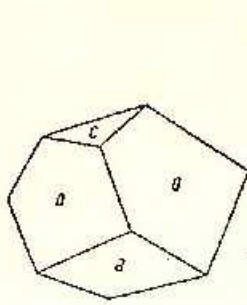


Fig. 1. — Forma cristalelor de fülpöpil : a(100); c(001); e(111).

Forme des cristaux de fülpöpil : a(100); c(001); e(111).

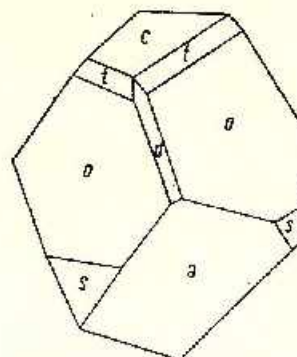


Fig. 2. — Forma cristalelor de fülpöpil : a(100); c(001); d(101); e(111); i(223); s(221).

Forme des cristaux de fülpöpil : a(100); c(001); d(101); e(111); i(223); s(221).

Din materialul studiat de noi și anume din eșantionul L-19736/a am ales cristale curate de fülpöpil, care au fost analizate de Iosof³. Dăm mai jos un tabel comparativ, cu rezultatele celor două analize pe care le posedăm.

TABELUL I

Mina Dealul Crucii, Baia-Mare				
	Pb	Sb	S	SiO ₂
I	28,29	47,50	24,10	0,19
II	29,00	44,10	24,00	-

I. Finály, Koch (1929);
II, Iosof, (Antonovici, Borcea, 1969).

Comparind rezultatele analizei executate pe proba noastră cu cea dată de Finály, Koch constatăm că diferențele între conținuturile elementelor analizate nu sunt mari : Pb găsindu-se în cantitate mai mare la exemplarele studiate de noi, iar Sb mai puțin. Ceea ce privește conținutul în S se constată că diferența între cele două analize este foarte mică.

³ Aducem mulțumiri pentru efectuarea analizei chimice.

Variațiile cantitative mici ale elementelor majore componente (Pb, Sh, S) ce se observă din tabel se datorează fenomenului de hidroliză, fenomen ce este destul de des întâlnit în clasa sulfo-sărurilor. Acest fenomen face posibilă într-un mediu slab acid depunerea bioxidului de siliciu sub formă coloidală (ex. I).

Pentru cunoașterea elementelor minore ce intră în constituția fülöppitului s-a făcut o analiză spectrală⁴ pe cristale curate de fülöppit alese din eșantionul L-19736/a. Conținuturile elementelor în p.p.m. sunt următoarele: Cu = 20; Pb > 1%; Zn > 1%; Ag > 1%; Oa = 10; As = 400; Sb > 1%; Ni, Cr, V sunt sub limita admisibilă.

Aspectul microscopic. Microscopic, fülöppitul apare în cristale izolate idiomorfie sau hipidiomorfie cu unele suprafețe curbate care dă aproximativ forme lenticulare și cu dimensiuni de la 0,2-2 mm (pl. I, fig. 1, 2). De asemenea mai apare ca agregate cu un aspect foarte neregulat, uneori dendriforme, constituite dintr-o aglomerare de cristale mărunte xenomorfe cu dimensiuni de 0,3-0,5 mm.

Culoarea este albă, ușor canușie, foarte asemănătoare cu a galonei. Mineralul prezintă reflexe interne roșu închis-ruginii și nu are pleocroism iar puterea de reflexie este apropiată de a galenei. Anizotropia este clară, prezintând culori de la cenușiu închis-albăstrui la brun-cărămiziu și galben-cenușiu, care pun în evidență structura internă a agregatelor granulare, respectiv concreșterile existente în cadrul aglomerărilor de cristale mărunte.

Atacat cu HCl concentrat fülöppitul devine brun, formându-se pe suprafață lustruită un precipitat care se înlătură prin frecare. Cu HNO₃ se înnegrește imediat.

Atât macroscopic cât și microscopic s-a observat asocierea fülöppitului în special cu jamesonitul, care formează agregate de cristale aciculare fibroase dispuse radial, avind o culoare albastru-cenușie și luciu metalic, cu un aspect mătăsos (pl. I, fig. 3).

Sub microscope aceste două minerale, fülöppitul și jamesonitul, prezintă aceeași culoare albă; se deosebesc însă prin forma cristalelor, prin efectele de anizotropie și prin atacul cu reactivi.

Presupunem că mineralul descris de F i n á l y, K o c h sub numele de keelyit, ce apare asociat cu fülöppitul este jamesonit determinat de noi atât microscopic cât și macroscopic.

⁴ Aducem mulțumiri pentru efectuarea analizelor spectrale.

Rareori fülöppitul este asociat cu blenda în cristale mici neregulate și cu marcasita filiformă insinuată pe fisuri foarte fine în gangă.

Ca minerale de gangă s-a determinat cuarțul în cristale mărunte sau mase compacte, subordonat caleit criptoeristalin sau în cuiburi cu cristale mai dezvoltate pînă la 2-3 mm.

Uneori fülöppitul este depus în golorile din roca gazdă care apare intens silicifiată și mai slab carbonatată.

Considerații genetice. Mineralizarea în componența căreia am găsit și fülöppitul constă din mai multe generații: o generație mai veche în care s-au depus sulfurile de fier și zinc; de cupru și plumb și care se caracterizează prin temperaturi ridicate; o generație mai nouă de temperaturi scăzute în care s-au depus sulfo-sărurile cu un conținut ridicat de stibiu. La sfîrșitul acestei faze plumbul începe să inflocuiască treptat stibiul.

În urma studiului microscopic am stabilit următoarea ordine de depunere a mineralelor: cuarț, blendă, marcasită, fülöppit, jamesonit.

BIBLIOGRAFIE

- Dana E. S. (1950) Minerals and how to study them. New York-London.
 Doepler C., Leitmeier H. (1926) Handbuch der Mineralchemie. Leipzig.
 Fabregat I. F. (1964) Revision critica de los minerales Mexicanos. 2. Plumbosilicatos. Univ. Mexico. Inst. Geol. Mexico.
 Finály L., Koch S. (1929) Fülöppite a new Mineral of the plagonite-semseyite group. Min. Mag. 22, London.
 Helke A. (1938) Die jungwulkanischen Gold und Silber Erzlagerstätten des Karpathenbogens. Arch. Lagerstättforsch. 66, Berlin.
 Hintze C. (1930) Handbuch der Mineralogie. Berlin.
 Koch S. (1957) Data on some rare sulphosalts. Acta Szeged, 10, Szeged.
 Petruțian N. (1934) Étude chalcographique du gisement de plomb et de zinc de Herja. An. Com. Géol., XVI, București.
 Ramdohr P. (1960) Die Erzminerale und ihre Verwachsungen. Berlin.
 Rădulescu D., Dimitrescu R. (1966) Mineralogia topografică a României. Ed. Acad. R. S. România, București.

CONTRIBUTIONS À L'ÉTUDE DU FÜLÖPPITE DE BAIA-MARE

(Résumé)

Dans la collection de l'Institut Géologique, on trouve des échantillons qui contiennent, parmi d'autres minéraux, du fülöppite. Le matériel provient de Baia-Mare et il y a tout lieu de croire qu'il a été prélevé de la mine Dealul Crucii.

On y présente l'étude de ce minéral et sa paragenèse.

Le fülöppite a été identifié en 1929 par Finály et Koch dans un matériel prélevé par Fülöpp de la mine Dealul Crucii (Baia-Mare). Plus tard, il fut mentionné par Radulescu, Dimitrescu (1966) dans „Mineralogia topografică a României”.

Le fülöppite appartient au groupe plagonite-héleromorphite-semseyite et il prend naissance dans des gisements hydrothermaux. Il se présente sous forme de cristaux isolés ou développés irrégulièrement les uns au-dessus les autres, déposés sur les parois des gîtes de quartz ou bien sur les roches intensément silicifiées. Ses cristaux sont friables, pourvus d'un court habitus et ils ne présentent pas de clivage. Le minéral se présente sous deux aspects différents : des cristaux grisâtre-plombé à éclat métallique et à faibles stries irrégulières ; des cristaux gris acier à faible éclat métallique et à stries profondes et fréquentes.

La plupart des cristaux sont petits (2 mm); ils arrivent parfois à 3 mm.

L'analyse spectrale du fülöppite indique les éléments suivants (en ppm): Co = 10; Cu = 20; As = 400; Pb > 1%; Zn > 1%; Ag > 1%; Sb > 1%.

Son analyse microchimique indique les teneurs suivantes : Pb = 29%; Sb = 44,1%; S = 24%.

Au microscope, le fülöppite présente des cristaux isolés, idiomorphes ou hippidiomorphes, à certaines surfaces courbées qui donnent naissance à des formes lenticulaires de 0,2 mm à 2 mm. De même, il peut présenter des agrégats dendritiques. Le minéral a une couleur blanc-grisâtre et il présente des reflexes internes rouge foncé-rouille. En nicols croisés ($N\pm$), les couleurs qui apparaissent sont gris foncé-bleuâtre jusqu'au brun-rouge brique et jaune-grisâtre. Il apparaît en association avec le jamesonite dont il est différent par les effets d'anisotropie et par l'attaque aux réactifs. On le trouve en association avec blende, galène, marcasite filiforme, quartz et calcite.

Quant à la période de minéralisation, le fülöppite s'est formé en même temps que les autres sulfosels, dans une phase plus tardive, à température basse, qui a succédé à la phase des sulfures. On a établi le suivant ordre de constitution des minéraux : quartz, blende, marcasite, fülöppite, jamesonite.

PLANŞA I

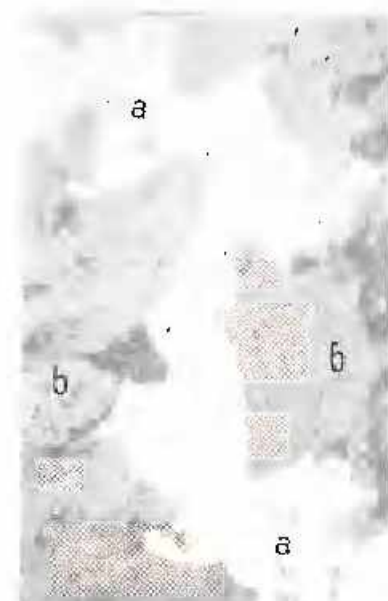


Institutul Geologic al României

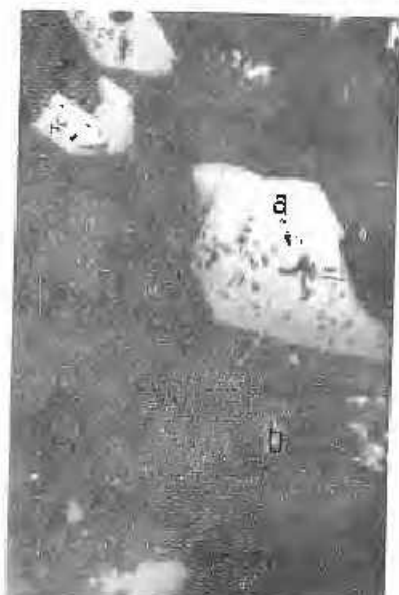
PLANSA I

- Fig. 1. — Cristale înlăujite de fulögpit (a); gangă (b). NII; $\times 100$.
Cristaux de filögpite en chapelet (a); gangue (b). N II; $\times 100$.
- Fig. 2. — Cristale izolate de fulögpit (a); gangă (b). $\times 140$.
Cristaux isolés de filögpite (a); gangue (b). $\times 140$.
- Fig. 3. — Cristale aciculare de jemesonit (a); gangă (b). $\times 140$.
Cristaux aciculaires de jmesonite (a); gangue (b). $\times 140$.
- Fig. 4. — Cristal de fulögpit. $\times 100$.
Cristal de filögpite. $\times 100$.

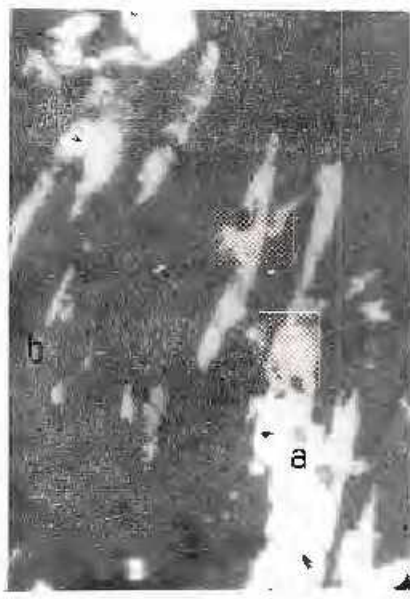
M. BORCEA, S. ANTONOVICI Studiul filoippitului de la Baia-Mare. Pl. I.



1



2



3



4

Institutul Geologic. Dări de seamă ale ședințelor, vol. IV/1.



Institutul Geologic al României

PETROLOGIA ROCILOR MAGMATICE

CONSIDERĂȚII ASUPRA VULCANISMULUI TORTONIAN DIN PARTEA DE NW A MASIVULUI PRELUCA (JUDEȚUL MARAMUREȘ)¹

DE

IOAN KALMÁR, DOINA IONESCU²

Abstract

Considerations on the Tortonian Volcanism in the Northwestern Part of the Preluca Massif (Maramureș). The products of the explosive volcanism in the northwestern part of the Preluca massif were geologically, petrographically and chemically studied, three phases accompanied by hydrothermal manifestations being distinguished. The age of the volcanic activity is determined on the basis of its relationship with the adjacent fossiliferous sedimentary rocks.

Partea de NW a masivului Preluca — între localitățile Copalnic și Valea Chioarului — este bordată de depozite tortoniene, care formează o bandă cu lățime variabilă între 0,5-1,8 km. În cuprinsul acestor depozite, cercetările noastre³ au pus în evidență prezența unor centre de activitate vulcanică de tip exploziv, care au dat naștere la un volum important de produse piroclastice.

Prima mențiune asupra depozitelor tortoniene aparține lui P. S. Popov (1852). Hoffmann (1886, 1888) delimită Tortonianul (Mediterranean mediu) și tufurile „predominant riolitice”.

¹ Comunicare în sesiunea științifică a Întreprinderii Geologice de Prospecting din 20 martie 1969.

² Întreprinderea Geologică de Prospecting, Cal. Griviței nr. 64, București.

³ I. Kalmár. Prospecții geologice pentru minerale nemetalifere — mica — în Preluca-Lăpuș, 1966. Arh. Com. Stat. Geol. București.

I. Kalmár. Prospecții geologice pentru muscovit, quarț și feldspat în munții Preluca, Maramureș, 1967. Arh. Com. Stat. Geol. București.

I. Kalmár. Prospecții geologice pentru minerale nemetalifere și roci utile în munții Preluca-Lăpuș (jud. Maramureș), 1968. Arh. Com. Stat. Geol. București.

Dintre cercetătorii mai noi Marinescu, Marinescu, în rapoartele întocmite⁴ și într-o comunicare (1962) precizează poziția stratigrafică a complexului de gresii și tufuri tortoniene separând și zonele silicificate de la Coaș.

Depozitele tortoniene au fost cercetate și de Păncă et al.⁵ precizind pentru tufuri vîrstă tortonian-inferioară.

Cele mai recente cercetări privind depozitele tortoniene aparțin lui Bulgăreanu et al.⁶ precum și lui Lăcătușu⁷.

I. Date asupra geologiei regiunii

Partea de NW a munților Preluca este constituită din depozite cretacice, paleogene și neogene depuse pe un soiul cristalin mezometamorfic. Cretacicul, în facies de Gosau apare la zila Buteasa și la Valea Chioarului. Paleogenul este reprezentat prin depozite continentale și marin-epicontinentale (argile vărgate inferioare, seria marină inferioară, stratele de Turbuța-Stejărea, seria calcaroasă, stratele de Curtuiuș-Ciocmani, stratele de Buzuș-Ileanda, stratele de Buzaș), iar Neogenul, prin Tortonian, Sarmatian și Pannonian (fig. 3; pl. III, fig. 3).

În acest cadru geologic, depozitele tortoniene marchează ultimul episod marin, transgresiv peste formațiunile vechi și adesea acoperit transgresiv de depozitele sarmatiene.

Cercetările noastre au pus în evidență prezența a două orizonturi distincte: 1, un orizont inferior, de vîrstă tortonian-medie și inferioară, 2, un orizont superior.

⁴ Josefina Marinescu, F.I. Marinescu. Raport geologic asupra bazinului mijlociu al R. Cavnic. 1954. Arh. Com. Geol. București.

Josefina Marinescu, F.I. Marinescu. Raport geologic din regiunea R. Lăpuș-Vl. Șatra-Groși-Bala Mare. 1955. Arh. Com. Geol. București.

⁵ M. Păncă, Elena Mateescu, A. Naghel, Antoaneta Perianu, D. Istoescu, M. Gheorghian, Mihaela Gheorghian, Magdalena Radu, Aura Naghel, Elena Cărăușu. Prospecții geologice pentru cărbuni în bazinul Itaia Mare și împrejurimi. 1961. Arh. Com. Geol. București.

⁶ Gh. Bulgăreanu, M. Gheorghian, Mihaela Gheorghian, Magdalena Radu. Raport geologic asupra proiecțiunilor geologice pentru hidrocarburi în N bazinului Transilvaniei și zona V. Lăpușului (Coaș)-V. Tîrlișua; completarea proiecțiunii în jurul cristalinului munților Făget (Bic). 1963. Arh. Com. Geol. București.

⁷ A. Lăcătușu. Prospecții geologice pentru minerale nitrile nemetalifere, nisipuri euarțoase, în zona Șomcuta-Coaș-Trestia (Reg. Maramureș). 1966. Arh. Com. Stat. Geol. București.

1. *Orizontul inferior.* Cuprinde formațiuni heteropice, continentale fluviatile sau litorale, de grosime și răspândire redusă (fig. 1).

Astfel, la baza lufurilor din valea Muncel-Copahie apare un nivel discontinu de 0,5-1 m de bricei marnoase constituite din clemente de marne oligocen-superioare, pe seama cărora s-au format. În aceste bricei, asociate cu mici lentile de nisipuri și microconglomerate la obîrșă Vâii Slabe s-a observat numeroase urme vegetale incarbonizate.

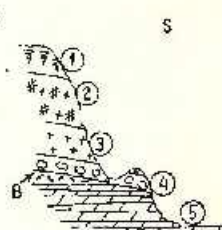
Pe drumul de rare, între Valea Slabă și valea Grozii se observă numeroase atât române de marne roșu-cărămizi, cu textură brecioasă, într-o matrice nisipoasă roșie și cenușie. Abundă

Fig. 1. — Bricei roșii tortonian-medii (B) la obîrșa Vâii Slabe (Între Râuri).

1, sol vegetal; 2, lufuri usor argilizate; 3, lufuri grozave; 4, aglomerate; 5, Oligocen superior-Buzdiganian.

Brèches rouges tortoniennes moyennes (B) au commencement de Valea Slabă (Între Râuri).

1, sol végétal; 2, lufs faiblement argilisés; 3, lufs grossiers; 4, agglomérats; 5, Oligocène supérieur-Buzdiganian.



fragmentele de gresii fine, gălbui-roșcate. În accepția noastră reprezentă depozite continentale formate înaintea transgresiunii tortonian-superioare.

Aceste roci reapar în șaua dintre dealurile Măgura și Grunjeanu, asociate cu plăci de gresii limonitizate. În valea Grozii peste acesta apar nisipuri albicioase cu stratificatie încrucisată (cca 2,5 m) cu lentile de piatră bine rotunjite de cuarț și cuarțite micace (fig. 1).

Pietrișurile de mai sus au o dezvoltare maximă la obîrșa vâii Podului și sub virful Coaș; aici ating grosimi de 8 m și conțin intercalări de nisipuri groziere argiloase roșcate.

Sub faleze de calcare tortoniene de la moara lui Macsin (pe versantul drept al râului Lăpuș, sub satul Remecioara) apare 50-60 cm nisip cuarțos cu sporadice elemente de piatră, având o stratificatie încrucisată, direct peste calcare grozire ecene.

Pietrișurile și nisipurile cu stratificatie încrucisată reapar pe dealul Frasinilor, deasupra satului Valea Chioarului. Acei elementele de cuarț și șisturi cuarțitice ating diametrul de 5 cm și adesea prezintă mucuri și colțuri.

Și mai la W, pe valea Bancului, afluent al vîii Birsăulei sub un pachet de marne cu microfauna tortonian-superioară, Mărgărit. Mărgărit⁸ descriu un complex argilo-nisipos cu elemente de cristalin și de calcar ecene de 10-15 cm.

De altminteri, în regiunea din colțul Someșului Dumitriu, Dumitriu⁹ raportează Tortonianul inferior conglomerate și gresii moi argiloase de la Cucu și de la sud de Popleleac paraleлизabile cu partea superioară a stratelor de Hida.

În rezumat, formațiunile continentale (breccile roșii) fluviatile sau litorale (pietrișuri, nisipuri) de la baza depozitelor fosilifere tortonian-

⁸ Gh. Mărgărit, Maria Mărgărit. Observații asupra Tortonianului de pe valea Bancului (Valea Chioarului). 1970. D. S. Inst. Geol. LVI/4 (săb. lipar). București.

⁹ M. Dumitriu, Cristina Dumitriu. Raport geologic asupra regiunii Minău-Benesat-Vîrsa (reg. Baia Mare). 1961. Arh. Com. Geol. București.

superioare trebuie raportate, pe considerente de superpoziție, vîrstei cuprinse între Burdigalianul superior și Tortonianul mediu (inelusiv).

2. Orizontul superior. Argumentarea paleontologică a apartenenței depozitelor grezo-calcaroase Tortonianului superior a fost făcută de S a u l e a, Bărbulescu (1957), M a r i n e s c u, M a r i n e s c u (1962), R a d u¹⁰, Lăcătușu¹¹. Variațiile importante de facies adesea pe distanțe mici fac ca în cuprinsul teritoriului cercetat să apară o mare diversitate de roci.

Marcile nisipoase apar în partea inferioară a pachetului în imprejurimile satului Copalnic; ele se continuă spre NE și tind să înlocuiască treptat calcarele și tufurile.

Sunt roci plastice, moi, slab stratificate cu rare pelicule de nisip micaceu. Intercalațiile de gresii fine și silitice feruginoase sunt frecvente; adesea ele prezintă desfaceri caracteristice, cu aspect concoidal „în scrumieră”.

La microscop apar granule fine (0,01-0,1 mm) subangulare sau subrotundă de cuart metamorfogen, cu extincție ondulatorie, paieci de muscovit, fragmente de 0,05-0,2 mm de feldspat (uneori plagioclaz mal bazic, zonat, intens argilizat), loită de biotit cloritizat, într-o masă fundamentală fină argilo-limonitică. Feldspatul plagioclaz și biotitul au origine magmatogenă, fiind remaniate din piroclastite.

Calcarele de Leitha au o mare răspândire în regiune, începînd de la dealul Muncel și pînă la dealul Frasinilor. Prezintă o asociație strînsă cu tufurile; spre sud-vest tind să le înlocuiască iar spre nord-est se diferențiază foarte mult, fiind reprezentat doar prin cîteva peni de 2-4 m grosime,

În funcție de conținutul de granule detritice se pot deosebi gresi, calcaroase, gresii foarte calcaroase, calcare foarte grezoase, calcare grezoase calcare slab grezoase și calcare pure (frecvența cea mai mare are primul, respectiv ultimul termen). Ele formează bancuri decimetrice cu fețe ne-regulate, și au culoare albă sau alb-gălbui, cenușie în spărtură proaspătă.

La microscop (pl. I, fig. 1), într-o masă fundamentală fin granulară calcitică plutesc resturi de *Lithothamnum*, foraminifere (miliolide, textularide, globigerinide, subordonat fragmente de 0,1-0,1 mm de spăt de echinoderme de moluște și de briozăre). Tuburile de viermi și de scatopode (pl. III, fig. 2) apar în special la Berchezoaia. Particulele detritogene sunt reprezentate prin cuart, cuarțite slab micacee, granule rare de microclin, paieci de muscovit; dimensiunea lor variază între 0,3-3 mm (într-o variație, între 0-8% în cazul calcarelor și 25% în cazul gresiilor calcaroase. Forma granulelor este subrotundă sau subangulară.

Analiza chimică a unor astfel de calcare este redată în tabelul 1. Se observă cantitățile relativ ridicate de silice date de granulele detritogene

¹⁰ Magdalena Radu. Prospectiuni geologice pentru bentonite în zona Cetățele-Cărpinii-Copalnic (reg. Maramureș). 1963. Arh. Com. Geol. București.

¹¹ Op. cit. pet. 7.

TABELUL 1
Analiza chimică a unor calcare de Leitha

Nr. probei	5082	11587	11613
Localizare	Dealul Muncel, Copalnic	Riu Lăpuș, Remeteiora	Riu Lăpuș, Remeteiora
Componenti	%	%	%
SiO ₂	9,35	11,05	3,44
Al ₂ O ₃	—	2,00	0,95
Fe ₂ O ₃ + FeO	2,53	1,00	1,40
MgO	0,83	0,15	0,30
CaO	49,00	46,90	51,18
P ₂ O ₅	—	urme	0,01
S	—	urme	0,28
P.C.	38,50	38,53	42,17

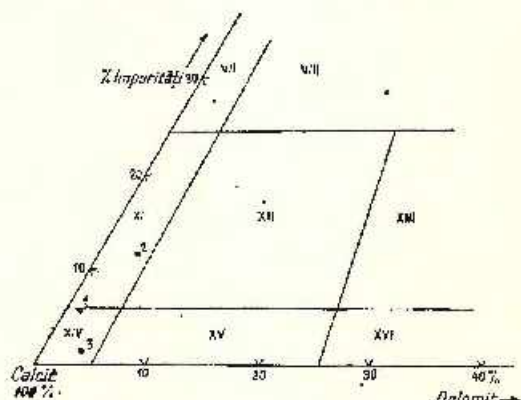
de quart. Alumina este legată de mineralele argiloase din masa de bază și de rarele paile de muscovit. Fierul se datoră în bună parte impurificării mecanice (limonit pelicular). Roca este foarte săracă în magneziu; sulful și urmele de fosfor sunt probabil de natură biogenă. În diagrama Vișneakov, aceste calcare se proiectează în colțul stîng, cimpurile XI și XV (fig. 2) în cadrul calcarelor grezoase și al calcarelor pure.

Fig. 2. — Colțul stîng al diagramelor ternaire Vișneakov.

1,2,3. probe de calcare cu *Lithothamnium*; VII-XVI numerotarea secțiilor după I. B. Ruhlin (1966).

Coin gauche du diagramme ternaire Vișneakov.

1,2,3. échantillons de calcaire à *Lithothamnium*; VII-XVI numérotage des sections selon I. B. Ruhlin (1966).



Peste depozitele tortoniene urmează cele sarmatiene, reprezentate prin marne cenușii fotoase, gresii marnoase, tufite dacifice și calcare dolomitice. Atât gresilele ei și calcarele dolomitice (slab grezoase) remaniază elemente magmatogene, plagioclazi, sticlă, silexite, provenind din Tortonian. Pannonianul acoperă Sarmatiul în lungul unei ușoare discordanțe. Este reprezentat prin marne nisipoase, nisipuri fine prăfoase, cu pelicle argiloase și sfârmașuri de cochilii de moluște, siltite marnoase și marne fine plastice (fig. 3).

Vîrsta acestor depozite a fost stabilită pe bază microfaunistică, avându-se drept termen de comparație determinările făcute de Torgulescu (1955).

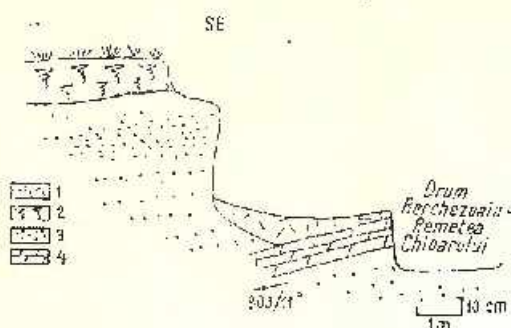


Fig. 3. — Afloriment la baza Pannonia-nului,

1. depozite deluviale recente; 2. sol vegetal; 3. nisipuri; 4. mărme nisipoase.

Affleurement à la base du Pannien,
1. dépôts diluviaux récents; 2. sol végétal; 3. sables;
4. marnes siliceuses.

II. Produsele vulcanismului exploziv

În regiunea studiată apar mase importante de roci a căror formare este legată de existența unei activități vulcanice. Roci de origine magmatică, consolidate în parte subcrustal, în parte subacvian, amestecate cu material epiclastic sau organogen formează o gamă variată de depozite piroclastice.

Pozitia stratigrafică a acestor roci este clară grație îndințării lor cu depozite fosilifere de vîrstă tortonian-superioară (fig. 4). Spre interiorul bazinului Baia-Mare^{12,13} ele devin din ce în ce mai fine și trec la marne tufitice sau marne cu o bogată microfaună de globigerinide tortonian-superioare. Spre NE grosimea lor se adâncește; predomină tufurile fine care trec la tufite marnoase sau tufuri bentonitice (la Cetățele).

În regiunea studiată întâlnim o gamă variată de roci piroclastice; brecii piroclastice, roci piroclastice consolidate subacvian și roci piroclastice consolidate în apă.

1. *Brecii piroclastice*. Atribuim acestei categorii rocile grosiere, nesortate, nestratificate, cu elemente colțuroase, de sticlă vacuolară, de dacite, andezite și de roci sedimentare cornificate, într-o pulbere fină vitroasă incluzând și cristale slărite de quart și de plagioclaz. Astfel de roci apar în versantul sud-estic al dealului Măgura, în fundul unei râpe (afluent al Văii Slabe) și la baza abruptului sudic al dealului Grunjeanu

¹² V. Aghiorghiesei. Raport geologic esupra regiunii Coș-Baia Mare, 1952, Arh. I.P.G.G. București.

¹³ Elena Popescu. Raport geologic asupra lucrărilor de cercetare cu forajul 4758 Baia Mare, 1964. Arh. Com. Geol. București.

Elena Popescu. Raport geologic asupra lucrărilor de cercetare cu forajul de referință 4764 Baia Mare. Arh. Com. Geol. București.

Elena Ionescu. Raport geologic asupra rezultatelor obținute cu sondă 4757 Săsat, 1966. Arh. Com. Stat. Geol. București.

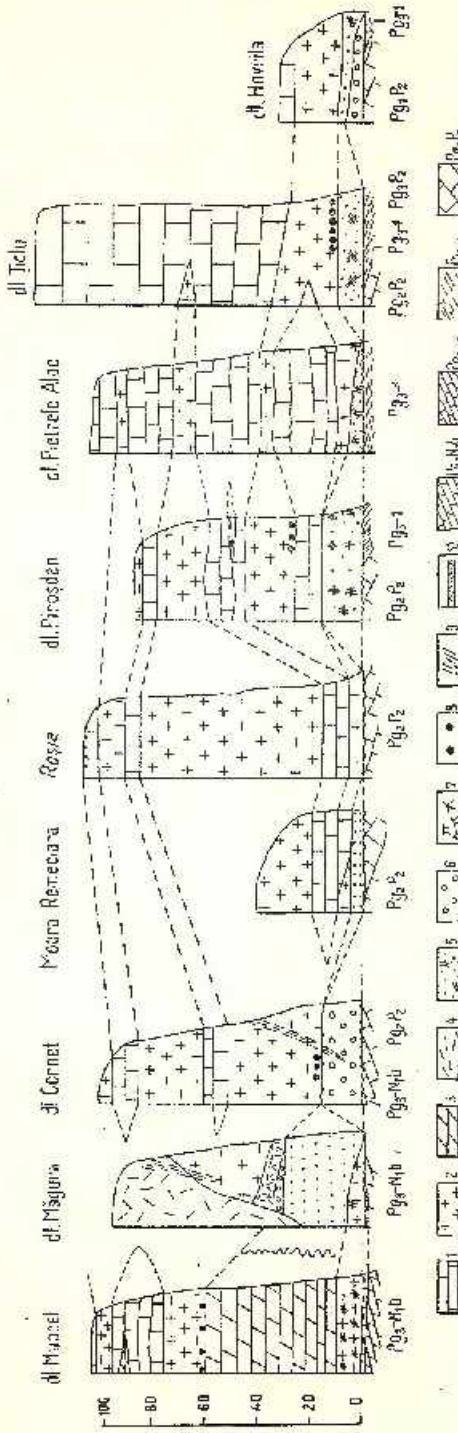


FIG. 4. — Parallelizarea depozitelor lartoniene din partea de NW a masivului Preluca.

1. calcar de Lește; 2. murechitite; 3. murechitite; 4. brioză piroclastică; 5. subțiri klastoase; 6. mafogian; 7. uniformitate; 8. horizon en égionement unidirectionnel; 9. metamorfism; 10. horizont argilosus roșii; 11. brioză de Biuza; 12. stratificare de Cuciș; 13. stratificare de Cuciș; 14. stratificare de Cuciș; 15. stratificare de Cuciș.

Mise en parallèle des dépôts lartoniens du NW du massif Preluca.

i. calcar de Lește; 2. murechitite; 3. murechitite; 4. brioză piroclastică; 5. subțiri klastoase; 6. mafogian; 7. uniformitate; 8. horizon en égionement unidirectionnel; 9. metamorfism; 10. horizont argilosus roșii; 11. brioză de Biuza; 12. stratificare de Cuciș; 13. stratificare de Cuciș; 14. stratificare de Cuciș; 15. stratificare de Cuciș.

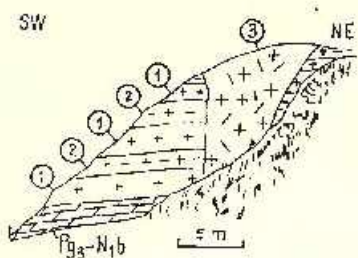


Fig. 5. — Ripa din dreapta Văii

Slabă, Între Râuri.

Peg. — N₁b, stratele de Buzău; 1, tufuri fine; 2, guelta; 3, brechi piroclastice.

Ravin du côté droit de Valea

Slabă, Între Râuri.

Peg. — N₁b, couches de Buzău; 1, tufs fins; 2, tuffites; 3, brèches pyroclastiques.

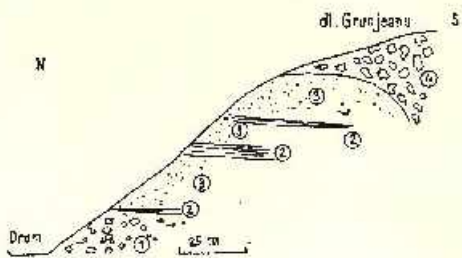


Fig. 6. — Dealul Grunjeanu.

1, aglomerate; 2, tufite pelitomorfe; 3, tufo; 4, brechies piroclastiques.

Colline Grunjeanu.

1, agglomérats; 2, tuffites pélitomorphes; 3, tufs; 4, bréches piroclastiques.

(fig. 5, 6). Aceste roci sunt adesea transformate sub acțiunea soluțiilor hidrotermale.

2. Tufuri sudate. La baza abruptului nordic al dealului Măgura și la obîrșia Buciului (afluent stîng al văii Grozii), foarte aproape de limita cu depozitele burdigaliene subjacene, am identificat un nivel de roci poroase, cu aspect de zgură sau smalț pe care localnicii l-au întrebuitat pentru pietre de moară.

La microscop, roca este constituită din fragmente de sticlă, indoite, alipite, cu o evidență textură fluidală, incluzind fragmente de plagioclaz zonat și de quart. Alteori, într-o masă sticloasă se observă numeroase sferule de sticlă de culoare mai deschisă sau incoloră, învelind cristale de quart sau de feldspat. Astfel de roci au fost întâlnite și ca elemente în aglomerate și tufuri grosiere, sub dealul Grunjeanu, Coaș și Piroșdau (pl. II, fig. 1, 2).

Aceste roci s-au format din cenușă incandescentă, prin retopirea parțială și sudarea particulelor de sticlă, în condiții subacvatice.

3. Rocă piroclastică consolidată sub apă. Această categorie cuprinde o mare varietate de roci dintre care cităm: aglomeratele, lapillitele, tufurile grosiere, tufurile fine pelitomorfe și tufitele.

Aglomeratele și lapillitele sunt roci grosiere, în general slab sortate, dispuse în bancuri de 20–80 cm. În afloriment ele ies în relief (fig. 7) alternând cu tufuri, tufite sau mai rar calcar de Leitha. În cadrul unui pachet adesea se observă o tendință spre granulăsare (fig. 8): în partea bazală predomină fragmentele grosiere pe cind în partea superioară a bancului predomină materialul cineritic.

Aglomeratele și lapillitele formează aproape 40% din totalul rocilor piroclastice la Coaș (dealul Grunjeanu, dealul Lă Vii, dealul Măgura);

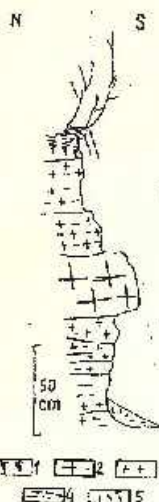
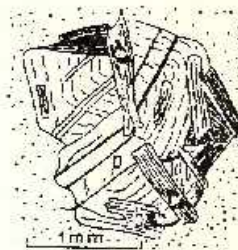


Fig. 7. — Valea Grozii, sub dealul La Vii-Coaş.
1, sol vegetal; 2, aglomerante; 3, tufurigrusiere; 4, tufurifite; 5, depozite dezuviale recente.
Vallée Grozii, au pied de la colline La Vii-Coaş.
1, sol végétal; 2, agglomérats; 3, tufgrasiers; 4, tufites; 5, dépôts d'humus récents.

Fig. 8. — Biotit (b) concrétionné avec feldspath plagioclase (p). Valea Grozii, Coaş. $\times 15$.

Biotite (b) développée d'une manière enchevêtrée dans le feldspath plagioclase (p). Vallée Grozii, Coaş. $\times 15$.



că 15% la Berchezoaia (valea Cîternii, valea Berchez, dealul Piroşdan); spre Ciolt participarea lor devine neinsomnată ca să apară din nou pe dealul Frasinilor-Valea Chioarului.

Aglomeratele și lapilliile sunt constituite din elemente de \varnothing 2-250 mm prinse într-o masă de bază de natură cineritică. Printre elemente întâlnim: granule de cuarț și feldspat ușor argilitizat, fojte de biotit, fragmente de cuarțite și sisturi cuarțitice, de corneene și gresii silicificate, de microdiorit-porfirite, andezite, dacite și piatră ponce. La microscop (pl. I, fig. 1, 2), cristalele de feldspat (până la 4 mm) apar intens maclate și zonate (29-36% An). În corneene apar prisme foarte fine de albă, epidot, sericit și calcit. Fragmentele de dacit sunt formate dintr-o pastă microfelsitică vitroasă, cu prisme scurte de plagioclaz acid (9-20% An) fin maclate și granule de cuarț. Mai rar apar fragmente de microfelsite constituuite din cuarț și cca 20%

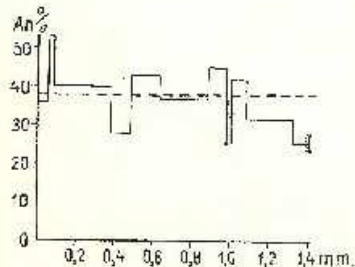


Fig. 9. — Variatia conținutului în anortit al zonelor unui cristal plagioclaz din microdiorit-porfirite (elemente din aglomerate). Linia intreruptă reprezintă conținutul în anortit al feldspatului din pasta.

Variation de la teneur en anorthite des zones d'un cristal plagioclase de microdiorit-porphyrtes (éléments d'aglomérats). La ligne pointillée représente la teneur en anorthite du feldspath de la pâte.

plagioclaz (albit-oligoclaz). Liniul este cineric sau mai rar lapillitic constituit din sticla de culoare deschisă și subordonat fragmente de cristale de cuarț și feldspat plagioclaz. Sticla apare în fragmente așchioase, indoite, ca picături alungite, fire, bulgări cu numeroase bule; la fragmentele mari se observă, la suprafață, un început de devitrificare și numeroase fisuri (fig. 9) denotând o răcire bruscă (prin scufundare în apă). În tabelul 2 redăm

rezultatelor determinărilor cantitative și dimensiunile mineralelor pentru un lapillit în partea inferioară a complexului.

TABELUL 2
Lapillit (Valea Grozii-Coaș)

	%	mm
Sticla	23,16	0,05-1,6
din care liantul cineritic	12,81	0,005-0,01
Cristale		
Plagioclazi	18,92	0,2-1,8
Ortoză		
Cuarț	26,56	0,3-2,5
Biotit	1,52	0,08-0,7
Particule litice	29,84	0,4-2,5

O atenție deosebită merită elementele de roci din aglomerate. Ele sunt abundente în partea inferioară a complexului la baza unui pachet de aglomerate grosiere, unde ajung la 25 cm diametru.

Astfel, în sănțul stâng al drumului Copalnic-Coaș, sub dealul Muncel, la cca 400 m N de ramificația spre Curtulușu Mic, apare un banc de aglomerate grosiere constituite aproape exclusiv din dacite (\varnothing 5-30 cm). Sub podul de peste valea Grozii, în vatra satului Coaș reappează același orizont (fig. 10) în care fragmentele de \varnothing 3-25 cm de microdiorit-porfirit și de

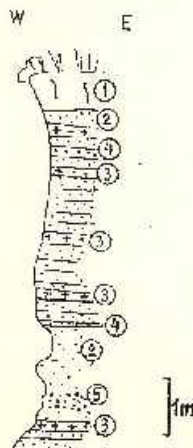


Fig. 10. -- Valea Poduului, Coaș, versantul stîng.
1. sol vegetal; 2. gresii tuftitice fine; 3. tufuri; 4. tufacee; 5. gres tuftitice grosiere.

Vallée Poduului, Coaș, versant gauche.
1. sol végétal; 2. grès tuftiques fins; 3. tufes; 4. tufaces; 5. grès tuftiques grossiers.

andezit abundență. Sub dealul Piroșdan (Berchezoala) pe versantul de sud-vest ai acestuia apar frecvent blocuri de \varnothing 3-15 cm de dacite și andezite. În sfîrșit, sub dealul Tichilului, pe versantul stîng al văii Ciollului am întîlnit un nivel de aglomerate cu elemente de 5-25 cm de andezite și dacite.

Aceste roci reapar în aceeași poziție stratigrafică și la W de valea Bîrsăului la Curtuiușu Mare și la Iadâra.

a) Microdiorit-porfiritele piroxenice sunt roci holocristaline cu structură porfirică uneori glomeroporfirică și textură masivă neorientată. În tabelul 3 redăm compoziția mineralogică procentuală a unor astfel de roci precum și dimensiunile mineralelor.

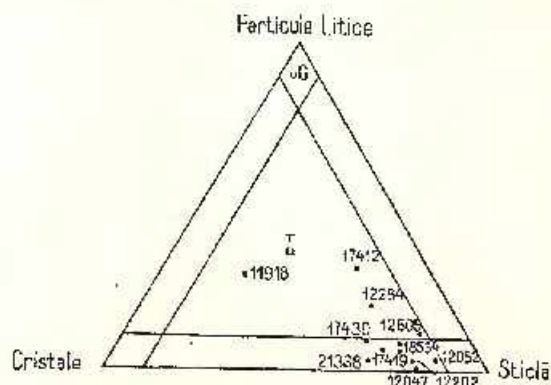
TABELUL 3
Microdiorit-porfirit—elemente de aglomerat (Valea Grozii-Coaș)

Fenocristale:	%	mm
Plagioclaz	30,00	0,2-2
Ortopiroxen	19,38	0,2-0,4
Pastă	42,30	0,01-0,07
Xenolitic	8,32	0,8-1,2
	100,00	

Roca este constituită din fenocristale de feldspat și piroxen într-o pastă microlitică în care întâlnim frecvent enclave (xenolite). Feldspatul plagioclaz apare ca fenocristale idiomorfe sau hipidiomorfe izolate sau aglomerate, maclate (albit, albit + perlclin, albit + Kalsbad) intens zonate, numărul zonelor ajungând la 51. Pe suprafețele de creștere apar adesea incluziuni de minerale opace și de sticlă de culoare închisă. Sunt caracteristice concreșterile poichilitice cu biotit brun-roșcat (fig. 11). În centrul cristalului zonal conținutul de anortit

Fig. 11. — Diagrama ternară sticlă-cristale-particule litice pentru tufuluri din regiunea Copalnic-Coaș-Hovrila.

Diagramme ternaire verre-cristaux-particules lithiques pour les tufs de la région Copalnic-Coaș-Hovrila.



ajunge la 53% pentru că să scadă, cu numeroase recurențe, la 20-25%. În zonele periferice (fig. 12). Piroxenul, în întregime bastitizat și opacitizat a fost recunoscut doar prin conturul cristalografic. Pasta holocristalină este constituită din băghete de plagioclaz cu 26-32% An și granule cu conuri aloviromorf de piroxen în întregime bastitizat. Bastitul apare și pe fisuri asociat cu cuarțul, caleedonia și calcitul secundar.

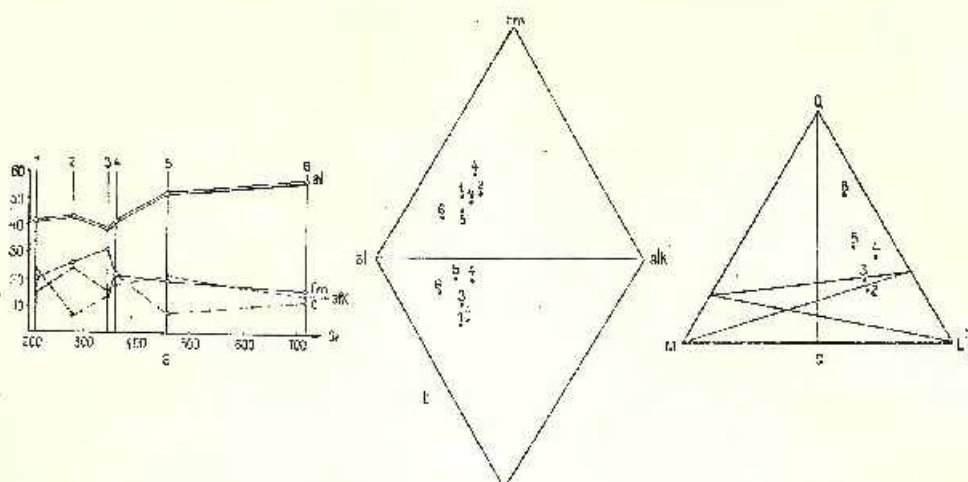


Fig. 12. — a, diagramma de variație a parametrilor *al*, *fm*, *alk*, *c*.

1, andezit, dealul Tichetari; tufuri vitrocerastico-elastică dacitice; 2, dealul Muniel, Copăinici; 3, dealul Grunjaani, Coasă; 4, obârșa Valea Slabă, Între Râuri; 5, valea Berchezului, Berchez; 6, dealul La Poduri, Coasă.

b, diagramma *at-fm-alk-c*; c, diagramma *Q-L-M*; aceleasi roci ca la pct. a.

a, diagramme de variation des paramètres *al*, *fm*, *alk*, *c*.

1, andezite, colline Tichetari; rots vitrocerastico-elastică dacitice; 2, colline Muniel, Copăinici; 3, colline Grunja, Coasă; 4, concurșență de Valea Slabă, Între Râuri; 5, valea Berchezului, Berchez; 6, colline La Poduri, Coasă.
 b, diagramme *at-fm-alk-c*; c, diagramme *Q-L-M*; les mêmes roches qu'au point a.

Xenofitele observate (pl. I, fig. 3) sunt fragmente de roci holocristaline porfirice, constituite din rare fenocristale de plagioclaz slab zonal (56-68 % An) într-o pastă formată din cristale prismatice alungite de plagioclazi, (36-58 % An), cu aspect de structură intersertală și piroxen basitizat, foarte abundant. Ele reprezintă probabil fragmente detasate din roci mai băzice (microgabroporfirite) consolidate la o adâncime mai mare.

b) Andezitele sunt roci hemicerstaline, cu structura porfirică hialopilitică cu textură masivă sau fluidală. În tabelul 4 redăm compoziția mineralologică procentuală precum și dimensiunile mineralelor pentru cîteva secțiuni caracteristice.

Andezitele sunt constituite din fenocristale de feldspat, biotit, piroxen rombic, sporadic, quart, într-o pastă hemicerstalină.

Feldspatul plagioclaz formează fenocristale idiomorfe sau hipidiomorfe, maclate după legea albă și albă -- Karlsbad, mai rar albă + periclin. Cristalele de feldspat sunt zonate (pl. I, fig. 1); numărul zonelor ajunge la 131. În timp ce la unele cristale mai mici simburile este bazic (70 % An) și zonele exterioare mai acide (25 % An) în fenocristalele mari simburile acid (5-15 % An) cu contur corodat prezintă concreșteri micropertitice (pl. I, fig. 2) și este înconjurat de o aureole de incluziuni de sticlă și minerale opace. Urmează o zonă bazică (60-62%) după care conținutul în anortit scade în salturi la 22-28 %. Concreșterile poichilitice cu

TABELUL 4
Andezite piroxenice - elemente din aglomerat

Nr. probei	11906 B	17522 B	18413 A	Dimensiuni
Localizare	Valca Crozii, Coaș	Dealul Piroșdan, Berchezoaia	Dealul Ticiului, Hovrlila	
Fenocristale :	%	%	%	mm
Plagioclaz	35,00	34,82	28,99	0,2-2
Piroxen	7,76	4,32	5,85	0,08-1,5
Biotit	—	2,00	—	0,05-0,1
Cuarț	—	3,92	—	0,1-0,3
Pastă	57,24	54,94	59,82	0,0-0,08
Total	100,00	100,00	94,66	

biotit sint de asemenea frecvente. În varietățile piroxenice biotitul lipsește. Mai rar apar incluziuni de cuarț corodat cu extincție ondulatorie.

Ortopiroxenii apar în cristale total sau parțial opacitate și bastitizata (pl. I, fig. 4) cu contur idiomorf. După unghiu dintr-o fețe de cristal și după caracterele optice se pare că avem de-a face cu un hipersten.

Cuarțul apare cu totul sporadic în varietățile biotitice ca granule corodate, cu inele de reacție constituite din prisme fine de feldspat plagioclaz acid.

Pasta este constituită din sticlă brună sau brun-gălbui în care plutesc microlicii de feldspat plagioclaz cu 39-43% An, piroxeni bastitizați și minerale secundare: calcedonie, scricit, calcit, jimonit.

În tabelul 5 redăm rezultatele analizei chimice pentru un andezit piroxenic.

TABELUL 5
Andezit (Dealul Ticiului, Horila)

Date analitice %	Valori Niggli
SiO ₂	58,31
Al ₂ O ₃	19,39
FeO	0,43
MnO	urme
MgO	0,65
CaO	5,99
Na ₂ O	3,20
K ₂ O	1,68
P.G.	3,85
	al = 11,5 fm = 20,3 alk = 15,0 si = 212,0 k = 0,25 mg = 0,17 c/fm = 1,15
	Tip de magmă: cuarț-dioritică plagioclaz-granitică

e) Dacitele sint roci porfirice sau vitrofirice, cu textură masivă, fluidală sau sferulitică. Sint constituite din plagioclaz, cuarț, biotit și

pastă. Sporadic apare hiperstenul. În tabelul 6 redăm compoziția mineralogică cantitativă și dimensiunile mineralelor.

TABELUL 6
Dacit. Element din aglomerat. Dealul Piroșdan (Berezezoia)

Fenocristale :	%	mm
Plagioclaz	13,79	0,1 -0,6
Cuart	12,59	0,1 -0,4
Biotit	3,92	0,07 -0,3
Pastă	69,70	0,005-0,04

Feldspatul formează fenocristale idiomorfice și hipidiomorfice, maclate și zonate; apare și aici simurile acid cu structură micropertitică și cu aureolă de inclusiuni. Spre deosebire de aadezil zona cea mai bazică nu depășește 32% An iar cea acidă ajunge la 18% An.

Cuartul formează granule aletriomorfice cu contur sinuos unciori cu o ușoară extincție ondulatorie.

Biotitul formează pachete de foile cu contur dreptunghiular sau romboidal (în secțiune). Este puternic pleocroic și prezintă adesea inele keltitice.

Hiperstenul apare sporadic ca mici cristale romboïdale cu extincție dreaptă, înconjurate de inele de reacție cu structură fibroasă.

Pasta este sticloasă sau criptocrystalină. Microlitele de feldspat plagioclaz conțin 19-28% An. Texturile sterulitice sunt deosebit de frecvente; în sticla pastei apar agregate fibro-radiare (albit + quart) avind în centru cîte un microlit de piroxen sau de feldspat.

Ca minerale secundare apar sericitul, illitul, calcitul, calcedonia și limonitul fibros (goethit).

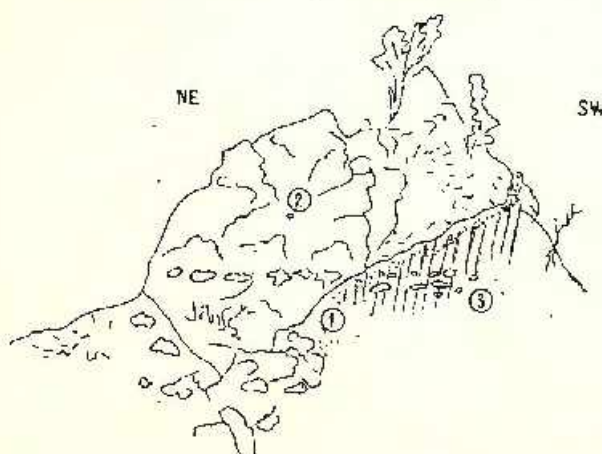


Fig. 13. — Aglomerate (3) și tufuri, argilizate (1) și silicificate (2) în partea de nord a dealului Coaș.

Agglomérats (3) et tufs, argilisés (1) et silicifiés (2) au Nord de la colline Coaș.

Tufurile sunt rocile cele mai răspândite. Apar în bânci de 5-70 cm, alternind cu aglomerate, tufite, gresii tufitice și mai rar marno sau calcaro de Leitha (fig. 13). Spre NE devin mai fine iar spre SW, mai grezoase.

Principalul constituent al tufurilor este sticla, atât sub forma unor granule subrotunde, spongioase, fie ca aşchii, fragmente angulare, bastonaşe ascuţite la capete, unciori curbată. În cîteva afflorimente apar corpuseuli sferoidali, cu o vagă structură concentrică de 0,1-0,2 mm. Adesea sticla prezintă un început de devitrificare; fragmentele mai mari au fost învelite într-o crustă străbătută de fisuri subțiri (pt. II, fig. 3, 4). Alături de sticla apar cristale întregi sau sfârinate de cuart cu contur hipidiomorf sau alotoriorf, cristale întregi sau fragmente de feldspați zonali (17-23% An), rare fragmente de sanidin (sub 2%) folte de biotit și fragmente litice: microcuarțile, corneene albă-epidotice, microfelsite, microdiorit-porfirite, sticla andazitică, silitice și calcar recristalizate. În tabelul 7 redăm rezultatele determinărilor cantitative și dimensiunile granulelor.

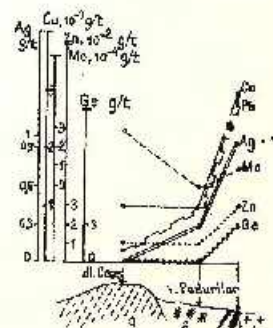
TABELUL 7

Tufuli dacitice

Nr. probei	12052	12203	12284	12605	17419	17430	18435	21338	
Localizare	Dealul Grunjeanu, Coas	La Cornești, Coas	La Cornel, Coas	Valcea Cîterei, Roșia	Sat Berchezoaia	Dealul Piroșdan	Dealul Pietriile Albe, Ciolt	Valea Berchez, Berchez	Dimensiuni
	%	%	%	%	%	%	%	%	mm
Sticla	84,65	28,88	60,00	73,65	69,36	63,82	74,72	67,28	0,005-2
Cristale:									
Plagioclaz	7,45	14,73	5,26	9,12	8,46	16,72	9,58	8,62	0,05-2,2
Cuarț	3,70	2,54	14,76	8,35	12,73	7,49	9,23	16,10	0,01-1,25
Biotit	1,20	1,02	—	1,88	1,61	1,86	0,74	4,07	0,02-0,4
Ortoză	—	2,15	—	—	2,02	2,13	—	1,20	0,1-0,3
Fragmente litice	3,00	1,12	19,98	7,00	6,82	7,98	5,73	2,73	0,2-0,9
Total	100,00	100,00	100,00	100,00	100,00	100,00	100,00	100,00	

Fig. 14. — Distribuția elementelor minore în zona silicifiată (q) argilizată (a) și limonitică (l) la sud de dealul Coas.

Distribution des éléments mineurs dans la zone silicifiée (q) argilisée (a) et limonitique (l) au Sud de la colline Coas.



După cum se observă în diagrama ternară din figura 14 tipul predominant este tuful vitrocerastoclastice; tipurile mixte sunt mai puțin frecvente. Pentru comparație am proiectat (G) o gresie calcaroasă tortoniană superioară și o gresie tufitică (T).

TABELUL 8

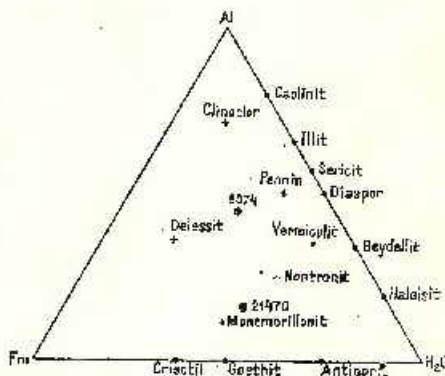
Tufuri dacice vitrocerastico-eclastice (date petrochimice)

Nr. probei	5356	5449	12046c	12286	21338
Localizare	Dealul Muncel, Copălnic	Dealul Măgura, Coaș	Dealul Grunjcanu, Coaș	Dealul La Poduri, Coaș	Valea Berchez, Berchez
	%	%	%	%	%
SiO ₂	68,20	66,58	64,96	76,22	69,00
Al ₂ O ₃	13,43	17,42	12,28	10,40	13,37
Fe ₂ O ₃	1,96	3,75	5,98	1,66	2,46
FeO	0,13	1,04	0,80	0,24	0,12
MgO	1,49	1,58	0,50	0,20	1,26
CaO	3,57	1,45	2,39	1,23	1,00
Na ₂ O	1,61	5,02	1,38	0,58	1,77
K ₂ O	2,81	1,28	2,49	1,46	2,28
P.C.	6,77	1,88	9,22	8,01	8,74
<i>Coefficienți Niggli</i>					
al	41,7	43,4	39	57,6	51,3
fm	20,1	26	31,5	16	19,5
c	20,4	6,6	14	12,4	7,2
alk	17,8	24	15,5	14	21,0
si	361	281	349	717	459
k	0,54	0,17	0,55	0,84	0,45
mg	0,59	0,38	0,12	0,31	0,63
c/fm	1,02	0,25	0,44	0,78	0,37
Tip de magnă	Yosemitică- normal- granitică	Normal- granitică	Yosemitică- Opdalitică	Yosemitică- Aplit-gran- itică	Aplit grani- tică-Enga- dinitică
<i>Minerale normate</i>					
Or	300	140	270	280	240
Ah	260	805	220	100	290
An	320	130	215	155	80
En	52	—	—	—	—
Ils	36	72	114	30	18
Hy	4	20	—	—	—
Htz	—	19	33	12	6
Cord	61	214	66	17	171
C	—	—	44	56	58
Q	607	360	623	973	605
Total	1640	1650	1322	1503	1440
Q	607	360	360	973	605
L	880	1075	750	415	610
M	153	325	257	165	225

Intrucit materialul detritogen apare în cantități reduse, analiza chimică (tab. 8) a unor eșantioane la care examenul microscopic indică absența unor fenomene de alterație avansată, oferă o idee asupra compoziției chimice a magmelor din care au luat naștere. După clasificarea Grubenmann-Niggli, acestea se încadrează în grupul magmelor calco-alcaline, în tipurile normal-granitice, yosemitice și engadinit-granitice spre aplit-granitice. La toate rocile analizate se observă un deficit de alk și un exces de al, care, așa cum am spus mai sus, nu pot fi puse ne seama alterației hipergene deoarece am eliminat a priori probele alterate. Proiectând în diagrama *al-fm-alk*-*c* parametrii calculați, se observă încadrarea lor parțială în interiorul suprafeței rocilor eruptive. Calculind mineralele normative, observăm un exces mare de aluminiu (prezența cordieritului și a corindonului normativ). Curbele de variație ale parametrilor Niggli (fig. 15) au de asemenea un aspect neobișnuit - o dată cu creșterea parametrului *al* la valori mai mari parametrul *al* crește în loc să scadă iar alk scade în loc să crească.

Fig. 15. — Diagramele ternare de echilibru pentru tufurile hidrotermalizate, după datele lui Burnham (1962).

Diagrammes ternaires d'équilibre pour les tufs hydrothermalisés, d'après Burnham (1962).



Atât examenul microscopic cât și rezultatele analizelor chimice îndrepătășesc părerea că magma a suferit o contaminare pronunțată prin asimilarea unui material cu compoziție chimică diferită de cea a rocilor eruptivi (sisturi cristaline, roci sedimentare argiloase etc.). În sprijinul acestei ipoteze pledează și structura zonară curioasă a plagioclazilor din dacitele descrise anterior: cristale „nedigrate” de plagioclaz acid (provenind din gnaise?) au servit drept nuclee pentru cristalizarea plagioclazului mai bazic din topitura. Concreșterile între plagioclaz și biotit pot fi explicate în mod analog. Așa cum presupune și Shand (1962), o bună parte din fenocristalele „corodate” de cuarț din asemenea roci nu sunt altceva decât resturi de cuarț metamorfogen, care au atins temperatură necesară pentru omogenizare optică (dispariția extincției ondulatorii).

Tufurile fine apar sporadic, intercalate între bancurile de tufuri mai grosiere (10-30 cm). De regulă ele se asociază cu marne sau siltite argiloase; participarea materialului terigen este mai mare (pînă la 35%) și la anumite nivele apar teste de *Globigerina* sp. ușor opalizate.

III. Rocă mixtă: gresii și nisipuri tufitice

Gresiile tufitice formează intercalări de 0,1-1 m în tufurile psamitice în special în fundul văii Roșia, Berchez și sub dealul Pietrile Albe; alături de materialul magmatogen, apar granule de cuart, cuarțite, cuarțitemicace, microclin, albit-oligoclaz (metamorfogen), foile de muscovit și ca resturi organice, sfârmașuri de cochilii de moluște, spăt de echinide și teste de foraminifere. Participarea materialului magmatogen scade pînă la 10% și astfel se trece la gresii obișnuite (Voiculescu, Ghinea, 1969).

O mențiune specială merită nisipurile prăfoase calcaroase tufacee de la baza formațiunilor tortonian-superioare, care apar de la Berchezoaia spre SW, pînă la vîrful dealului Frasinilor și în continuare, pe versantul stîng al Bîrsănlui, la Curtuină Mare, Văleni etc.

Într-o masă pulverulentă, constituită din granule sub 0,2 mm de calcit și minerale argiloase (illit și caolinit) apar fragmente de sticlă argilitizată, vacuolară, de dacite microfelsitice total sau parțial calcitizate și argilitizate, granule de cuart și fragmente parțial argilitizate de feldspat plagioclaz.

IV. Procese de metamorfism hidrotermal

Activitatea vulcanică a fost însotită și urmată de fenomene de metamorfism hidrotermal. Ele afectează atît rocile mai vechi (gresiile și calcarele eocene) cît și depozitele tortonian-superioare dar niciodată rocile mai noi; în Sarmățian și în Pannonian găsim adesea remaniate fragmente mici de roci transformate hidrotermal (silexite).

Roci transformate hidrotermal întîlnim în special în jurul dealurilor Măgura, Grunjeanu și Coasă.

Pe dealurile Măgura și Coasă fenomenele de metamorfism hidrotermal au o dezvoltare zonară. Astfel, în interiorul unor suprafețe eliptice neregulate orientate NW-SE, tufurile sunt intens silicificate; spre exterior silicificarea este din ce în ce mai slabă în schimb tufurile sunt argilizate. Uneori limita este destul de transversal (fig. 16). Apoi urmează o zonă discontinuă

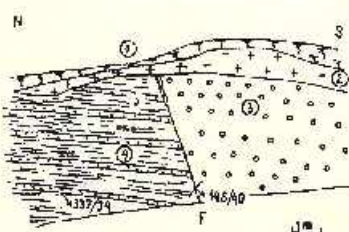


Fig. 16. — Fâlia F afectează stratele de Buzaș (1) și ple-
trișurile tortonian-mediul (3) fără să deranjeze tufurile tor-
tonian-superioare (2).

1. sol vegetal. Ubiră văii Podului, Coasă.

La faille F affecte les couches de Buzaș (4) et les gra-
viers tortoniens moyens (3) sans déranger les tufs tor-
toniens supérieurs (2).

1. sol végétal. Commencement de la vallée Podului, Coasă.

de limonitizare după care se trece la tufuri normale. Adesea în aria afectată de transformări hidrotermale apar filonașe scurte (10-25 m) de 5-15 cm grosime constituite din calcedonie și mici cantități de limonit. În caleus și acoperiș tufurile sunt argilizate pe distanță de 50-60 cm.

Argilizări de mai mică amploare se observă spre obîrșia văii Muncel-Copălnic. La S de dealul Ticinului silicificarea afectează în special cochilele de ostrei, de pești și de alte resturi fosile în timp ce rezistența calcarilor de Leitha a rămas neafectată. În forajele executate pe teritoriul comunei Coaș au fost de ascundea întâlnite tufuri transformate hidrotermal (silicificări, argilizări).

1. Rocă silicifiată. Silicificarea afectează atât rocile piroclastice (aglomerate, tufuri) cât și gresile tufitice și calcarele cocone.

În cazul rocilor piroclastice întâi sunt silicificate fragmentele de sticlă, urmate de fragmentele de feldspați și într-un stadiu avansat, se trece la înlocuirea totală a rocii cu silice. Astfel, iau naștere opalitele, silexitele și gresile silexitice.

Opalitele sunt roci compacte, cu aspect cornos, cu spărtură concoidală; culoarea lor variază între brun-gălbui, galben, albicioasă sau albastru-azuriu. Uncori sunt străbătute de filoane umplute cu calcedonie de culoare albă sau prezintă goluri tapiserate cu calcedonie cenușiu-albastruie. La microscop se observă înlocuirea particulelor de sticlă și de feldspați cu sau fără relicte nelocaluite. Adesea structura inițială este complet ștersă; rămân doar fragmentele de quart. Pe fisuri, în apropierea golurilor și a cristalelor de quart se observă adesea formarea snopilor de calcedonie (calcedonită, subordonat quartină). În întreaga masă a rocii se întâlnesc paieți de caolin, sericit și pulbere limonitică fină.

Silexitele sunt roci de culoare albă portelanosă uneori gălbuiu, cu spărtură concoidală sau aschiosă. Ele sunt constituite din calcedonită (subordonat quartină) formând fie pseudomorfoze după feldspați și sticlă, fie agregate sferoidale radiare avind în centru un fragment de quart. Masa fundamentală este constituită din opal, cu paieți de sericit și pigment limonitic pulverulent. În tabelul 9 redăm compozitia mineralogică cantitativă și dimensiunile elementelor minerale constitutive.

Gresile silexitice sunt roci formate pe seama unor gresii tufitice. În acest caz elementul, elementele de feldspat și de sticlă sunt înlocuite în întregime prin calcedonie, opal și quart.

TABELUL 9

Roci silicifiante

Nr. probei	11921	12159 A	12159 B	12161	12166	Dimensiuni mm
	Localizare Valea Grozii, Coaș	Dealul Coaș, Între Râuri	Dealul Coaș, Între Râuri	Obîrșia văii Podului, Remecioara	Obîrșia văii Podului, Remecioara	
%	%	%	%	%	%	mm
Opal	68,22	85,12	32,80	84,52	70,21	Plaje continuе
Quart	—	7,80	3,08	9,10	4,99	0,2-1,00
Calcedonie	29,68	4,08	63,12	3,38	22,80	0,02-1,20
Caolin ; sericit	0,12	1,10	—	1,02	—	0,005-0,008
Limonit hipergen	1,98	1,90	1,00	2,98	2,00	sub 0,005

TABELUL 10
Roci hidrotermalizate

Nr. probei Localizare	5074		21470	
	Dealul Coaș		Dealul Coaș	
	Tuf argilizat	Tuf silicificat	%	%
SiO ₂	62,10	92,75		
Al ₂ O ₃	12,87	1,34		
Fe ₂ O ₃	2,51	0,38		
FeO	lipsă	0,16		
MgO	2,69	0,26		
CaO	5,60	0,19		
Na ₂ O	0,32	0,10		
K ₂ O	0,20	0,12		
P.C.	13,74	4,70		
Total	100,03	100,02		

Analist M. Matei

secundar iar fragmentele de cuarț (magmatogen și metamorfogen) inclusiv fragmentele de cuarțite sunt înconjurate de un inel de supracreștere. Opalul apare în spațiile intergranulare în cantitate mică. Rare apar cuiburi de caolinil. Pe valea Grozii sub dealul Grunjeanu am întâlnit fragmente dintr-un trunchi de lemn silicificat. La microscop, într-o masă fin cellulară opalizată se observă (sectionate oblic, pl. III, fig. 1), vasele de liber (mai mici) și vasele lumenoase (mai mari) umplute cu calcedonie și puțin ilmonit hipergen. Din punct de vedere chimic (tab. 10) se constată o îmbogățire apreciabilă în silice însoțită de eliminarea aluminiului, alcaliilor, calciupei, magneziului și a fierului.

Calcarele eocene suferă și ele o silicifiere mai puternică așa cum se observă la obîrșia văii Chitii (Remecioara) și în altă perimetru lui figurat pe hartă, la Curtuiușu Mare și la Durușa. Aici, filoane de 1-2 mm de calcedonie străbat calcarul grosier. Calcedonia se insinuează în interiorul miliolidelor și între lamelele de calcit ale sfârâmăturilor de moluște pe care trebuie să le înlocuiască. Conținutul de silice (calcedonie și subordonat opal) ajunge la 75% din masa rocii.

2. *Roci argilizate.* Argilizarea afectează atât tufurile cât și gresile feldspatiche eocene de sub ele.

Rocile argilizate sunt friabile, cu aspect pământos, care salurate cu apă devin plastice; culoarea lor este albă, alb-cenușie sau alb-gălbuiu. În varietățile mai puțin dezagregate, examenul microscopic pune în evidență prezența fragmentelor de sticlă și de cristale de feldspat parțial sau total argilizate alături de granule de cuarț, limpezi; elementele litice conținând feldspăți (microfelsite, diorit-porfirite, dacite) sunt și ele intens argilizate și defecrate. Biotitul pierde fierul trecând într-un clorit incolor sau slab verzu; în vacuole se observă agregate fibro-

radiare de zeoliți (stilbit). În gresii, granulele de feldspat sunt transformate integral în caolină; gresia devine friabilă și își ia un aspect pestriț.

Identificarea mineralelor argiloase s-a făcut prin analize termice diferențiale¹⁴ și prin analize roentgen, metoda Debye-Sherer¹⁵.

În timp ce pe valea Muncelului componentul argilos este reprezentat prin minerale din grupul montmorillonitului (Ca-montmorillonit, saponit) și prin haloizit (în cantități reduse), în jurul Muncelului și al dealului Coaș argilizarea conduce la formarea illitului, cu efecte termice și reflexii deosebit de clare.

Analiza chimică pune în evidență o relativă imbogățire în aluminiu - în detrimentul alcaliilor și a fierului care au fost îndepărtați (tab. 10).

3. Rocă limonitizată. Limonitzări legate de procese hidrotermale apar sporadic și afectează într-o măsură mai mică tufurile; sunt bine dezvoltate la limita dintre tufuri și rocile din fundament și în acestea din urmă (în special în gresii și calcare eocene) unde formează umplutura unor filonașe de 2-5 cm grosime.

Limonitzarea se traduce prin înlocuirea mineralelor (calcit, feldspati, biotit) sau a sticlei prin limonit fibros sau colomorf. În prima fază apar filonașe printre minerale și pe fisuri, constituite din limonit și o impregnare abundentă în liant sau în ciment. În cazul calcarilor eocene limonitul pătrunde în interiorul testelor de foraminifere. Rare apar foile fine de clorit grupate unciori în rozete. În final se trece la o masă omogenă, cu aspect colomorf, în care se observă

TABELUL 11
Analiza chimică a unor limonite

Nr. probei	5348 a	5356 c	11191	11313
Natura petrografică	Concrețiune Limonit-sideritică	Limonit fin gresos	Limonit silicos	Limonit din gresii eocene
Localizare	Valea Slabă, Între Riuri	Obîrșia Văii Slabe, Între Riuri	Dealul Măgura, Între Riuri	Sub dealul Coaș, Remecioara
	%	%	%	%
SiO ₂	14,26	27,33	30,95	41,80
Fe ₂ O ₃	54,60	49,65	34,20	24,05
FeO	10,44	0,30	0,50	1,20
MnO	1,26	0,35	-	-
CaO	1,10	0,59	0,90	1,05
S	urme	urme	urme	urme
P.C.	18,00	11,56	12,10	12,05

Analist: M. Matei

¹⁴ Analizele și interpretarea rezultatelor au fost făcute de D. Teodor.

¹⁵ Analizele și interpretarea rezultatelor au fost făcute de G. Neacșu.

doar fragmentele de quart. La baza tufurilor din deajul Muncel, limonitul apare sub formă de concrețiuni și cruste, mai rar ca impregnații în brecii roșii argiloase. În centrul concrețiunilor întâlnim adesea o masă fin granulară de sideroză. În secțiune lustruită pe lingă limonit întâlnim mici plaje de psilomelan (în formă de flacără) și cu totul sporadic, pseudomorioze după pirită.

În tabelul 11 redăm compoziția chimică a unor probe de limonit. Observăm conținuturile mari de silice datorită amestecului mecanic cu quart detritogen, participarea redusă a fierului bivalent (cu excepția concrețiunilor) și urme de sulf.

4. Elemente minore din rocile metamorfozate hidrotermal. Prin analize spectrale¹⁶ s-a pus în evidență prezența în rocile afectate de metamorfism hidrotermal a unor elemente proprii soluțiilor hidrotermale: argint, cupru, molibden, plumb, zinc și germaniu.

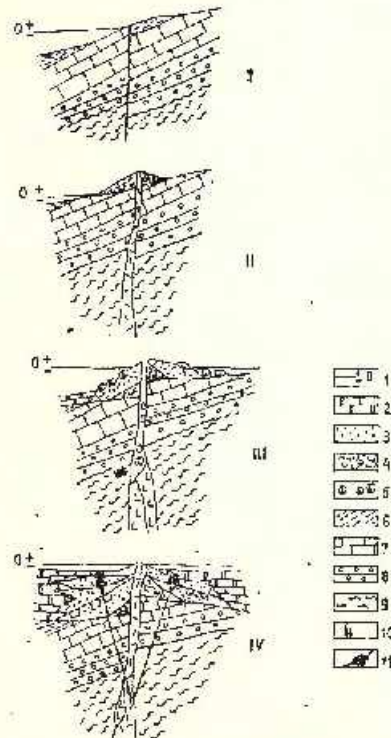


Fig. 17. — Evoluția vulcanismului exploziv în partea de NW a masivului Preluca. I, Tortonian mediu; II, formarea tufurilor sădate; III, Tortonian superior, consolidarea andezitelor și formarea tufurilor și aglomeratelor dacitice; IV, sfîrșitul Tortonianului superior.

1, nivelul mării; 2, calcare de Leitha; 3, tuful; 4, tufuri sădate; 5, aglomerate andesitice; 6, straturi de Buzas; 7, serie călcuroasă; 8, straturi de Turbula; 9, găsișuri cristaline; 10, andezite, dacite, microdiorit-porfirite (corpuș suberustacă de mici dimensiuni); 11, metamorfism hidrotermal.

Evolution du volcanisme explosif du NW du massif Preluca. I, Tortonien moyen; II, formation des tufs soudés; III, Tortonien supérieur, consolidation des andésites et formation des tufs et d'agglomérats dacitiques; IV, fin du Tortonien supérieur.

1, niveau de la mer; 2, calcares de Leitha; 3, tuft; 4, tufasoudé; 5, aglomérata andésitique; 6, couches de Buzas; 7, série calcaire; 8, couches de Turbula; 9, gâsiri cristaline; 10, andésite, dacite, microdiorite-porfirite (corps suberustacă de petites dimensions); 11, métamorphisme hydrothermal.

Urmărind variația conținuturilor în aceste elemente (fig.17) transversal pe zonele de metamorfism, observăm o tendință de concentrare spre zona limonitică.

¹⁶ Analizele au fost executate de A. Lahovari.

Din descrierea fenomenelor și în special din caracterul lor zonar, reiese că aceste procese nu pot fi explicate printr-o alterație hipergenă. Se respectă încălzirea zonalitatea proceselor metasomaticice — de la încălzirea totală a rocii cu silice pînă la redepunerea fierului în zona exterioară (probabil sub formă bivalentă, oxidată ulterior).

Considerind rocile transformate hidrotermal drept niște metamorfite, după Burnham (1962) ele se pot grupa în zone a căror compoziție mineralogică este în funcție de temperatură și presiune. Proiectând analizele chimice în diagrame ternare ACF, AKF și diagrame ternare în care apa intră ca un component independent se pot prevede asociațiile minerale care sunt în echilibru și prin compararea compozitiei ipotetice cu cea constată prin analize petrografice, se poate aprecia dacă echilibrul fizico-chimic a fost sau nu atins.

În cazul nostru hidrotermalitele apar în faciesul argilitic și anume în subzona caolinitică, subzona montmorillonitică și subzona propilitică (cloritică).

V. Interpretarea genetică a datelor

În partea de NW a masivului Preluca au avut loc erupții freatice, care au generat mase importante de roci piroclastice.

Existența unor centre de emisie de tip freatic în partea de NW a Ardealului, în afara lanțurilor de magmatice neogene, este cunoscută de multă vreme. Lăzărescu¹⁷ descrie erupțiile de la Cicul Spinzei; Szádeczky identifică astfel de aparate freatice la Vișea, Gilău și la NW de Cluj; în bazinul Borodului (Givulescu, 1964) și la E de cristalinul Mezeșului, în imprejurimile Moigradului (Pancă, 1962; Iliescu, 1965) se semnalizează de asemenea centre de erupții iar Chiriac¹⁸ descrie neckul dacitic de la Valea Chioarului unde fenomenele hidrotermale ating o mare amplecare.

În cazul nostru nu avem elemente suficiente pentru localizarea exactă a centrelor de emisie, întrucât total a fost acoperit de venările ulterioare de tufuri. Se poate afirma totuși că masa principală a rocilor piroclastice a fost emisă dintr-un sector situat între dealul Măgureni, Grunjeanu și estul satului Coaș.

În zona amintită converg cele două sisteme de fracturi, unul mai vechi, ante-tortonian superior, altul mai nou, probabil rhodanic, fracturi în lungul cărora masivul Preluca plonjează în trepte spre interiorul bazinului Baia-Mare și spre culoarul Chioarului.

¹⁷ V. Lăzărescu. Cercetări geologice între Someș și Lăpuș la NW de Dej. Lucrare de disertație (1965). Institutul de Petrol, Gaze și Geologie. București.

¹⁸ M. Chiriac. Zăcămîntul de bentonită de la Valea Chioarului. 1952. Arh. Com. Geol. București.

Legarea acestor piroclastite de eruptiile tortoniene din lanțul Gutin întâmpină o serie de dificultăți. Comparând datele analitice cu cele publicate de Rădulescu (1958) pentru rocile riolitice, deosebirea este izbitoare. De asemenea este greu de explicat vehicularea pe calea aerului a unor cantități de ordinul a 10^9 tone de material piroclastic grosier, cu diametrul particulelor de peste 5 cm (până la 25 cm). Examenul particulelor de sticlă indică faptul că cel puțin o parte din ele au căzut în apă în stare încă fierbinte, ceea ce a condus la modificări microstructurale deosebit de clare.

Activitatea magmatică s-a declansat la finele Tortonianului mediu, după reactivarea fracturilor NW-SE, ca ecou al mișcărilor moldavice.

Magma în ascensiune a asimilat importante cantități de material silic bogat în special în aluminiu silice și substanțe volatilo. O parte mică din magmă s-a consolidat în coș formind andezite (și mai profund, microdiorit-porfirite) și dacite; cea mai importantă parte însă, ajungind aproape de suprafață în condiții de presiune scăzută, a fost pulverizată prin detenția substanțelor volatile, rezultând piroclastite. Astfel de explozii au dus ulterior la sfârșitul tufurilor deja consolidate în urma căror au rezultat breciile piroclastice.

În evoluția proceselor magmatice din acest sector deosebim trei etape. La început au loc puternice explozii aducînd la zi fragmente de sticlă incandescentă care se acumulează în mediul subaerian și din care rezultă tufurile sudate de sub dealul Muncel și Grunjeanu. Se pun în loc în profunzime corpuri subcrustale de mici dimensiuni; exploziile ulterioare aduc la suprafață fragmente din aceste roci pe care le întîlnim adesea la partea inferioară a complexului, ca elemente de aglomerat (andezitic și dacitic).

Apoi, în toată partea superioară a Tortonianului exploziile și degajarea materialului piroclastic se succed aproape continuu formîndu-se masa principală a piroclastitelor. În ansamblu produsele au caracter calcoalcalin acid, astfel încât denumirea de „tuf dacitic” este justificată. În perioadele de liniște dintre explozii în apa mării se dezvoltă o bogată floră și faună, grație îmbogățirii mediului cu elemente necesare vieții (K, P, S, Cu, Pb, Zn, Mo etc.) formate pe seama materialului magmatogen.

Activitatea vulcanică a fost însoțită de fenomene de transformare (metamorfism) hidrotermal, cu caracter zonar.

BIBLIOGRAFIE

- Burnham-Wayne C. (1962) Faciesurile și tipurile de transformare hidrotermală. *Economic geology*, 57,5, New York. (trad. I.D.T. 1967), București.
- Givulescu R. (1964) Contribuții la cunoașterea activității vulcanice din bazinul Borodului. I. Posibilitatea existenței unor aparate vulcanice. *Stud. cerc. geol. geof. geogr. seria geol.* 9, 1, București.
- Hofmann K.v. (1887) Geologische Notizen über die kristallinische Schieferinsel von Preluka und über das nördlich und südlich anschliessende Tertiärland. *Jahrsb. d.k. ung. geol. Anst.* f. 1886, Budapest.
- (1888) Bericht über die Sommer d.f. 1886 im nordwestlichen Theile des Szolnok-Dobokaer Comitats ausgeführten geologischen Detailaufnahmen. *Jahrsb. d.k. ung. geol. Anst.* Budapest.
- Iliecă O. (1965) Date preliminare asupra vîrstelor eruptiunilor de la est de Cristaliniul Mezeșului (NW Transilvaniei). *D.S. Com. Geol.* L1/1, București.
- Iorgulescu Th. (1955) Microfauna unor profile din sedimentarul zonei eruptive a regiunii Baia Mare. *D. S. Com. Geol.* XXXIX, București.
- Marinescu F., Marinescu Josefina (1962) Contribuții la cunoașterea Paleogenului și Noogenului din colțul de NW al masivului Preluca. *D. S. Com. Geol.* XLIII, București.
- Paucă M. (1962) Bazinul Silvaniei. *An. Com. Geol.* XXXII, București.
- Pošepny W.r. (1862) Geologische Verhältnisse des mittleren Lápos-gebirges. *Jahrsb. d.k. u.k. geol. R.A.* XII, Wien.
- Rădulescu D. (1958) Studiu petrografic al formațiunilor eruptive din regiunea Scăni-Eiba-Nistru (Baia Mare). *An. Com. Geol.* XXXI, București.
- Săulea Emilia, Bărbulescu Ana (1957) Contribuții la cunoașterea Miocenului din regiunea Ticău-Iadăra (bazinul Baia Mare). *An. Univ. Parhon.* 15, București.
- Shand I. (1962) Petrografia rocilor eruptive. New York. (Trad. I.D.T. 1965), București.
- Voiculescu L., Ghiurca V. (1969) Cercetări mineralogice asupra gresiilor și calcarelor tortonian-superioare din bazinul Baia Mare. *Studia Univ. Babeș-Bolyai, series geol. geogr.* XIV, 1, Cluj.

CONSIDÉRATIONS SUR LE VOLCANISME TORTONIEN DU NW DU MASSIF PRELUCA (MARAMUREŞ)

(Résumé)

Au NW du massif Preluca, des dépôts tortoniens inférieurs et supérieurs se superposent aux formations crétacées supérieures et paléogènes. Ils sont recouverts par du Sarmatien et du Panngien.

Le Tortonien inférieur moyen, mis en évidence par l'auteur, est constitué de dépôts continentaux et littoral- fluviatils (argiles rouges à blocs, graviers, sables) recouverts transgressivement de dépôts tortoniens supérieurs, constitués de calcaires de Leitha, grès calcaires, marnes et pyroclastites dacitiques.

Dans les pyroclastites, on rencontre de grands fragments de microdiorite porphyrites, andésites et dacites, roches consolidées à une profondeur plus ou moins réduite.

Les pyroclastites sont constituées de fragments de verre acide, cristaux de quartz, feldspath plagioclase et biotite. Les fragments de roches sont représentés par des quartzites, schistes quartzitiques, cornéennes, microfelsites, andésites, dacites, grès et calcaires cristallisés.

À la base des aggrégats (au pied des collines Măgura et Grunjeann; le village Coas) on a mis en évidence quelques affleurements de tufs soudés et deux cheminées.

L'activité volcanique a été accompagnée et suivie de phénomènes de transformation hydrothermale à caractère zoné. Il y a donc une zone centrale silicifiée qui est entourée par une zone argillisée (à illite) et une zone extérieurement limonitisée. La distribution des éléments mineurs suit la même zonalité.

L'étude géologique et pétrographique des pyroclastites permet la mise en place approximative du centre d'émission de celles-ci, aux environs du village Coas. L'activité volcanique présente un caractère explosif (des "volcans phréatiques") ressemblant à l'activité d'autres centres d'émission du NW de la Transylvanie. Le volcanisme a été déclenché pendant le Tortonien moyen, par la réactivation de certains systèmes de fractures à la suite des échos des mouvements moldaves.

L'étude minéralogique et chimique met en évidence le caractère contaminé du magma originaire. En sections minces, cela correspond à l'apparition des feldspaths à noyaux très acides, corrodés, du quartz métamorphogène et de la biotite englobée dans les cristaux de feldspath. Les analyses chimiques mettent en évidence un excès d'alumine, explicable par une assimilation massive de roches à haute teneur en aluminium (par exemple des schistes cristallins). En ensemble, les produits ont un caractère acide-chalcoalcalin (des tufs dacitiques).

Du point de vue chronologique, on distingue trois phases : la mise en place de certains tufs soudés dans des conditions subaériennes, la consolidation en profondeur de certaines roches acides et intermédiaires, et enfin la mise en place de la masse principale de tufs, déposés en eau.

EXPLICATION DE LA PLANCHE

Planche IV

Carte lithologique des dépôts tortonien de la bordure NW des monts Preluca (Maramures).

I. Unités lithologiques. 1, marnes ; 2, calcaires de Leitha, calcaires gréseux et grès calcaires organogènes ; 3, aggrégats, tufs et tuftites ; 4, brèches de cheminée ; 5, éléments d'aggrégat ; andésites et dacites ; 6, tufs soudés ; 7, sables tuftiques kaolinéens ; 8, Tortonien inférieur et moyen : brèches, graviers et sables. II. Métamorphisme hydrothermal. 9, silicifications ; 10, argillisations ; 11, limonitisations ; 12, limite supposée de la cheminée volcanique. III. Limites. 13, limites à formations plus nouvelles (Sarmatien, Pléistocène, Holocène) ; 14, limites entre diverses unités lithologiques du Tortonien ; 15, limites avec les formations plus anciennes (Oligocène, Eocène) ; 16, failles post-tortonniennes ; 17, failles anté-tortonniennes supérieures.

PLANŞA I



Institutul Geologic al României

PLANSA I

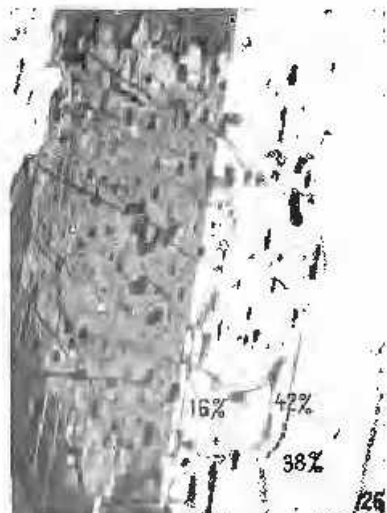
- Fig. 1. - Feldspat zonat din anzezit, element din aglomerat. Valea Grozii, Coas. N-; $\times 15$.
- Fig. 2. - Feldspat zoné d'andésite, élément d'agglomérat. Vallée Grozii, Coas. N-; $\times 15$.
Feldspat zonat en simbure acide, cu incluziuni de stică și structură microperlitică. Element de aglomerat anzezitic, dealul Piroșdan, Berchezoaia. N+; $\times 27$.
Feldspat zoné, à noyau acide à inclusions de verre et structure microperlitique. Élément d'agglomérat andésitique, colline Piroșdan, Berchezoaia, N-; $\times 27$.
- Fig. 3. - Xenolit (X) de microgabbro porfiric din microdiorit-porfiric, élément de aglomerat, Valea Grozii, Coas. N-; $\times 27$.
Nérolite (X) de microgabbro porphyrite de microdiorite-porphyrite, élément d'agglomérat, Vallée Grozii, Coas. N-; $\times 27$.
- Fig. 4. - Pyroxen (Px) opacitizat și feldspat (f) în anzezit, element de aglomerat. Dealul Tichilui, Hovrila. N II; $\times 15$.
Pyroxène (Px) opacifié et feldspath (f) en anzezite, élément d'agglomérat. Colline Tichilui, Hovrila. N II; $\times 15$.



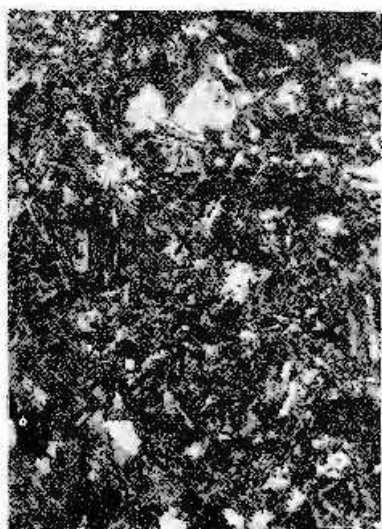
I. KALMÁR, D. IONESCU. Vulcanismul tortonian din NW masivului Prelucă. PL. I.



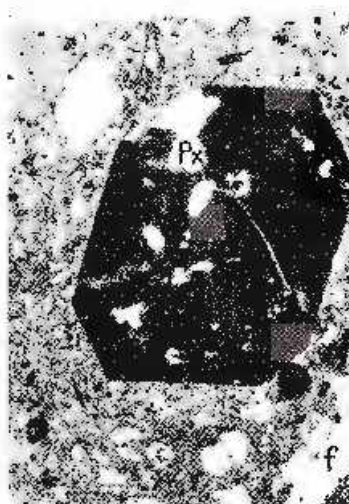
1



2



3



4

Institutul Geologic. Dări de seamă ale ședințelor, vol. LVII/1.

PLANSA II

Fig. 1. — Tufuri sudate. Se observă particulele de sticlă în curs de devitrificare, îndoită și alipite. Valea Buciumilor, Coas. N - ; $\times 15$.

Tufs soudés. On observe les particules de verre en train de dévitrification, courbées et collées. Vallée Buciumilor, Coas. N - ; $\times 15$.

Fig. 2. — Tufuri sudate. Picături de sticlă (s) incluzând cristale de cuarț (q) și de feldspat (f); zone de devitrificare marginală (s'). Valea Buciumilor, Coas. N U ; $\times 15$.

Tufs souvés. Gouttes de verre (s) à cristaux de quartz (q) et de feldspath (f); zones de dévitrification marginale (s'). Vallée Buciumilor, Coas. N U ; $\times 15$.

Fig. 3. — Tuf dacitic: f, feldspath; q, cuarț; s, picături de sticlă; 1, sillit marmos. Valea Putjurilor, Remeteoara. N II ; $\times 27$.

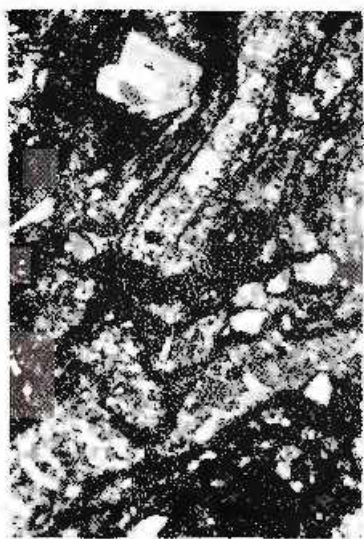
Tuf dacique. f, feldspath; q, quartz; s, gouttes de verre; 1, sillite marmos. Vallée Putjurilor, Remeteoara. N II ; $\times 27$.

Fig. 4. — Lapillit. q, cuarț corodat; q', cuarț metamorfogen en extinction ondulatoire; f, feldspat; m, microdiorit-porfirit; 1, sillit. Valea Caselor, Între Râuri, N + ; $\times 10$.

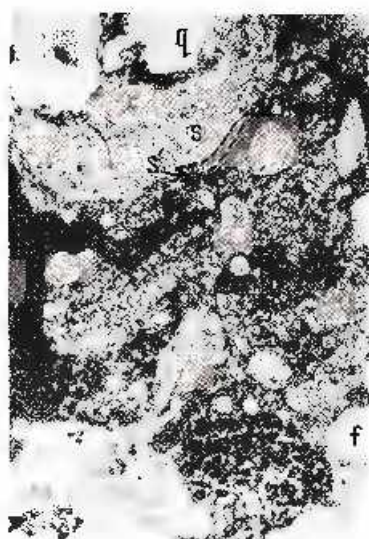
Lapillite. f, quartz corrodé; q', quartz métamorphogène à extinction ondulatoire; f, feldspath; m, microdiorite-porphyrites; 1, sillite. Vallée Caselor, Între Râuri, N + ; $\times 10$.



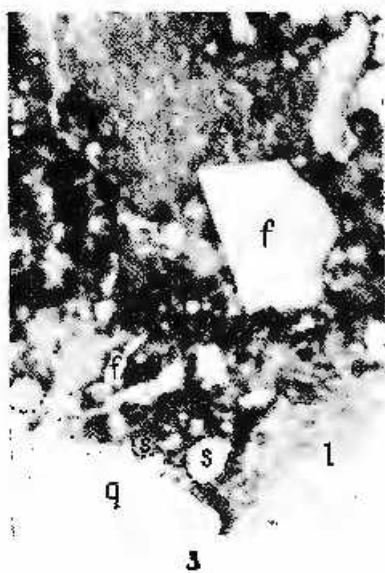
I. KALMÁR, D. IONESCU. Vulcanismul tortonian din NW masivului Prelucă. Pl. II.



1



2



1

3



4

Institutul Geologic. Döri de seamă ale şedințelor, vol. LVI/1.

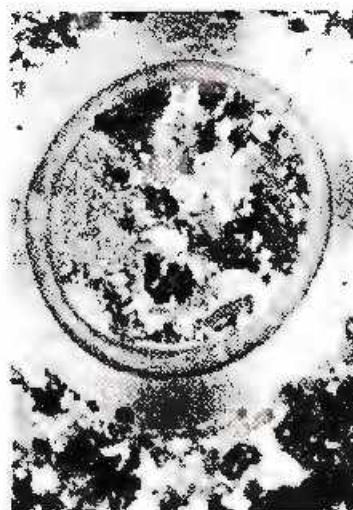
PLANSĂ III

- Fig. 1. — Trunchi silicificat de lemn, cu vase de liber (I) și lemnosace (L). Valea Grozii, Coas. N II; $\times 15$.
Tronc d'arbre silicifié à vaisseaux de libre (I) et ligneux (L). Vallée Grozii, Coas. N II; $\times 15$.
- Fig. 2. — Seafopod sectional, într-o gresie calcaroasă. Dealul Ticău, Horville. N + ; $\times 10$.
Seaphopode sectionné, dans un grès calcaire. Colline Ticău, Horville. N + ; $\times 10$.
- Fig. 3. — Dealul Colnicelului, Berchez. Tortoniian superior (N_1t) scind peste depozite paleogenice (Pg). Se observă alternanță de calcare (c) și tufuri (+).
Colline Colnicelui, Berchez. Tortoniien supérieur (N_1t) reposant sur des dépôts paléogènes (Pg). On observe l'alternance de calcaires (c) et de tufs (+).

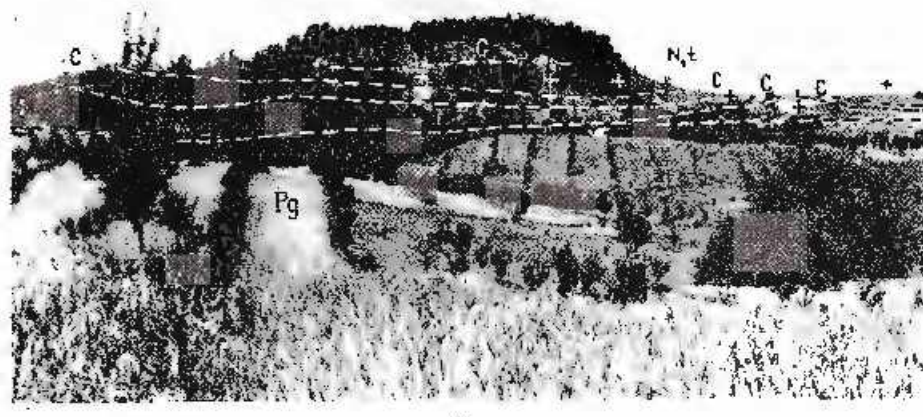
I. KALMAR, D. IONESCU. Vulcanismul tortonian din NW masivului Preluca. Pl. III.



1



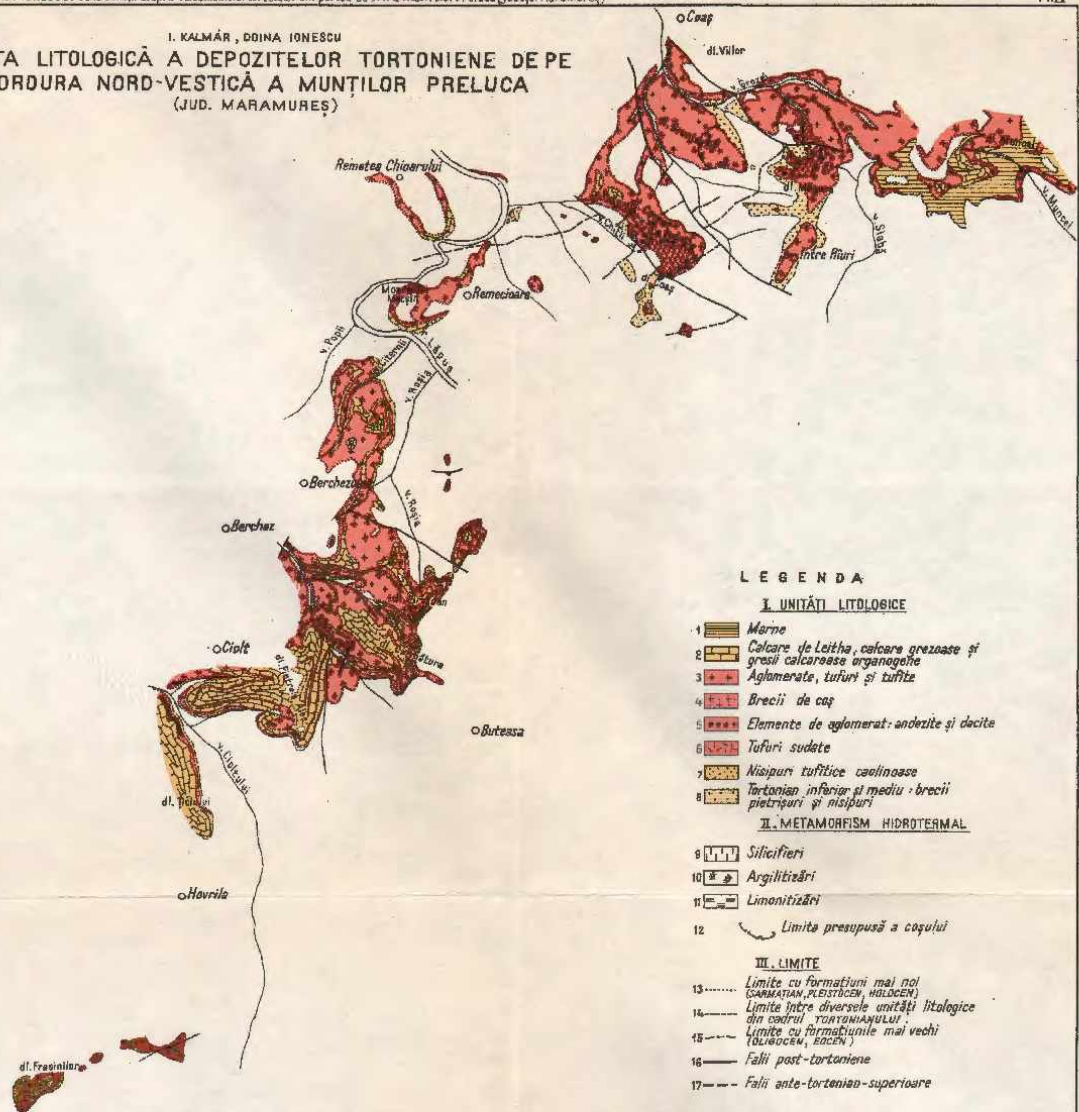
2



3

Institutul Geologic. Döri de seamă ale ședințelor, vol. LVI/1.

I. KALMÁR, DOINA IONESCU
**HARTA LITOLOGICĂ A DEPOZITELOR TORTONIENE DE PE
 BORDURA NORD-VESTICĂ A MUNTILOR PRELUCA
 (JUD. MARAMUREȘ)**



0 500 1000 1500 m.

PETROLOGIA ROCIILOR MAGMATICE

**ASUPRA PREZENȚEI UNOR ELEMENTE DE ROCI BAZICE ÎN
BRECIILE TECTONICE DE LA ARȘITA-IACOBENI (CARPAȚII
ORIENTALI)¹**

DE

ALCIBIADE ION MUŞAT, OLIMPIA VASILESCU²

Abstract

On the Presence of some Elements of Basic Rocks in the Tectonic Breccias of the Arșița-Iacobeni Area (East Carpathians). The presence of some pyroxene elements, to be found in the tectonical breccias of Neogene age, and which are located on the Arșița Mount slopes (Iacobeni), is recorded. It is considered that the respective elements are part of the basic body located in the basement of the region. Due to tectonical movements and the circulation of some hydrothermal solutions, these elements were brought towards the surface by the end of the alpine magmatic phase in this zone of the East Carpathians.

În cadrul proiectului de cercetare geologică din munții Bistriței—Carpații Orientali de N—(Mușat, 1965, 1966, 1967³; Vasilescu, 1966, 1967, 1968⁴) ne-am ocupat și de studiul petrografic al elementelor din breciile tectonice localizate în zonele de falii.

¹ Comunicare la ședință din 21 februarie 1969.

² Întreprinderea Geologică de Prospecții, Gal. Grivițel nr. 64, București.

³ Al. I. Mușat. Raport asupra lucrărilor de prospecții pentru minereuri neferoase în Carpații Orientali—Mestecăniș. 1965, Arh. Com. Stat. Geol. București.

Al. I. Mușat. Raport asupra proiectuielor pentru minereuri auroargentifere în Carpații Orientali (Mestecăniș). 1966. Arh. Com. Stat. Geol. București.

Al. I. Mușat. Raport asupra proiectuielor geologice pentru minereuri neferoase în zona Obcinei Mestecăniș și Fărdoane (Carpații Orientali). 1967. Arh. Com. Stat. Geol. București.

⁴ Olimpia Vasilescu. Raport privind documentarea mineralogico-petrografică a lucrărilor de explorare executate în șantierul IGEX—Mestecăniș, Carpații Orientali. 1966. Arh. Com. Stat. Geol. București.

Olimpia Vasilescu. Raport informativ privind documentarea mineralogico-petrografică a șantierului IGEX—Mestecăniș, Carpații Orientali. 1967. Arh. Com. Stat. Geol. București.

Olimpia Vasilescu. Raport informativ privind documentarea petrografică-mineralogică a șantierelor IGEX—Mestecăniș și Gura Hășii (Sector Chiril), Munții Bistriței. 1968. Arh. Com. Stat. Geol. București.

În cele ce urmează ne vom referi la breciile tectonice din masivul Arșița, situat în versantul stîng al văilor Nepomuceni și Fierului, care din punct de vedere administrativ se încadrează în raza comunei Iacobeni, județul Suceava.

Din punct de vedere geologic zona este constituită din șisturi cristaline epizonale (orizontul șisturilor grafitoase și al cuarțitelor negre manganișere), ea constituind și cîmpurile miniere Nepomuceni și Arșița, unde Ministerul Minelor (Intreprinderea Minieră-Vatra Dornei) exploatează mincurenile de mangan.

Observațiile asupra materialului colectat din breciile tectonice cu textura compactă au pus în evidență aici, prezența unor elemente de roci bazice, alături de cele de roci cristaline, în care cimentul este constituit uneori din silice, sericit, biotit și cuiburi de sulfuri, altorii fiind carbonatic argilos cu sulfuri.

Intrucît tipul de rocă bazică din brecii se deosebește din punct de vedere mineralogic de toate celelalte roci bazice cunoscute în regiune și nu este prezent decât ca elemente în unele brecii, fiind deci anterioare acestora precum și celoralte roci bazice ce străbat șisturile cristaline sau sedimentele mezozoice, considerăm oportună prezentarea acestei note.

Aceste elemente au dimensiuni centimetrice sau mai mici, culoare cenușiu-verzui, formă rotunjito și sunt prinse într-un ciment fără silicioz, fie calcaros și întotdeauna însorit de sulfuri mai mult sau mai puțin limonizate.

Sub microscop ele se prezintă ca o masă granulară continuă, constituită în principal din piroxeni monoclinici, apoi piroxeni rombici și titanomagnetit.

Piroxenul cel mai răspândit este augitul, care apare în indivizi de dimensiuni foarte variate, cristalizați scurt prismatice, rar idiomorfi, mai frecvent hipidiomorfi, uneori maclăți după (100) și având culori vii de birefringență și pleocroism obișnuit. În ordinea cantitativă ii urmează augitul titanifer, în cristale prismatice mari, cu contururi hipidiomorfe, maclate după (100), cu culori de birefringență foarte vii (verzui, albastru-indigo, brune). Uneori, de o parte și de alta a poziției de maximă extincție, apar culori de interferență albastrui-brune, ca fenomen datorat dispersiei bisectoarelor.

Acmitul, mai rar, apare mărunt cristalizat, cu aspect hipidiomorf, cu culori de birefringență brun-verzui și extincție mică.

Augitul egirinic este cristalizat prismatic cu contururi hipidiomorfe, refringentă ridicată, pleocroism verde-gălbui și puternice separații după (100).

Clinoenstatitul se prezintă în indivizi mari, cu habitus prismatic și pleocroism slab.

Enstatitul și bronzitul sunt singurii piroxeni rombici pe care i-am întâlnit. Ei s-au dezvoltat în rare granule hipidiomorfe. Enstatitul este cristalizat prismatic, alungit după axa c și apare cel mai frecvent în agregate granulare, concreșcent cu piroxenii monoclinici, arc pleocroism slab și extincția dreaptă. Bronzitul apare mărunt cristalizat, cu contururi hipidiomorfe și foarte rar răspândit în masa rocii.

Raporturile cantitative dintre piroxenii monoclinici și cei rombici — determinate planimetric — sunt de 4 : 1.

Printre piroxenii mai sus citați, în cadrul rocii, mai apare titanomagnetitul, care în marea majoritate a cazurilor se găsește în agregate granulare compacte, însiruite în benzi paralele, uneori foarte apropiate unele de altele, alteleori în granule cu contururi idio-hipidiomorfe și rar diseminate în masa de piroxeni. Ca rezultat al dezamestecului titanomagnetitului, ilmenitul apare „în flăcări” sau ca o coroană de leucoxen.

Deoarece toți piroxenii monoclinici au separații extrem de pronunțate după (100), presupunem că aceste roci bazice au făcut parte dintr-un dialagit. Mai rar apar elemente de piroxene cu indivizi de titanaugit și clinoenstatit larg cristalizați și prinși într-o masă mărunt cristalizată de piroxeni monoclinici și titanomagnetit. Alteori ele sunt constituite dintr-o matrice de titanomagnetit, dispusă în benzi, vinișoare și cuiburi, printre ale cărei gohuri s-au depus piroxenii monoclinici, mărunt cristalizați, dind impresia că au făcut parte dintr-o zonă de șlire de titanomagnetit ce s-a separat în masa piroxenitului.

Cantitatea de titanomagnetit din aceste elemente — determinată planimetric — este de cca 50%, în timp ce fragmentele de roci bazice cu piroxenii larg cristalizați cuprind granule diseminate în masa rocii de titanomagnetit, cantitativ acesta nedepășind 16%. În comparație cu rocile gabroice de pe valea Putnei (Pituless, Mușat, 1965) sau din zona Fărăoane, care au indicat conținuturi între 9-17% titanomagnetit, obținute prin separări magnetice și determinări planimetrice, cantitatea de patru ori mai mare din unele elemente ale breciei, indică existența unor separații sub formă de șlire în masa intrusivă.

Piroxenitele mărunt cristalizate și cu conținut ridicat de titanomagnetit au structura sideronitică și textura în șlire (vărgată), iar cele cu indivizii larg cristalați au o structură panidiomorfă și textura masivă.

Fragmentele de roci bazice existente în brecile menționate au fost antrenate de mișcările tectonice și curgerea soluțiilor hidrotermale, care le-a și fixat o dată cu sulfurile și ganga, la sfîrșitul fazei savice sau începutul celei stîrîse. Ele au fost rupte din corpurile sănătoase ale apofizelor intruziunilor preexistente undeau la o adâncime nu prea mare, care au fost puse în loc în timpul orogenezei alpine din această parte a Carpaților Orientali.

Din lucrările noastre anterioare (Mușat, 1965, 1966, 1967⁵; Vasilescu, 1966, 1967, 1968⁶) și din cele ale altor cercetători (Băneilă, 1958; Dumitrescu et al., 1962; Oncescu, Răileanu, 1963) rezultă că faza savică reprezintă stadiul paroxismal al orogenezei alpine din această parte a Carpaților Orientali.

Se știe că mișcările tectonice majore, care conduc la ridicarea sau la coborîrea diferențelor formațiuni (ca o consecință a restabilirii echilibrului izostatic) sunt însoțite de punerea în loc a unor mari mase magmatice, concretizate în marea lor majoritate prin curgeri de diabaze, lamprofire, etc. (Băneilă, 1958; Oncescu, Răileanu, 1963; Rittmann, 1967).

Rocile bazice existente din fundația regiunii cercetate și care uneori aflorează datorită eroziunii, au fost puse în loc ca o consecință firească a mișcările tectonice post-cretacee, care au condus la apariția bazinului Transilvaniei și depresiunii Dornelor și la ridicarea zonelor vecine, așa după cum se știe.

În concluzie, din datele de care dispunem și pe care le-am expus mai sus rezultă următoarele :

Fragmentele de roci bazice din brecile tectonice fac parte din corpuri bazice situate în fundația regiunii, care au fost puse în loc anterior mineralizațiilor de sulfuri ;

Mecanismul care a participat la ascensiunea acestor fragmente pe fracturile create, a fost mișcarea tectonică asociată cu circulația soluțiilor hidrotermale de la finele magmatismului alpin ;

Aparițiile concentrațiilor în titanomagnetit reprezintă rezultatul unei segregării în masa corpului intrusiv bazic, localizat nu prea adine ;

Vîrstă punerii în loc a elementelor de roci bazice și a sulfurilor din brecile citate este neogenă.

⁵ Op. cit. pet. 3.

⁶ Op. cit. pet. 4.

BIBLIOGRAFIE

- Atanasiu I. (1928) Étude géologique dans les environs de Târgheș (Neamț). *An. Inst. Géol. Roum.* XIII, București.
- Băncilă I. (1958) Geologia Carpaților Orientali. Ed. științifică, București.
- Dimitrescu R. (1965) Notă asupra structurii cristalinului din regiunea Iacobeni. *D. S. Com. Geol.* LI/1, București.
- Dumitrescu I., Sandulescu M., Iăzărescu V., Mirăuță O., Pauliuc S., Georgescu C. (1962) Mémoire à la Carte tectonique de la Roumanie. *An. Com. Géol.* XXXII, București.
- Onicescu N., Răileanu Gr. (1963) Faze de orogenează pe teritoriul R.P.R. *Ghid. Asoc. Geol. Carp.-Balc. Congr.* V, București.
- Pilulea G., Mușat I. A. (1965) Notă asupra unei iviri de roci gabroice în reg. Pojorita-Valea Putnei (Carpați Orientali). *D. S. Com. Geol.* LI/1, București.
- Rădulescu I., Rădulescu Ludmila, Tenea I. (1967) Structura geologică și stratigrafia șisturilor cristaline din regiunea Pojorita-Fundu Moldovei-Lucina (Carpați Orientali). *D. S. Com. Stat. Geol.* LIII/1, București.
- Rittmann A. (1967) Vulcanii și activitatea lor. (trad. lb. germană). Ed. a II-a, Ed. tehnică, București.

SUR LA PRÉSENCE DES ÉLÉMENTS DE ROCHES BASIQUES DANS LES BRÈCHES TECTONIQUES D'ARŞIȚA-IACOBENT

(Résumé)

Lors de certaines recherches géologiques dans les monts Bistriței (Carpates Orientales), les auteurs attirent l'attention sur la présence des éléments de pyroxénites dans les brèches tectoniques de la zone du massif Arșița (Iacobeni).

Il est connu des recherches antérieures que dans cette région il y a des apophyses et des filons de roches basiques, mis à jour par l'érosion.

On considère que les éléments de pyroxénites font partie d'une intrusion majeure basique, silinée à une petite profondeur dans le soubassement de la région.

Ils ont des dimensions qui varient entre moins d'un centimètre et plusieurs centimètres, une couleur gris-verdâtre, des formes arrondies et ils sont enrobés par un ciment siliceux ou calcaire, toujours imprégné avec des sulfures.

Au microscope ils apparaissent comme une masse granulaire continue, constituée principalement de pyroxènes monocliniques; il suit les pyroxènes rhomboïdaux et la titanomagnétite.

Pour conclure, on démontre que la présence de ces éléments dans ces brèches tectoniques est due aux mouvements tectoniques paroxismaux et à la circulation des solutions hydrothermales (fin du magmatisme alpin) qui, dans cette région, ont eu lieu pendant et après la phase savique.



PETROLOGIA ROCILOR MAGMATICE

**CONTRIBUȚII PETROGRAFICE ȘI PALEOVULCANOLOGICE LA
CUNOAȘTEREA PĂRȚII DE SUD-VEST A MUNTILOR GURGHIU¹**

DE

SERGIU PEITZ, MARIGARETA PEITZ²

Abstract

Petrographical and Paleovolcanological Contributions to the Knowledge of the Southwestern Part of the Gurghiu Mountains. This paper presents new data on the geological structure and the evolution of the Neozoic andesitic volcanism within the region studied. The volcanites extend over the greatest part of the territory. They are represented by volcano-clastic rocks and massive rocks. The pre-volcanic basement consists of Pannonian (A-D zones) and Tortonian sedimentary rocks. The volcanic edifice is built up of volcanogenous-sedimentary formations (volcanogenous-sedimentary compartment), and the extracraterial products of the volcanoes located in the central and southeastern part of the Gurghiu Mts (stratovolcanic compartment). The volcanogenous-sedimentary formation is made up of three series, each of them being characterized by a well determined association of volcanogenous and terrigenous rocks. The structural control of the eruptive activity is linked to the rooted formations represented by necks, domes, dykes, apophyses. They mark the volcano tectonic lines trending NW-SF. The volcanic activity has developed during two main stages in the course of the Pannonian and the Pleistocene when the two structural compartments of the Gurghiu eruptive massif were built up.

1. Introducere

Partea de sud-vest a munților Gurghiu cuprinde teritoriul vulcanic situat între clinele sudice ale aparatelor vulcanice Seaca-Tătarcă și Borzont la nord și depresiunea Transilvaniei la sud și vest. În această regiune produsele care stau la baza edificiului vulcanic prezintă o largă extindere (compartimentul vulcanic inferior); numai în partea-

¹ Comunicare în ședință din 28 martie 1969.

² Institutul Geologic, Șos. Kiseleff nr. 55, București.

nordică se dezvoltă produsele aparătorilor Seaca-Tătarca și Borzont (compartimentul suprastructurilor vulcanice).

Cu prilejul cercetărilor pe care le-am efectuat în anii 1967 și 1968 în regiunea vîrful Borzont-Eremiu-Sovata-Corund, reprezentind o extindere și aprofundare a celor începute în anul 1960, am obținut noi date privind structura geologică și evoluția vulcanismului. Acestea completează și imbogățesc cunoașterea de ansamblu a structurii geologice a masivului eruptiv Gurghiu și a compartimentului său vulcanic inferior în special.

Contribuții la cunoașterea alcăturirii geologice a regiunii, în special a produselor vulcanice, au fost aduse de Bányai (1933), Treiber (1955), Götz (1956), Nagy (1952), Rădulescu, Vasilescu, Peltz, Peltz (1964). Cunoașterea litologică, tectonică, dar mai ales a vîrstei depozitelor sedimentare a înregistrat progrese importante datorită cercetărilor întreprinse de Bucur și Müntz³, Zotta, Radu, Chiriteșeu, Cornea (1960)⁴, Popescu⁵, Roman⁶.

Acumulările de carbonați de la Corund au fost studiate în detaliu de Gheorghiu, Peltz, Peltz, Mares (1965).

Cercetările cu foraje executate de I.G.E.X.⁷ au adus date noi privind litologia formațiunii vulcanogen-sedimentare din regiunea Prajd-Corund.

2. Date privind morfologia vulcanică și hidrografia

În regiunea cercetată, ca și în alte părți ale munților Gurghiu, structura vulcanică se evidențiază cu pregnanță în morfologie; altitudinile sunt cuprinse între 1196 m (vîrful Borzont) în extremitatea nord-estică și 400 m la Sărățeni în partea sud-vestică. În treimea nordică a regiunii

³ I. Bucur, K. Müntz, Cercetări geologice în regiunea Reghin-Sovata. 1957. Azh. Min. Ind. Petr. București.

⁴ M. Dumitriu, Cristina Dumitriu, Victoria Zotta, Otilia Radu, Maria Chiriteșeu, Tamara Odobescu, Cornelia Cornea, Prospecționi geologice pentru hidrocarburi, sare și săruri de potasiu în Bazinul Transilvaniei, zona văii Mureșului, V. Tîrnava Mică. 1960. Arh. Com. Stat. Geol. București.

⁵ A. Popescu. Studii sedimentologice asupra depozitelor pannoniene de pe versantul vestic al M. Gurghiu între V. Nirajului și V. Tîrnava Mică. 1968. Arh. Com. Stat. Geol. București.

⁶ Stefană Roman. Studii palinologice asupra complexului vulcanogen-sedimentar de la S de valea Gurghiu. 1968. Arh. Com. Stat. Geol. București.

⁷ I.S.E.M. Raport privind lucările de prospecționi geologice cu foraje la sănctorul Corund 1963. Arh. Com. Stat. Geol. București.

altitudinile sint de peste 1200 m. Aici clina sudică a vulcanilor Seaca-Tătarcă și Borzont are valori cuprinse între 25°-40°.

Relieful accidentat al vulcanilor contrastează cu cel al formațiunii vulcanogen-sedimentare ce se prezintă azi ca un platou întins. În regiunea Vîrșag-Ocna-Prajd, acesta ocupă suprafața de cca 140 km p, este aproape orizontal și se situează la altitudini cuprinse între 1000 m (Vîrșag-Corund) și 650 m (Prajd).

Platoul vulcanic Vîrșag-Prajd a rezultat din denudarea reliefului formațiunii vulcanogen-sedimentare în perioada de calm instaurată între cele două etape principale de manifestare a vulcanismului în munții Gurghiu. Rămînind exondat din timpul Pannonianului, el a fost supus acțiunii agentilor externi, luind naștere pe un teritoriu destul de extins, suprafețe aproape plane. La aceasta a contribuit și slaba consistență a depozitelor vulcanogene pe care s-a grefat această acțiune modelatoare.

La nord de valea Iuhodului relieful este mult mai diferențiat, prezintând creste largi mărginite de versanții abrupti ai văilor Iuhodul Rece, Iuhodul Dracului, Sîk, Isop, Sebeș, Sovata. Piroclastitele grosiere, în special breciile, prezintă bizarre forme de eroziune (turnuri, ace, stilpi, ciuperci) sau adevarate chei (Iuhodul Dracului).

Limita masivului eruptiv cu depresiunea Transilvaniei este marcată peste tot de abrupturi.

Rețeaua hidrografică este tributară în cea mai mare parte Tîrnavei Mici. Izvoarele acestei văi se află pe clina sudică a vulcanului Borzont (Creanga Mică) și pe cea sud-estică a vulcanului Seaca (Creanga Mare). Principalii afluenți sunt văile: Sovata-Săcădat, Iuhod, Valea Mare a Corundului.

3. Formațiuni sedimentare

Pe rama masivului eruptiv au putut fi examineate cu claritate în foarte multe situații relațiile directe ale depozitelor vulcanogene cu cele sedimentare pannoniene și tortoniene.

3.1. Tortonian. Este reprezentat prin „formațiunea cu sare” care cuprinde sarea propriu-zisă și brezia sării. Depozitele sunt vizibile la Sovata în zona stațiunii, la Prajd în zona salinei și sunt presupuse să se găsească foarte aproape de suprafață la Corund, în zona ivirilor cu acumulații de carbonați.

Din cauza diapirismului formațiunii cu sare, contactul Tortonianului cu Pannonianul și uneori cu depozitele vulcanogene este de natură

tectonică. Izvoarile sărate de la Corund, masivele de sare de la Prajd și Sovata jalonează structura anticinală Corund-Prajd-Sovata.

3.2. Pannonian. La limita cu eruptivul depozitele sunt reprezentate prin orizontul marno-nisipos superior, care poate fi raportat zonelor C+D și probabil E ale Pannonianului (Zotta et al., 1960). După Dumitriu et al.⁸ orizontul marno-nisipos superior este echivalent orizontului nisipos și marnos pliocen stabilit de Bucur și Müntz în regiunea Regin-Sovata, de asemenea este echivalentul orizontului nisipurilor superioare pioniene după Vancea (1960).

Depozitele pannoniene constituie bordura sud-vestică a eruptivului între Kremitu-Șilea Nirajului-Sărăteni-Șiclod-Păuleni. De asemenea, sunt bine deschise de văile Săcădat, Tîrnava Mică și Corund unde apar ca digității în interiorul eruptivului. Acestea suprafețe unitare li se adaugă numeroase iviri întinute de noi pe întreg teritoriul sudic, în interiorul masivului Gurghiu; multe dintre ele fiind de mici dimensiuni nu au putut fi reprezentate pe harta anexată. Aceasta dovedește prezența Pannonianului în fundamental formațiunii vulcanogen-sedimentare mult mai la nord-est de ariile unitare de aflorare. Faptul, că depozitele pannoniene vin în contact cu diferite nivele ale formațiunii vulcanogen-sedimentare, se datorează reliefului neregulat peste care s-au depus vulcanitele, dar mai ales tectonicii sedimentarului și a eruptivului, în strinsă legătură cu structura diapiră Sovata-Corund.

3.3 Cuaternar. Este reprezentat prin terase, aluviuni, pornituri, mlaștini și depozite deluviale.

Aluviunile sunt extinse pe văile mari, în cursul inferior; cele ale pârâului Prajd conțin magnetit și ilmenit⁹.

Pe suprafața platoului Virșag-Prajd pe lîngă zonele relativ restrinse de mlaștini și înmlaștinări precum și a celor deluviale se întlnesc în numeroase sectoare (dealul Semereș, Cîmpia Mare, Pîrul lui Pavel, Fintina Brazilor, Colonda, dealul Dele) fragmente rotunjite și subrotunjite de cuarțite, micașisturi, gnaise; frecvent, dimensiunile lor sunt cuprinse între 0,5-2 cm.

⁸ Op. cit. pct. 4.

⁹ Margareta Peltz, S. Peltz. Raport privind prospecțiunile geologice executate în M. Gurghiu de sud-vest. 1960. Arh. Com. Stat. Geol. București.

Foarte recent, Rădulescu, Peltz (1970) au examinat problema prezenței materialului cristalin la suprafața platourilor din regiune și a implicațiilor privind cunoașterea paleogeografie teritoriului vulcanic în timpul Pliocenului și al Pleistocenului.

Pe harta anexată aceste depozite sunt figurate împreună cu cele deluviale și zonele de înmlăștinări holocene.

4. Serii și tipuri de roci vulcanice

În partea de sud-vest a munților Gurghiu produsele activității eruptive sunt reprezentate prin roci vulcanice masive, roci vulcanoclastice și roci vulcanice epiclastice, toate de compoziție andezitică.

Rocile piroclastice alternează cu cele epiclastice iar ambele cu roci argilo-detritice pannoniene alcătuind o formațiune vulcanogen-sedimentară.

Tipul de litogeneză vulcanogen-sedimentară, pentru întregul masiv eruptiv Gurghiu și pentru prima oară în lanțul eruptiv Călimani-Gurghiu-Harghita, a fost pus în evidență de Rădulescu et al. (1964).

Gradul de cunoaștere oferit de primele cercetări efectuate în munții Gurghiu a permis delimitarea cartografică și caracterizarea complexului vulcanogen-sedimentar, sistematizarea produselor ce-l alcătuiesc în trei nivele cu extindere regională. Ulterior, tipul de litogeneză vulcanogen-sedimentară a fost recunoscut și în alte regiuni ale lanțului eruptiv (Peltz, 1965) sau în alte unități cu vulcanism neogen (Cioflea et al., 1966; Borcoș, Manetea, 1968).

Gradul actual de cunoaștere a regiunii Eremitu-Praid-Corund ne permite să apreciem că în această parte a munților Gurghiu formațiunea vulcanogen-sedimentară prezintă o dezvoltare completă și deosebit de caracteristică. Sistematizarea datelor acumulate prin cercetările efectuate în anii 1960, 1967 și 1968, completarea lor cu cele oferite de forajele executate de I.G.E.X. în zona Praid-Corund¹⁰ ne permite să considerăm că la alcătuirea formațiunii vulcanogen-sedimentare participă trei serii cu extindere regională.

Seriile sunt complexe litologice constituite din variate tipuri de roci piroclastice și epiclastice andezitice, precum și din roci argilo-detritice care formează nivale litostratigrafice.

¹⁰ Op. cit. pet. 7.

Materialul vulcanogen constituie „fondul” formațiunii. Componentul terigen este subordonat în proporție importantă celui vulcanogen. Dacă apreciem grosimea formațiunii la cca 750 m din care numai cca 50 m revin argilelor marnoase, marnelor și nisipurilor, rezultă că participarea componentului terigen este de numai 6,5%. Analiza litologică a depozitelor arată că petrofondul componentului vulcanogen este exclusiv andezitic.

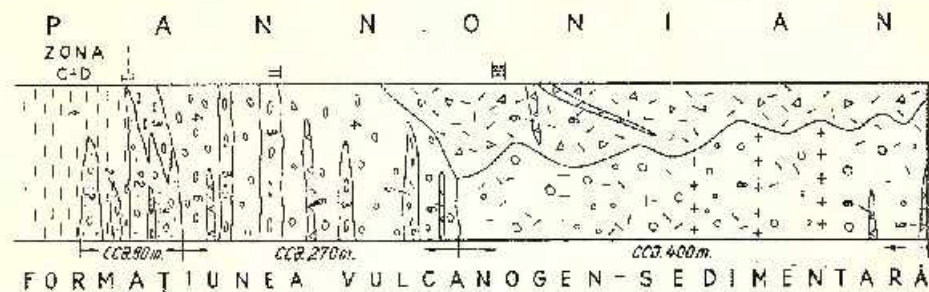


Fig. 1. - Coloana litologică schematică a formațiunii vulcanogen-sedimentare.
1, marne și marne nisipoase; 2, aglomerate mixte; 3, epiclastite andezitice; 4, piroclastite andezitice, serie intermedie; 5, brucii piroclastice andezitice; 6, andezite; 7, brechi piroclastice andezitice, serie superioară; 8, piroclastite andezitice, serie superioară; 9, andezit piroxenitic bazaltoid.

Colonne lithologique schématique de la formation volcanogène sédimentaire.

1, marnes et marnes nisipoase; 2, aglomérates mixtes; 3, épilastites andésitiques; 4, pyroclastites andésitiques série intermédiaire; 5, brèches pyroclastiques andésitiques; 6, andésites; 7, brèches pyroclastiques andésitiques, série supérieure; 8, pyroclastites andésitiques, série supérieure; 9, andésite pyroxénique basaltoid.

telor arată că petrofondul componentului vulcanogen este exclusiv andezitic.

Seria inferioară (I) cuprinde produsele primelor manifestări vulcanice. Depozitele vulcanogene din bază alternează cu sedimentele pannoniene (zonele C-D mai ales zona E) sau le acoperă. Seria este alcătuită preponderent din aglomerate și microaglomerate mixte depuse subacvatic și subordonat din depozite epiclastice de natură andezitică. Aceste depozite se întâlnesc sau alternează între ele (fig. 1). În unele sectoare (Ocna de Jos, valea Sovata, Săcădat, Cimpul Cetății) suitele epiclastice se situează la contactul cu marne nisipoase. Cel mai frecvent aglomeratele mixte stau la baza seriei.

În forajul din desul Semeres (Prajd) au fost identificate 4 nivele de aglomerate cu grosimi de 5, 8, 32,3 m care alternează cu nivele de marne și argile a căror grosime este cuprinsă între 3-15 m. Grosimea medie a seriei inferioare este de 80 m.

Seria intermedie (III) are o alcătuire mai complexă și o grosime medie de 270 m. Cuprinde variate tipuri de roci piroclastice și epiclastice

cărora li se asociază lave și corpuri andezitice. Se poate aprecia că seria intermedieră înglobează un volum important din produsele primei etape a desfășurării vulcanismului în regiune. Constituția sa complexă arată că în acastă perioadă activitatea vulcanică a fost mixtă, preponderent explozivă. Alternanța depozitelor piroclastice cu cele epiplasticice, mai ales în jumătatea inferioară a seriei, arată că perioadele de activitate au alternat cu cele de calm vulcanic. Pirolastitele părții bazale indică depunerea în mediu subacvatic, iar cele din jumătatea superioară o depunere predominantă subaeriană.

Seria superioară (III) are o grosime de cca 400 m. Este alcătuită din brecii și microbrecii piroclastico, aglomerate, microaglomerate și tufuri. Pirolastitele indică o depunere exclusiv subaeriană și cuprind sporadice intercalări de epiplastite. Sunt prezente curgeri și corpuri andezitice. Este probabil, ca la partea terminală a seriei să se includă produse aparținând primelor momente explozive ale etapei vulcanice următoare. Prezența bombelor de andezit cu hornblendă brună în cadrul aglomeratelor, la sud de vîrful Borzont, este o indicație.

Formațiunea vulcanogen-sedimentară ocupă 90% din suprafața cercetată. Ea cuprinde produsele activității eruptive desfășurate după Pannonianul s. str.; constituie ca și în celelalte părți ale masivului Gurghiu compartimentul vulcanic inferior.

Produsele activității vulcanice desfășurate ulterior — în Cuaternar — și care a generat suprastructura masivului (compartimentul vulcanic superior) sunt reprezentate în regiune prin andezite cu hornblendă brună, andezite cu hornblendă brună ± piroxeni, andezite cu piroxeni. Acestea acoperă cca 10% din teritoriu.

4.1. Rocă vulcanice masive. Andezitele formează curgeri și subordonat corpuri în general de dimensiuni reduse; sunt prezente mai ales ca elemente constitutive ale rocilor piroclastico și epiplastico. Curgerile se intercalează în pirolastitele seriilor II și III prezintând grosimi vizibile, cuprinse între 5-30 m; de asemenea, acoperă pirolastitele seriei superioare. În forajul din dealul Semereș au fost interceptate 7 curgeri cu grosimi între 1,20-10 m, iar forajul din dealul Cimpul Mic (Ocna de Sus) a traversat andezitele pe 36,67 m. Corpurile afloră pe distanțe cuprinse între 50-400 m; multe din ele constituie apofize ale unor corpuri suberustalo.

4.1.1. Andezite cu hornblendă. În raport cu celelalte tipuri de andezite, participarea andezitului cu hornblendă la alcătuirea depozitelor vulcanogene din regiune este mai puțin importantă.

Aceste andezite au fost întinute ca bombe, lapilli sau litoclaste în piroclastite sau ca găleți în conglomerate și microconglomerate. În zona de izvor a Pirifului Negru am identificat andezitul cu hornblendă brună aparținând lavei vulcanului Borzont. Acest tip nu a putut fi separat cartografic de andezitul cu hornblendă brună și piroxeni emis de același vulcan.

În urma studiului petrografic au fost identificate următoarele varietăți de andezite: cu hornblendă brună intens opacitizată (pl. II, fig. 1); cu hornblendă brună opacitizată marginal (pl. II, fig. 2); cu hornblendă verde.

Sunt roci compacte sau poroase, de culoare cenușie sau cărămizie. Structura portiferică este determinată de fenocristalele de plagioclaz și hornblendă. Microstrucatura masei fundamentale este pilotaxitică cu puțină sticlă, pilotaxitică, hiatopilitică.

TABELUL 1
Compoziția modală și dimensiunile mineralelor*

Mineral	Limite %	Dimensiuni mm
Plagioclaz	23,80-24,17	1,8/1,12-0,76/0,18-0,09/0,04
Hornblendă	3,76-7,17	2,25/0,9-1,35/0,15-0,45/0,13
Magnetit	0,15-1,66	0,45/0,30-0,13/0,09
Masă fundamentală	66,99-71,99	—

* Este prezentată participarea procentuală a fenocristalelor și cristalelor cu dimensiuni intermediare; microlitele au fost integrate la masa fundamentală.

Plagioclazul (An_{34-48}) apare ca fenocristale și cristale cu dimensiuni intermediare mațlate după legile albă și albă-Kärlsbad; uneori fenocristalele sunt parțial argilizate. Microlitele sunt proaspete, uneori mațlate. Hornblendă brună sau verde se prezintă în diferite stadii de opacitizare, pînă la transformarea completă într-un agregat constituit din granule de opacit, atât la fenocristale cât și la microlite. Mai frecvente sunt hornblendele opacitizate marginal. Magnetitul constituie granule izolate de mărimea cristalelor intermediare, microlite și agregate. Masa fundamentală este alcătuiră din sticlă, microlite de plagioclaz, hornblendă, hipersten, augit, microlite și pulbere de magnetit.

4.1.2. *Andezite cu hornblendă și piroxeni.* Produsele eruptiilor de andezite cu hornblendă și piroxeni sunt răspândite pe întregul teritoriu cercetat și aparțin celor două etape principale ale desfășurării vulcanismului. Lor li se raportază în primul rînd un volum important din masa piroclastitelor și epiclastitelor. Curgerile asociate formării vulcanogen-

sedimentare sunt vizibile în următoarele puncte: terminația botului de deal cuprins între valea Iuhod și valea Tîrnava Mică la vest de dealul Gyertianoș; versantul șoselei Sovata-Praid în dreptul stației C.F.R. Praid; dealul Ciuta, dealul Becheci, aici constituind probabil unul din produsele centrului de erupție Becheci.

Lavele vulcanului Borzont se raportează etapei vulcanice următoare. Deschiderile foarte bune oferite de Pîriul Tare arată că în bază se află andezite cu hornblendă verde opacitizată (3,53%) și piroxeni (1,80%); următoare andezite cu hornblendă brună, opacitizată (2,50-12,19%) și piroxeni (1-2,50%) care constituie o curgere groasă de cca 300 m.

În unele sectoare a fost observată participarea în proporții egale a hornblendei și a piroxenilor sau chiar un procent mai mare de piroxeni (culmea dintre pîraiele Veröfeny, Terna, Pîriul Tare). În majoritatea situațiilor a fost identificat însă andezitul cu hornblendă și piroxeni. Pe harta anexată este figurat numai acest andezit care constituie produsul principal (ca volum și extindere) al vulcanului Borzont.

Megascopic, andezitele cu hornblendă și piroxeni se prezintă masive, compacte sau ușor poroase, de culoare cenușie. Structura este porfirică, textura masivă. Uneori, asocierea plagioclazului cu hornblendă sau a hornblendei cu piroxeni determină o structură glomeroporfirică. Microstructura este variată; holocrystalină microgranulară, microlitică, pilotaxitică, bisalpilitică.

Studiu microscopic al produselor asociate formăjului vulcanogen-sedimentare evidențiază următoarele varietăți de andezit: cu hornblendă opacitizată și piroxeni, cu hornblendă verde opacitizată și piroxeni, cu hornblendă verde și piroxeni.

TABELUL 2
Compoziția medie și dimensiunile mineralelor

Mineral	Limite %	Dimensiuni mm
Plagioclaz	16,33-41,06	2,25/1,13-1,13/0,4-0,13/0,09
Hornblendă	2,50-12,58	4,5/2,25-1,35/0,81-0,19/0,04
Piroxeni	1,35- 5,55	1,8/0,68-0,9/0,6-0,18/0,04
Magnetit	1,22- 6,29	0,13/0,09
Masa fundamentală	44,18-65,83	—

Plagioclazul (An_{29-48}) apare ca fenocristale, cristale cu dimensiuni intermedii și microcristale, în general proaspete. La fenocristale, se observă zonări și pelitizări. Maciole simple sunt frecvente.

Hornblenda verde sau brună este frecvent opacitizată marginal sau total. Uneori este proaspătă și include microlite de piroxeni sau magnetit.

Piroxenii abundă ca microlite în masa fundamentală și sunt reprezentati prin augit și hipersten. La fenocristale sunt frecvente secțiunile prismatice cu incluziuni de magnetit. Lavele

vulcanului Borzont prezintă adeseori asociații de augit sau de hipersten, augit și magnetit. Masa fundamentală este constituită din sticlă, microlite de plagioclaz, piroxeni, hornblendă și magnetit. Uneori, sticla este acoperită cu plaje de limonit rezultate din alterarea unor cufnuri de opaci.

4.1.3. Andezite cu piroxeni și hornblendă. Ca și tipurile descrise anterior, aceste andezite constituie în special diferențele roci piroclastice și epielastice din regiune precum și curgerile din pârâul Iuhodul Dracului, corpurile de la Iliești, Isop, Iuhodul Dracului, Creanga.

Roca este compactă, de culoare conușiu-cărămizie, cu structură porfirică. Structura masei fundamentale este holocristalină microgranulară în cazul corpilor, pilotaxitică sau hialopilitică în cazul curgerilor. Prin particularitățile microstructurale roca se constituie corpul din culmea Isop se apropie foarte mult de un mierodiorit.

TABELUL 3
Compoziția modală și dimensiunile mineralelor

Mineral	Limite %	Dimensiuni mm
Plagioclaz	17-37,18	1,8/1,42-0,9/0,45-0,18/0,09
Piroxeni	13,11-15	1,8/1-0,5
Hornblendă	0,53- 9	70/20-3,6/2,25-0,9/0,6
Magnetit	1,83	0,45/0,4-0,2/0,18
Masa fundamentală	4,50-58	

Plagioclazul (An_{40-52}) este în general proaspăt, maclat după legile albit, albit-Karlsbad. Se observă trei generații (tab. 3) cu forme predominant prismatice. Piroxenii sunt reprezentați în ordinea frecvenței prin augit, hipersten (pl. II, fig. 3) și pigeonit. Se remarcă secțiunile bazale maclate cu incluziuni de magnetit. Uneori, cristalele de augit formează aglomerări în masa fundamentală. Hornblenda verde sau brună este opacizată marginal. La corpul Iliești se observă o dezvoltare excepțională a cristalelor care ating uneori lungimea de 70 mm (pl. I, fig. 2). În masa fundamentală se observă sticla în general proaspătă, microlite de plagioclaz și piroxeni, granule și pulbere de magnetit.

4.1.4. Andezite cu piroxeni. Eruptiile de andezite cu piroxeni prezintă o largă răspândire în regiunea creștetă. Pe baza datelor ce le detinem pînă în prezent, putem aprecia că acestor andezite li se raportază o mare parte din masa vulcanitelor.

În rocile formațiunii vulcanogen-sedimentare andezitul cu piroxeni predomină cantitativ în raport cu celelalte tipuri. De asemenea, constituie curgeri și corpuri în ambele unități vulcanice.

Localizarea lavelor este următoarea: vîrful Piatra Șiclod, terminația botului de deal între valea Iuhod și vîrful Silaș, culmea dintre valea Iuhod și valea Tîrnava Mică la est de dealul Cetății; extremitatea nordică a regiunii în zona Vîrful lui Ștefan-Bucin.

Corpurile a căror dimensiune și formă de zăcămînt este variată: dom, stilp, dyke, apofiză, au fost identificate în următoarele puncte: dealul Becheci, valea Iuhod, dealul Cetății, valea Sik, pîrul Közepsö Mező, dealul Füge Varó, Valea lui Pavel, Pîrul Tare, dealul Bogdan.

Exploatarea în carieră a corpului din dealul Füge Varó (Corund) oferă prilejul de a cunoaște structura părții sale superioare. Aceasta are forma unei ciuperci deoarece din corpul central pornește o curgere puțin extinsă. Această situație se poate interpreta prin prezența unui dom asociat cu o lavă.

În urma studiului microscopic au fost identificate următoarele varietăți: andezit cu augit și hipersten, andezit cu augit, andezit piroxenic bazaltoid.

Andezitele cu piroxeni sunt roci de culoare cenușiu-negricioasă cu textură masivă și structură porfirică sau glomeroporfirică. Microstructura este holocristalină microgranulară, pilotaxitică, hialopilitică. Roca ce constituie corpul din pîrul Sik se apropie de un microgabbro.

TABELUL 4
Compoziția modală și dimensiunile mineralelor

Mineral	Limită %	Dimensiuni mm
Plagioclaz	27,66-37,72	3,25/0,9-0,7/0,3-0,18/0,16
Augit	4,18-23,92	3/2,20-1,35/0,45-0,18/0,16
Hipersten	4,00- 6,36	2,30/0,6-0,5/0,3-0,3/0,15
Olivină	sporadic- -0,55	1,13/0,6-0,45/0,3
Minerale opace și secundare	0,80- 5,83	0,5/0,15-0,15/0,07
Masa fundamentală	24,85-56,93	-

Plagioclazul (An_{30-45}) apare ca fenocristale, cristale cu dimensiuni intermediare și microliche. Prezintă macle albit și albit-Karishad, este parțial argilizat (jenocristalele).

Augitul (pl. II, fig. 1) și titanomagnetul apar adesea mălați și zonati, prezintă incluzioni de magnetit sau hipersten. Hiperstenul apare sub formă de cristale mai mici decit clinopyroxenii (pl. III, fig. 1).

Participarea olivinei este destul de importantă (pînă la 6,55% din compozitia modală), la andezitul piroxenic bazaltoid. Acesta constituie curgerea din Pîrul Tare și miclele întruziuni din pîrul Fîntina Brazilar și de pe versantul sud-estic al dealului Rosdaj. Olivina constituie

fenocristale și cristale cu dimensiuni intermedii care se asociază uneori; pe margini și pe fisuri se observă iddingsit. La cursarea din Piatra Tare olivina este complet serpentinizată.

Magnetitul apare ca granule izolate sau asociate, uneori parțial limonitizate, precum și ca incluzui în piroxeni. Masa fundamentală este alcătuire din sticla, microlite de plagioclaz, piroxeni, uneori olivină, microlite și pulbere de magnetit. La corporile din dealul Fânețe Varo și dealul Becheci, piatră Sîk, se observă în masa fundamentală separații microgabbroice cu dimensiuni milimetrice.

4.2. Rocă vulcanoclastice. În regiunea cercetată roci vulcanoclastice — în proporție covîrșitoare piroclastitelor — li se raportează cea mai mare parte din masa vulcanitelor. În vederea sistematizării acestei însemnate cantități de material exploziv și a caracterizării cătăi mai corecte a tipurilor de roci, a stabilirii ordinului de importanță a participării lor la alcătuirea depozitelor, am utilizat experiența acumulată în ultimii ani pe linia aplicării metodelor statistice în studiul piroclastitelor (Peltz, Peltz, 1989).

Au fost efectuate 9.242 măsurători în 94 stații răspândite pe întregul teritoriu cercetat (pl. V). Dintre rezultatele obținute printr-o primă prelucrare a datelor ne limităm la prezentarea acestora care au contribuit la caracterizarea tipurilor de piroclastite grosiere din punct de vedere textural și al compoziției.

Corelarea datelor acumulate prin studiul statistic cu observațiile geologice de teren a condus la realizarea imaginii actuale privind litologia formațiunii vulcanogen-sedimentare.

Breciile piroclastice cu elemente de andezite piroxenice ocupă suprafețe importante în cadrul sericii superioare din zona văii Iuhod și a văii Creanga. În serie intermedie am identificat brecii fără a le putea separa cartografic, în zonă de izvor a pietrei Chici Melci (Eremita).

Po baza prelucrării statistice preliminare a datelor obținute prin 4.100 măsurători efectuate în 87 stații au fost puse în evidență în ordinea frecvenței: brecii piroclastice cu lant lapillitic dezvoltat, brecii piroclastice cu lant microbreccios și lapillitic, brecii piroclastice cu lant microbreccios. Elementele constitutive aparțin intervalului de dimensiuni cuprins între 4-8 mm – 1024-2048 mm. Cele mai mari dimensiuni (2048 mm) au fost observate în sectorul dealul Gețătăii-Iuhod. Frecvențe sunt bombele cu diametrul maxim cuprins între 256-512 mm. În general, bombele reprezintă între 5,07-55,36 % iar lapilli între 7,55-75 % din totalul fragmentelor. Abundă fragmentele angulare (60-80 %). Urmează în ordine fragmentele subangulare (10-30 %) și cele subrotunjite (5-15 %). Andezitele piroxenice care constituie fragmentele sunt de tipul celor deseri anterior, predominând andezitele cu augit și hiperston.

Liantul este compact și mai rar poros, de culoare cenușie sau cărămizică. În deschiderile de pe Valea lui Pavel este bogat în lapilli limonitizați și în cristale de piroxeni. În jurul intraziunilor breciile sunt fisurate, iar liantul este hematitizat. Pe unele fisuri se observă hematit și opal. Din punct de vedere granulometric, liantul aparține cineritelor lapillitice, cineritelor grosiere și microbrecciarilor. Este constituit din cenușă, cristale și fragmente de cristale de piroxeni, plagioclaz, magnetit, litoclaste de andezite cu piroxeni.

Microbrecciiile piroclastice alternează cu breciile pe Valea lui Pavel și pe valea Iuhod. De asemenea, constituie liantul breciilor. Fragmentele de andezită cu piroxeni aparțin claselor 8-16 mm și 16-30 mm. Ele sunt subangulare (84%) și angulare (16%). Liantul prezintă caractere texturale și petrografice asemănătoare breciilor.

Breciile și microbrecciiile care afloră pe botul de deal cuprins între Valea lui Pavel și valea Miclăuș sunt de un tip deosebit. Elementele constitutive sunt angulare, liantul este extrem de redus, hematitizat, cu eflorescențe de sulf; pe fisuri se observă opal și calcit.

În acord cu clasificarea propusă de Fisher (1960) aceste roci se încadrează la grupa „breciilor vulcanice autoclastice” putind fi considerate brecii vulcanice intrusive.

În versantul drept al văii Iuhodului, necă la 880 m altitudine afloră pe circa 20 m lungime și cca. 1,30 m înălțime o lavă piroclastică. Blocurile angulare cu diametrul cuprins între 1,5-0,3 dm sunt de compoziția unui andezit cu piroxeni. Liantul este o rocă cu textură masivă și structură porfirică, având compoziția blocurilor.

Aglomerate și microaglomerate. Prelucrarea statistică a datelor obținute prin efectuarea unui număr de 4.424 măsurători în 43 stații, arată că aglomeratele din regiune sunt reprezentate prin: aglomerate cu liant lapillitic dezvoltat și aglomerate cu liant microaglomeratic și lapillitic; cu totul subordonată este participarea aglomeratelor cu liant microaglomeratic.

Elementele constitutive aparțin intervalului cuprins între clasele limite 4-8 mm—1024-2048 mm. Cele mai mari dimensiuni au fost înregistrate în stațiile de la Piatra Șiclod. Brecvete sunt dimensiunile maxime aparținând clasei 256-512 mm și care reprezintă 0,56-3,75% din fragmente. În ansamblu, bombele reprezintă între 16,12-48,33% din fragmente. Predomină forme subangulare (98,32-36%); urmează în ordine cele subrotunjite și angulare. Din punct de vedere al compoziției petrografice predomină andezitele cu piroxeni (30-90%). În ordine urmează andezitele cu piroxeni și hornblendă (10-75%), andezitele cu hornblendă (3-30%); sporadic sunt fragmentele de andezite bazaltice.

Masa de legătură este poroasă, de culoare cenușie sau cenușiu-gălbuiu. Ea cuprinde lapilli și litoclaste de compozиția hornblendelor.

Se disting fragmente mici proaspete sau complet argilizate care sunt predominantă în majoritatea cazurilor. Sub acest aspect se pot separa:

a) Aglomerate cu liant compact, puțin dezvoltat, constituit din lapilli și litoclaste proaspete. Asemenea roci constituie zonele superioare ale seriei intermediare;

b) Aglomerate cu liant poros, dezvoltat, constituit preponderent din fragmente mici argilizate (andezit cu hornblendă) și subordonat din fragmente proaspete (andezit cu piroxeni, andezit cu piroxeni și hornblendă, andezit cu hornblendă).

Microaglomeratele alternează cu aglomeratele (fig. 2) sau cu alte tipuri de roci piroclastice și epiclastice, dar frecvent, constituie liantul aglomeratelor.

Tufurile apar în alternanță cu celelalte piroclastite. Grosimea lor este cuprinsă între 0,5 dm-0,5 m. De asemenea, ele constituie liantul piroclastitelor groziera.

Orizonturi de tufuri lapillitice și vitrocrystalolitoclastice se observă pe văile: Chici Meli, Săcădat, Sovata, Prajd, Ölves, Egres, Creanga Mică, Fântâna Brazilor, la Piatra Șiclod și în versantul șoselei Corund-Odorhei între Dealul cu Gaură și Colonda (pl. I, fig. 1).

Sunt alcătuite din fragmente andezitice de tipul celor descrise anterior (la care se adaugă sporadic fragmente de microdiorite), sticla, cristale și fragmente de cristale de plagioclaz, hornblendă, piroxeni (pl. II, fig. 2).

A glomeratele și microaglomeratele mixte au fost observate la baza formațiunii vulcanogen-sedimentare (fig. 2). Ele prezintă caracteristici texturale asemănătoare aglomeratelor și microaglomeratelor, deosebindu-se de acestea prin compoziția petrografică. Astfel, la alcătuirea lor participă sub 50% argile, marne nisipoase, pietriș cuarțitic. Argilele și marnele apar ca enclave eliptice cu dimensiuni decimetrice sau centimetrice. Îneci, la contactul cu liantul bufașeu acestea sunt cornificate.

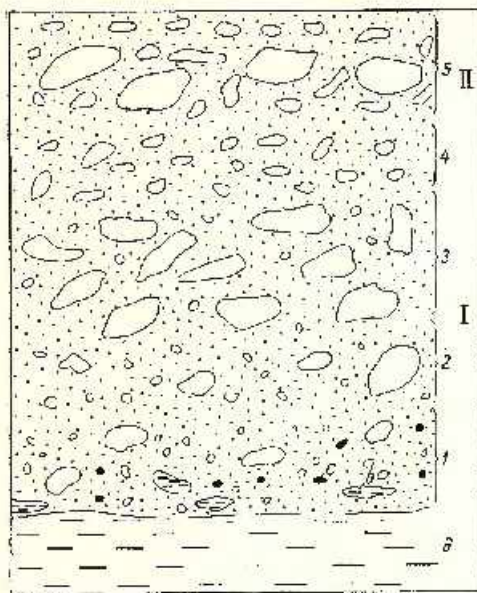


Fig. 2. — Reprezentarea schematică a momentelor explosive vizibile în „Piatra lui Moritz” (Corund).

a, argilă; 1, aglomerat mixt; b, enclave de argilă; c, pietriș; 2, aglomerat cu liant larg dezvoltat; d, aglomerat; 4, micro-aglomerat; e, breche piroclastice.

Représentation schématique des moments explosifs visibles dans la „Pierre de Moritz” (Corund).

a, argile; 1, aglomérat mixte; b, enclave d'argile; c, gravier; 2, aglomérat à liant large déve-loppe; 3, aglomérat; 4, micro-aglomérat; e, breche pyroclastiques.

4.3. Rocă vulcanică epiclastică. În regiunea cercetată dezvoltarea depozitelor epiclastice de natură vulcanică este deosebit de caracteristică. Suitele epiclastice alcătuite în special din conglomere, microconglomerate și gresii andezitice se întâlnesc pe aproape fiecare vale, fiind situate la baza formațiunii vulcanogen-sedimentare, dar mai ales, alternând cu piroclastitele.

În coloanele litologice din planșa anexată (pl. IV) se observă succesiunea tipurilor de roci epiclastice și relațiile lor cu tipurile de roci piroclastice. Grosimea suitelor epiclastice este cuprinsă între 2-15 m.

Conglomratele și microconglomratele prezintă dezvoltarea caracteristică pe piraiele Ölves și Ergeș (Oena de Jos), în versantul drept al văii Colonda (Corund), în versantul stâng al pîriului Săcădat în amonte de confluența cu valea Niraj, pe pîriul Chiei Meli.

Sunt alcătuite din holovani și galeji bine rulați sau subrotunjiți. Din punct de vedere al compoziției petrografice sunt andezite piroxenice, andezite cu amfiboli și piroxeni și andezite cu amfiboli (pl. III, fig. 3, 4).

La alcătuirea conglomeratelor și microconglomeratelor din pîrul Olveș ce stau la baza formațiunii vulcanogen-sedimentare, participă 70% material eruptiv și 30% bolovaniș constituit din cuarțite negre, cuarțite albe, gnaise, granite și.a.

Materialul de natură vulcanică este reprezentat prin andezite cu hornblendă (60%), andezite cu hornblendă și piroxeni (24%), andezite cu piroxeni (16%). Andezitele prezintă caracter petrografice și mineralogice asemănătoare celor observate la fragmentele constitutive ale piroclastitelor din serile I și II. Cimentul conglomeratelor este poros, uneori friabil, de culoare cenușiu-gălbui. Din punct de vedere al constituției poate fi microconglomeratic-grezos, grezos sau aleuritic, uneori cu impresiuni de plante. În unele situații cimentul este foarte redus sau dispără, astfel incit galăjii vin în stîngere. Uneori aceștia sunt înveliți cu o peliculă subțire de limonit.

Gresiile formează niveli independenți și apar în altermană cu nisipuri, aleurolite sau microconglomerate, situație observabilă în toate sectoarele. De asemenea, constituie cimentul conglomeratelor și al microconglomeratelor.

Sunt roci de culoare cenușiu-gălbui, alcătuite din fragmente andezitice, cristale și fragmente de cristale de plagioclaz, hornblendă, piroxeni, magnetit, sporadic biotit, cimentate cu un material nisipos sau aleuritic.

Fragmentele andezitice sunt subcolecturoase sau subrotunjite și aparțin tipurilor petrografice descrise în regiune; predomină andezitul cu hornblendă. Diametrul este variabil, în unele cazuri fiind în jur de 5,3/1,35 mm. Frequent el se situează în jurul valorilor de 2,25/1,25 mm.

Au fost observate impresiuni de frunze și tulpi, în general prost conservate.

Gresiile din pîrul Bozaș prezintă sideritzări iar cele din versantul drept al pîrului Cojanda sunt limonilizate (pl. I, fig. 3).

În stratele de gresii se disting zone milimetrice și mai rar centimetrice, de multe ori discontinue, alcătuite dintr-un concentrat de minerale melanocrate. În zona de izvor a pîrului Bozaș aceste concentrate capătă între 74-80% magnetit și între 2-5% ilmenit. Analiza chimică parțială a unor probe informative a indicat între 0,97-1,0% TiO_2^{11} .

Aleurolitele constituie orizonturi bine dezvoltate pe pîraiele Rosidaj, Chici Meli, Olveș, Colonda, Mîntina Braziilor care alternează cu gresii și nisipuri.

5. Tectonica regiunii și evoluția vulcanismului

Considerațiile asupra tectonicii regiunii se referă la fundamentalul sedimentar și la depozitele vulcanogene.

Particularitățile tectonice ale fundamentalui sedimentar sunt determinate de prezența structurii diapire Sovata-Praid-Corund, ce se prelungeste spre nord-vest în direcția Eremiu-Orșova.

Linia Sovata-Corund are direcția NNW-SSE și traversează perimetruul cercetat pe cca 25 km. El își se asociază fracturi secundare avînd direcții diferite și care au funcționat în timpul sedimentării depozitelor vulcanogene sau după constituirea formațiunii vulcanogen-sedimentare. De aici rezultă conexiunea între tectonica depozitelor sedimentare tortoniene și

¹¹ Op. cit. pct. 9.

pannoniene și cea a depozitelor vulcanogene. Încă în anul 1960¹² am arătat că datorită mișcărilor ce urmăresc direcția NW-SE a diapirelor, fundamentul sedimentar și formațiunea vulcanogenă acoperitoare au fost fragmentate pe mai multe aliniamente, pe o zonă destul de largă.

Cu prilejul cercetărilor din anul 1967 am obținut noi elemente care vin să completeze imaginea tectonică a regiunii. Astfel, în diferite puncte

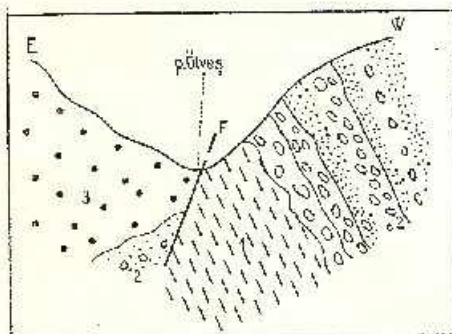


Fig. 3. — Relațiile dintre depozitele sedimentare și cele vulcanogene, vizibile în cursul mijlociu al pârâului Olveș
1, marnă; 2, epiclastite andezitice; 3, piroclastite andezitice; F, fâlfă.

Rapports des dépôts sédimentaires et volcanogènes, visibles dans le cours moyen du ruisseau Olveș,
1, marnă; 2, épilastites andésitiques; 3, piroclastites andésitiques; F, faille.

care se situează în apropierea liniei diapirelor, la Cîmpul Cetății, Ocaz de Sus, Păuleni, atât depozitele pannoniene cât și cele ale formațiunii vulcanogen-sedimentare sunt faliate.

Pe pîrful Olveș marnele vin în contact cu epiclastite și aglomerate ale seriei inferioare (fig. 3) după o falie cu direcția NE-SW perpendiculară pe direcția liniei Sovata-Corund. Pe pîrul Săcădat în amonte de confluența cu valea Niraj se observă o situație similară; aici falia prezintă direcție aproape paralelă cu cea a liniei Sovata-Orșova. În versantul drept al văii Colonda, în amonte de confluența cu pîrul Voșco (Corund), se observă o falie orientată NNE-SSW care deplasează piroclastitele și epiclastitele seriei inferioare.

Se observă că filoanele cu acumulații de carbonați și izvoarele minerale de la Corund se situează pe direcția liniei diapirelor.

Pe de altă parte, pe o zonă destul de largă situată la cca 500 m vest și la cca 750 m est de linia Sovata-Corund, depozitele sedimentare pannoniene aflorează în interiorul zonei vulcanice, venind în contact cu diferite nivele ale seriilor I și II.

¹² Op. cit. pet. 9.

Controlul structural al eruptivismului din regiune este legat de formațiunea înrădăcinată reprezentată prin stilul Becheci, domurile Ilieș și Corund, dyke-ul din Pîrul Tare, zona de apofize Iuhod care indică prezența în adâncime a unei intruziuni importante, precum și alte apofize.

Centrele și corporile eruptive precum și brecia intrusivă din Valea lui Pavel marchează următoarele linii: Becheci-Rosdaj-Iuhod cu direcție WNW-E; Sebeș-Sik-dealul Cetății-Creanga, Valea lui Pavel-dealul Fâne Varo cu direcție NW-SE.

Pe baza tuturor acestor elemente de observație, în partea de sud-vest a munților Gurghiu se conturiază o zonă tectonică importantă constituită din linia diapirilor cu numeroase fracturi asociate (avind aceeași direcție sau direcții diferite) și liniile eruptive. Aceasta marchează un alt aliniament paralel sistemului de dislocații pe care se plasează structurile vulcanice din partea centrală șiestică a munților Gurghiu.

Activitatea vulcanică a inceput în partea terminală a Pannonianului s. str. și a manifestat un caracter exploziv. Argumente incontestabile au fost furnizate de sonda L.G.E.X. săpată în dealul Semereș (Praid), care în baza seriei inferioare a străbătut o alternanță de piroclastite și epiclastite cu marne nisipoase, cărbunoase. În acord cu rezultatele cercetărilor paleontologice (Zotta et al., 1960; Popescu, 1968¹³) și de minerale grele (Popescu)¹⁴, aceste depozite aparțin zonelor C+D și E.

În perioada de debut, depunerea materialului vulcanogen s-a produs exclusiv în mediul subacvatic, fazele de activitate alternând cu cele de calm vulcanic (tab. 5.) În stadiul următor, vulcanismul se complică și îmbracă un caracter mixt. Produsele se depun în mediul subacvatic și subordonat în cel subacvatic. Perioadele de erupție mai extinse alternează cu cele de calm.

În ultimele momente de activitate, ce se raportează seriei superioare, vulcanismul a fost preponderent exploziv. Acestuia i se asociază o activitate intrusivă și efuzivă mai importantă.

În timpul acestei prime etape principale din desfășurarea vulcanismului, a luat naștere un edificiu vulcanic cu structură complexă. Succesiunea erupțiilor s-a produs de la andezite cu hornblendă la andezite piroxenice.

¹³ Op. cit. pet. 5.

¹⁴ Op. cit. pet. 5.

TABELUL 5

Schemă evoluției vulcanismului în partea de sud-vest a munților Gurghiu

II	PLEISTOCEN	Comportament strato-vulcanic	Vulcanism desfășurat în cadrul structurilor Seaca-Tătarca și Borzent	Activitate vulcanică mixtă, preponderent eluzivă, desfășurată pe teritorii emerse
I	PANNONIAN Pannonian s. str. terminal	Comportament vulcanogen-sedimentar	Vulcanism desfășurat în zona amplasamentului actualelor cratere din partea centrală și de est a munților Gurghiu; subordonat în regiunea Becheci-Iuhod-Corund	Perioade de activitate mixtă, predominant explozivă, desfășurate pe teritorii emerse, în alternanță cu momente de calm vulcanic; activitate intrusivă (momente de mică ampliere)
				Activitate vulcanică mixtă predominant explozivă, cu perioade de calm, desfășurată pe teritorii submerse și emerse.

bazaltoide (tab. 6). Este o situație similară celei din sudul munților Călimani (Peltz, 1965, 1969) și altor regiuni ale lanțului vulcanic Călimani-Gurghiu-Harghita.

Materialul emis provine din centre de erupție care au funcționat în cadrul aliniamentelor Seaca-Tătarca-Șumuleu-Ciumani și Becheci-

TABELUL 6

Comparativ între succesiunea erupțiilor pannoniene în partea de sud a munților Călimani și în partea de sud-vest a munților Gurghiu

Munții Călimani de S	Munții Gurghiu de SW
Andezit bazaltic, andezit piroxenic bazaltoid	Andezit piroxenic bazaltoid
Andezit cu piroxeni	Andezit cu piroxeni
Andezit cu piroxeni și hornblendă, andezit cu hornblendă și piroxeni	Andezit cu hornblendă și piroxeni, andezit cu piroxeni și hornblendă, andezit cu hornblendă și piroxeni
Andezit cu hornblendă	Andezit cu hornblendă

Iuhod-Corund. În partea centrală și de est a munților Gurghiu rădăcinile vulcanilor pannonieni nu au fost dezvelite prin eroziune; ele se află — foarte probabil — în zona amplasamentului actualelor cratere, fiind acoperite de stivu vulcanitelor pleistocene. În ceea ce privește partea sud-vestică a munților Gurghiu este de așteptat că prin cercetări paleovulcanologice și gravimetrice viitoare să poată fi conturate centrele de erupție pe care azi le presupunem.

După o perioadă de liniște în decursul căreia relieful formațiunii vulcanogen-sedimentare a fost intens modelat, rezultând platourile din zona Praid-Vîrșag, activitatea vulcanică a fost reluată în cadrul aparatului Borzont. Examinarea părții sale sudice (care intră în teritoriul cercetat) ne permite să apreciem că primul moment a fost exploziv și de mică amploare. Au urmat importante cfuziuni a căror grosime este apreciată la 400 m și care au construit edificiul vulcanului. Compoziția produselor este aceea a unui andezit cu hornblendă ± piroxeni. Completând aceste observații cu altele mai vechi (Rădulescu et al., 1962) considerăm că vulcanul Borzont și-a încheiat activitatea la nivelul erupției andezitului cu hornblendă brună opacizată și piroxeni.

6. Concluzii

Cercetările geologice efectuate în regiunea vîrful Borzont-Eremițu-Praid-Corund contribuie cu date noi la cunoașterea structurii și a evoluției sale vulcanice.

Fundamentul vulcanitelor este constituit din depozite sedimentare tortoniene și pannoniene (zonele A-D). Particularitățile sale tectonice sunt determinate de structura diapiră Sovata-Praid-Corund care traversează regiunea pe oca 25 km.

Vulcanitele ocupă cea mai mare parte din teritoriul cercetat. Ele sunt reprezentate prin roci vulcanoclastice, roci vulcanice epiclastice și roci vulcanice masive, toate de natură andezitică.

Oea mai mare răspindire o au pirolastitele. Acestea alternează cu epiclastite, marne nisipoase, argile, nisipuri, constituind formațiunea vulcanogen-sedimentară. La construcția formațiunii participă trei serii, caracterizate fiecare printr-o anumită asociație de roci vulcanogene și terigene.

Pirolastitele depuse subaerian și subacvatic sunt reprezentate prin brecii și microbrecii piroclastice, aglomerate și microaglomerate, aglomerate și microaglomerate mixte, tufuri. Rocile vulcanice epiclastice sunt reprezentate prin conglomorate, microconglomerate, gresii, nisipuri, alourolite.

Andezitele formează curgeri, coruri de tipul dom, stilp, dyke, apofiză, dar mai adesea ca elemente constitutive ale rocilor piroclastice și epiclastice. Se disting următoarele tipuri: andezit cu hornblendă, andezit cu hornblendă și piroxeni, andezit cu piroxeni și hornblendă, andezit cu piroxeni și faciesul său bazaltoid. Prin studiul microscopic, în cadrul fiecărui tip au fost sesizate numeroase varietăți.

În regiune se conturează o zonă tectonică importantă constituită din linia diapirelor orientată NW-SF și numeroase fracturi asociate, având aceeași direcție sau direcții diferite. Această zonă marchează un alt aliniament paralel sistemului de dislocații din partea centrală și de sud-est a munților Gurghiu.

În cadrul acestei zone de minimă rezistență distingem liniile eruptive Becheci-Rosdaj-Iuhod; Sebeș-Sik-Creanga, Valea lui Pavel-dealul Füge Varó, orientate NW-SE, pe care se inserează centre de erupție, intruzuni, brecii endogene.

Activitatea vulcanică s-a desfășurat în două etape principale. Primei etape care începe în Pannonianul s.str. terminal i se raportează formarea vulcanogen-sedimentară cu efuziunile și intruziunile andezitice asociate. Cea de-a doua etapă începe probabil la sfîrșitul Pannonianului — după o perioadă de calm vulcanic — pentru a se desfășura cu toată amplitudinea în Pleistocen. În teritoriul cercetat produsele activității din această etapă sunt reprezentate prin piroclastitele și curgerile de andezit cu hornblendă opacitizată ± piroxeni ale vulcanului Borzont și prin curgeri de andezit cu augit și hipersten ale vulcanului Seaca-Tătarcă.

BIBLIOGRAFIE

- Bănyai J. (1933) Geologia bazinului superior al V. Târnava Mică. *D. S. Inst. Geol. Rom.* XIX, București.
- Borcoș M., Mantea G. (1968) Vîrstă formățiunilor și a activității vulcanice neogene din Bazinul Roșia Montană. *Stud. cerc. geol. geof. geogr. seria geol.* 13, 2, București.
- Cioflica G., Istrate Gh., Popescu Gh., Uduabașa G. G. (1966) Contribuții la cunoașterea vîrstei produselor vulcanice din regiunea Ilărăgani-Trestia (M. Metaliferi). *Stud. cerc. geol. geof. geogr. seria geol.* 11, 1, București.
- Fisher R. V. (1960) Classification of Volcanic Breccias. *Bull. Geol. Soc. Am.* 71, Boulder, Colorado.
- Gheorghiu C., Peitz S., Peitz Margareta, Mareș Ioana (1965) Acumulațiile de carbonați de la Corund, *Bul. soc. pt. nat. geogr. seria geol.* III, București.
- Götz A. (1956) Date de seamă asupra regiunii Sovata-Pralăd. *D.S. Com. Geol.* XL, București.

- Grigore I. (1957) Studiu geologic și petrografic asupra munților Gurghiu. Ed. științifică, București.
- (1962) Contribuții la stabilirea vîrstei geologice a erupțiilor din lanțul vulcanic Călimani-Gurghiu-Harghita. *Rev. Min.* XIII, 1, București.
- Nagy L. (1952) Cercetări geologice în regiunea de la nord de Sovata. *D. S. Com. Geol.* XL, București.
- Peltz S. (1965) Cercetări geologice și petrografice în regiunea Ilva-Stânceni-Călimănel (extremitatea sudică a munților Călimani). *D.S. Com. Geol.* LI/1, București.
- (1969) Studiul petrografic al părții de sud-est a munților Călimani. *St. tehn. econ.* I/4, București.
 - Peltz Margareta (1969) Unele rezultate ale utilizării datelor cantitative în studiul piroclastitelor. *D.S. Com. Stat. Geol.* LIV/3, București.
- Rădulescu D., Vasilescu Al., Peltz S. (1962) Cercetări geologice în munții Gurghiu de SE. *D. S. Com. Geol.* XLV, București.
- Vasilescu Al., Peltz S., Peltz Margareta (1964) Contribuții la cunoașterea structurii geologice a munților Gurghiu. *An. Com. Geol.* XXXIII, București.
- Peltz S. (1970) Observații asupra paleogeografiei teritoriului lanțului eruptiv Călimani-Gurghiu-Harghita în cursul Pliocenului și Cuaternarului (II). *Stud. cerc. geol. geogr. geof. seria geol.* 15, 1, București.
- Treibor I. (1955) Vulcanologia și tectonica munților Gurghiu de sud. *D. S. Com. Geol.* XXXIX, București.
- Vancea A. (1960) Neogenul din bazinul Transilvaniei. Ed. Acad. R.S.R. București.
- * * * (1963) Vulkanoghenno-osadocinie i terigene formății. *Izd. Ak. Nauk. SSSR,* Moskva.
 - * * * (1966) Osadocinie i vulkanoghenne formății. *Tradit. VSEGEI,* 128, Leningrad.

CONTRIBUTIONS PÉTROGRAPHIQUES ET PALEOVOLCANOLOGIQUES À LA CONNAISSANCE DE LA PARTIE SW DES MONTS GURGHIU

(Résumé)

Les auteurs y présentent les résultats des recherches géologiques et paléovolcanologiques, effectuées au SW des monts Gurghiu : ces recherches apportent une nouvelle contribution à la connaissance de la structure géologique de la région et de l'évolution du volcanisme andésitique de la partie centrale de la chaîne éruptive de l'intérieur des Carpates Orientales.

Le soubassement des volcanites est constitué de dépôts sédimentaires tertiaires et païmoniens (les zones A à D). Ses particularités tectoniques sont déterminées par la structure diapire Sovata-Praid-Corund qui traverse la région sur une distance d'environ 25 km. Les volcanites occupent la plupart du territoire étudié. Elles sont représentées par des roches volcanoclastiques, roches volcaniques épiclastiques et roches volcaniques massives, toutes de nature andésitique. Les pyroclastites — qui sont les plus répandues — forment des alternances avec

des épéclastites, marnes, argiles, sables, en constituant la formation volcanogène-sédimentaire. Le matériel volcanogène constitue la plus grande partie de la formation; la participation du matériel terrigène n'est que de 6,5 %.

Trois séries prennent part à la constitution de la formation, chacune étant caractérisée par une certaine association de roches volcanogènes et terrigènes. La série inférieure (épaisse d'environ 80 m) comprend les produits des premières manifestations volcaniques. Les dépôts volcanogènes de la base de cette série alternent avec les sédiments pannoniens ou les recouvrent (les zones G, D, E). Les pyroclastites s'endentent ou alternent avec des suites épéclastiques. La série intermédiaire (épaisse d'environ 270 m) a une constitution plus complexe, comprenant de divers types de roches pyroclastiques et épéclastiques, auxquelles se rattachent des laves et des corps andésitiques. Dans la série supérieure (épaisse d'environ 400 m) se sont les pyroclastites grossières qui prédominent; on y rencontre aussi des laves et des corps andésitiques.

Les pyroclastites sont représentées par des brèches et des microbrèches pyroclastiques, des agglomérats et des micro-agglomérats, des tufs. Dans la classification des pyroclastites grossières, on a tenu compte des résultats de l'analyse statistique des données concernant la dimension, la morphométrie et la composition pétrographique des éléments constitutifs.

Les roches volcaniques épéclastiques sont représentées par des conglomérats, microconglomérats, grès, sables, aleurolites.

Les andésites forment des coulées de laves, des intrusions de type culot, dôme, dyke, apophyse. Elles y participent surtout comme éléments constitutifs des roches pyroclastiques et épéclastiques. On distingue les pétrotypes suivants : andésite à hornblende, andésite à hornblende et pyroxènes, andésite à pyroxènes et son faciès basaltoïd. Dans cette région, s'individualise une importante zone tectonique, constituée par la ligne des diapirs, orientée NW-SE et par de nombreuses fractures associées, ayant la même direction ou des directions différentes. Cette zone indique un autre alignement parallèle au système de dislocations de la partie centrale et de SE des monts Gurghiu.

L'activité volcanique s'est déroulée en deux étapes principales, le long desquelles les deux compartiments structuraux du massif éruptif — volcanogène-sédimentaire et stratovolcanique (tableau 3) — se sont édifiés. La première étape commence dans le Pannionien s. str. terminal; la formation volcanogène-sédimentaire, avec les effusions et les intrusions andésitiques associées, s'y rapporte. Au commencement de cette étape, la sédimentation du matériel volcanogène s'est produite exclusivement dans le milieu subaquatique, les phases d'activité alternant avec celles de calme volcanique. Puis, le volcanisme devient plus complexe et gagne un caractère mixte; les produits se déposent dans le milieu sous-aérien et subordonnément dans celui subaquatique; les périodes d'éruption plus amples alternent avec celles de calme. À la fin de son activité, le volcanisme a été prépondéramment explosif et à celui-ci se rattache une activité intrusive et effusive.

La deuxième période commence probablement à la fin du Pannionien, après une période de calme volcanique et se manifeste avec toute son ampleur pendant le Pléistocène. Dans le territoire étudié, les produits de l'activité de cette étape sont représentés par les pyroclastites et les laves d'andésite à hornblende opacifiée + pyroxènes du volcan Borzoni et par des coulées d'andésite à augite et hypersthène du volcan Seaca-Tatarca.

Ces deux appareils volcaniques se situent dans la partie centrale des monts Gurghiu à la proximité de la limite septentrionale de la région étudiée.

EXPLICATION DES PLANCHES

Planche IV

Colonnes lithologiques dans la formation volcanogène-sédimentaire du Sud-Ouest des monts Gurghiu.

1, conglomérat; 2, microconglomérat; 3, grès microconglomératique; 4, grès; 5, grès sabieux; 6, sable; 7, gravier; 8, aleurolite; 9, aggréméat et micro-aggréméat; 10, aggréméat mixte; 11, marnie; 12, a, limonitisations; b, limonite; 13, concentrations de minéraux mélancratiques; 14, flore.

Planche V

Carte géologique de la région sommet Borzont-Eremiu-Prajd-Corund. Coupe géologique entre la vallée Tîrnava Mică et le sommet Borzont. Coupe géologique entre le sommet Becheci et la vallée Tîrnava Mică.

Quaternaire. 1, a, dépôts fluviatiles et déluviantx, mares; b, alluvions; c, terrasses; d, glissements de terrain; 2, formations calcaires postvolcaniques; 3, andésite à pyroxènes (qp); 4, andésite à amphiboles et pyroxènes (qp); 5, andésite pyroxénique basaltoïde (pn); 6, pyroclastites andésitiques: 11a, brèche, endogène; b, brèche pyroclastique; c, aggréméat, micro-aggréméat, tuf; 7, andésite à pyroxènes (pn); 8, andésite à amphiboles et pyroxènes (pn); 9, pyroclastites andésitiques I et II; 10, andésite à pyroxènes et amphiboles (pn); 11, andésite à amphiboles et pyroxènes (pn); 12, épiplatites andésitiques; 13, Pannienien s. str.; 14, Tortonien; sel; 15, a, lave; b, pilier, dyké, dôme, apophyse; 16, direction d'écoulement de la lave; 17, faille; 18, source carbogazeuse; 19, source saline; 20, forage; 21, carrière; 22, point où l'on a exécuté les mesurages et la valeur du diamètre maximum; 23, direction de la coupe géologique.

PLANŞA I



Institutul Geologic al României

PLANŞA I

Fig. 1. - Tuf aplice. Se observă fragmente de andezit cuplat argilizat (1). Păuleni.

Tuf lapilliique. On observe des fragments d'andésite complètement argilisé (1). Păuleni.

Fig. 2. - Andezit cu piroxeni și hornblendă. Se observă un megaeristal de hornblendă verde. Cariere Ilieși-Sevata.

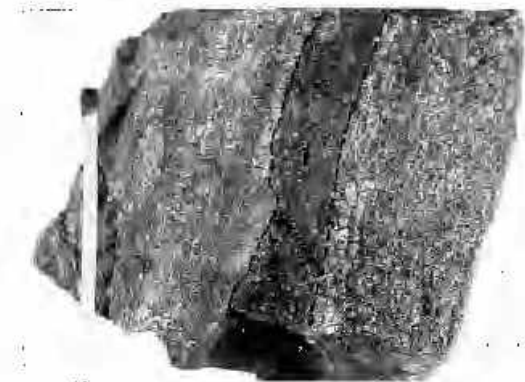
Andésite à pyroxènes et hornblende. On observe un megaeristal de hornblende verte. Carrière Ilieși-Sevata.

Fig. 3. - Gresie andezitică limonitizată; 1, limonit. Valea Colonda-Corund.

Grès andésitique limonitisé; 1, limonite. Vallée Colonda-Corund.



S. PELTZ, M. PELTZ. Contribuții petrografice și paleovulcanologice – SW
munților Gurghiu. Pl. I.



Institutul Geologic. Dări de seamă ale ședințelor, vol. LVI/1.

PLANŞA II

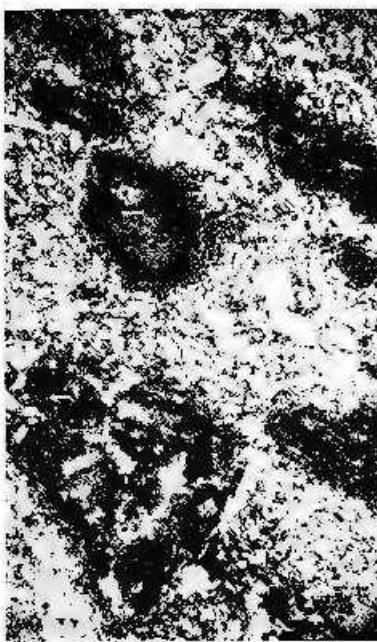
Fig. 1. — Andezit cu hornblendă opacitizată. Valea Iacob. XII ; $\times 14$.
Andésite à hornblende opacifiée. Vallée Iacob. XII ; $\times 14$.

Fig. 2. — Andezit cu hornblendă brumă opacitizată (1) și piroxeni. Valea Creanga Mică. XII ; $\times 14$.
Andésite à hornblende brume opacifiée (1) et pyroxènes. Vallée Creanga Mică. XII ; $\times 14$.

Fig. 3. — Andezit cu piroxeni (1) și hornblendă opacitizată (2). Valea Iacob. XII ; $\times 14$.
Andésite à pyroxènes (1) et hornblende opacifiée (2). Vallée Iacob. XII ; $\times 14$.

Fig. 4. — Andezit cu piroxeni ; 1, fenocristal de augit. Pirtel Sîk. XII ; $\times 11$.
Andésite à pyroxine ; phénocristal d'augite. Pirtel Sîk. XII ; $\times 11$.





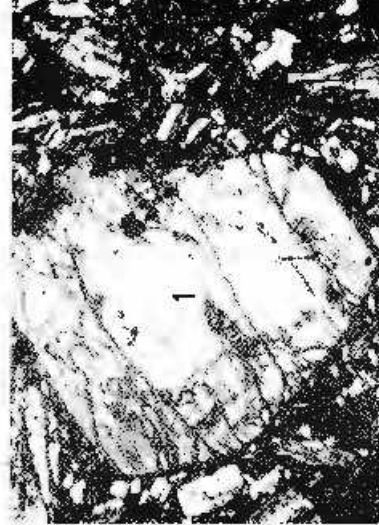
1



2



3



4

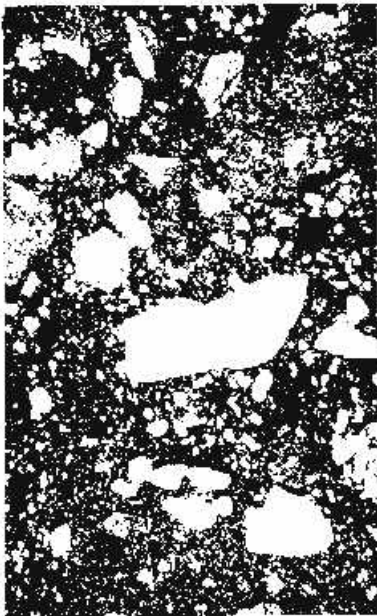
PLANŞA III

- Fig. 1. — Andezit cu pyroxeni; 1, fenocristal de hipersten. Piatra Șiclod. N+; $\times 14$.
Andésite à pyroxènes; 1, phénocristal d'hyperstène. Pietra Șiclod. N+; $\times 14$.
- Fig. 2. — Tuf vitrocerstalito-clastique. Valea Creanga Mică. N II; $\times 14$.
Tuf vitrocerstalito-clastique. Vallée Creanga Mică. N II; $\times 14$.
- Fig. 3. — Gresie andezitică, grosieră. Se observă fragmente de andezite cu hornblendă (1).
Valea Creanga. N II; $\times 14$.
Grès andésitique, grossier. On observe des fragments d'andésites à hornblende (1).
Vallée Creanga. N II; $\times 14$.
- Fig. 4. — Gresie andezitică, fină, cristal de hornblendă opacizată; 2, cristal de plagioclaz.
Valea Prajd. N II; $\times 14$.
Grès andésitiques, fin. 1, cristal de hornblende opacifiée; 2, cristal de plagioclase.
Vallée Prajd. N II; $\times 14$.

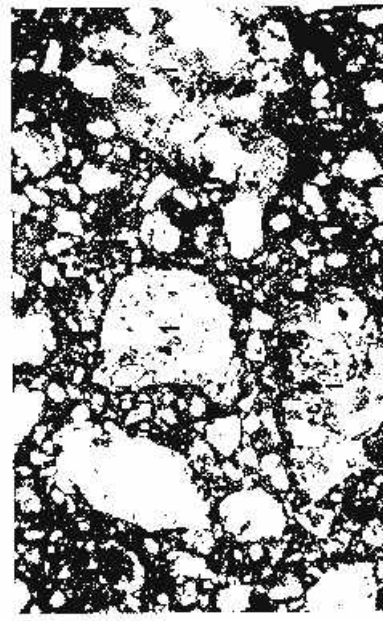




1



2

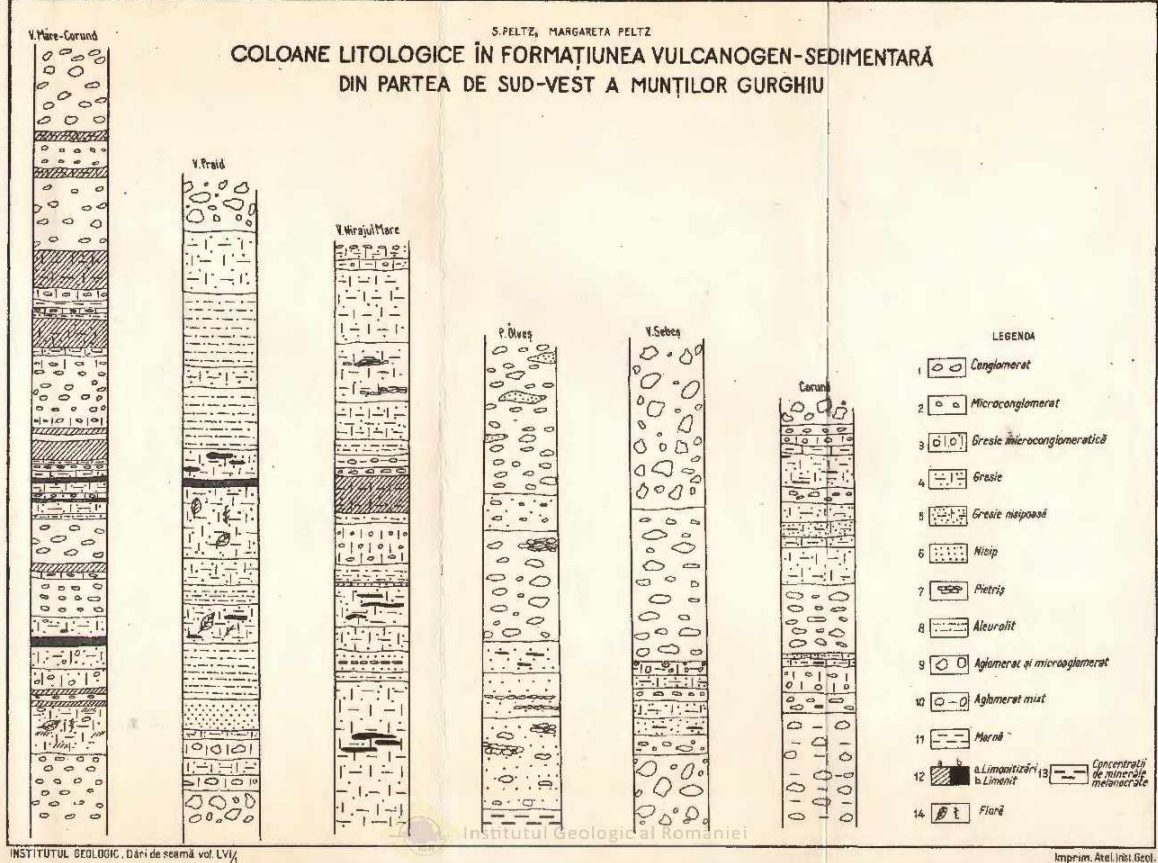


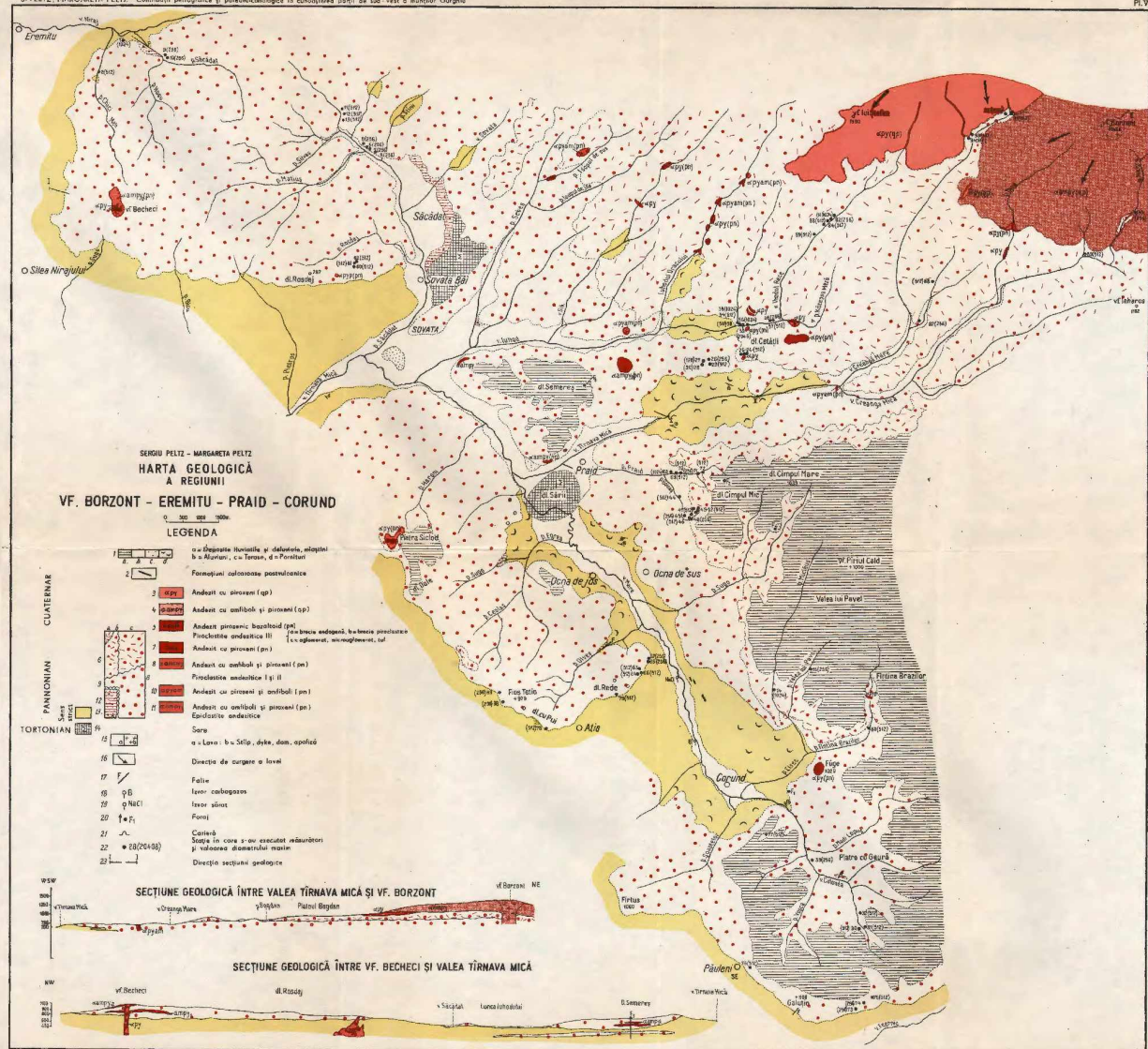
3



4

S.PELTZ, MARGARETA PELTZ
COLOANE LITOLOGICE ÎN FORMAȚIUNEA VULCANOGEN-SEDIMENTARĂ
DIN PARTEA DE SUD-VEST A MUNȚILOR GURGHIU





PETROLOGIA ROCIILOR MAGMATICHE

**CONSIDERAȚII PRIVIND INTRUZIUNILE GRANITO-DIORITICE
DE LA CAZALGIC BAIR, MIHAIL KOGĂLNICEANU (JUDEȚUL
TULCEA)¹**

DE

REMUS ȘTEFAN, ION POPOVICI²

Abstract

Considerations on the Granitic-Dioritic Intrusions of the Cazalgic Bair, Mihail Kogălniceanu Area (District of Tulcea). In this paper there are described the granitic-dioritic intrusive rocks evidenced by two short drillings, carried out in the Cazalgic Bair, Mihail Kogălniceanu area. The description of drillings is associated with a petrographical and petrochemical study of the granites and diorites encountered. Finally, some conclusions regarding the structural tectonic environment in which these rocks occurred, are reached.

Prezentăm în cele ce urmează, rezultatele urmăririi în teren și studiul de laborator al materialului petrografic oferit de două foraje efectuate în vecinătatea dealurilor Orta Bair și respectiv Cazalgic Bair, dealuri ce se inadrează interfluviului ce desparte valea Teliței de valea Cataloiului în dreptul comunelor Mihail Kogălniceanu și Agighiol.

Forajele, de mică adâncime, au investigat anomalii magnetice pozitive, în puncte de apex anomal cu valori de cca 350-450 gama. Suprafața anomală este înconjurată de punctele de afloriment ale calcarilor triasice dela Agighiol, care constituie o zonă clasică în descifrarea geologiei Dobrogei de nord.

Printre înaintași care s-au preocupat de studiul depozitelor triasice, vom aminti pe Peters, K. Redlich, Anastasiu. În secolul

¹ Comunicare în sesiunea științifică a Întreprinderii Geologice de Prospeții din 17 martie 1969.

² Întreprinderea Geologică de Prospeții, Cal. Griviței nr. 64, București.

nostru, geologi de talia lui Simionescu (1913), Kittle (1908) și ulterior G. Macovei și Atanasiu, se preocupă de stabilirea succesiunii depozitelor calcaroase de la Agighiol. În ultimul timp Mirăuță, Mirăuță³ fac o carte detaliată a depozitelor calcaroase din perimetru Uzum Bair, Agighiol, Zebil și arată pentru prima dată, existența unor iviri de roci granitice în dealurile Cazalgic Bair și Taș Bair, asociindu-le cu granitile roșii, micropegmatitice ce aflorează la Uzum Bair. Referitor la vîrsta acestor granite, pe baza remanierii lor în conglomeratele werfeniene de la capul Tancila (Mirăuță, Mirăuță, 1959), se consideră perioada ante-triasică.

Mutihac, în lucrările sale din 1962 și 1963, completează stratigrafia Triasicului de la Agighiol și oferă o imagine de ansamblu a tectonicii zonei Tulcea, în care sunt cuprinse și principalele structuri ce se evidențiază la est de valea Teliței.

Descrierea petrografică a forajelor

Forajul (F_6) plasat la 750 m N de dealul Orta Bair, a străbătut o pătură de loess de aproximativ 30 m, după care prin intermediul unui depozit de grus granitic a pătruns într-un diorit microgranular de culoare cenușiu-verzuie, al cărui grad de alterație scade cu adâncimea. La circa 42 m s-a interceptat un filon de 20-25 cm de granit albe, mediu-granulare, în contact direct cu rocile dioritice. Un alt doilea episod granitic cu caracter filonian apare în talpa forajului, având de această dată un caracter pegmatoid în care cristalele de ortoză ajung pînă la 3 cm, nelipsind însă porțiuni în care apar fragmente de diorite cu caracter xenolitic ca și zone cu o remarcabilă dezvoltare gnaisică. Filoanele pegmatoidice oferă o textură rubanată în benzi ce mulează cristalele larg dezvoltate de cuart și ortoză.

1. *Diorite*. Sunt roci de culoare cenușiu-verzuie, microgranulare, devenind cenușii atunci cînd sunt alterate. În secțiuni subțiri se observă o structură hipidiomorf-echigranulară, textura fiind masivă. Din punct de vedere mineralologic se deosebesc următoarele componente, în ordinea frecvenței: feldspat, plagioclaz, biotit, hornblendă, cuart, magnetit, apatit, sfen.

³ O. Mirăuță, Elena Mirăuță. Raport geologic asupra calcarelor și dolomitelor triasice din regiunea Zebil-Cataloi-Agighiol, Dobrogea de nord. 1958. Arh. Com. Stat. Geol. București.

Feldspatul plagioclaz este un andezin cu 37% An maclat albă polisintetic și albit-Karlsbad. Cu măsuța Feodorov s-au determinat și alte moduri de maclare. Este vorba de tipurile Esterelles — AlaB și periclin, care au însă o participare redusă. Foarte rar am surprins și prezența tipului Baveno. Fenomenul de zonaritate este frecvent remarcabil, un cristal, zonat prezintând un miez bazic, de compozitie labrador-bytownit, o zonă mediană cu cca 35% An și un înveliș extern de tip oligoclaz bazic. Nu s-au separat fenomene de recurență în compozitie, fapt ce dă indicații asupra unei cristalizări normale într-un mediu magmatic relativ liniștit, din punct de vedere termodynamic.

Biotitul prezintă indivizi idiomorfi cu pleocroism accentuat, marginile cristalelor fiind ușor zdrențuite. În vecinătatea filoanelor de granite sau pegmatoide, mineralul este total eloritizat însă aspectul normal arată acest fenomen doar în stadiul de debut.

Amfibolul se prezintă ca hornblendă comună, pentru care s-a determinat un unghi $c : ng = 18^\circ$. Raportul de participare față de biotit este aproximativ 1 : 1, la contactul cu filoanele granitice hornblenda dispărând aproape complet din parageneză, cedind locul biotitului puternic eloritizat.

Cuarțul prezintă contururi xenomorfe, fiind prezent în două generații.

Cuarțul de generația a doua este microgranular și se placează în general pe fisurile rocii sau mineralelor, trădând uneori procese de coroziune magmatică. Pe această bază putem spune că aspectele de participare a cuarțului indică caracterul de aport al acestuia, caracter în directă relație cu prezența filoanelor de granite și pegmatoide ce străpung masa dioritică. În tabelul 1 am înscris rezultatele analizei planimetrice pentru un diorit.

TABELUL 1

Mineralul	% volum	Mineralul	% volum
Cuarț	6,80	Hornblendă	16,50
Plagioclaz	53,70	Magnetit	2,40
Biotit	18,45	Sfen	1,35
Apatit		0,80	
Total		100,00	

2. Granite. Rocile dioritice sunt străpunsă de filoane granitice care pe carată nu depășesc 25 cm. Sunt roci de culoare alb-rozie, mediugranulare în care apar sporadic palete de biotit. Contactul cu dioritele

este net, zona de influență nedepășind cîțiva centimetri. La microscop se observă predominanța feldspatului potasic, care este o ortoză micro-pertitică. Deformația mecanică produce neomogenitatea optică a ortozei, zonă din cristal în care apare dezamestecul incipient al fazelor sodice, prezentând momente de extincție diferite.

Cuarțul prezintă contururi xenomorfe, fiind un termen final de cristalinizare. Uneori el corodează magmatic cristalele de feldspat potasic.

Feldspatul plagioclaz pune în evidență macula polisintetică a albitalui, nelipsind însă nici asocierile după tipul periclin sau albit-Karlsbad. Compoziția este aceea a unui oligoclaz acid 15% An. În cazul cristalelor zonate, miezul mai bazic (20% An) este în general mai afectat de sericitizări. Concreșterile mirmechitice reprezintă un aspect comun la contactul dintre cristalele de feldspat potasic și plagioclaz. Biotitul apare sporadic și este deseori cloritizat. Fenomenul de albitizare nu se face observat, remarcabilă fiind de asemenea și lipsa microclinului sau a microclin-pertitului.

Structura rocii este hipidiomorf-granulară, textura, masivă. La contactul cu masa dioritică acest aspect se modifică, observându-se o mezostază microgranular-pavimentoasă compusă din cuarț și feldspat potasic în care se evidențiază cristale idiomorfe de plagioclaz.

Am interpretat acest aspect ca un rezultat direct al scăderii mai rapide a temperaturii magmei granitice în contact cu o magmă dioritică, deja consolidată sau într-o fază avansată de cristalinizare.

Compoziția modală a rocii pune în evidență o remarcabilă participare a feldspatului potasic (tab. 2). Folosind datele analizei planimetrice, am proiectat valorile de participare a cuarțului, feldspătilor alcalini și plagioclazilor în triunghiul Q-A-P. Punctul reprezentativ astfel obținut se placează în cîmpul 3_A, al rocilor granitice, situat la limita cu cîmpul 2, al granitelor alcaline (fig. 1).

Prin recalcularea compozitiilor modale, ținind seama de faptul că roca se prezintă cu un grad mic de alterație, am încercat un calcul aproximativ al compozitiei chimice cu scopul de a obține în final valorile Niggli. Valorile obținute ne-au incurajat în a aplica metoda și pentru celelalte tipuri petrografice întâlnite. Pentru eșantionul 3, în cazul rocilor descrise mai sus valorile și arată o roca bogată în silice în care raportul K₂O/Na₂O este de cca 11 : 1. Diferența alk-al pledează pentru un termen extrem de diferențiere a unei magme imbogățito în silice, în care componenta potasică pare să fi avut o importantă participare. Compararea valorilor

Niggli calculate cu valori standard ne-a condus la a aprecia un tip de magmă aplit-granitică.

TABELUL 2

Oxizi	Parametrii Niggli	Compoziția modală % din volum
SiO ₂	— 75,55	si — 48,6
Al ₂ O ₃	— 12,21	al — 4,6
Fe ₂ O ₃	—	fm — 7
FeO	— 0,93	a/fk — 45
MgO	— 0,25	c — 2
CaO	— 0,26	k — 0,88
Na ₂ O	0,84	mg — 0,33
K ₂ O	— 9,77	(es. 8)
P ₂ O ₅	— 0,05	
H ₂ O	— 0,07	tip de magmă: aplit-granitică

3. *Pegmatoide*. Forajul (F₆) a interceptat în partea sa finală un tip petrografic oarecum deosebit de cel descris mai sus care, se remarcă în primă aproximativă, prin caracterul său extrem de heterogen. Macroscopic, se disting pe carată porțiuni în care cristalele de cuarț și ortoza ating dimensiuni considerabile, alternând cu spații în care roca prezintă o structură microgranulară și texturi rubanate date de alternanța depunerilor de cuarț și feldspat potasic. La un moment dat, de la marginea dezvoltărilor masive ale cuarțului și ortozei ce trece, fără o limită transițională, la o roca microgranulară de culoare alb-gălbuiu cu tentă verzui, care sub microscope prezintă o structură felsitică dată de cristalizarea orientată a feldspaților plagioclazi și ortozei. În această masă se individualizează cristale de cuarț xenomorfe, ușor porfirice ce prezintă uneori contururi franjurate. Este interesant de remarcat diferența de amplitudine a extincției rulante în cristalele mici de cuarț din masa felsitică și din cristalele mai larg dezvoltate, care au o amplitudine relativ mică a extincției.

Impresia generală este aceea a unui plagiaplit gnaissic leucocrat în care plagioclazul este un albit cu 4-5% An.

Feldspatul alcalin este o anortoză cu unghiu 2 V mic, cca 20-25°. În spațiile libere și pe fisurile rocii apar sporadic palete de musecovit.

Revenind la tipul în care dezvoltarea cuarțului și ortozei amintește de structura pegmatitelor, tip pe care de altfel l-am denumit „pegmatoïd”, trebuie să spunem că în anumite porțiuni, acolo unde roca a oferit

spații libere, frontul potasic al magmei reziduale a depus microclin. Cum asocierea ortozei și a microclinului în aceeași rocă este îndeobște puțin acceptată, am interpretat depunerea microclinului ca o fază mai tîrzie, cu caracter potasic final care la temperaturi sensibil mai scăzute, a putut să separe feldspatul potasic cu simetrie triclinică.

Avînd în vedere că relațiile geometrice între tipurile petrografice deservise mai sus sănătatea de surprins, sănem în situația de a opta pentru una din cele două ipoteze pe care le expunem mai jos.

Astfel, faptul de a surprinde în relații de vecinătate un tip pegmatoid în care dezvoltarea cristalelor este evidentă, cu ceea ce am denumit tipul plagiaplitic, în care plagioclazul nu depășește 5% An, ne-a condus la a crede că este vorba de o cristalizare sincronă de tip eutectic, săvîrșită în condiții de ascensiune a unei magme reziduale îmbogățită în silice și alcalii.

Caracterul de consolidare „în mișcare” ar fi bine evidențiat de aspectele de cristalizare a microlitelor de plagioclaz și ortoză, care se dispun orientat în jurul cristalelor de cuarț ceva mai clar dezvoltate. În acest fel ar fi vorba de o ultimă pulsăție a camerei magmatische subiacente, pulsăție care atingind temperaturi la limita inferioară a domeniului lichid-magmatic, rezidual, a dat produse de cristalizare mai rapidă, ce se individualizează sub forma unor roci aplitice ce închid căile de acces.

Pe de altă parte, cum alura și modul de apariție a tipurilor pegmatoidice ne permit să bănuim în adâncime prezența unui pluton granitic mai vechi precum și faptul că în zona Măcinului tipul aplito-gnaistic, lipsit de componente melanocrate, este foarte răspândit, am putea bănui că mesagerii acestei mase granitice au fost topituri reziduale, granitice, care au putut să poarte către suprafață xenolite ale rocilor din fundiment.

Este de remarcat fenomenul de contaminare care a fost destul de frecvent întîlnit în coloana forajului mai ales în zonele cu anclave dioritice în granit, tipurile contaminate prezintă un indice de colorație mediu între granitele descrise și diorite, asociările ortozei cu plagioclazul și cuartul oferind aspecte procentuale foarte diferite de la o analiză la alta. În nici unul din tipuri nu am putut pune în evidență amphibolul, locul acestuia fiind luat de biotit, în general eloritizat. Un argument în plus ar fi acela că niciodată valorile Niggli calculate nu au găsit, pentru aceste cazuri, un corespondent în tabelele standard, care ne-ar fi putut oferi indicații asupra tipului de magmă.

Dealul Cazalgic Bair se situează la cca 3 km E de comuna Mihail Kogălniceanu, și reprezintă o proeminență marcantă în relieful sters al

regiunii. Contrastul de altitudine este remarcat mai ales în partea sa nordică unde panta este foarte accentuată terminându-se abrupt în valea Trei Nuci. În această vale la aproximativ 700 m W de punctul Trei Nuci, am pus în evidență un plan de fractură ce aduce în contact depozitele

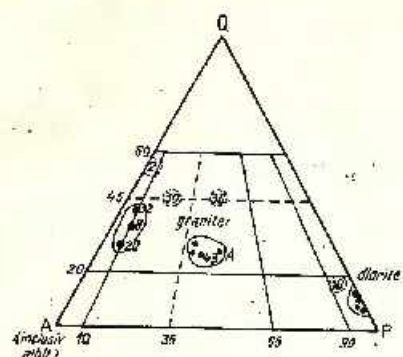


Fig. 1. — Proiecția punctelor reprezentative ale rocilor de la Cazalgic Bair în triunghiul Q-A-P.
Projection des points représentatifs des roches de Cazalgic Bair dans le triangle Q-A-P.

triasic-medii cu roci granitice, care aflorează pe clina nordică a dealului Cazalgic Bair. Orientarea liniei de fractură este aproximativ NW-SE cu înclinare către SW. În aflorimentul din dealul Cazalgic Bair am remarcat mai multe tipuri petrografice, care, se deosebesc atât prin structură cât și prin compoziție mineralogică. Cum rocile apar sporadic și pe suprafețe restrinse de sub depozitul de pantă, nu am reușit să stabilim clar poziția lor în spațiu și implicit raporturile geometrice în care se dispun.

Esențial am deosebit un granit de culoare alb-rozie, în care predomină însă feldspatul plagioclaz. În unele eșantioane procentul de biotit ajunge pînă la 30% din compoziția rocii.

Plagioclazul este un oligoclaz acid cu 18% An. Structura este hipidiomorf-granulară, textura masivă, aspectul rocii fiind acela al unui granit normal. Uneori în aceeași secțiune am surprins secvențe în care dimensiunile cristalelor scad considerabil, iar procentul de biotit crește în defavoarea cuarțului. Cum în imediata vecinătate apar diorite cenusii, microgranulare, se poate crede că este vorba de un proces de imbogățire în anumite componente mineralogice fie pentru granite, fie pentru diorite, în final obținîndu-se tipuri petrografice hibride. De altfel în porțiunile cu structură microgranulară feldspatul plagioclaz își măreste pînă la 32% conținutul în An.

Dioritele ce aflorează la Cazalgic Bair nu se deosebesc prin nimic de cele întlnite în forajul F₆ cu rezerva că, în apropierea contactelor cu

granitele ele își măresc conținutul în cuart. Faptul se poate urmări foarte bine în eșantioane.

În afloriment se individualizează uneori un microgranit de culoare alb-rozie în facies aplitic care de altfel, a fost întlnit și în forajul F_3 .

Forajul a fost plasat la 450 m SE de dealul Cazalgic Bair în vîrful căruia aflorează calcare roșietice anisioane (Mirăuți, Mirăuți, 1959).

După ce a străbătut un depozit de pantă de 4 m grosime și un grus granitic de cca 1 m, forajul a pătruns în granite biotitice alterate, de tipul celor întlnite în partea nordică a dealului Cazalgic.

4. Granite cu biotit. Rocile prezintă o culoare alb-cenușie cu tenteroz date de participarea feldspatului potasic. Mineralele leucocrate sunt separate de lamele de biotit care se dispun intersticial, obținindu-se în acest fel un aspect evasimozaicat. Începând de la metrul 6,30 forajul a interceptat o rocă total deosebită ca aspect, de culoare roșu-cărămizie străbătută de filoane de calcit. Singurul mineral evident este cuarțul xenomorf care apare în masa rocii, imprimând acesteia un caracter pseudoporfiric. Sub microscop se observă următoarele componente: plagioclaz, cuart, feldspat potasic, biotit, apatit și sporadic magnetit.

În afara cuarțului și apatitului toate mineralele arată un stadiu foarte avansat de alterare, ele nemaiputând fi recunoscute decât după contur sau după planele de maclă, în cazul plagioclazilor. Atunci cînd am putut să o facem, am determinat pentru plagioclaz o compoziție acidă ce variază în limitele: albit 9% An-oligoclaz acid 12% An. Mineralul este total transformat, centrul fiind esențial sericitizat pe fondul unei invaziilor de calcit ce acoperă întreaga suprafață. De cele mai multe ori apariția caleitului se asociază cu aceea a mineralelor argiloase.

Cuarțul prezintă contururi xenomorfe, marginile cristalelor fiind franjurate sau prezintănd forme angulare. Unele cristale sunt fisurate, pe fisuri depunindu-se un material carbonatic care cimentează în masa lui fragmente de cuart. Amplitudinea extincțiilor rulate este remarcabilă, ea putând ajunge pînă la valori de 50° . În unele porțiuni cristalele de cuart sunt zdrobite și recristalizate într-o masă microcristalină, pe fisurile căreia se depune un cuart cu caractere tipice de neoformăție.

Biotitul este puternic decolorat și opacitizat prin pătrunderea caleitului, mineralelor argiloase și hidroxizilor de fier. În final roca oferă un aspect caracteristic de deformare mecanică însoțită de depunerea unui ciment carbonatat bogat în hidroxizi de fier, care s-a insinuat pe planele

de elivaj ale mineralelor. Rarele cristale idiomorfe de magnetit sunt fracturate și străbătute de vinișoare de calcit.

Se poate astfel aprecia că depunerea sub formă de aglomerări a oxizilor și hidroxizilor de fier în masa rocii a imprimat acesteia culoarea roșcat-violacee care la o primă examinare ne-a pus în încercătură. Aceste aspecte s-au menținut în foraj pînă la adâncimea de 20 m unde roca își accentuează caracterele de cataclază și cimentare cu material carbonatat, nemaiputînd de această dată să distingem macroscopic nici un component mineralologic, într-o masă cataclazată și cornificată de culoare roșcat-vîșinie.

La acest nivel forajul a interceptat o zonă de cca 20-30 cm do cuarț filonian, alb-vinețiu, fracturat și cimentat cu material calcaros, uneori recristalizat.

În eșantioanele în care efectele descrise mai sus au avut o mai mică amplitudine, am încercat analiza planimetrică; compoziția modală obținută este reprezentată în tabelul 3.

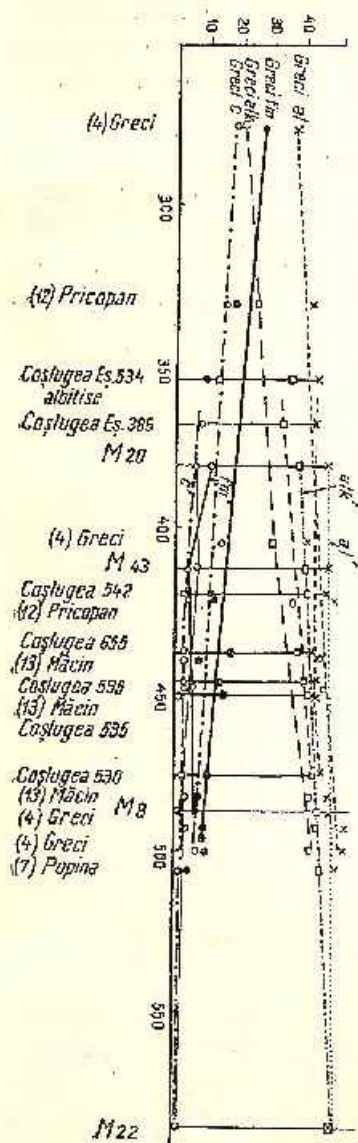
TABELUL 3

Oxizi	Parametrii Niggli	Compoziția modală % din volum
SiO ₂	st = 380	Cuarț -- 27,60
Al ₂ O ₃	al = 46	Ortoză -- 11,80
Fe ₂ O ₃	fin = 11	Plagioclaz -- 54,40
FeO	alk = 39	Biotit -- 5,80
MgO	c = 6	Apatit -- 0,40
CaO	k = 0,20	
Na ₂ O	mig = 0,32	
K ₂ O		
P ₂ O ₅		
H ₂ O		
(es. 20) tip de magmă : engadinit-granitică		

Participarea plagioclazului alcalin este caracteristică, uneori roca lăudând aspectul unui plagiogranit. În triunghiul Q·A·P punctul reprezentativ (20) se placează în campul granitelor alcaline (fig. 1).

Valorile Niggli arată un chimism engadinit granitic cu o ușoară ne-potrivire a valorilor *k* și *mj*. Dacă considerăm raportul potasiu/sodiu, în cazul de față cu valori subunitare, prin comparație cu celealte tipuri granitice analizate, în care fază potasică este predominantă precum și faptul că în diagrama Niggli pentru provincia debrogeană, punctele reprezentative

se raportează la o valoare relativ scăzută a parametrului s_i (fig. 2) putem aprecia că este vorba de un tip petrografic mai puțin diferențiat, în care componența sodică a predominat. Un argument în favoarea acestui fapt este descrierea tipului aplitic care aflorează în dealul Cazalgic Bair și care a fost interceptat de foraj în masa granitelor deschise mai sus.



5. *Aplitic*. Rocile prezintă o structură microgranulară și textură masivă. În secțiuni subțiri se distinge o masă fundamentală felsitică microcristalină cuarțofeldspatică care înglobează cristale mai larg dezvoltate de cuarț, ortoză micropertitie și feldspat plagioclaz.

Cuarțul prezintă contururi rotunjite, fiind uneori corodat. Atât ortoză cât și feldspatul plagioclaz au o pronunțată tendință de idiomorfie. Fenocristalele de plagioclaz sunt de compoziție albitică cu 8-9% An, în timp ce mezostaza prezintă indivizi cu maximum 5% An. În masa ortozei fenomenul de albitizare are o dezvoltare incipientă, observându-se atât tipul de substituție cât și cel de dezamenescere. Este vorba de un albit cu 9-10% An.

În masa fundamentală plagioclazul este singurul care are dezvoltări idiomorfice, cuarțul și ortoză cristalizând împreună fără a avea asemenea aspecte.

Fig. 2. — Diagrama Niggli pentru granitele dobrogene (după M. Savul). În această diagramă, în secțiunile M.20, 43, 8, 22, am proiectat valorile al , alk , fm , c , pentru rocile granitoide de la Cazalgic Bair.

Diagramme Niggli pour les granites dobrogéens (d'après M. Savul). Dans les sections M.20, 43, 8, 22 de ce diagramme, on a projeté les valeurs al , alk , fm , c , pour les roches granitoïdes de Cazalgic Bair.

Prezența muscovitului este neglijabilă, el apărind sparadic ca pietre în interstițiile rocii sau înglobat în masa plagioclazului. Dimensiunile reduse ale lamelelor nu permit stabilirea cu precizie a naturii mineralului dar fiind dat că în roca apar și pietre de biotit eloritizat am dedus că de fapt nu este vorba decit de un biotit decolorat.

Faptul că roca nu a fost supusă fenomenelor de calcitizare și îmbo-gătire în hidroxizi de fier l-am pus pe seama lipsei unor spații de acces care, în cazul granitelor cu biotit erau asigurate prin dispunerea interstițială a biotitului. Este de altfel acceptat faptul că rocile de acest tip sunt mai puțin competente la eforturile de cataclazare și fisurare.

TABELUL 4

Oxizi	Parametrii Niggli	Compoziția modală % din volum
SiO_2 — 79,96	si — 586	
Al_2O_3 — 11,17	al — 49	Quart — 41,10
Fe_2O_3 — —	int — —	Ortoză — 36,80
FeO — —	alk 48	Plagioclaz — 21,80
MgO — —	e — 3	Biotit — —
CaO — 0,32	K — 0,65	Apatit — —
Na_2O — 2,45		
K_2O — 6,92		
P_2O_5 — —	(es. 22)	
H_2O — —	tip de magmă: aplit-granitică	

Luând în considerare compoziția modală (tab. 4) putem aprecia că proporția de participare a plagioclazului este mai redusă în comparație cu quartul și feldspatul potasic, care se găsesc în valori procentuale apropiate.

Valorile Niggli arată un termen extrem de diferențiere al unei magmine alcali-calcice care, în ultimele faze posedă un chimism esențial potasic. În acest sens raportul $\text{K}_2\text{O}/\text{Na}_2\text{O}$ arată valori de 3 : 1.

Tipul de magmă stabilit, normal aplit-granitic, ne face să credem că este vorba de reziduul unei magmine granitice care în primele faze de cristalizare a pus în loc granitele cu biotit din dealul Cazalgic Bair.

De la metrul 20 forajul a străbăluit o coloană de roci dioritice de tipul celor descrise anterior. Aceste diorite prezintă foarte des faciesul de contaminare cu magmine granitice reziduale, lucru exprimat prin apariția pe scară a numeroase filonașe cu feldspat ortoclaz și quart. În unele por-

țiuni se pun în evidență granite a căror compoziție modală o prezentăm în tabelul 5. Valorile Niggli pentru aceste granite pledează în favoarea unui tip de magnă intermedian, engadinit-granitic — aplit-granitic.

TABELUL 5

Oxizi	Parametrii Niggli	Compoziția modală % din volum
SiO ₂ — 73,27	si — 412	Cuarț — 26,80
Al ₂ O ₃ — 14,88	al — 49	Ortoză — 42,00
Fe ₂ O ₃ — —	fm — 5	Plagioclaz — 29,00
FeO 0,55	alk — 40	Biotit — 2,20
MgO — 0,17	c — 6	Apatit — —
CaO — 1,09	k — 0,64	
Na ₂ O — 2,68	mg — 0,36	
K ₂ O — 2,31		
P ₂ O ₅ — —		
H ₂ O — 0,05		
	(es. 23) tip de magnă : engadinit-aplit-granitică	

Un ultim fapt, demn de a fi semnalat, este acela că la adâncimea de 20 m am întlnit, de astă dată la scară macroscopică, fenomenul de invazie a rocilor intrusive cu material carbonatat, ușor recristalizat și cu evidente caractere de brecie. Planul după care se realizează această invazie a putut fi urmărit pe carotă de cca 1,50 m, în toată această lungime, contactele cu roca eruptivă fiind clar exprimate.

Fisura ce conține calcare recristalizate, roșu-vișinii are o lățime de aproximativ 5 cm și trimite în adâncime mici diaclaze pe care se depun plaje microscopice de sulfuri metalice cimentate cu același material.

Concluzii

Forajele executate în regiunea Mihail Kogălniceanu-Agighiol au pus în evidență, sub pătura de loess cuaternar, roci intrusive granito-dioritice a căror prezență a fost anunțată de un cimp anomal magnetic pozitiv cu valori între 200-450 gamma⁴. Cimpul magnetic anomal se extinde pe o suprafață delimitată la E de dealul Pietros, la S de dealul Orta Bair iar la W și N de dealul Cazalgic Bair și respectiv valea Trei Nuci. Forma car-

⁴ G. Petruț. Prospecționi magnetice în regiunea Agighiol-dealul Marca. 1967. Arh. Com. Stat. Geol. București.

grafică a suprafeței investigate magnetic și prin foraj este clapsă, axa mare unind dealurile Cazalgic Bair și Orta Bair.

Valorile anomale în zona aflorimentului granitic de la Cazalgic Bair indică variații între 200-300 gama și cum acestea sunt și valorile medii ale zonei anomale considerăm că sub pătura de loess se individualizează un pluton granitic străbătut de dyke-uri de microdiorite, care din punct de vedere magnetic se caracterizează prin valori magnetice sensibil crescute, plasate în domeniul 300-450 gama. Faptul este susținut și de participarea în proporție mai ridicată a magnitudinii (cca 5-6%) în masa rocilor dioritice.

Asupra vîrstei acestor iviri considerăm util să amintesc faptul că cercetătorii anteriori (Mirăuță, Mirăuță, 1959) menționează elemente de granite, prinse în conglomeratele werfeniene de la capul Lancila.

Un alt fapt remarcabil este acela că în dealul Uzum Bair, intruziunile granitice metamorfozoază la contact seria filito-cuarțitică epizonală. După Mutihac (1963) vîrsta metamorfismului seriei epizonale din fundația zonei Tulcea ar fi algonkian-superioară. Cum granitele din dealul Uzum Bair străbat această serie, ele au fost considerate de către același cercetător ca rezultat al unui magmatism sialic, sinorogen tardiv al fazei assynliche. Pe baza asemănărilor de facies petrografic și al relațiilor cu formațiunile cristaline, aceste intruziuni au fost asociate cu granitele roșii potasice de la Coșlugea. În mod sigur intruziunica a avut loc înaintea fazelor triasică și în orice caz în Paleozoicul inferior, rămanerea lor în conglomeratele werfeniene fiind un argument în a susține o fază de exondare și croziune înaintea transgresiunii werfeniene.

În toate că în general caracterele petrografice și chimice ale rocilor studiate de noi corespund în oarecare măsură cu cele descrise pentru granitul de Coșlugea (Savu, 1937), considerăm că este vorba de un facies petrografic oarecum deosebit, caracteristic zonei superioare a unui pluton granitic puțin deschis de eroziune, în care diferențierea finală a unei magme alcali-calcice a dat posibilitatea separării fazelor potasice. Acest fapt este susținut pe de o parte de frecvența faciesurilor pegmatoid-aplitice întâlnite în foraje, iar pe de alta de valorile ridicate ale raportului K_2O/Na_2O ce variază între 3 : 1 și 11 : 1 pe fondul general al unor valori crescute pentru parametrul și. Un argument în plus ar fi și faptul că în diagrama $k-mg$ (fig.3) punctele reprezentative nu arată o concentrare în cimpul rocilor de la Coșlugea, cimp evidentiat încă din 1937 de Savu. Pe această bază de altfel, se stabilășe chimismul esențial potasic al magmelor de la Coșlugea.

În cazul nostru punctele reprezentative în diagrama $k\text{-mg}$ arată o succesiune normală de în bogățire în componente finale ale magmei alcali-calcice. Într-un singur caz punctul reprezentativ cade în cimpul potasic, dar faptul nu se pare normal pentru un diferențiat aplitic al unei magme alcali-calcice. De asemenea este semnificativă alura diagramei de variație

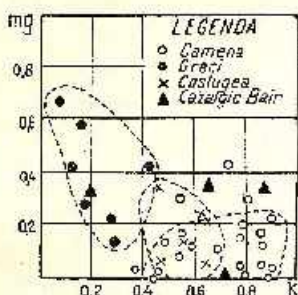


Fig. 3. — Diagrama $k\text{-mg}$ pentru cîteva granite dobrogene (după M. Savul). Cu triunghiuri punctele reprezentative ale rocilor de la Cazalgic Bair.

Diagramme $k\text{-mg}$ pour quelques granits dobrogéens (d'après M. Savul). Les triangles marquent les points représentatifs des roches de Cazalgic Bair.

Niggli care se încadrează normal în diagrama mai largă de variație ce cuprinde valorile Niggli ale tuturor tipurilor de granite dobrogene (fig. 2).

În acest fel putem conchide că căl puțin pentru zona investigată nu putem afirma prezența unor roci derivate dintr-o magmă potasică, ci mai logic ar fi să considerăm, în virtutea datelor prezentate că este vorba de apariția la zi a părții superioare a unui corp granitic în care diferențierea finală a putut să ofere o separare preponderentă a fazelor potasice.

Tinând seama de faptul că în valea Trei Nuci am pus în evidență un accident ruptural cu inclinare inversă, care aduce în contact rocile granitice cu calcare anisiane precum și că în forajul F_3 rocile întâlnite prezintă caractere evidente de cataclază, considerăm că este vorba de un plan de fractură majoră de-a lungul căruia rocile granitice au fost ridicate, după depunerea Triasicului, în faza chimerică veche. În această concepție credem că zona investigată se comportă ca un compartiment tectonic ridicat de-a lungul unor fracturi de fundament reactivate. Asemenea fracturi au putut constitui și căi de acces spre suprafață ale unor soluții cu caracter hidrotermal de temperatură scăzută, care au depus cuarț și sulfuri metalice, iar uneori, au recristalizat calcarurile triasice.

În acest fel situația prezentată vine în întimpinarea ideii că regiunea de la est de valea Teliței, pe fondul unei căderi a fundamentului zonei Tulcea se manifestă ca un bloc ridicat.

Cum aflorimentele de granit de la Cazalgic Bair și Taș Bair se plasează pe un aliniament NW-SE ce se continuă în dealul Uzum Bair cu gra-

nite la contact cu seria filito-cuarțitică, considerăm că structura cutată a calcarelor triasice de la est de valea Telișei a fost complicată prin reacti-varca unor vechi linii tectonice în faza chimerică, de-a lungul acestora fiind aduse la suprafață formațiuni paleozoic-inferioare și posibil mai vechi. De-a lungul acelorași linii de slabă rezistență apar și erupțiile de porfire și diabaze care aflorează începând din dealul Rediu pînă la sud de Somova.

În acest fel, datele prezentate pledează în favoarea unei continuări la est de linia Somova-Babadag a stilului tectonic ruptural propriu zonei vestice a Dobrogei de nord.

BIBLIOGRAFIE

- Anastasiu V. (1897) Le Trias de la Dobrogea. *Bull. Soc. Géol. Fr. Ser. 3, XXV*, Paris.
- Atanasiu I. (1941) Privire generală asupra geologiei Dobrogei. *Lucr. Soc. Geogr. B. Contempr.*, IJL, Iași.
- Gavăt L., Airinei Șt., Botezatu R., Sorolescu M., Sloenescu S., Vancov I. (1963) Structura geologică profundă a teritoriului R. S. România după datele actuale geomorfice (gravimetrice și magnetice). *Acad. R.S.R. Stud. cerc. geof.*, 1, București.
- Ianovici V., Giușcă D., Mutihac V., Mirăuță O., Chiriac M. (1961) Privire generală asupra geologiei Dobrogei. *Ghidul excursiilor. Asoc. Geol. Carp.-Balc. Congr. V*, București.
- Kitij E. (1908) Beiträge zur Kenntnis der Keimschäfte der Dobruja. *Denkschr. Akad. Wiss. LXXXI*, Wien.
- Mirăuță O., Mirăuță Elena (1964) Crelacicul Superior și fundamentul bazinului Babadag. *An. Com. Geol. XXXIII*, București.
- Mutihac V. (1962) Observații asupra Triasicului de la Agighiol-Zebil (Dobrogea de N.). *D. S. Com. Geol. XLVI*, București.
- (1964) Zona Tulcea și poziția acesteia în cadrul structural al Dobrogei. *An. Com. Geol. XXXIV*, 1, București.
- Peters K. (1867) Grundlinien zur Geographic und Geologie der Dobruja. *Denkschr. Akad. Wiss. XXVII*, part. II (partea geologică) Wien.
- Savul M. (1935) Le granite de Coșlugea. *C. R. Inst. Géol. Roum. XXI*, București.
- Simionescu I. (1913) Fauna amoniilor triasici de la Hagighiol. *Acad. Rom. Publ. V. Adamachi*, XXXVI, București.
- Streckeisen A. L. (1967) Classification and Nomenclature of Igneous Rocks (Final Report of an Inquiry). Stuttgart.

SUR LES INTRUSIONS GRANO-DIORITIQUES DE CAZALGIC BAIR, MIHAEL KOGĂLNICEANU (TULCEA)

(Résumé)

L'étude des roches intrusives du sommet Orta Bair et de Cazalgic Bair, mises en évidence à l'aide des prospections magnétiques détaillées et de deux courts forages, apporte une nouvelle contribution à la connaissance des intrusions de la partie orientale de la Dobrogea de Nord.

Les diorites, en faciès microgranulaire et normal granulaire, parfois quartzifères, sont traversées par des roches granitiques provenues d'un magma granitique qui, localement, par contamination, passe à un magma grano-dioritique-trondjémitique.

Dans ce complexe, les roches pegmatoides et aplitiques sont aussi présentes ; on remarque, en général, un magma résiduel potassique, situé à la partie supérieure d'une plus importante intrusion de profondeur.

L'affleurement de sous la couverture de roches sédimentaires triasiques et loessiques s'explique par cela que ces intrusions seraient situées dans un compartiment plus soulevé de l'ensemble tectonique du soubassement faillé qui s'affaisse graduellement vers l'Est de la vallée Teștei.



PETROLOGIA ROCILOR MAGMATICE

CERCETĂRI PETROGRAFICE ÎN MUNTII CĂLIMANI DE NORD¹

DE

IOAN TEODORU, CAMELIA TEODORU², ION INTORSUREANU³

Abstract

Petrographical Research in the North Călimani Mountains. In this paper new data on the geological structure of the North Călimani Mts are expounded. The basement of the region is built up of epizonal crystalline schists transgressively overlain by sedimentary formations assigned to the Eocene and to the Oligocene. The eruptive formations are represented by pyroclastics, flows and andesite dykes of various types. After a summary presentation of the data obtained as a result of microscopic study, it is demonstrated that, according to tectonical considerations, four main zones of fractures trending NW-SE may be distinguished, fractures due to which the crystalline schists were uplifted from the basement, or along which veins allowing the ejection of lavas have formed. As regards their age it has been proved that the eruptions started in the Oligocene, reached their paroxysmal point in the Miocene, and came to an end in the Quaternary.

Introducere

Regiunea pe care o prezentăm este situată în partea nordică a munților Călimani, ea constituind obiectul cercetărilor noastre în anii 1965-1966. Din punct de vedere morfologic se remarcă un relief bine diferențiat în funcție de constituția petrografică. În partea sudică relieful este dominat de o creastă continuă, formată din roci eruptive, orientată aproximativ W-E, NE pe care se află vîrful Tămău (1861 m), stîncile Pietrelc Roșii și Doisprezece Apostoli (ale căror forme ciudate au condus la emisarea unor ipoteze după care ele s-ar datora activității sculpturale a oamenilor care

¹ Comunicare în sesiunea științifică a Întreprinderii Geologice de Prospecting din 18 martie 1969, București.

² Întreprinderea Geologică de Prospecting, Cal. Griviței nr. 64, București.

³ Institutul Geologic, Sos. Kiseleff nr. 55, București.

au populat regiunea acum cîteva mii de ani), vîrful Lucaciu (1769m) și vîrful Andreeni. Din această zonă pornesc spre nord cîteva creste secundare care prezintă terminații brusete și căderi de nivel de 200-300 m la limita dintre formațiunile eruptive și sedimentare. Acest aspect este foarte net la Buza Șerbi, vîrful Ascuțit și Dealul Mare.

Jumătatea nordică a regiunii, unde au o mare dezvoltare formațiunile sedimentare, este caracterizată printr-un relief domol cu creste late și pante domoale care se pierd în turbăriile de la Poiana Stampei și terasele largi ale rîului Dorna. În această zonă se remarcă conul vulcanic marcat de vîrful Măgura (1226 m) și creasta cu vîrful Priporu (1305 m) și Bitca Priporului (1089 m).

Rețeaua hidrografică are ca reprezentant principal rîul Dorna care primește ca afluenți pe partea dreaptă pîrul Prislopului, pîrul cu Pește, pîrul Joseni, pîrul Muncelul, pîrul Bitcilor, pîrul Roșia, rîul Negrișoara dintre ai cărui afluenți cităm pîrul Pintăi, pîrul Pietrele Roșii, pîrul Doisprezece Apostoli, pîrul Lucaciu, pîrul Piatra și pîrul Gligu. Ultimul afluent al rîului Dorna este pîrul Secu în a cărui parte superioară se află un aven numit „Moara Dracului”.

Cercetări geologice anterioare

Cercetările geologice în munții Călimani încep din anul 1860 prin încercările de descifrare a tipurilor de roci dar fără a se reuși acest lucru de la început datorită nomenclaturii, încă neunitări și din această cauză confuză. Se folosesc denumirile de „grünstein trachit” (roci propilitizate), graue-trachite (trachite cenușii), trachite cuarțifere (riolite) și bazalte.

Hauer, Stache (1863) folosesc pe lîngă denumirea de trachit și aceea de andezit, însă contestă existența andezitelor cu amfiboli și a andezitelor cu piroxeni. Herbig (1878) complică lucrurile deoarece pe lîngă denumirea tipului respectiv adaugă și compoziția mineralologică ajungindu-se ca o rocă să fie numită „andezit-amfibol-augit-trachit”. Athanasiu (1898) este primul cercetător care ajunge la concluzia că în munții Călimani nu poate fi vorba de trachite iar materialul descris sub acest nume trebuie atribuit andezitelor cu piroxeni și andezitelor cu hornblendă și piroxeni. În ceea ce privește vîrstă erupțiilor arată că ele încep în a doua jumătate a Miocenului și tîn pînă în Pliocen. Töök (1956) prezintă o lucrare de sinteză asupra munților Călimani arătînd că aceștia sunt alcătuși din roci aparținînd formațiunii subvulcanice și formațiunii efuzive.

Prima lucrare care prezintă cele mai interesante date asupra zonei pe care o prezentăm este aceea a lui A t a n a s i u et al. (1956), lucrare în care formațiunile sedimentare sunt atribuite Eocenului și Oligocenului iar cele eruptive descrise sub numele de andezite tip Dorna.

Rădulescu (1960) și apoi Cosma et al. (1964) consideră că fundamentul eruptiilor din munții Călimani îl constituie formațiunile sedimentare și cristaline și nu rocile subvulcanice. Semak a (1951)⁴ prezintă un interesant studiu asupra turbărilor de la Poiana Stampei.

Peltz (1969) prezintă cel mai documentat și aprofundat studiu asupra părții sudice a munților Călimani.

Geologia regiunii

Regiunea pe care o prezentăm este constituită din formațiuni cristalofiliene, formațiuni sedimentare și formațiuni eruptive.

A) Formațiunile cristalofiliene. Apar la zi în partea estică a regiunii în versantul drept al râului Dorna, pe pîriul Sărișor și valea Petrii, ele reprezentînd extremitatea vestică a cristalinului Bistriței, în partea centrală și vestică a regiunii între pîriul Gligu și vîrful Măgura și respectiv în versantul drept al pîriului Turcului. În aceste ultime două zone sunt scoase din fundiment pe linii de fractură orientate nord-vest — sud-est și nord-est — sud-vest. Ca tipuri de roci au fost identificate quartite, sisturi quartitice, sisturi tufogene cu albă, calcare cristaline, calcare dolomitice și filonite.

1. *Cuarțitele* formează așlormente aproape continue pe valea Petrii și pîriul Sărișor. Au o culoare cenușie închisă aproape neagră, structură granoblastică și textură masivă uneori ușor șistoasă.

TABELUL 1

Compoziția modală și dimensiunile elementelor constitutive

Quarț	0,032-0,112/0,080-0,32/0,119 mm	94%
Muscovit	0,006/0,016-0,32/0,032 mm	2%
Minerale opace		4%

Quarțul apare ca granoblaste cu contururi neregulate, care se indințează, este limpede și cu extincții ondulatorii.

⁴ A.I. Semak a. Raport asupra turbărilor din regiunea Vatra Dornei, 1951. Arh. Inst. Geol. București.

Muscovitul este totdeauna proaspăt și răspândit neuniform în rocă. Mineralele opace imprimă rocii culoarea neagră.

2. *Sisturile Quarțice cu biotit și muscovit* apar în partea estică a vîrfului Măgura, pe pîriul Izoru, versantul stîng al pîriului Secu și versantul drept al rîului Dorna aval de confluența cu pîriul Secu. Au o culoare violacee ușor verzuie, luciu sidofos, structură granolepidoblastică și textură sistoasă.

TABELUL 2

Compoziția modală și dimensiunile mineralelor constitutive

Quarț	0,032/0,16-0,17/0,8-0,32/0,208 mm	52%
Biotit	0,32/0,16-0,64/0,096 mm	32%
Muscovit	0,24/0,032-0,40/0,08 mm	14%
Epidot	0,096/0,016 mm	2%

Quarțul apare ca granoblaste orientate pe direcția sistozitatii formind benzi care alternează cu cele alcătuite din lepidoblaste de biotit și muscovit. Epidotul apare ca granoblaste dispuse dezordonat sau formind șliere.

3. *Sisturile verzi tufogene cu albăt* au o culoare verde închis cu unele reflexe argintii, structură granolepidoblastică și textură sistoasă.

TABELUL 3

Compoziția modală și dimensiunile mineralelor constitutive

Clorit	4,10/0,41-0,70/0,32 mm	35 %
Cuart	1,27/0,49-0,92/0,076 mm	28 %
Feldspati	0,16/0,086 mm	15 %
Caicit	1,025/0,32-0,20/0,12 mm	11 %
Sericit	0,12/0,10 mm	10 %
Magnetit	0,04/0,02 mm	1 %

Quarțul este ca granoblaste, orientate pe direcția sistozitatii, formind benzi care alternează cu cele de clorit. Cloritul apare ca lamele în benzi ce mulează granoblastele de quarț.

Calcitul este ca idioblastă între benzile de quarț sau formând acumulări alveolare. Feldspatii au forme neregulate, sunt răspândite neuniform printre benzile de clorit și quarț și prezintă dificultăți în determinarea conținutului lor.

nutului în anotii datorită apariției sericitului. Pe lîngă albit uneori apare și oligoclazul. Sericitul formează fișii sau este izolat între cuarț și feldspat. Magnetitul este singurul reprezentant al mineralelor opace.

4. Calcarele cristaline și calcarele dolomitice au fost identificate pe valea Petrii și pîrul Sărișor unde aflorează pe suprafețe însemnate.

Calcarele cristaline au o culoare cenușie deschisă pînă la cenușiu-neagră, structură granoblastică și textură masivă. Ele sunt constituite în cea mai mare parte din calcit la care se mai adaugă cuarț între 1% și 10%. Un loc aparte îl ocupă calcarele cristaline în care apare muscovit între 1% și 5% pentru care am folosit denumirea de „cipolin”.

Calcarele dolomitice au o culoare cenușie deschisă pînă la alb-gălbuiuie, structură granoblastică, textură masivă și sunt formate din calcit, dolomit și feldspat. Raportul dintre calcit și dolomit este de 3:1 în favoarea primului, feldspatul ajungind pînă la 3%.

În ceea ce privește separarea cartografică a calcarilor cristaline, calcarilor dolomitice și cipolinielor, acest lucru nu s-a putut realiza datorită intimității care există între aceste tipuri de roci.

5. Filonitele le prezentăm ca un tip aparte deoarece sunt caracteristice pentru zona de la est de virful Măgura, ele aflindu-se în imediata apropiere a liniilor de fractură pe care au fost secate la suprafață șisturile cristalofiliene. Au o culoare cenușie, aproape neagră, structură granolepidoblastică și textură șistoasă.

TABELUL 4

Compoziția modală și participarea procentuală a mineralelor constitutive

Cuarț	0,016/0,016-0,176/0,16 mm	50-60%
Biotit+muscovit	0,064/0,016-0,24/0,08 mm	40-50%
Minerale opace	plajă	1-3%

După cum se vede din tabelul de mai sus, filonitele nu diferă de șisturile cuarțitice cu biotit și muscovit în ceea ce privește compoziția mineralologică, însă dimensiunile mineralelor sunt mult mai mici în filonite.

În secțiuni subțiri se remarcă prezența unor microcute foarte strinse care dau impresia unor valuri. Aceste microcute sunt formate din lepidoblaste de biotit decolorat și muscovit, torsionate în urma eforturilor pe

care le-a suferit roca. Microcutele acestea alcătuiesc benzi milimetrice care alternează cu benzi, tot milimetrice, în care sunt prezente granoblaste de quart.

B) Formațiunile sedimentare. Sunt bine dezvoltate în jumătatea nordică a regiunii între rîul Dorna și pîriul Secu. Deși gradul ridicat de acoperire a terenului, a constituit un impediment serios în deschiderea structurii formațiunilor sedimentare au fost găsite argumente suficiente pentru atribuirea acestora Eocenului, Oligocenului și Cuaternarului.

1. *Eocenul* este bine dezvoltat în partea estică unde formează o zonă aproape continuă între pîriul Sărîșor și rîul Dorna. În rest, depozitele eocene apar la zi ca urmare a unei eroziuni puternice, rămin ca martori de eroziune pe creste (versanții pîraielor Secu, Tigănești, Graniței, Sărîșor, vîrful Andreeni) sau sunt scoase din fundament pe linii de fractură (zona dintre Chilereni și Pilugani).

Din punct de vedere litologic, Eocenul este constituit în principal din calcare de culoare cenușie deschisă, uneori cu tentă galben-verzui, cu spărtură neregulată sau colțuroasă. Macrostructura masivă este înlocuită local, printre un aspect pseudobrecios sau vacuolar, în acest ultim caz roca având o culoare neagră.

În secțiuni subțiri calcarele apar cu o compoziție mixtă în care resturile organice s-au amestecat cu material recifogen, cu o cantitate variabilă de material epiclastic și cu produse de precipitare chimică (CaCO_3). Procesele de diageneză au modificat structura rocii și au adăugat o seamă de minerale de neoformăție, realizându-se o structură mixtă, organogenă granulară pînă la organogenă și de recristalizare. Definită în acest fel roca corespunde unui calcar organo-detritogen cu material epiclastic.

Din masa rocii peste 70% revine părții carbonatate, materialul epiclastic variind între 20-25%. Resturile organice se inseră în medie cu 60%, local ajungînd să formeze în exclusivitate roca, cazuri în care poate fi numită calcar organogen. Detritusul organic este constituit în primul rînd din alge coraligene, în special *Lithothamnium* și *Lithophyllum*, care împreună cu briozorele ajung la 25-30%. Pe lîngă acestea au mai fost identificate foraminifero din care cităm: globigerine, lagenide, textularide, valvulide, discocicline și camerinide. Uneori scheletul acestor organisme este înlocuit cu dolomit iar în cavitatele lor se observă leptoclorit.

Dintre macroorganisme s-au observat forme de echinoderme, neconservate prea bine, fapt care a făcut dificilă determinarea lor. Formele recoltate din calcarele situate în versantul stâng al râului Negrișoara au fost determinate de Georgea Trifan ca fiind *Echinanthus scutella* (Lamarck) care ar indica Eocen mediu și *Echinanthus inflata* Koch care apare atât în Eocenul mediu cât și în Eocenul superior.

Materialul epiclastic este alcătuit în majoritate din cuart, fisurat și zdorbit atunci cînd calcarele sunt afectate de liniile de fractură, pe fisuri depunîndu-se calcit. În cantități mai reduse apar granați, feldspați și chiar turmalină. Ca minerale de neoformare sunt romboedri de dolomit asociați cu calcedonie și feldspați care corodează algele calcaroase sau se găsesc în interiorul acestora în aspecte idiomorfe.

În afara acestor minerale, în versantul stîng al pîrului Gligu se observă prezența unor fragmente de șisturi emartitice cu biotit și muscovit și cuarțite cu diametrul de 2-5 cm care împrimă calcareelor un aspect brescios.

Masa liantă este alcătuită din carbonat la calcarele organogene, pe cînd la calcarele organo-detritogene se adaugă material argilos, materie organică, mai rar oxizi de fier și cu totul sporadic glauconit.

Aspectul grezos al acestor calcaro, fiind mai frecvent decit cel recifogen arată că roca s-a format în imediata apropiere a ariei continentale de natură cristalină unde materialul epiclastic sosește în cantități mari. Aici s-au amestecat fragmente de natură recifogenă, resturi organogene și material epiclastic cu cel de precipitație chimică. În zona pe care am prezentat-o a existat o abundentă viață plantonică (foraminifere) și bentonică (alge calcaroase, echinoderme) datorită unui mediu bine oxigenat (fapt susținut și de prezența cloritului și leptocloritului și absența piritei).

2. Oligocenul aparține bazinului Poiana Stampei-Dorna-Cindreloni și cuprinde o succesiune de roci care merg de la tipuri psorfite (microconglomerate) și psamo-aleuritice (gresii) pînă la fracțiuni pelitice (marne).

a) Microconglomeratele au fost identificate pe pîrul Izoru unde stau peste calcarele cocene. Sunt alcătuite din granule rotunjite de cuarț și calcit și din fragmente de șisturi cristalofiliene ce nu depășesc 1 cm diametru, toate acestea prinse într-un ciment calcaros. Au structură psorfitică iar textură masivă. În secțiuni subțiri se observă cristale xenomorfe de feldspat plagioclaz, cuarț, lamele fine de biotit și muscovit, resturi de alge calcaroase, briozoare, foraminifere și plăci de echinoderme.

b) Gresiile alcătuiesc strate cu grosimi de 5-75 cm; în cadrul lor s-au identificat gresii calcaroase și gresii micacee.

Gresiile calcaroase apar în zona dintre pîrful Gligu și pîrful Piatra și în partea superioară a pîrului Gligu. Aceste gresii au o culoare cenușie, uneori cu nuanțe gălbui-cafenii, sunt dure, compacțe, cu o stratificație slab exprimată, structură psamo-aleuritică și textură masivă care prezintă uneori slabe orientări.

Materialul epiclastic se încadrează în domeniul psamitic (0,1-1mm) și este prins într-un ciment calcaros poikilitic; după acțiunea acestuia asupra materialului detritic s-a observat apariția unui ciment de corozione și mai rar de umplere.

TABELUL 5

Compoziția modală și dimensiunile mineralelor constitutive

Cuart	0,40/0,22-0,05/0,04 mm	49,41 %
Calcit	ca ciment	23 %
Mice	0,12/0,08-0,16/0,15 mm	14,10 %
Feldspați	0,32/0,17-0,21/0,06 mm	4,17 %
Fragmente de sisturi cristalofiliene	0,36/0,21-0,16/0,15 mm	5,20 %
Turmalină	0,08/0,06-0,03/0,006 mm	
Granați	0,10/0,07-0,05/0,02 mm	2,34 %
Zircon	0,001/0,001 mm	
Sfen	0,05/0,003 mm	
Minerale opace	0,08/0,04 mm	1,78 %

Cuarțul este de origine sedimentară și metamorfică și apare frecvent corodat de calcitul care formează cimentul. Feldspați (ortoză, albă, oligoclaz) sunt proaspeți, cu planele de macle ușor curbate, fapt ce se observă și la maclele calcitului. Aceasta împreună cu torsionarea lamelelor de mică arată că roca a fost supusă la solicitări mecanice.

În afara mineralelor din tabelul de mai sus se mai remarcă prezența unor resturi organice de foraminifere și briozoare remaniate din calcarele eocene.

Gresiile micacee formează strate cu grosimi de 25-100 cm; sunt compacțe, dure, au structură psamitică și textură masivă. Caracteristic pentru ele este creșterea participării procentuale a micelor fapt care face ca roca să prezinte reflexe argintii.

Cristalele de cuarț, mice și feldspați arată și la aceste gresii că au fost supuse unor solicitări mecanice.

TABELUL 6

Cuarț	1,82/1,30-0,81/0,63 mm	52 %
Mică	0,90/0,22-0,54/0,18 mm	20 %
Calcit	ca ciment	16 %
Feldspati	0,12/0,20-0,35/0,24 mm	2 %
Turmalină - granați	0,28/0,18-0,18/0,16 mm	1 %
Minerale opace	0,22/0,17-0,09/0,005 mm	1 %

c) Marnele formează strate cu grosimi cuprinse între 25-50 cm care alternează cu gresile. Au culoare cenușie cu nuanțe gălbui-verzui sau brune, structură pelitică și textură microstratificată.

TABELUL 7

Compoziția modală și dimensiunile mineralelor constitutive

Minerale argiloase + CaCO ₃	—	83 %
Cuarț	0,16/0,08-0,02/0,01 mm	8 %
Muscovit	0,36/0,18-0,03/0,003 mm	7 %
Biotit	0,34/0,008-0,15/0,002 mm	
Minerale opace	0,03/0,01 mm	2 %

Mineralele argiloase împreună cu carbonatul de calciu formează o mixtură amorfă care alcătuiește masa fundamentală a rocii. Cuarțul și miciile se grupează în șiruri care imprimă roci o microstratificație. Conțin fragmente de organisme calcaroase care au testul substituit cu calcit secundar sau chiar cu dolomit.

Bogăția de resturi organice precum și a materialului clastic impun definirea acestor roci ca marne micacee bioclastice.

d) Marno-calcarele au fost identificate pe pîriul Dealul Lat și pe pîriul Trestieei în strate cu grosimi de cca. 60 cm care alternează cu marnele și gresile. Au o culoare destul de închisă, structură pelitică și textură masivă uneori fin stratificată.

Materialul carbonatic este reprezentat în exclusivitate prin foraminifere. Cu totul întimplător s-au observat cîteva pseudoolite, cu forme ovale, constituite din calcar fin cristalizat.

Un aspect deosebit îl constituie marnocalcarele cu o culoare alb-murdar și unele nuanțe gălbui care au fost identificate pe creasta versantului drept al pîriului Gligu îngă aparițiile de Eocen. La aceste roci, în secțiuni subțiri se observă că materialul argilos este larg cristalizat avînd contururi pseudohexagonale și uneori idiomorfe. Aceste contururi imprimă roci o structură punctiformă.

În urma prezentării observațiilor microscopicice rezultă că seria argilo-detrito-carbonatată a Oligocenului provine dintr-o succesiune de sedimente depuse la adâncimi diferite. Relieful de fund a avut o seamă de denivelări însă nu prea accentuate. Aportul de pe arile de alimentare cantitativ erau variate, caracterele structurale ale depozitelor schimbându-se foarte des. Bogăția de resturi organice pentru nivele (ca exemplu avem marnocalcarele) arată momente în care microfauna se dezvoltă abundant. Prezența materialului epiclastic cu contururi angulare indică un transport redus al acestuia.

Mediul bine aerat alterna cu altul sărac în oxigen care a favorizat formarea pîritei și declanșarea procesului de dolomitizare în camerele foraminiferelor.

3. *Cuaternarul* este reprezentat prin trei terase, șesuri aluvionare, pornituri, grohotișuri de pantă și conuri de dejecție.

Terasa I este bine dezvoltată în versantul stîng al rîului Negrișoara. Terasa a II-a ocupă suprafețe mari în ambi versanți ai rîului Negrișoara unde atinge lățimi de 100-300 m și în versantul drept al rîului Dorna unde are peste 900 m lățime. Terasa a III-a apare numai în versantul drept al rîului Dorna. Șesurile aluvionare au o mare dezvoltare în lungul rîului Dorna, pîraielor Prăjii, Roșia, Turcului, Pintii, Ascuțit și rîului Negrișoara.

Grohotișul ocupă suprafețe mari pe interfluviul dintre pîriul Ascuțit și pîriul Pintii și între pîraiele Graniței și Sărișor.

C) **Formațiunile eruptive.** Sunt reprezentate prin vulcanite neogene care formează rama nordică a munților Călimani. În urma lucărilor de teren și a determinărilor de laborator au fost separate pirolastite și lave a căror venire la suprafață a fost stabilită ținindu-se seama de raporturile dintre ele. S-a constatat astfel că succesiunea stabilită în partea centrală, vestică, nord-vestică și sudică a munților Călimani (Cosma et al., 1964; Peiltz, 1969) este valabilă și pentru zona pe care o prezentăm. Un loc aparte îl ocupă tufurile aleuritice intercalate între sedimentele oligocene pe versantul stîng al pîriului Bitcilor care nu pot fi paraleлизate cu nici un alt produs piroclastic identificat pînă în prezent în munții Călimani.

În continuare vom descrie tipurile de roci ținind seama de ordinea punerii lor în loc.

1. *Tufurile aleuritice* de pe creasta versantului stîng al pîrului Bîcilor, intercalate între sedimentele oligocene, au o culoare cenușie închisă aproape neagră și structură masivă compactă. Ele au o granulație aleuritică care alternează cu nivele milimetrice unde granulația devine psamitică. În secțiuni subțiri se constată că sunt formate în principal din cristale și fragmente de cristale de feldspat cu contururi angulare, alături de care participă și melanocrate ce nu pot fi determinate din cauza dimensiunilor mici pe care le au, precum și faptului că sunt total clorilate. Cimentul este format din cenușă vulcanică de granulație pelitică care în lumină paralelă are o culoare cenușie cu tentă verzui.

2. *Microdioritele* au fost identificate sub forma unui stilp pe versantul stîng al pîrului Strătioarei seos la zi de sub lavele de andezite piroxenice. Au o culoare cenușie deschisă cu nuanțe verzi, structură microgranular-holocristalină și textură masivă.

TABELUL 8

Compoziția modală și dimensiunile minerelelor constitutive

Feldspati	2,02/0,09—0,715/0,31 mm	84 %
Piroxeni	0,45/0,18-0,17/0,036 mm	14 %
Apatit	0,007/0,004 mm	1 %
Magnetit	0,18/0,13-0,04/0,01 mm	1 %

În secțiuni subțiri se observă o structură hipidiomorf-granulară. Feldspati au o dezvoltare prismatică, contururi idiomorfe rar xenomorfe, sunt în general proaspeti, maclati polisintetici sau albă-Karlsbad sau prezintă concreșteri zonare. Conținutul în An este cuprins între 31 și 43 %. Cristalele cu dimensiuni mari sunt ciuruite de piroxeni și oxizi de fier.

Piroxenii sunt reprezentați prin augit, hipersten și chiar clinoenstatit și clinohipersten. Pe planele de clivaj și în zonele marginale se instalează uralitul.

Intim asociate cu piroxenii sunt granule și cuburi de magnetit, precum și cristale mici de apatit.

3. *Piroclastitele din ciclul I* formează o zonă aproape continuă cu grosimi de 150-200 m între Dornișoara și vîrful Buza Șerpii ele stînd direct peste formațiunile sedimentare oligocene. Sunt reprezentate în principal prin aglomerate și cîteva intercalări de tufuri psamitice și tufuri litocristaloclastice.

a) Aglomeratele sunt constituite din elemente de andezite piroxenice, identice în ceea ce privește compoziția mineralogică cu andezitele piroxenice inferioare care formează curgeri și din această cauză nu vom insista asupra descrierii lor. Dimensiunile elementelor sunt variate, ele fiind cuprinse între 2-50 cm mai frecvent fiind cuprinse între 10-25 cm. Cimentul aglomeratelor este format dintr-o masă tufacee psamitică la care compoziție mineralogică participă fragmente de piroxeni (augit și hipersten) și sticlă.

b) Tufurile litocristaloclastice apar în baza piroclastitelor de ciclul I sau ca intercalări între aglomerate. Macroscopic se observă că sunt formate din fragmente de roci prinse într-o masă tufacee de granulație psamtică care în secțiuni subțiri se dovedește a fi formată din cenușă vulcanică, sticlă, cristale și fragmente de cristale de feldspați și piroxeni (augit și hipersten).

c) Tufurile psammitice, separate ca stare pe Pirinul Negru, au o grosime de 50 cm, și sunt intercalate în aglomerate. Culcarea lor este cenușie deschisă cu unele tentă maro și sunt constituite din sticlă, cristale și fragmente de cristale de feldspați, hipersten și augit.

4. Andezitele piroxenice inferioare formează curgeri de lave bine dezvoltate care marchează un moment important în erupțiile din munții Călimani datorită poziției pe care o au, între piroclastitele din ciclul I și cele din ciclul II.

Aceste andezite au o culoare cenușie, cenușiu-neagră, structură porfirică și textură masivă.

TABELUL 9

Compoziția modală și dimensiunile minerelelor constitutive

Feldspați	3,15/2,25-1,80/0,65-0,45/0,25 mm	29 %
Augit	1,17/0,49-0,50/0,22 mm	10 %
Hipersten	1,08/0,18-0,40/0,14 mm	8 %
Magnetit	0,17/0,10-0,04/0,01 mm	2 %
Masa de bază	—	51 %

Masa de bază are o structură care variază de la hialopilitică la piloxititică în ea observându-se lesite de feldspat, cristale de piroxeni și sticlă.

Feldspații aparțin la două generații: cei din prima generație au dimensiuni mari, prezintă macle polisintetice și albă-Karlsbad, sănătău-

argilizați și adularizați, conținutul în An fiind cuprins între 15 și 62% pe cind cei din a doua generație au dimensiuni mici, sunt proaspeți și au un conținut în An cuprins între 28 și 38%.

Angitul și hiperstenul alcătuiesc fenocristale independente sau se asociază cu magnetitul pentru a forma glomerule. Caracteristic pentru ei este fenomenul de evoluție evidențiat prin maclararea combinată a celor doi piroxeni sau prin ocuparea centrului cristalului de hipersten, bordura fiind alcătuită din augit. Piroxenii sunt în general proaspeți. Uneori pe fisuri se instalează bastitul.

Magnetitul este răspândit neuniform ca incluziuni sau formând coroane de reacție pe seama piroxenilor.

5. *Andezitele bazaltice* ocupă suprafețe destul de mari. În funcție de structura rocii și forma de zăcăminte s-au deosebit lave și dyke-uri. Le întâlnim sub formă de curgeri în jurul vîrfurilor Piatra Dornei, Dealul Mare, zona dintre pîrul Piții și rîul Negrișoara, Bitca Priporului și la sud-est de aceasta către vîrful Priporul. Dyke-urile de andezite bazaltice sunt situate pe clina sud-vestică a dealului Obecina, prezența lor aici fiind facilitată de existența a două linii de fractură. Au o culoare cenușie închisă, neagră sau în tonuri verzui-violacee.

TABELEIUI. 10

Compoziția modală și dimensiunile mineralelor constitutive

Feldspați	0,86/0,35-0,63/0,18 mm	5-11 %
Piroxeni	1,05/0,80-0,30/0,022 mm	4-14 %
Hornblendă	1,10/0,38-0,29/0,17 mm	0-3 %
Minerale opace	0,16/0,09-0,01/0,009 mm	1-2 %
Masa de bază	—	75-81 %

În secțiuni subțiri se observă o structură pilotaxitică fluidală, pînă la tachilitică. Feldspații, care predomină în masa de bază, au un conținut în An cuprins între 68-72% la fenocristale care imprimă uneori rociî un caracter porfiric așa cum este la ivirile de pe pîrul Sărișor și între 50-55% la baghetele cu dimensiuni mici care imprimă structurile fluidale.

Piroxenii sunt reprezentați prin augit și hipersten, proaspeți, care ocupă spațiile dintre baghetele de feldspat. Hornblenda este totdeauna opacitizată și resorbită magmatic.

Mineralele opace sunt răspândite neuniform în roca.

6. *Piroclastite din ciclul II* ocupă părțile cele mai înalte ale reliefului și sunt ușor de cartografiat datorită faptului că sunt separate de piroclastitele din ciclul I prin curgerile de lave ale andezitelor piroxenice inferioare. Atribuirea piroclastitelor, care sunt situate pe creasta dintre rîul Dorna și rîul Negrișoara, tot ciclului II, s-a putut face relativ ușor, ca argument pentru aceasta fiind folosită prezența fragmentelor de andezite bazaltice în cadrul lor. Aceste piroclastite sunt constituite în cea mai mare parte din aglomerate cu elemente de andezite piroxenice inferioare, andezite bazaltice și andezite piroxenice superioare ale căror dimensiuni sunt cuprinse între 5-250 cm dar cel mai frecvent între 5-25 cm. Cimentul acestor aglomerate este la fel ca și la piroclastitele din ciclul I.

7. *Andezitele piroxenice superioare* apar ca lave ce acoperă piroclastitele din ciclul II sau se intercalează între acestea. Ele apar în jurul vîrfului Lucaciu, la nord de Piatra Dornei și vîrful Tărnău și în zona de izvoare a Pirinului Negru. Caracteristic pentru aceste andezite este participarea procentuală a hornblendei care uneori lipsește iar alteori ajunge pînă la 2%.

Andezitele piroxenice superioare au o culoare cenușie deschisă pînă la cenușiu-neagră, structură porfirică și textură masivă.

TABELUL 11

Compoziția mediană și dimensiunile mineralelor constitutive

Feldspați	1,58/0,85-0,56/0,16 mm	29-17 %
Hipersten	1,44/0,31-0,38/0,12 mm	10-5 %
Augit	0,98/0,28-0,30/0,09 mm	4-3 %
Hornblendă	0,81/0,45-0,22/0,13 mm	0-2 %
Minerale opace	0,20/0,08 mm	1-2 %
Masa de bază	—	54-71 %

Spre deosebire de andezitele piroxenice inferioare, cele superioare au masa de bază mai larg dezvoltată, aceasta avînd o structură hialopilitică și criptocristalină.

Feldspații plagioclazi au mărci polisintetice, albit-Karlsbad și periclin, conținutul în An fiind cuprins între 40-51% la fenocristale și între 30-40% la lesite.

Piroxenii sunt proaspeți, frecvent maclați și prezintă fenomene de exoluție între augit și hipersten. Hornblendă este aproape totdeauna resorbită iar atunci când mijlocul cristalului este proaspăt se poate observa culoarea brună. Mineralele opace sunt reprezentate prin magnetit.

8. *Andezitele cu hornblendă brună* au fost delimitate în jurul vîrfurilor Tămău, Prislopul Tămăului, Măgura, în versantul stîng al pîriului Gligu și la sud de stîncile Doisprezece Apostoli. Au o culoare cenușiu-verzui, uneori maronie, structură porfirică și textură masivă.

TABELUL 12

Compoziția medie și dimensiunile mineralelor constitutive

Feldspați	1,57/0,90-1,35/0,40 mm	21-18 %
Hornblendă	4,50/2,00-1,35/0,40 mm	12-14 %
Piroxeni	1,00/0,50-0,49/0,13 mm	4-6 %
Apatit	0,03/0,01 mm	1 %
Minerale opace	0,20/0,19-0,04/0,06 mm	1-2 %
Masa de bază	...	60-68 %

Masa de bază prezintă o microstructură caracteristică fiind alcătuire din microlite tabulare de feldspați și piroxeni dispuse dezordonat într-o masă feldspatică neindividualizată. Datorită aspectului și compoziției, structura masei de bază poate fi numită criptocristalin-allotriomorf-gramulară.

Feldspații plagioclazi sunt proaspeți, mălați polisintetic, mai rar albă-Karlsbad, cristale mari avind un conținut în An de 48-50 %, iar baghetele din pastă de 32-40 %.

Hornblenda, varietatea bazaltică, este frecvent resorbită, cristalele mici total iar cele mari numai marginal, centrul răminind proaspăt.

Piroxenii prezintă fenomene de exoluție, de obicei hiperstenul și pigeonitul fiind încorporați într-un cristal de augit.

Mineralele accesoriale sunt reprezentate prin apatit iar cele opace prin magnetit.

9. *Andezitele cu hornblendă verde* au o dezvoltare restrinsă, ele formind mici stilpi la est de vîrful Lucaciu, în versantul stîng al pîriului Doisprezece Apostoli și în cel drept al pîriului Pietrele Roșii. Au culoare cenușie, structură porfirică și textură masivă.

Masa de bază are o structură hialopilitică sau microfelsitică cu o pronunțată tendință fluidală în funcție de predominanța procentuală a sticlei sau a lesitelor de feldspați.

Fenocristalele de feldspat au dimensiuni mai mari și sunt mai acidice decât tipul descris anterior, conținutul lor în An fiind de 35-38 %.

TABELUL 13
Compoziția modală și dimensiunile mineralelor constitutive

Feldspati	2,30/1,75-1,03/0,68 mm	7-13%
Hornblendă	6,52/1,03-0,81/0,31 mm	12-17%
Piroxeni	0,40/0,09-0,15/0,05 mm	0-8%
Minerale opace	0,10/0,06-0,03/0,001 mm	0,5-2%
Masa de bază	-	64-75%

Hornblendă verde este prezentă în cristale prismatice, corodate sau prezintând o bordură de resorbție nu prea dezvoltată.

Piroxenii sunt reprezentați prin augit, hipersten și pigeonit; apar sub formă unor baghete sau granule care citoată se asociază în cuiburi.

Mineralele opace au ca reprezentant magnetitul.

10. *Anderzitele cu biotit* apar numai în versantul stâng al pîriului Bîtelor pe cca 500 m lungime și 300 m lățime. Au o culoare cenușie deschisă, structură porfirică și textură masivă.

TABELUL 14
Compoziția modală și dimensiunile mineralelor constitutive

Feldspati	0,72/0,18-0,21/0,07 mm	10,10%
Biotit	1,57/0,27-0,80/0,27 mm	1,36%
Cuart	0,28/0,03 mm	0,40%
Minerale opace	0,21/0,18 mm	0,70%
Masa de bază	-	87,44%

Masa de bază, total cristalizată, are o structură panallotriomorfă și este constituită din mici prisme de feldspat (0,20/0,05-0,10/0,03 mm), lamele de biotit, clorit și granule de minerale opace prinse într-o masă allotriomorf-granulară. Sporadic apar și cuiburi de cuart.

Fenocristalele de feldspat sunt proaspete, maclate după legea albii-Karlsbad sau polisintetic, conținutul în An fiind cuprins între 35-40%.

Biotitul apare ca prisme cu marginile zdrențuite și tapiseate cu oxizi de fier.

Ca minerale de neoformăție cităm clinoclorul și penninul care formează cuiburi între cristalele de feldspat.

Mineralele opace sunt reprezentate prin magnetit.

11. *Bazaltele* formează curgeri în zona vîrfului Prislopului și stilpi la nord și vest de vîrful Lucaciu. Structura lor este ușor porfirică iar textura masivă.

TABELUL 15

Compoziția modală și dimensiunile mineralelor constitutive

Feldspați	1,80/1,75-0,54/0,40 mm	7%
Piroxeni	1,57/1,12-0,50/0,23 mm	12%
Olivină	1,26/0,54-0,27/0,21 mm	10%
Magnetit	0,06/0,004-0,002/0,001 mm	1%
Masa de bază (microlite de feldspați)	0,36/0,05-0,09/0,01 mm	70%

În secțiuni subțiri se observă că masa de bază este microlitică cu netă tendință fluidală la bazaltele din curgeri și hialopilitică la celelalte. Ea este alcătuită din microlite de plagioclazi, granule de piroxeni și magnetit și mai puțin olivină.

Fenocristalele de feldspați sunt măslate după legăea albit, albit-Karlsbad, planele de măslă fiind groase și neclare, prezintă concreșteri zonare și au un conținut în An între 48-52%.

Piroxenii sunt reprezentați prin augit și hipersten. Olivina este omogen repartizată în cristale scurt prismatice, mai rar xenomorfe. Rare proaspătă, olivina este înlocuită cu bowlingit și bastit de la periferie spre centru. Alteori se observă o bordură fină din granule mici de piroxeni, rotunjite, asemănătoare unui sirag de mărgele.

Magnetitul este intim asociat cu piroxenii sau împurifică masa de bază.

12. *Mofetele* sunt ultimele manifestări ale activității vulcanice. Ele sunt reprezentate prin izvoare bicarbonatace situate pe linii de fractură orientate NW-SE. Dintre acestea menționăm, pentru partea vestică a regiunii, izvorul de la Dorna Boreut situat la confluența dintre rîul Dorna cu pîriul Bîteilor și izvorul Borcuțel în versantul drept al rîului Dorna la cca 1 km amonte de confluența cu pîriul Roșia. Pentru partea centrală cităm izvorul de la nord de vîrful Măgura, pe pîriul Izoru, cel de pe pîriul Gligu și acela din versantul drept al rîului Negrișoara la vest de vîrful Ascușit. Cel mai important izvor este în satul Poiana Negri, în versantul stîng al rîului Negrișoara aval de confluența cu pîriul Piatra.

Aici se află o stație de îmbuteliere care trimite în comerț „apă minerală de Poiana Negrii” care are, ca de altfel toate celelalte izvoare, un gust plăcut datorită micilor cantități de S, Na, Cl.

Tetonica și evoluția geologică a regiunii

Tetonica regiunii este relativ simplă, principalele linii de fractură, situate în patru zone, fiind orientate nord-vest - sud-est pînă la nord-sud. Depistarea linilor de fractură a fost facilitată de identificarea raporturilor anormale dintre diferențele formațiuni și a coșurilor vulcanice, acestea din urmă șalonindu-se constant de-a lungul principalelor linii de fractură.

O primă zonă este situată în partea vestică a regiunii; are o orientare nord-vest - sud-est și este marcată de aliniamentul pe care sunt amplasate coșurile vulcanice care coincid cu vîrful Tămău, vîrful Prislopul Tămăului, coșul vulcanic situat la nord de acesta, apoi cel din vîrful Piatra Dornei și următorul la cca 1 km spre nord. Din acest punct linia se continuă spre nord-vest pînă la Dorna Boreut, existența ei favorizând venirea la suprafață a andezitelor cu biotit și a andezitelor cu hornblendă din Bitca lui Eremia și de la Dorna Boreut.

Aproape paralel cu această linie, mai la est, se află o a doua linie de fractură orientată NNW-SSE marcată de coșul vulcanic din vîrful Ascuțit, cel din zona de izvoare a pîriului Doisprezece Apostoli și dyke-ul de andezit din versantul drept al rîului Negrișoara avul de confluență cu pîriul Ascuțit.

A treia zonă de fractură pornește din bazinul de recepție al pîriului Gligu spre nord-vest către Pilugani. În această zonă sunt prezente, în partea sud-estică între vîrful Măgura și dealul Obeina, mai multe linii de fractură (cca 9) cu lungimi de 700—3000 m, care au seos la zi formațiuni cristalofoiene și depozite eocene sau au făcut posibilă venirea la suprafață a dyke-urilor de andezite de pe dealul Obeina și instalarea coșului vulcanic din vîrful Măgura. Între Pilugani și Chilereni, calcarele eocene sunt flancate pe trei laturi de brecifieri care atestă continuarea zonei principale de fractură pînă aici. Probabil că ea se continuă spre nord-vest dar este mascată de turbările de la Poiana Stampei.

Cea de-a patra zonă de fractură orientată nord-vest - sud-est este situată în partea estică a regiunii; ea pornește din pîriul Sărișor, unde se observă brecifieri continue la limita dintre Eocen și Oligocen și trece prin vîrfurile Priporul și Bitca Priporului, pe această distanță fiind amplasate patru coșuri vulcanice. Menționăm că la stabilirea coșurilor vulcanice s-a ținut seama de sensul curgerilor de lave, structura rocilor și aspectele

morfologice. În afara acestor 4 zone principale de fractură care imprimă stilul tectonic principal al regiunii, au mai fost depistate cîteva linii de mai mică importanță atât ca dimensiuni cît și în ceea ce privește influența lor asupra structurii regiunii, orientată nord-est – sud-vest. Aceste linii sunt în versantul drept al pîrului Tureului și versantul stîng al rîului Negrișoara unde secol la zi șisturi cristaline și pe pîrul Sărisor amonte de confluența cu pîrul Bunegeosu, aici afectînd calcarele eocene.

Descifrarea structurii formațiunilor sedimentare oligocene este deosebit de dificilă datorită gradului mare de acoperire a terenului. Se pare că ne aflăm în fața unui mare anticlinal curbat de la vest la est sub forma unui arc de cerc cu inclinări spre vest, nord-vest și nord pe flancul nordic. Flancul sudic este mai frămîntat datorită numeroaselor linii de fractură care îl afectează. Pentru reprezentarea grafică a structurii geologice a regiunii nu este nevoie de nici un artificiu, aceasta reieșind cu multă claritate din secțiunile pe care le prezentăm.

Formațiunile sedimentare oligocene constituie fundamentele vulcanitelor neogene din munții Călimani. Preludiul impresionantei activități explozive din munții Călimani are loc în timpul Oligocenului și este reprezentat prin tufurile intercalate în sedimentele oligocene. Mai tîrziu, într-un moment destul de greu de definit în timp, vin la zi, din marea calderă a munților Călimani, piroclastitele din ciclul I produse care au o mare dezvoltare atât în regiunea prezentată cît și în întregul masiv Călimani.

Urmărează apoi surgeri de lave de andezite piroxenice inferioare care formează un nivel aproape continuu între vîrful Piatra Dornei și Buza Șerbii. Microdioritele nu au o poziție prea clară însă prin comparație cu cele din partea centrală a Călimanilor precum și datorită faptului că nu afectează andezitele piroxenice inferioare (Teodoru, Teodoru, 1966) le considerăm mai vechi decit acestea.

Andezitele bazaltice au raporturi diferite cu celelalte roci. În zona vîrfului Dorna (ele provin dintr-un coș vulcanic ce coincide cu acest vîrf) aceste andezite acoperă piroclastitele din ciclul II iar la nord de vîrful citat stau peste piroclastitele din ciclul I și formațiuni sedimentare oligocene. Între rîul Negrișoara și pîrul Pinții, lăvete de andezite bazaltice acoperă piroclastitele din ciclul I și sunt acoperite de cele din ciclul II. Aceste situații conduc la ideea că eruptiile de andezite bazaltice trebuie plasate într-un moment ulterior începerii primelor explozii care au adus la suprafață piroclastitele din ciclul II dar înainte de terminarea lor.

Pirolastitele din ciclul II ocupă o bună parte din zonele cele mai înalte ale reliefului acoperind andezitele piroxenice inferioare care le separă de pirolastitele ciclului I, andezitele bazaltice, sau stau direct peste formațiunile sedimentare oligocene. Aceste pirolastite provin tot din caldera Călimanilor.

Andezitele piroxenice superioare acoperă pirolastitele din ciclul II dar sunt și ea intercalată între acestea. Rezultă deci că în timpul exploziilor care au generat pirolastitele din ciclul II au avut loc și curgeri de lave, însă momentul principal de venire la suprafață a acestor lave a avut loc după terminarea ciclului II de erupție.

Deoarece andezitele cu hornblendă brună acoperă pirolastitele din ciclul II în vîrful Prislopul Tămăului și la nord de acesta iar la sud-vest de stâncile Doisprezece Apostoli stau peste andezitele bazaltice, ne permit să le considerăm ca fiind mai noi decât toate rocile prezentate pînă acum. Această apreciere este valabilă și pentru cazurile în care raporturile dintre aceste andezite și rocile din jur nu sunt prea clare, așa cum e cazul la Dornișoara și Dorna Borcut.

Aciditatea mai ridicată a andezitelor cu hornblendă verde impune ca ele să fie socotite mai noi decât cele cu hornblendă brună.

Bazaltele și andezitele cu biotit, prin comparație cu cele din partea centrală a munților Călimani (Cosma et al., 1962) reprezintă ultimele roci eruptive din regiune.

În ceea ce privește vîrstă erupțiilor avem argumente că primele manifestări au loc în Oligocen. Pentru restul activității vulcanice ne aliniem cercetătorilor anteriori care consideră că piroxismul activității vulcanice din munții Călimani a avut loc în Miocen și s-a încheiat probabil în Quaternar.

BIBLIOGRAFIE

- Atanasiu L., Dimitrescu R., Semaka A.I. (1956) Studiu petrografic al erupțiunii din Munții Bîrgăului. *D.S. Com. Geol.* XL, București.
- Athanasiu S. (1898) Studiu geologic în districtul Suceava-Călimani și bazinul Negrii. *Bul. Soc. St. An.* VII, București.
- Buțureanu V. (1903) Études pétrographiques et chimiques sur le massif eruptif Călimani, Pietrele Roșii. *Ann. Scient. Univ. Jassy*, Jassy.
- Cosma S., Teodoru I., Teodoru Camelia (1961) Contribuții la cunoașterea geologiei munților Călimani de nord și Bîrgău de sud. *D.S. Com. Geol.* L/2, București.
- Hauer Fr., Stache G. (1863) Geologie Siebenbürgens. Wien.

- Herbich Fr. (1878) Das Széklerland (mit Berücksichtigung der angrenzenden Landesteile). *Mitt. d. Jahrb. d. kgl. ung. geol. Anst. Wien.*
- Nichita O. (1934) Études pétrographiques et chimiques de la région des Valca Neagra et Hafta du massif des monts Călimani. *Ann. Sci. Univ. Jassy, XXI, Jassy.*
- Peltz S. (1969) Studiu petrografic al părții de sud-est a munților Călimani. *St. Iehn. econ. I/4, București.*
- Rădulescu D. (1960) Asupra existenței formațiunilor subvulcanice în lanțul Călimani-Gurghiu-Harghita. *An. Univ. București, seria geol. geogr. IX/23, București.*
- Teodoru I., Teodoru Camelia (1966) Faciesuri de metamorfism hidrotermal în caldera munților Călimani. *D.S. Com. Stat. Geol. LIII/1, București.*
- Török Z. (1956) Problème théorique et pratique des méthodes facies complexes. *Stud. cerc. geol. geogr. An. IV, Cluj.*

RECHERCHES PÉTROGRAPHIQUES DANS LA PARTIE SEPTENTRIONALE DES MONTS CĂLIMANI

(Résumé)

Les recherches pétrographiques entreprises sur le châssis septentrional des monts Călimani ont mis en évidence l'existence, dans cette zone, des formations cristallophylliennes, sédimentaires et éruptives.

Les formations cristallophylliennes qui constituent le sous-sol de la région sont représentées par des quartzites, schistes quartzeux à biotite et muscovite, schistes verts tuffogènes à albite, calcaires cristallins, calcaires dolomitiques, cipolines et filonites; ces dernières se trouvent à proximité des lignes de fractures.

Les formations sédimentaires, bien développées au nord de la région, sont attribuées à l'Eocène (calcaires), à l'Oligocène (microconglomérats, grès, marnes, marno-calcaires) et au Quaternaire (terrasses, graviers).

Les formations éruptives sont représentées par des volcanites néogènes dans lesquelles se sont séparés, dans l'ordre de leur apparition à la surface, des tufs aéruitiques, microdiorites, pyroclastites du I^e cycle (agglomérats, tufs lithocristalloclastiques, tufs psammiques), andésites pyroxéniques inférieures, andésites basaltiques, pyroclastites du II^e cycle (agglomérats), andésites pyroxéniques supérieures, andésites à hornblende brune, andésites à hornblende verte, andésites à biotite, basaltes.

Les dernières manifestations de l'activité volcanique sont les mofettes et les sources bicarbonatées, dont l'une est en exploitation.

La tectonique de la région est relativement simple. On a identifié, dans les formations sédimentaires, un grand anticlinal courbé W-E, ayant l'aspect d'un arc qui s'incline vers le W, NW et N.

On a aussi identifié quatre principales zones de fractures, orientées NW jusqu'à NS. Sur ces lignes se sont installées les cheminées volcaniques qui ont constitué la voie d'accès vers la surface des volcanites andésitiques. Il est à remarquer qu'on a réussi, pour la première fois, à séparer les différents types de volcanites du châssis septentrional des monts Călimani.

En ce qui concerne l'âge des magmatites, on démontre que les éruptions commencent dans l'Oligocène, atteignent au paroxysme pendant le Miocène et finissent probablement durant le Quaternaire.

EXPLICATION DE LA PLANCHE

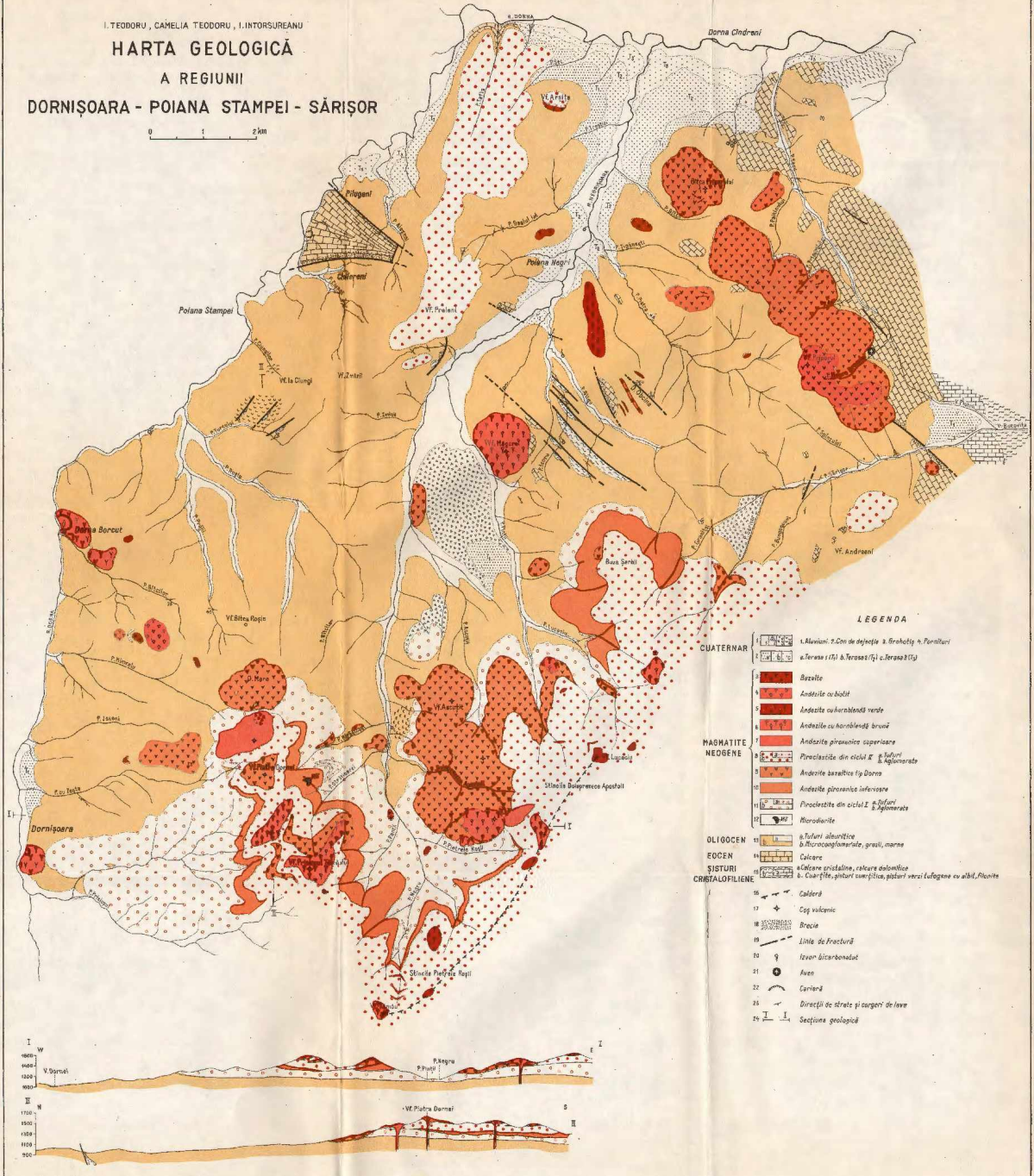
Carte géologique de la région de Dornișoara-Poiana Stampei-Sărisor.

Quaternaire : 1, 1, alluvions ; 1, 2, cône de déjection ; 1,3, éboulis ; 1,4, éboulements ; 2, a, terrasse 1 (T_1) ; b, terrasse 2 (T_2) ; c, terrasse 3 (T_3). Magmatites néogènes : 3, basaltes ; 4, andésites à blotite ; 5, andésites à hornblende verte ; 6, andésites à hornblende brune ; 7, andésites pyroxéniques supérieures ; 8, pyroclastites du 1^{er} cycle ; a, tufs, b, agglomérats ; 9, andésites basaltiques de type Dorna ; 10, andésites pyroxéniques inférieures ; 11, pyroclastites du 1^{er} cycle ; a, tufs ; b, agglomérats ; 12, microdiorites. Oligocène : 13, a, tufs aleuriatiques ; b, microconglomérats, grès, marnes. Eocène : 14, calcaires. Schistes cristalophylliens : 15, a, calcaires cristallins, calcaires dolomitiques ; b, quartzites, schistes quartzueux, schistes verts tuffogènes à albite, filonites ; 16, caldeira ; 17, cheminée volcanique ; 18, brèche ; 19, ligne de fracture ; 20, source bicarbonatée ; 21, aven ; 22, carrière ; 23, directions des couches et coulées de laves ; 24, coupe géologique.



I.TEODORU, CAMELIA TEODORU, I.INTORSUREANU
HARTA GEOLOGICĂ
 A REGIUNII
DORNIȘOARA - POIANA STAMPEI - SĂRIȘOR

0 1 2 km



Dări de seamă ale ședințelor vol. LVI (1968—1969)

1. MINERALOGIE — PETROLOGIE — GEOCHIMIE

PETROLOGIA ROCILOR METAMORFICE

CONSIDERAȚII ASUPRA MIGMATITELOR DIN VERSANTUL SUDIC AL MUNTILOR FĂGĂRĂȘ¹

DE

MIRCEA ARION², VIOREL IGNAT³

Abstract

Considerations on Migmatites of the Făgăraș Mountains Southern Slope. In this paper the migmatite character of the Cumpăna and Cozia gneisses is precisely defined on the basis of their structural and textural aspects, their petrographical and chemical composition, as well as their relationships with the adjacent mesometamorphic rocks. The migmatization of the pre-existing rocks due to some metamorphism, ultra-metamorphism and metasomatic processes has developed during three stages, subsequently to the main metamorphism process of the Cumpăna series.

În lucrarea de față expunem o parte din observațiile pe care le-am făcut în decursul cercetărilor efectuate pe teren și în laborator în perioada 1964—1968^{4,5,6,7} asupra gneiselor de Cumpăna și Cozia.

¹ Comunicare în sesiunea științifică a Întreprinderii Geologice de Prospecting din 19 martie 1969, București.

² Întreprinderea Geologică de Prospecting, Cal. Griviței nr. 64, București.

³ M.I.M.G. — Departamentul Geologiei, Str. Mendeleev nr. 34, București.

⁴ M. Arion, O. Anton, N. Ceaușu, I. Teaca, Ludmila Rădulescu, I. Rădulescu. Raport asupra prospecțiunilor geologice executate în M. Făgăraș, sectoarele: R. Vilsan-R. Doamnei, Arpaș, Nimaia. 1964, Arh. Com. Geol. București.

⁵ M. Arion, Gh. Popa, N. Ceaușu, V. Ignat, G. Pitulea, Dumitru Ignat, Al. Andrei, V. Teodorcanu. Raport geologic asupra prospecțiunilor pentru minereuri neferoase și elemente rare și disperse în reg. Izv. Argeșului-Riu Vilsan (M-ții Făgăraș). 1965. Arh. Com. Geol. București.

⁶ M. Arion, Gh. Popa, N. Ceaușu, Al. Andrei, V. Teodorcanu. Raport geologic asupra prospecțiunilor pentru minereuri neferoase în Baz. Topologului-V. Capra (M. Făgăraș). 1966. Arh. Com. Stat. Geol. București.

⁷ M. Arion, N. Ceaușu, Al. Andrei, V. Teodorcanu, N. Nedea. Raport geologic asupra prospecțiunilor pentru minereuri neferoase în regiunea dintre R. Olt și creasta Ciorteza-Zănoaga (Munții Făgăraș). 1967. Arh. Com. Stat. Geol. București.



Dintre lucrările mai importante cu caracter regional referitoare la structura geologică sau la constituția petrografică a versantului sudic al munților Făgăraș, menționăm pe cele datorate lui Reinhardt (1906, 1909), Ghika-Budești (1949), Manilici (1955) și Dimitrescu (1962, 1963, 1964, 1967).

Lucrările de prospecție efectuate în ultimul timp⁸ au contribuit la întregirea cunoștințelor asupra geologiei și petrografiei versantului sudic al munților Făgăraș, obținindu-se totodată o imagine precisă și foarte detaliată a dezvoltării tuturor formațiunilor constitutive.

În cadrul succesiunii formațiunilor cristaline stabilită inițial de Ghika-Budești în partea de W a masivului și adoptată cu unele modificări de Dimitrescu, în partea centrală, complexul⁹ rocilor migmatice face parte din seria de Cumpăna, dezvoltându-se în mod caracteristic în zona de Cumpăna-Cozia, că cel mai profund nivel al cristalinului.

Interstratificate cu gnaisele de Cumpăna și de Cozia¹⁰ apar intercalări de grosimi variabile constituite din diferite tipuri de paragnaise, amfibolite și micașisturi, metamorfozate în condițiile faciesului almandin-amfibolic.

Către nord se trece în mod gradat la micașisturile și paragnaisele faneroblastice cu staurolit și disten ale zonei de Măgura Ciinenilor.

În toate lucrările de prospecție¹¹ rocile constitutive ale formațiunilor cristalofiliene au fost grupate conform clasificării lui J. Jung și M. Roques în ecitinite și migmatite.

Zona de Cumpăna-Cozia se dezvoltă în axul anticlinoriului munților Făgăraș, constituind după Gherasi, Dimitrescu (1964) fundimentul întregii stive cristaline a acestei catene.

Complexul gnaiselor de Cumpăna și de Cozia formează o fișie neintreruptă între valea Oltului și Râul Doamnei, continuându-se spre est prin zona izvoarelor Dimboviței, pînă la Holbaș, pe cca 80 km lungime, atingind o lățime de 10—15 km.

El ocupă zone largi în elina sudică a Făgărașului și la sud de bazinul Loviștei, în creasta Cozia-Ghițu.

În cadrul ariei de răspindire a complexului migmatic se distinge

^{8,11} Op. cit. pct. 4—7.

⁹ Termenul de complex îl utilizăm în sens de entitate petrografică și genetică.

¹⁰ Păstrăm denumirea de „gnais de Cozia” și „gnais de Cumpăna” incătătenite în literatura geologică românească, cu precizarea caracterului migmatic al acestor roci.

o bandă centrală constituită din gnaise liniare de Cumpăna de la care se trece către nord și sud la gnaise oculare de Cozia.

Denumirea de gnais de Cozia a fost dată pentru prima oară de către Primes (1884) pentru a defini gnaisul „glandular” din defileul Oltului de la sud de Brezoi.

Termenul de gnais de Cumpăna îl datorăm lui Reinhardt (1909) fiind atribuit de acesta gnaisului granitic întărit în valea Argesului, în apropierea punctului Cumpăna.

Ulterior, Ghika-Budești (1940) preia acești termeni și separă o zonă a gnaisului de Cozia cuprinzând gnaisele oculare din creasta Coziei și o zonă a gnaisului de Cumpăna la nord de bazinul Loviștei.

Dimitrescu (1962-1964) și Pitulea¹² încadrează la tipul de Cozia toate gnaisele cu aspecte oculare iar la tipul de Cumpăna gnaisele cu aspect rubanat. Pitulea consideră că materialul pegmatoid care a dat naștere gnaiselor de Cozia-Cumpăna-Holbaș s-a injectat pe o mare zonă de fractură, el reprezentând fie apofizele unui mare batolit granitic, fie produsele de injecție ale unei zone anatectice profunde.

Un profil radiometric efectuat de Pitulea¹³ pe valea Vilsanului a evidențiat posibilitatea de a se separa radiostratigrafie diferențiate complexe și tipuri de roci pe baza radioactivității lor caracteristice; valorile cele mai ridicate ale radioactivității au fost constatate în gnaisele oculare, cărora le urmează în ordinea descrescăndă a acestor valori gnaisele lenticulare, gnaisele granitice, gnaisele rubanate și liniare, micașturile, paragnaisele, șișurile biotito-amfibolice și amfibolitele.

Ulterior, Dimitrescu (1967) subliniază că trebuie făcută o distincție între cele două tipuri de gnaise, axată nu atât pe prezența lentilelor de feldspat ci pe caracterul masei de bază (paleosomului) rocilor respective și susține o geneză și un moment de formare diferit pentru fiecare tip în parte.

În ceea ce privește geneza complexului de gnaise migmatice de Cumpăna-Cozia, numeroși cercetători dintre care Mrazec (1897), Reinhardt (1906, 1909), Murgoci (1923), Schmidt (1930), Strecker (1933) admit originea sa magmatică având în vedere compoziția mineralologică și chimică a acestor gnaise, asemănătoare granitelor.

¹² G. Pitulea. Raport asupra prospecțiunilor geologice în masivul Făgăraș (zona de izvoare a Riuului Doamne). 1960. Arb. Com. Stat. Geol. București.

¹³ Op. cit. pet. 5.

Ghiță-Budești (1940) consideră că gnaisele de Cumpăna și Cozia s-au format prin injecția unor fluide feldspatice generate de transformarea sedimentelor în zone profunde de ultrametamorfism.

Dimitrescu caracterizează gnaisele de Cozia și de Cumpăna ca embreșite sau metablastite și respectiv anatexite sau metatectite, admitând inițial că reprezintă „roci paragnaisice în care s-a produs un aport de substanță feldspatică pe calc metasomatică”. Ulterior consideră că gnaisele rubanate sau liniare de Cumpăna s-au format printr-un proces de diferențiere metamorfică, concomitent cu metamorfismul seriei de Leaota.

Dessila-Codarcea (1962, 1965) susține pentru prima oară posibilitatea derivării gnaiselor din seria Cumpăna-Cozia din depozite terigene, lave sau tufuri acide, prin procese de metamorfism regional izochimic, ipoteză extinsă ulterior și pentru munții Făgăraș (1966) și acceptată de Gherasi et al. (1966) pentru masivul Iezer-Păpușa.

Efectuarea cercetărilor în aria de maximă dezvoltare a complexului migmatitic, într-o zonă unde cursurile principale de apă (valea Argeșului, valea Vilsanului și Râul Doamnei) oferă profile transversale deosebit de favorabile investigațiilor, ne permit clarificarea unora din problemele legate de constituția, aspectele morfologice, relațiile structurale și geneza acestor roci.

Apartenența rocelor migmatitice la cele două tipuri principale descrise de majoritatea cercetătorilor menționați (gnaise de Cumpăna și gnaise de Cozia) este evidentă, oferind posibilitatea delimitării lor, stabilirea relațiilor reciproce și a relațiilor cu parrocile adiacente. Ea este impusă în primul rînd de caracterile structurale și texturale ale fiecărui tip în parte.

Gnaisele de Cumpăna sint caracterizate prin structuri granoblastice, texturi pregnant liniare sau rubanate, uneori masive și o compoziție de natură granică. Spre W, gnaisele de Cumpăna apar numai pînă în versantul drept al văii Argeșului, în timp ce la E depășesc limitele regiunii cercetate de noi. Ele formează partea inferioară a complexului migmatitic suportînd pachete de gnaise oculare sau de paragnaise, micașisturi și amfibolite. Cu totul sporadic au fost remarcate către partea lor superioară intercalări subțiri de roci amfibolice sau de paragnaise.

Au fost deosebite trei subtipuri principale: gnaise granitice, gnaise liniare și gnaise rubanate între care există tranziții.

Un fapt deosebit, remarcat pentru prima dată, îl constituie prezența la partea inferioară a gnaiselor de Cumpăna, în masa gnaiselor granitice

și liniare din valea Vilsanului a unor enclave de paragnaise și rareori de gnais amfibolice (pl. I, fig. 1). Asupra acestora vom reveni mai jos.

Gnaisul granitic apare în general în zonele cele mai probe ale complexului migmatic formând o serie de butoniere în axul anticinalului zonei de Oumpăna-Cozia. El este o rocă larg cristalizată, cu textură masivă cu o vagă tendință de orientare a mineralelor femice în unele porțiuni (pl. I, fig. 2). Este constituit din microclin (25-40%) în cristale larg dezvoltate cu macle caracteristice, plagioclaz-albit-oligoclaz (25-30%) maclat după legea albit și albit-periclin, cuarț (20-40%), biotit (5-12%) în agregate și lamele larg dezvoltate și subordonat pertit, mirmecit, muscovit, granat, apatit, zircon, sporadic sericit, clorit, clinozoit și calcit de natură secundară. Microclinul conține frecvente incluziuni de plagioclaz în general sericitat, bordate adesea de agregate albitice de neoformăție, concreșteri mirmecitice de cuarț, biotit și apatit.

Remarcăm caracterul neomogen al distribuției mineralelor leucocratic și melanocratic și al texturii, fapt care, asociat cu prezența unor agregate difuze biotitice (restit?) și a unor enclave (xenolite) de dimensiuni reduse de paragnaise biotitice (pl. I, fig. 3), ar presupune o origine anatectică litogenă a acestor roci.

În același sens pledoază lipsa fenomenelor de contact termic la limita gnaisului granitic cu rociile adiacente sau în enclavele de paragnaise pe care le include.

Analiza chimică a unei probe de gnais granitic colectată din valea Vilsanului (analist Carmen Grigore) indică următoarea compoziție procentuală:

TABELUL 1

Compoziție	SiO ₂	TiO ₂	Al ₂ O ₃	Fe ₂ O ₃	FeO	MnO	MgO	CaO	Na ₂ O	K ₂ O	P ₂ O ₅	S	H ₂ O ⁺¹⁰⁵	H ₂ O ⁻¹⁰⁵
%	71,96	0,12	11,14	1,10	1,16	0,35	1,94	2,92	4,10	4,00	0,15	0,16	0,92	0,14

Valorile parametrilor Niggli: $Si = 346$, $al = 36,6$, $fm = 22$, $c = 15$, $alk = 31$, $k = 0,38$, $mg = 0,68$, $c/fm = 0,68$ corespund unei magme granitice (tip adamelitic).

Gnaisul liniar reprezintă subtipul principal, reprezentativ al gnaiselor de Cumpăna. Elementul specific al acestei roci îl formează dezvoltarea unor largi lamele (1-2/0,2-0,5 cm) sau agregate de biotit,

dispuse în fișii discontinue, paralele, care și imprimă o textură liniară caracteristică (pl. II, fig. 1). Prezintă o structură granoblastică sau granoporfiroblastică. În contrast cu orientarea evidentă a lamelelor sau fișilor de biotit, mineralele leucocrate nu prezintă în general o orientare preferențială. Compoziția mineralologică este asemănătoare cu a gnaisului granitic remarcându-se o ușoară creștere procentuală a microclinului (27-45%) și a biotitului (8-20%). În proporții reduse mai apar muscovitul, apatitul, zirconul, granatul și ilmenitul, iar secundar sericitul și calcitul.

În aceste gnaise apar pe alocuri lentile de microclin de dimensiuni reduse (sub 2/1 cm) alungite în direcția liniației sau oblice față de aceasta, cărora le lipsește învelișul micaceu obișnuit al porfiroblastelor din gnaisele de Cozia (pl. II, fig. 2). În raport cu creșterea distanței față de gnaisul granitic se observă o creștere cantitativă a biotitului, agregatele liniare unindu-se în fișii, roca dobândind un aspect rubanat. Privită în plan transversal pe liniație (ac) roca prezintă un aspect deosebit, agregatele de biotit nefiind totuși asociate în plane micacee continute ca în cazul gnaisului rubanat propriu-zis (pl. II, fig. 3).

Subliniem creșterea frecvenței și a dimensiunilor (pînă la 30-40/10-20 cm) enclavelor de paragnaise și sporadic de gnaise amfibolice prinse în gnaisele liniare, alungite în general în sensul liniației (pl. II, fig. 1) dar discordante față de sistozitate (pl. III, fig. 2). Contactul dintre enclave și gnaisul migmatitic liniar este tranșant (pl. III, fig. 3). La microscop, în zona contactului, se observă o creștere a frecvenței ineluziunilor pe biotit și plagioclaz în cristaloblastele de microclin.

Enclavele de paragnais sunt constituite din 29% feldspat plagioclaz (oligoclaz), 36% cuart, 22% biotit, muscovit, zircon, clinozoit și sporadic sericit și elorit formate pe seama plagioclazului și biotitului. Granulația lor este foarte fină în comparație cu cea a gnaisului liniar (pl. IV, fig. 1). Este demnă de reținut compoziția mineralologică și cristalinitatea deosebită dintre gnaisul liniar și enclave, evidențiată de prezența în gnais a microclinului și a biotitului larg cristalizat, evident deosebit de biotit din enclave, cît și lipsa feldspatului potasic în acesta din urmă (pl. IV, fig. 2). Abundența lamelelor larg dezvoltate de biotit, asociate în agregate (șiruri) alungite conform sistozității în zonele cu frecvențe enclave de paragnaise biotitice (pl. I, fig. 1) atestă asimilarea paragnaiselor de către neosomul cuarț-feldspatic și recristalizarea biotitului, în timpul migmatizării. Au fost observate uneori lamele mari de biotit din a doua generație și în enclavele de paragnais (pl. V, fig. 1). Prezentăm

mai jos, comparativ, compoziția chimică a unui gnais liniar și a enclavei de paragnais pe care o cuprinde (analisti G. Răeiu, F. Negoiescu):

TABELUL 2

Compoziție %	Gnais liniar (Pr. 22 A)	Paragnais (Pr. 22 B)
SiO ₂	70,00	61,30
TiO ₂	0,40	0,80
Al ₂ O ₃	14,00	20,29
Fe ₂ O ₃	0,85	1,30
FeO	2,30	6,11
MnO	0,05	0,07
MgO	0,90	2,30
CaO	2,40	2,35
Na ₂ O	3,60	2,80
K ₂ O	5,10	1,40
P ₂ O ₅	0,15	0,26
H ₂ O + 10%	0,50	0,50
H ₂ O - 10%	0,60	0,07

Se constată o creștere evidentă a valorilor procentuale a alcaliilor și a silicei și o scădere a componenților fero-magnezieni în gnaisul liniar față de paragnais, fapt pe care ni-l explicăm printr-un apport de alcalii și silice sub forma unui fluid de compoziție granitică.

Gnaisul rubanat (lit-par-lit) se întâlnește de obicei în zonele marginale ale gnaiselor liniare, făcând trecerea gradată prin gnaise rubanate fine (pl. V, fig. 2) la paragnaise. Sunt roci de granulație medie formate din benzi continue de minerale melanocrate (biotit și rareori amfibol) alternând cu benzi cuarț-feldspatice sau predominant feldspatice, cu grosimi cuprinse între 2 și 5 mm.

În comparație cu gnaisul liniar, în gnaisul rubanat apare în general o cantitate mai mare de biotit și cuarț și o cantitate mai mică de feldspat potasic-microclin (pl. V, fig. 3). Acestora li se asociază oligoclazul parțial sericitizat și subordonat muscovit, granat, apatit, zircon, titanit, zoizit și minerale opace.

Intercalații subțiri de gnais rubanat apar și în cuprinsul gnaiselor de Cozia, asociate de obicei unor benzi de paragnaise sau gnaise amfibolice.

Subliniem variația mineralologică și structurală a elementelor componente și a texturilor diferitelor subtipuri ale gnaiselor de Cumpăna. Astfel, se observă o creștere a conținutului în feldspat potasic și o ușoară scădere

procentuală a biotitului o dată cu trecerea de la paragnaise la gnaise rurbanate, gnaise liniare și respectiv la gnaise granitice.

De altfel și alți autori (Maniliici, 1955, 1957) au constatat scădereea treptată a cantității de microclin „spre exteriorul zonelor de injecție” și absența sa în paragnaise și micașisturi.

Procesul de migmatizare pare să se fi realizat prin infiltratie „lit-par-lit” însoțită de o difuziune intergranulară, a unui fluid dens supra critic, bogat în elemente alcătuite, într-un paleosom cuarțo-feldspato-micaceu (paragnaise, gnaise amfibolice, micașisturi feldspatiche).

În condițiile înaintării acestui front migmatic în sensul lui Wegmann s-a realizat o accentuată mobilitate a elementelor.

Pentru a ilustra schimbările de ioni care au avut loc în procesul de migmatizare am calculat valorile celnlei Barth pe baza compoziției chimice procentuale a gnaiselor granitice (pr. 28), gnaiselor liniare (pr. 22A) și paragnaiselor (pr. 22B), pe care le prezentăm în tabelul 3.

TABELUL 3

Natura rocii	Paragnais (Pr. 22 B)	Gnais liniar (Pr. 22 A)			Gnais granitic (Pr. 28)		
		Celula Barth	Celula Barth	+	-	Celula Barth	+
K	1,66	5,72	4,06			4,42	2,76
Na	4,84	6,14	1,30			6,96	2,12
Ca	2,26	2,28		0,02		2,74	0,48
Mg	3,77	1,16		2,61		2,53	
Fe	5,47	2,28		3,19		1,57	3,90
Al	21,48	14,32		7,16		11,44	10,04
Si	55,14	61,72	6,58			63,02	7,61
Ti	0,54	0,25		0,29		0,07	0,47
P	0,1	0,1					
OH	3,02	2,96		0,06		6,22	3,20
O	156,98	157,04				153,78	

Se constată deci o îmbogățire în K, Na și Si și o diminuare în Al, Fe, Mg, Ca, Ti la trecerea de la paragnais la gnaisul liniar și respectiv la gnaisul granitic. Creșterea anormală a calciuului în cazul gnaisului granitic se datorează calcitului dezvoltat secundar pe unele fisuri din gnaisul analizat.

Intensitatea procesului de migmatizare crește cu adineimea, fapt atestat de compoziția, aspectele structurale, texturile și de poziția geo-

metrică a subtipurilor gnaiselor de Cumpăna. Trecerea gradată de la un subtip la altul arată o migmatizare progresivă și continuă.

Prezența enclavelor de paragnaise etc., caracterele pe care le prezintă și relațiile dintre ele și rocile migmatice în care sunt prinse, presupune formarea acestora din urmă și respectiv plasarea procesului de migmatizare într-o fază de metamorfism ulterioară metamorfozării enclavelor.

Procesul principal de metablastează cu aport de substanță a fost însotit de metasomatoză redusă, sugerată de porfiroblastele de microclin dezvoltate în general oblice în raport cu liniația căt și de unele contururi difuze sau concreșteri mîrmecitice, albitezări etc., produse pe spații mici.

Gnaisele de Cozia (embresite după J. Jung, M. Roques) sunt rocile cele mai răspândite ale complexului migmatitic din versantul sudic al munților Făgăraș, formind benzi cu grosimi de ordinul zecilor sau sutele de metri, alternând cu pachete de paragnaise, micașisturi și amfibolite, cu cristalinitate avansată. Elementul caracteristic al acestor roci îl constituie prezența fenoblastelor de feldspat de dimensiuni variabile (0,5-10 cm lungime) prinse într-o masă în general șistoasă. Forma ochiurilor feldspatică este în mod obisnuit ovoidală, dar se întâlnesc și forme sferoidale sau lenticulare. Raportul dintre ochii de feldspat și masa interoculară variază în limite largi.

În funcție de mărimea ochiurilor și în mai mică măsură de raportul dintre acestea și masa interoculară (în general dificil de stabilit macroscopic) se pot deosebi ca subtipuri principale ale gnaiselor de Cozia : gnaise oculare, gnaise lenticulare și gnaise nodulare.

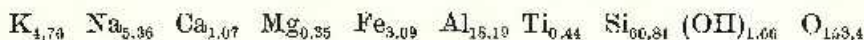
G naisul o c u l a r propriu-zis prezintă ochiuri de dimensiuni mari, care depășesc de obicei 2,5 cm, atingând uneori 10-12 cm lungime, cuprinse într-o matrice șistoasă predominant micacee de regulă subordonată cantitativ ochiurilor (pl. V, fig. 4 ; pl. VI, fig. 1). Ochiurile sunt formate în cea mai mare parte din microclin (60-90%) și pertit (10-20%) și includ cristaloblaste de albît-oligoclaz sericitizat (6-10%), cuarț (1-8%), biotit (1-3%), muscovit (1%) și apatit (pl. VI, fig. 2), izolate sau în aggregate. La contactul microclinului cu plagioclazul apar adesea granoblaste de albît de neoformare și concreșteri mîrmecitice (pl. VI, fig. 3). Ochiurile feldspatică sunt mulate de obicei de lamele de biotit și subordonat muscovit mai larg dezvoltate decât în masa de bază. Aceasta din urmă (paleosomul) conține cuarț, albît-oligoclaz, microclin, apatit, granat, zircon și clinozoit, care se asociază mineralelor micacee.

Între vîrful Scroafa și muntele Lespezi se dezvoltă o bandă de gnaise oculare cu megablaste de microclin de 5-10 cm lungime (pl. VII, fig. 1), în proporție de 50-70%; matricea fiind constituită din cuarț (30-40%), feldspat-plagioclaz, microclin, pertit (32-48%), biotit (5-15%), muscovit (10-12%), și subordonat clorit, sericit, epidot, granat și apatit. Acest gnais pe care l-am denumit „de Lespezi” este bine deschis în valca Vîlcanului (pl. VII, fig. 2). Analiza chimică a unei probe (analist S. Iliescu) indică următoarea compoziție procentuală:

TABELUL 4

Compoziție	SiO ₂	TiO ₂	Al ₂ O ₃	Fe ₂ O ₃	FeO	MnO	MgO	CaO	Na ₂ O	K ₂ O	P ₂ O ₅	S	H ₂ O + 165°	H ₂ O - 105°
%	67,50	0,62	17,20	1,58	2,88	0,07	0,28	1,10	3,10	4,15	0,21	0,06	0,28	0,23

Valorile celulei Barth sunt următoarele:



Analiza parțială a unui ochi format preponderent din microclin (analist I. Anastasiu) indică următoarea compoziție chimică:

TABELUL 5

Compoziție	SiO ₂	Al ₂ O ₃	Fe ₂ O ₃	MgO	CaO	Na ₂ O	K ₂ O
%	62,70	20,33	0,42	urme	0,7	2,84	10,00

Remarcăm conținutul ridicat în alcalii (raport Na/K = 1/3) și un conținut relativ scăzut în elementele fero-magneziene (legate în general de biotit).

Deosebit de interesantă este apariția în unele puncte ale gnaisului de Lespezi a unor megaeristale idiomorfe de feldspat potasic (10/4 cm) în formă de „dinte de cal”, dispuse oblic în raport cu șistozitatea (pl. VII, fig. 3) asemănătoare cu cele cunoscute în masivul Tismana (Răileanu et al., 1967). Ele sunt foarte frecvente în vîrful Dobroneagu (pl. VII, fig. 4; pl. VIII, fig. 1).

Dezvoltarea mare a gnaiselor de Lespezi a ridicat problema investigării posibilităților de valorificare a feldspatului din aceste roci. Încercările

tehnologice în fază laborator a unei probe de gnais ocular de Lespezi colectată din valea Vilsanului, efectuate la Institutul Geologic au indicat calitatea corespunzătoare utilizării în industria ceramică a concentratului de feldspat¹⁴.

Gnaisul lenticular se deosebește de cel ocular prin dimensiunile mai mici ale porfiroblastelor lentiliforme de feldspat potasic, cuprinse între 1 și 2,5 cm, care apar în procent mai redus în raport cu masa fundamentală, predominant cuarț-feldspatică. Cantitatea de minerale micacee este mai scăzută iar dimensiunile lor sunt în general mai mici. Lentilele feldspatică sunt mai pure, cu foarte puține incluziuni, iar trecerea la masa interoculară nu mai este marcată de un înveliș micaceu continuu ca în cazul subtipului ocular (pl. VIII, fig. 2).

Gnaisul nodular reprezintă un termen de tranziție între migmatitele de tip Cozia și oecinită, fiind caracterizat prin nodule de feldspat potasic subcentimetrice care punctează fondul rocilor gazdă, de obicei paragnaise sau micașturi slab feldspatică (pl. VIII, fig. 3).

Acestor trei subtipuri principale și în special gnaiselor nodulare de la partea periferică a complexului migmatic le sunt asociate, așa cum am mai arătat anterior, pachete de gnaise rubanate fine. Dimensiunile reduse ale granulelor sau fișilor milimetrice discontinue de feldspat potasic pe care le conțin, se datorează caracterului mai compact al rocii initiale, în general mai cuarțoase și unui aport neînsemnat de alcalii.

Între subtipurile gnaiselor de Cozia se observă tranziții determinate pe de o parte de natura rocilor preexistente și gradul lor de omogenitate și pe de altă parte de intensitatea aportului alcalin.

Sunt demne de semnalat gnaisele oculare și lenticulare care apar în cursul inferior al văii Cornatul (amonte de pârâul Tisei) extinzându-se la est până în Riu Doamnei. În aceste roci porfiroblastele de microclin sunt înconjurate de lamele de clorit provenite prin cloritizarea biotitului. Biotitul și plagioclazul masei fundamentale sunt de asemenea cloritizați și sericitizați în urma unui intens proces de diaforeză. Fenoblastele de microclin includ pseudomorfoze de clorit.

Gnaisele oculare de Cozia sunt situate în general la partea superioară, externă, a complexului migmatic.

Caracterul migmatic al acestor roci este atestat de prezența unui nesom format din feldspati blastică și agregate poliminerale răspândit

¹⁴ I. Huber-Panu, C. Pădelescu, Georgeta Polici, Maria Borcea. Cercetări privind posibilitățile de valorificare pentru feldspat a gnaiselor oculare de pe V. Vilsanului (M. Făgărăș), 1987. Arh. Com. Stat. Geol. București.

sub formă de „ochi” într-un paleosom mai vechi și căruia textură relictă și stoasă este în general păstrată, precum și de dezvoltarea unor megabioblaste de microclin datorate creșterii metasomaticice a feldspatului potasic.

Subdivizarea tipurilor descrise între care se remarcă tranziții, a avut în vedere mai ales raporturile spațiale ale componentelor determinate de natura petrografică și poziția spațială a rocilor preexistente și de variația cantitativă a materialului de aport pe verticală; constatăndu-se în general o zonalitate a procesului de migmatizare.

Intensitatea migmatizării a fost determinată cum s-a mai arătat, de gradul de omogenitate a rocilor preexistente, influențat la rândul său de procese de catenelazare, laminare și forfecare care au creat zone favorabile de acces și stabilizare substanțelor alcaline.

Acumularea preferențială a materialului feldspatic în gnaissul de Lespezi și aspectele megabioblastice cu tendințe de idiomorfism ale cristalelor corespund insinuarii soluțiilor într-o astfel de zonă favorabilă, predominant micaceo avind în acoperiș un nivel gros de amfibolite cu rol de ecran în calea acestor soluții.

În intercalările de paragnaise, mai compacțe, granoblastice, în general mai cuartitice, cantitatea de feldspat potasic și dimensiunile pe care le prezintă porfiroblastele scad constant.

Asocierea feldspatului potasic cu granatul și cu alte minerale ale mezostazei, pe care le include, indică introducerea sa în rocă ulterior blas- tezelor acestor minerale.

Recent, Lemne (1970) constatănd că și Pitulea¹⁵ creșterea valorilor radioactivității în gnaisele oculare în raport cu ectinitile din munții Făgăraș datorită concentrației ridicate în thoriu, consideră că acest fapt ar sugera „un aport de substanță în gnaisele migmatice, prin fluide care ar fi transportat surplusul de thoriu și cel de potasiu”.

Introducerea materialului alcalin și cristalizarea sa în granule și forme ocelare dispuse în planul șistozitatii căt și în cristale mari, deseori idiomorfe, oblice în raport cu șistozitatea, sugerează desfășurarea în două etape a procesului de formare a gnaiselor de Cozia; o primă etapă sincinematice sau tardecinematică și o a doua postcinematică cu un pronunțat caracter metasomatic.

În prima etapă, creșterea ocelilor a avut loc prin recristalizare în condițiile unui aport de soluții bogate în alcalii și silice, însoțită de o meta-

¹⁵ Op. cit. pct. 13.

somatoză pe spații reduse; mineralele micacee (biotit, muscovit) au recristalizat în lamele largi care mulează ocelii. Continuitatea materialului feldspatic interocelar, care leagă adesea ocelii între ei, indică insinuarea soluțiilor pe planele de șistozitate. Teori, se pot observa lentele lisiiforme pegmatitice concordante în cadrul gnaiseelor de Cozia (20-60/10-20 cm), având o compoziție mineralogică asemănătoare ochiurilor din gnaise (pl. VIII, fig. 4). Inclinația le consideră formate prin cristalizarea soluțiilor reziduale pegmatitice ale aceleiași surse.

Etapa a doua corespunde cristalizării idiomegablastelor de microclin cu aspect de „dinți de căl” caracteristice proceselor metasomatico-postcinematice de temperatură mai scăzută. Într-un stadiu inițial al acestei etape s-au format probabil și ocelii diagonali pe șistozitate din gnaisele de Cozia și de Cumpăna (pl. VII, fig. 2; pl. VII, fig. 3; pl. VIII, fig. 1).

Concluzii. Gnaisele de Cumpăna și de Cozia reprezintă rezultatul suprapunerii unor procese complexe de metamorfism și de ultrametamorfism din zona axială a structurii orogene a masivului Făgăraș.

Procesele de migmatizare desfășurate în partea inferioară a seriei de Cumpăna presupunem că au avut loc datorită avansării unui fluid de natură granitică sub forma unui front migmatic, în sensul admis de Wegmann ca efect al unui proces de anatexie.

Termenul inferior al gnaiseelor de Cumpăna-gnaisul granitic se pare că reprezintă cupola unui granit anatectic, probabil bine dezvoltat în adâncime. La limita gnaisului granitic cu rocile adiacente nu au fost observate fenomene de contact termic.

În cadrul complexului migmatic gnaisele oculare de Cozia se plasează la partea superioară, externă, a celor de Cumpăna.

Se remarcă o zonalitate a procesului de migmatizare ilustrată de succesiunea spațială a diferitelor subtipuri: gnaise granitice-liniare-rubanate (de Cumpăna) și oculare-lenticulare-nodulare (de Cozia), ca efect al creșterii aportului alcalin cu adâncimea.

Migmatizarea a fost influențată de asemenea de gradul de omogenitate al rocilor preexistente.

Diferitele aspecte pe care le îmbracă migmatitele din versantul sudic al Făgărașului, relațiile reciproce dintre ele și raporturile cu ectinitetele, sugerează formarea lor în trei etape succesive.

Într-o primă etapă a avut loc injectarea sincinematică „lit-parlit” și difuziunea intergranulară a unui neosom fluid granitic într-un

complex de roci metamorfice cuarțo-feldspatice, rezultând gnaisele de Cumpăna.

O a doua etapă corespunde formării gnaiselor de Cozia și dezvoltării sporadice a unor oceli în gnaisle de Cumpăna, printr-un proces de recristalizare însoțit de o metasomatizare pe spații restrânse, sub influența unui aport de alcalii și silice sub formă de soluții supracritice apoase. Însinarea sincinematică sau tardecinematică a acestor soluții pe planele de șistozitate și formarea aspectelor ocelare a fost precedată de procese de cataclazare, laminare etc. De această etapă trebuie legate și lentilele sau filoanele concordante de pegmatite și aplite.

Etapa a treia este caracterizată prin creșterea metasomatică a unor megaeristale idioblastice de feldspat potasic cu aspect de „dinți de cal” care tăie sub diferite unghiuri șistozitatea. Într-un prim stadiu al acestei etape au cristalizat probabil și ocelii oblici pe șistozitate din gnaisele de Cumpăna și Cozia.

Intercalațiile de gnaise rubanate fine din stiva gnaiselor de Cozia se pare că aparțin primei etape de migmatizare.

În ceea ce privește încadrarea spațială și în timp a procesului de migmatizare, din cele prezентate conchidem că prima etapă și deci formarea gnaiselor de Cumpăna a avut loc ulterior metamorfismului principal al seriei de Cumpăna, fapt atestat de enclavele de paragnaise etc., prinse în aceste gnaise.

Gnaisele de Cozia ar rezulta că s-au format ulterior retromorfismului părții superioare a seriei de Cumpăna, având în vedere gnaisele oculare cloritoase din zona râul Cernat-valea Doamnei, incluziunile de minerale metamorfice preexistente din ocelii de microclin și injecțiile lenticuliforme pegmatitice care afectează textura rubanată a unor gnaiso de tip Cumpăna (pl. VIII, fig. 5).

Procesele metasomatice din etapa a treia au avut loc după formarea masei principale a gnaiselor de Cumpăna și Cozia.

Întrucât în cristalinul Făgărașului nu se cunosc gnaise de tip Cumpăna sau Cozia la nivele superioare seriei de Cumpăna, rezultă că înaintarea frontului migmatic nu a depășit limitele acestei serii și deci că gnaisele de Cumpăna și Cozia rămân formațiuni caracteristice pentru această serie.

Considerațiile prezентate reprezintă un punct de vedere rezultat din interpretarea datelor pe care le cunoaștem privind unele aspecte struc-

turale, texturale și genetice ale gnaieselor de Cumpăna și de Cozia. Elucidarea acestor probleme complexe rămîne să fie realizată prin continuarea studierii acestor formațiuni în viitor.

BIBLIOGRAFIE

- Codarcea-Dessila Marcela (1962) Încercare de reconstituire paleogeografică și orogenetică a Carpaților Meridionali Centrali. *Stud. cerc. geol.*, 7, 3-4, București.
- (1964) Considerații asupra stratigrafiei, genezei și structurii formațiunilor cristalofiliene din Carpații Meridionali Centrali (regiunea Răřinari-Cisnădioara-Sadu). *An. Geol. Geof.* XXXIV, București.
 - (1965) Studiu geologic și petrografic al regiunii Răřinari-Cisnădioara-Sadu. *Mem. Com. Geol.* VI, București.
 - (1966) Căi noi în descifrarea evoluției geologice a terenurilor cristalofiliene. *Stud. cerc. geol. geof. geogr. seria geol.* 11, 2, București.
- Dimitrescu R. (1962) Studiu geologic și petrografic al părții de est a masivului Făgăraș. *D. S. Com. Geol.* XLVII, București.
- (1963) Structura părții centrale a munților Făgărașului. *Asoc. Geol. Carp.-Halc. Congr.* V, II, București.
 - (1967) Contribuții privind evoluția structurală a masivului Făgăraș. *Soc. șt. nat. geogr.* IV, București.
- Dimotte G. (1962) Observații geologice, petrografice asupra cristalinului din versantul sudic al munților Făgăraș între valea Oltului și vîrful Suru. *An. Univ. Buc. Soc. șt. nat. geol. geogr.* XI, 32, București.
- Gherasi N., Dimitrescu R. (1964) Structura geologică a masivului Ezer-Păpușa (bazinul Riu Tîrgului). *D. S. Com. Geol.* XLIX, București.
- Manilici V., Dimitrescu R. (1966) Studiu geologic și petrografic al masivului Ezer-Păpușa. *An. Com. Stat. Geol.* XXXV, București.
- Ghika-Budești Șt. (1940) Les Carpates méridionales centrales. *An. Inst. Géol. Roum.* XX, București.
- Gișcă D., Biloiu M., Rădulescu D., Stiopol Victoria, Dimitrescu R. (1958) Studiu petrografic al masivului Poiana Rusă de sud-vest. *D. S. Com. Geol.* XL, București.
- Lemne M. (1970) Contribuții privind răspîndirea elementelor radioactive și sisturile cristaline din masivul Făgăraș. *D. S. Inst. Geol.* LV/1, București.
- Manilici V. (1955) Cercetări petrografice și geologice în regiunea Riu Doamnei-riu Cernat. *D. S. Com. Geol.* XXXIX, București.
- (1956) Studiu petrografic al rocilor eruptive mezozoico din regiunea Poiana Mărului-Sinec Nouă-Holba. *An. Com. Geol.* XXIX, București.
- Mrazec L. (1897) Essai d'une classification des roches cristallines de la zone centrale des Carpates roumaines. *Bull. Soc. Sci. Buc. An.* VI, București.
- (1930) Observații la comunicarea lui O. Schmidt : Scurtă expunere asupra rezultatelor cercetărilor geologice făcute în regiunile cristaline ale Carpaților Meridionali. *D. S. Inst. Geol. Rom.* XVII, București.

- Murgoci G. M. (1923) Sinteză geologică a Carpaților de sud. *D. S. Inst. Geol. Rom.* I, București.
- Pavelcescu L., Dimitrescu R. (1966) Contribuții la studiul structurii și genezei masivului granitic de Tismana. *D. S. Com. Geol.* LII/1, București.
- Primics Gr. (1884) Die Geologischen Verhältnisse der Ungarischen Alpen und des benachbarten rumänischen Gebirges. *Mitt. d. Ak. d. ung. Geol. Anst. Bd.* VI, Budapest.
- Răileanu Gr., Bercia I., Pop Gr. (1967) Asupra vîrstei unor roci granitoide din munții Ilievo (Carpați Meridionali). *D. S. Com. Stat. Geol.* LIII/1, București.
- Reinhardt M. (1906) Der Coziagnesszug in den Rumänischen Karpaten. *Bul. Soc. Șt.* XV, București.
- (1909) Die Kristallinen Schiefer des Făgăraș Gebürges in den Rumänischen Karpathen. *An. Inst. Geol. Rom.* III, București.
- Schmidt O. (1930) Cercetări geologice în ramificațiunile nord-estice ale munților Făgăraș. *D. S. Inst. Geol. Rom.* XV, București.
- Streckeisen A. (1933) Sur tectonique des Carpates Méridionales. *An. Inst. Géol. Roum.* XVI, București.
- Wegmann E. (1935) Zur Deutung der Migmatite. *Geol. Rundsch.* 26, 5.
- Winkler F. G. H. (1962) Genesen von Graniten und Migmatiten auf Grund neuer Experimente. *Geol. Rundsch.* 51, Stuttgart.

CONSIDÉRATIONS SUR LES MIGMATITES DU VERSANT MÉRIDIONAL DES MONTS FĂGĂRAŞ

(Résumé)

On y présente les caractères pétrographiques structuraux, texturaux et le chimisme des gneiss de Cumpăna et de Cozia ainsi que leurs rapports avec les roches métamorphiques adjacentes qui attestent le caractère migmatique de ces gneiss.

On remarque une division en zones du processus de migmatisation, illustrée par la succession spatiale de différents sous-types : des gneiss granitiques, linéaires-rubanés (de Cumpăna) et ocellés-lenticulaires-nodulaires (de Cozia) comme effet de l'augmentation en profondeur de l'apport en alcalis et en silice.

Le processus de migmatisation s'est déroulé en trois étapes : dans la première étape se sont formés les gneiss de Cumpăna par l'injection syncinétique *lit-par-lit* d'une néosome fluide granitique. La deuxième correspond à la formation des gneiss de Cozia et au développement discontinu de certains ocelles dans les gneiss de Cumpăna par recristallisation et métasomatose sur petits espaces sous l'influence des solutions riches en alcalis et en silice. La troisième étape est caractérisée par l'augmentation métasomatique de certaines mégablastes parfois idiomorphes à aspect de „dents de cheval”, généralement obliques par rapport à la schistosité.

L'intensité de la migmatisation a été aussi influencée par le degré d'homogénéité des roches préexistantes.

Le processus de migmatisation a eu lieu ultérieurement au métamorphisme principal de la série de Cumpăna, fait prouvé par les enclaves de paragneiss comprises dans les gneiss de Cumpăna et par les inclusions de minéraux métamorphiques préexistants des ocelles de microcline des gneiss de Cozia.

PLANSA I



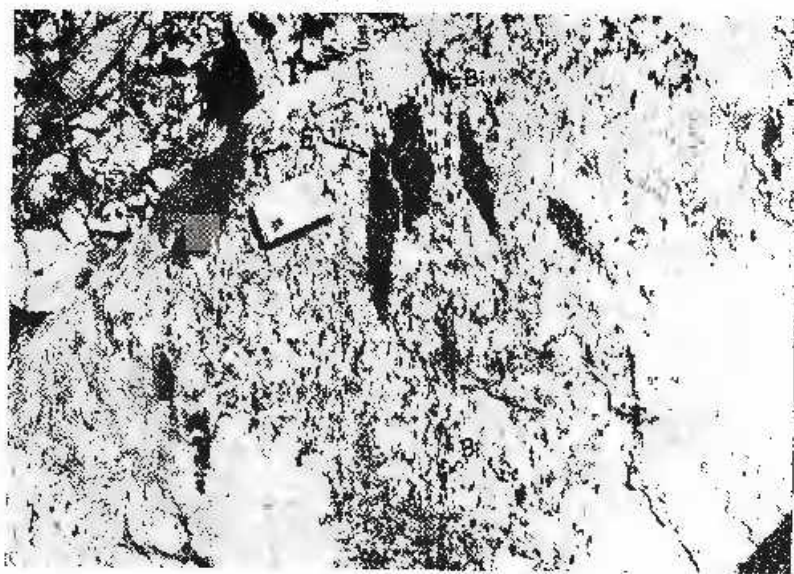
Institutul Geological al României

PLANŞA I

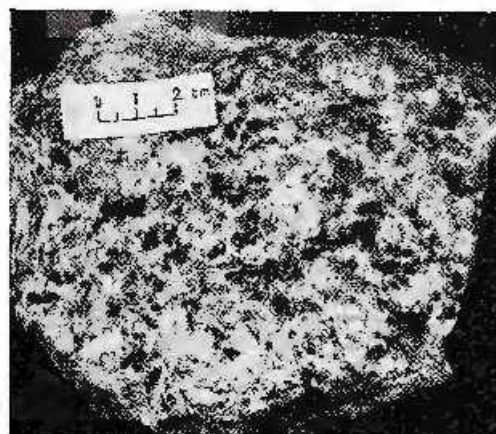
- Fig. 1. — Enclave de paragneiss (E) și segregării melanocrate biotitice (Bi) în gneisul granitic din valea Vilsanului.
Enclaves de paragneiss (E) et ségrégations mélanoocrates biotitiques (Bi) dans le gneiss granitique de la vallée du Vilsan.
- Fig. 2. — Gneis granitic. Valea Vilsanului.
Gneiss granitique. Vallée du Vilsan.
- Fig. 3. — Enclave de paragneiss cu biotit în gneisul granitic. Valea Vilsanului.
Enclavă de paragneiss à biotite dans le gneiss granitique. Vallée du Vilsan.



M. ARION, V. ICNAT. Migmatitele din versantul sudic al munților
Târgăraș. Pl. I.



1



2



3

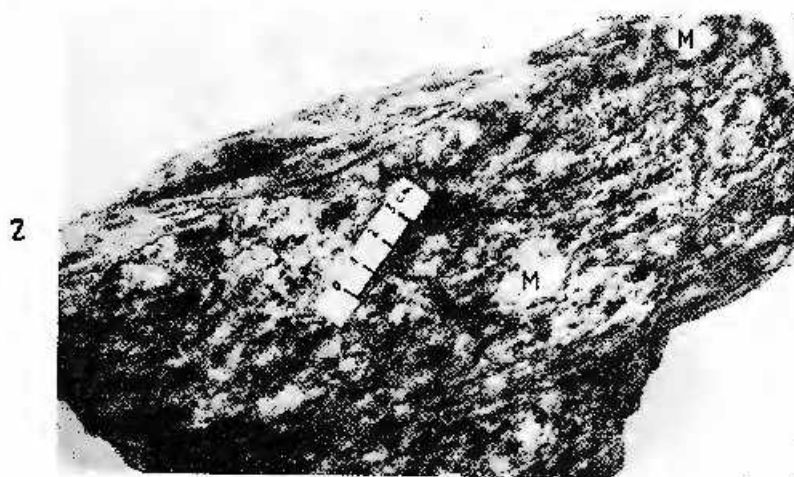
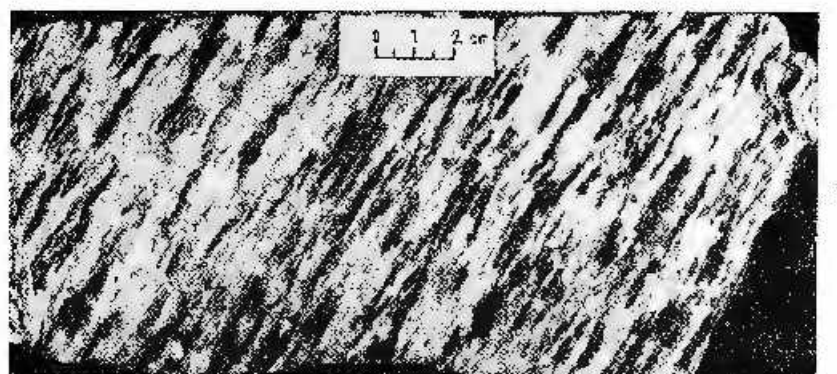
Institutul Geologic. Dâri de seamă ale ședintelor, vol. LVI/1.

PLANŞA II

- Fig. 1. — Gneiss liniar de Cumpăna. Risiile discontinue de biotit determină textura liniară a rocii. Valea Vilsanului.
- Gneiss linéaire de Cumpăna. Les bandes discontinues de biotite déterminent la texture linéaire de la roche. Vallée du Vilsan.
- Fig. 2. — Gneiss de Cumpăna. Textura liniară este perturbată de prezența porfirblastelor de microclin (M) formate în a doua etapă a migmatizării. Valea Cumpăna.
- Gneiss de Cumpăna. La texture linéaire est perturbée par la présence des porphyroblastes de microcline (M) formés dans la deuxième étape de migmatisation. Vallée Cumpăna.
- Fig. 3. — Gneiss trijar de Cumpăna. Valea Vilsanului. Se descrie aspectul deschis al roci pe dărilele plane de spărtură.
- Gneiss linéaire de Cumpăna Vallée du Vilsan. On remarque l'aspect particulier de la roche sur les divers plans de cassure.



M. ARION, V. IGNAT. Migmatitele din versantul sudic al munților Făgăraș. Pl. II.



Institutul Geologic. Dări de seismă ale ședințelor, vol. LVII/1.



Institutul Geologic al României

PLANSA III

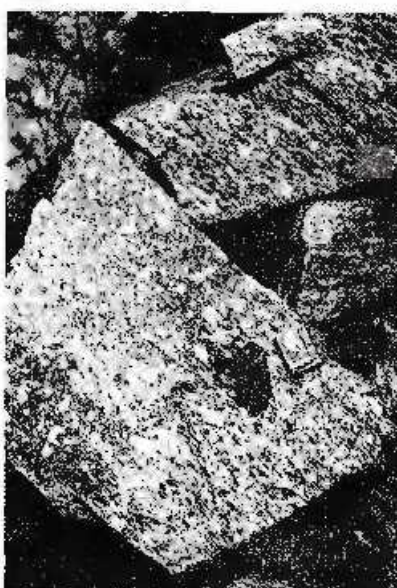
- Fig. 1. — Enclave de paragneiss (E) associée cu segregării de biotit de neoformație (B_n) din gneisul liniar. Valea Văsăuului.
- Enclaves de paragneiss (E) associées avec des ségrégations de biotite de néoformation (B_n) du gneiss linéaire. Vallée du Văsău.
- Fig. 2. — Enclave de paragneiss prisă în gneis granitic. Se remarcă poziția oblică față de elementele liniare ale blocului de gneis. Valea Văsăuului.
- Enclave de paragneiss revêtue de gneiss granitique. On remarque sa position oblique par rapport aux éléments linéaires du bloc de gneiss. Vallée du Văsău.
- Fig. 3. — Enclave de paragneiss în gneis granitic. Contactul dintre enclavă (E) și grăs (G) este transant. Valea Văsăuului.
- Enclave de paragneiss revêtue de gneiss granitique. Le contact entre l'enclave (E) et le gneiss (G) est tranchant. Vallée du Văsău.



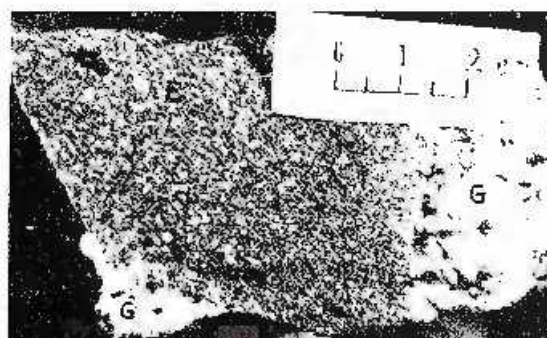
M. ARION, V. IGNAT. Migmatitele din versantul sudic al munților
Făgăraș. Pl. III.



1



2



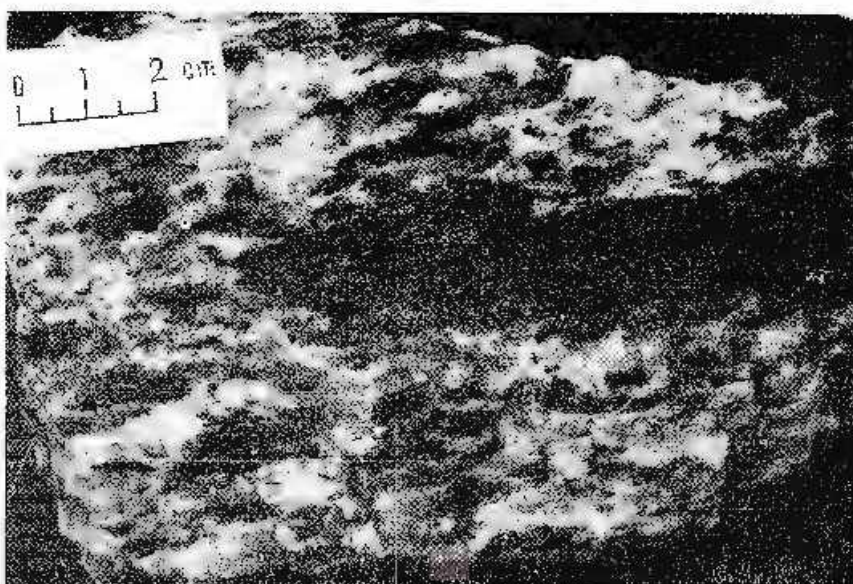
3

Institutul Geologic. Dări de seamă ale ședințelor, vol. 1VI/1.

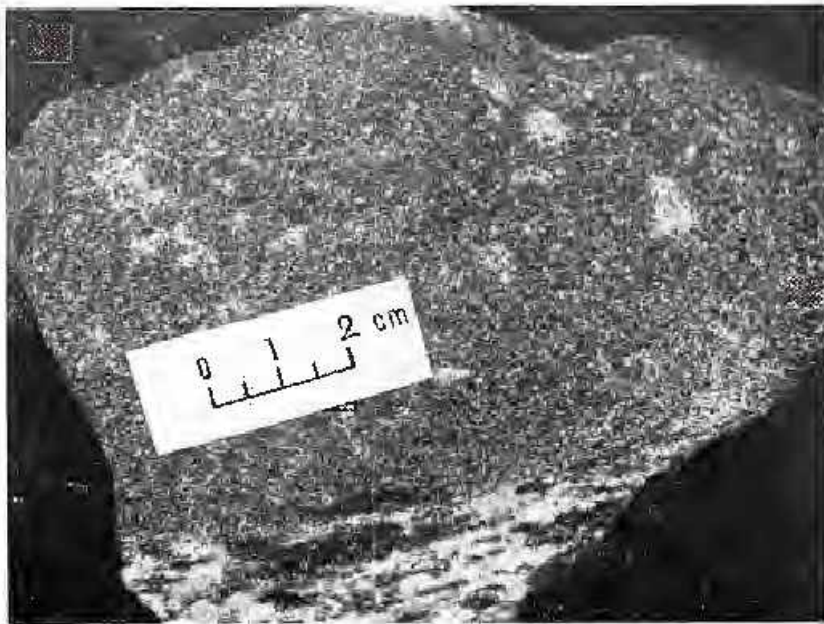
PLANSA IV

- Fig. 1. — Enclavă de paragneiss râmasă nedigerată în gnais granitic. Se observă cristalinitatea deosebită a celor două roci. Valea Vîlsăului.
Enclave de paragneiss non digérée dans le gneiss granitique. On remarque l'aspect cristallin particulier de ces deux roches. Vallée du Vîlsan.
- Fig. 2. — Enclavă de paragneiss cu treiere la gnaisul Estar de Câmpâna. Gradul diferit de cristalinitate a celor două tipuri de roci este evident. Valea Vîlsăului.
Enclave de paragneiss avec passage vers le gneiss linéaire de Câmpâna. Le degré différent de cristallisation de ces deux types de roches est évident. Vallée du Vîlsan.

M. ARION, V. IGNAT. Migmatitele din versantul sudic al munților
Făgăraș. Pl. IV.



1



2

Institutul Geologic. Dări de seomă ale sedințelor, vol. LVII/1.

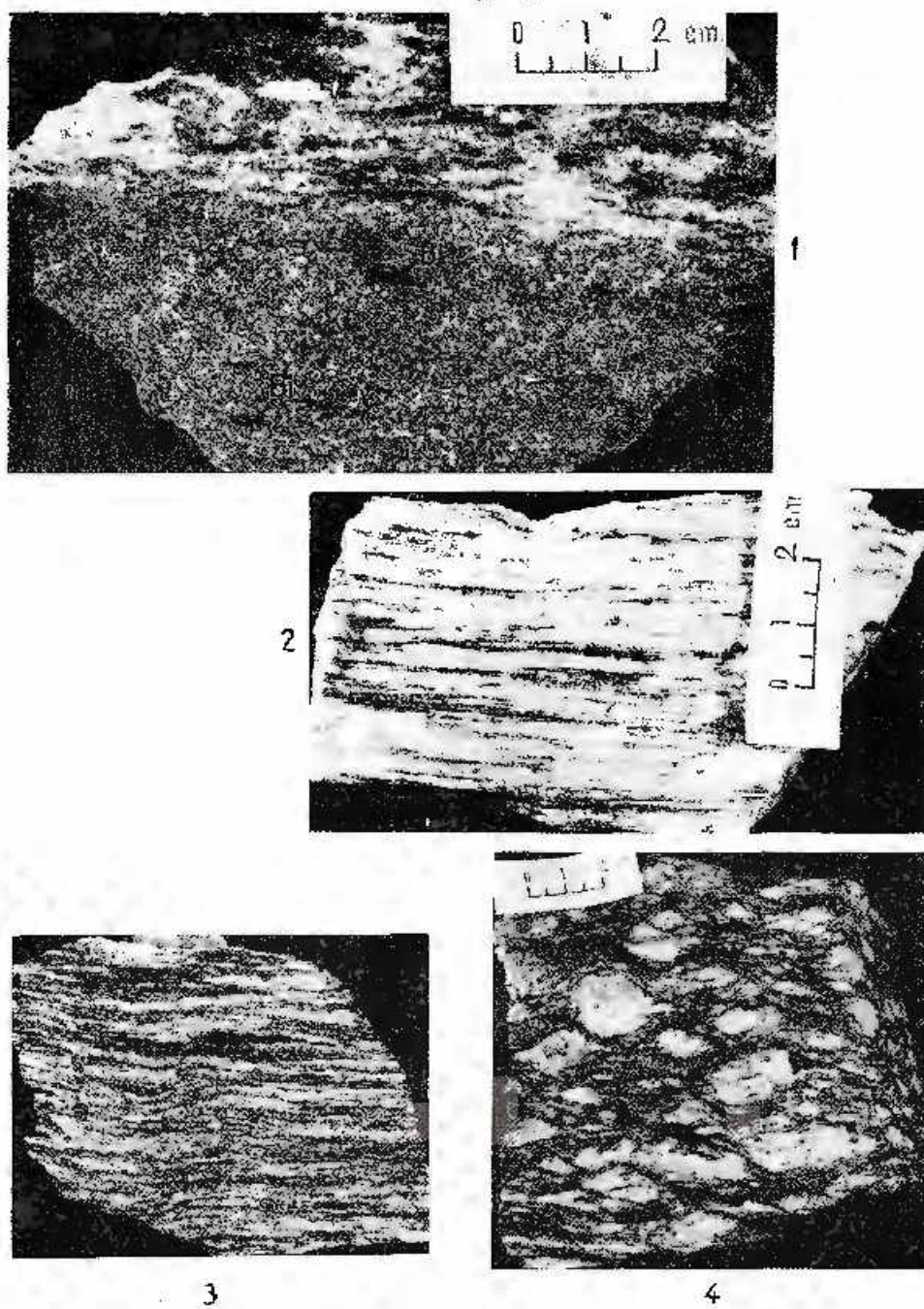
PLANŞA V

- Fig. 1.** — Contact între gneis liniar de Cumpăna și paragneiss. Se remarcă cristalinitatea deosebită și prezența sporadică a biotitului de neoformare și în paragneiss. Raportul între dimensiunile celor două generații de biotit este de cca 1/10. Valea Vîlsanului.
Fig. 2. — Gneis rubanat fin (lit-par-lit). Valea Vîlsanului.
Fig. 3. — Gneis rubanat. Valea Vîlsanului.
Fig. 4. — Gneis ocellar de Cozia, Valea cu Pești.
Fig. 5. — Gneiss mără de Cozia, Valea cu Pești.



M. ARION, V. IGNAT. Migmatitele din versantul sudic al munților
Făgăraș.

Pl. V.



Institutul Geologic. Dări de seomă ale sedințelor, vol. LVII/1.

PLANSA VI.

Fig. 1. — Grăsă ocular de Cozia. Valea Vîlsanului.
Graiss oeilé de Cozia. Vallée du Vîlsan.

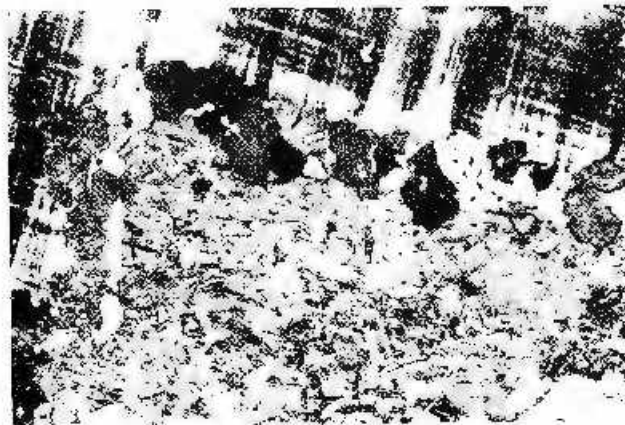
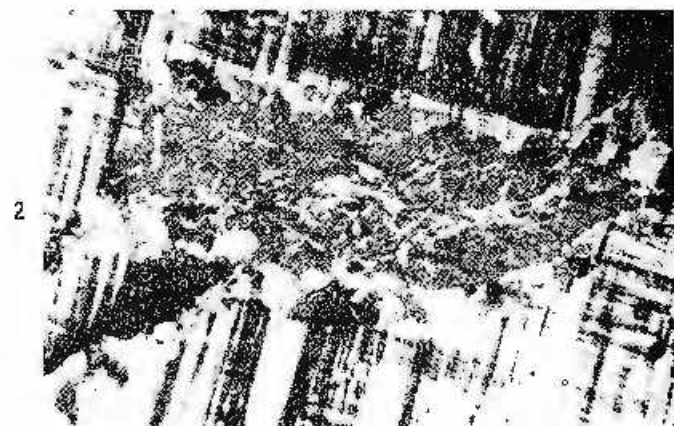
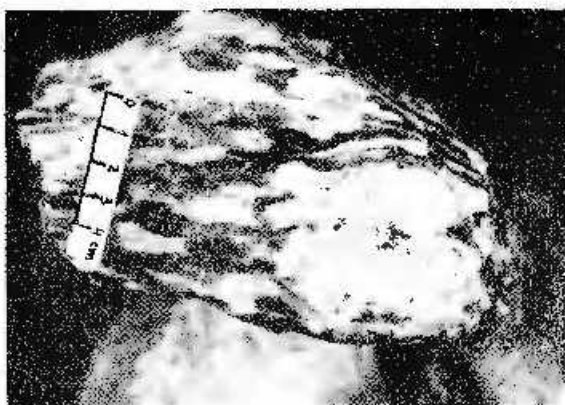
Fig. 2. — Plagioclaz sericitizat inclus într-un ochi de microcline, $N + /2,5 ; \approx 16$.
Plagioclase sérichtisé inclus dans un œil de microcline, $N + /2,5 ; \approx 16$.

Fig. 3. — Coroană de reacție constituată din albite de neoformare și concreșteri microclitice la limita unui cristal de plagioclaz sericitizat cu microclinul, $N + /16,3 ; \approx 33$.
Couronne de réaction constituée d'albite de néoformation et de développements enchevêtrés microclitiques à la limite d'un cristal de plagioclase sérichtisé avec la microcline, $N + /16,3 ; \approx 33$.



M. ARION, V. IGNAT. Migmatitele din versantul sudic al munților
Făgăraș.

Pl. VI.



Institutul Geologic. Dări de seamă ale ședințelor, vol. LVII/1.

PLANSA VII

- Fig. 1. — Ochi de feldspat desprins din gneisul de Lespezi, Vîrful Seroata.
Yeux de feldspath séparés du gneiss de Lespezi. Sommet Seroata.
- Fig. 2. — Grais ocular de Lespezi, Valea Vîsanului. Se observă megafenoblaste de microelin (M) dezvoltate oblic față de biotită roșie, determinată de lamelele biotitice, ocelii și agregatele cuarțo-feldspatici formate anterior.
Gneiss millé de Lespezi. Vallée du Vîsan. On remarque des mégaphénoblastes de microeline (M) à développement oblique par rapport à la lamination de la roche, déterminée par des lamelles biotitiques, les yeux et les agrégats quartzo-feldspatiques formés antérieurement.
- Fig. 3. — Gneis de Lespezi, Valea Vîsanului. Megafenoblastele de microelin (M) formate metasomatici în ultima etapă a migmatizării sunt dezvoltate oblice în raport cu biotita gneisului, măreță de fișile de biotit și agregatele cuarțo-feldspatici cristalizați în etapele anterioare.
Gneiss de Lespezi. Vallée du Vîsan. Mégaphénoblastes de microeline (M) métasomatiquement formés durant la dernière étape de migmatisation sont obliquement développés par rapport à la lamination du gneiss, indiquée par les bandes de biotite et les agrégats quartzo-feldspatiques cristallisés dans les étapes antérieures.
- Fig. 4. — Idiomegablaste de microelin crescute metasomatici în gneisul de Lespezi. Vîrful Dobroneagu.
Idiomégablastes de microeline métasomatiquement développés dans le gneiss de Lespezi, Sommet Dobroneagu.

M. ARION, V. IGNAT. Migmatitice din versantul stâncic al muntelor Făgărăș. Pl. VII.



2



3



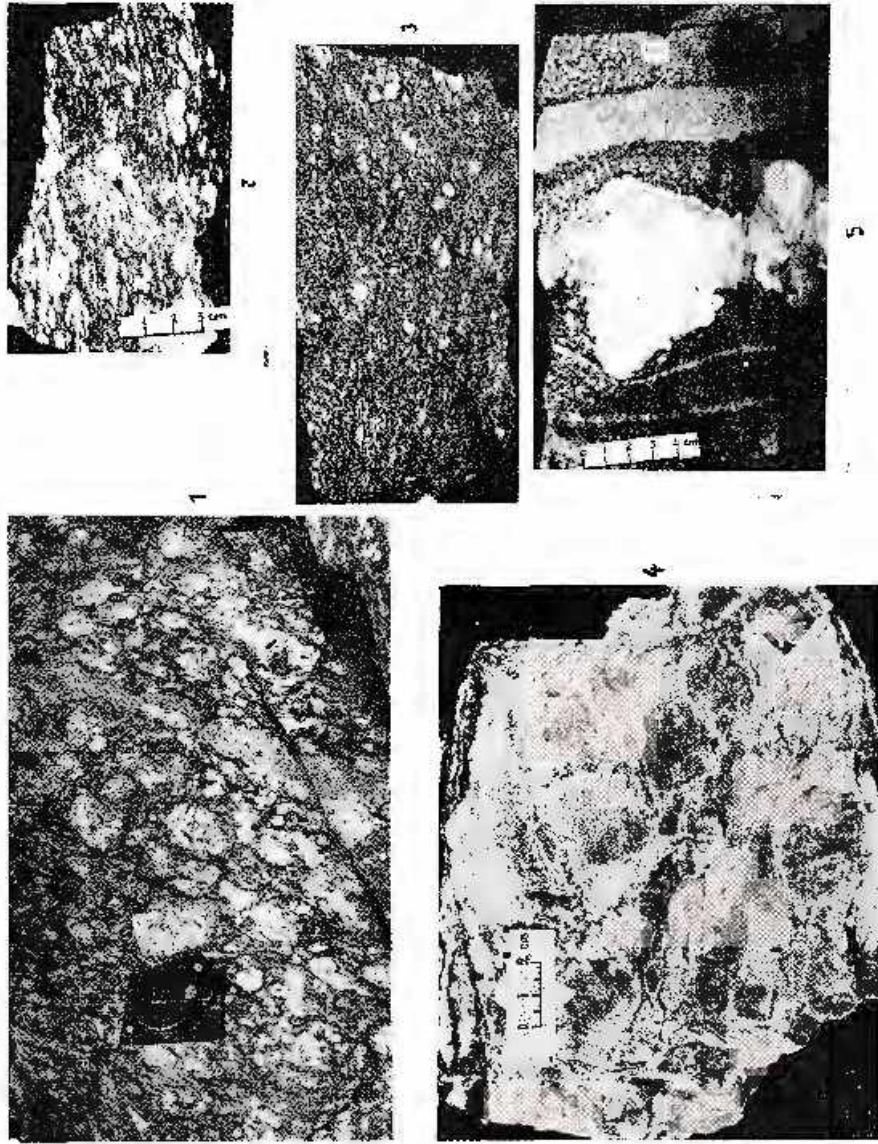
4

Institutul Geologic. Dări de secundă ale sedimentelor, vol. I VI/7.

PLANSĂ VIII

- Fig. 1. — Gneiss de Lespezi cu porfiroblastie idiomorfă și ocellare, străbătut de un filon concordanț applitic. Vîrful Dobroneagu.
- Gneiss de Lespezi à porphyroblastes idiomorphes et ocellés, traversé par un filon concordanç applitique. Sommet Dobroneagu.
- Fig. 2. — Gneiss lenticular, Valea Vîsanului.
- Gneiss lenticulaire, Vallée du Vîsan.
- Fig. 3. — Gneiss nodular, Valea Dobroneagu. Se observă nodule de microcline prinse într-un paleosome paragneasic.
- Gneiss nodulaire, Vallée Dobroneagu. On remarque des nodules de microcline dans une paleosome paragneissique.
- Fig. 4. — Fragment dintr-o lentilă pegmatitică formată predominant din microclin. Valea Vîsanului.
- Fragment d'une lentille pegmatitique formée pour la plupart de microcline. Vallée du Vîsan.
- Fig. 5. — Lentilă cuarțo-feldspatică dezvoltată într-un gneiss răbunat cu biotit și amfiboli în etapa a doua de migmatizare. Creșterea sa a deranjat textura paralelă a gneisului. Valea Vîsanului.
- Lentille quartzo-feldspathique développée dans un gneiss rhabané à biotite et amphiboles dans la deuxième étape de migmatisation. Son développement a dérangé la texture parallèle du gneiss. Vallée du Vîsan.

M. ARION, V. IGNAȚ. Migmatitele din versantul sudic al munților Făgăraș. Pl. VIII.



Institutul Geologic. Dări de seismă ale ședințelor, vol. LVII.

PETROLOGIA ROCILOR METAMORFICE

MIGMATITELE DE PE VALEA ȘUȘIȚA VERDE ȘI VALEA
PORCULUI (MUNTII VÎLCAN)¹

DE
NICOLAE STAN²

Abstract

Migmatites from the Șușita Verde and Porcul Valleys (Vîlcan Mountains). This paper is dealing with the feldspathization phenomena which have developed in the Lainici-Păiuș crystalline series (South Carpathians—Romania). The micro- and macrodescription of the feldspathitized rocks is completed by a discussion related to their chemical composition as compared to that of the eclogites. In view of these comparative studies the Barth cells were calculated, and the Lapadu-Largues variation tables were drawn up. The conclusion was reached that the quartz-feldspathic veins, which have generated the agmatites and diadysites, are of an allochemical origin, whereas the embrithites showing an equigranular and porphyroblastic structure (dents de cheval) were formed by metasomatic processes. The feldspathizations were preceded by tectonical movements which are favourable to the circulation of quartz-feldspathic solutions. The first phase of the feldspathization process was a potassic one (microcline), and the second an albite one (albitization of microcline).

Seria cristalofiliană Lainici-Păiuș alcătuiește împreună cu granitoidele de Șușita și seria de Drăgșan fundașul cristalin autohton al munților Vîlcan (Pavescu, 1962).

Observațiile noastre se referă la fenomenele de feldspatizare care au afectat seria epimetamorfică Lainici-Păiuș, într-un sector situat în partea de sud-est a masivului, delimitat la est de valea Șușita Verde, iar la vest, de valea Porcului.

Sub denumirea de seria Lainici-Păiuș a fost desemnat un complex cristalin heterogen, dinamometamorfozat, constituit în mare parte din roci de origine sedimentară — psamite și pelite — prin metamorfismul

¹ Comunicare în ședință din 18 aprilie 1969.

² Institutul Geologic, Șos. Kiseleff nr. 55, București.

cărora au luat naștere cuarțite și sisturi clorito-sericitoase. Acestea li se asociază sub formă de intercalații sisturi cloritoase cu plagioclaz, provenite din metamorfismul rocilor eruptive (Manolescu, 1937). Pavelescu (1963) consideră această serie formată în faciesul amfibolitic și ulterior adaptată la faciesul de sisturi verzi.

Ghika-Budești a semnalat încă din 1934 prezența rocilor feldspatizate în Carpații Meridionali. Primul cercetător care menționează fenomenele de feldspatizare din seria Lainici-Păiuș, la contactul acesteia cu granitul de Șușița este Manolescu (1937). Autorul atrage atenția asupra structurilor poikilitice și diablastice care se observă în rocile feldspatizate, precum și asupra relațiilor dintre feldspatul potasic, cuarț și mineralele micacee; dar așa cum rezultă din lectura textului și din harta prezentată, autorul nu acordă acestor procese o importanță prea mare. Astfel, pe harta lui Manolescu, feldspatizările propriu-zise nu sunt desemnate, acestea fiind assimilate cu fenomenele metamorfismului de contact.

Primii cercetători care au sesizat importanța și semnificația proceselor de feldspatizare din autohtonul danubian au fost Berecia, Berecia (1958, 1959)³, Pavelescu (1963), Savu (1969)⁴. Autorii au descris relațiile intime dintre minerale și au arătat că feldspatizările sunt de origine metasomatică.

În prezenta comunicare ne propunem să susținem acest punct de vedere, luând în considerație chimismul migmatitelor în raport cu ale ectinitelor, ectinile prin feldspatizarea cărora au luat naștere rocile migmatice. Vom încerca de asemenea să explicăm mecanismul procesului de feldspatizare. După o scurtă caracterizare a ectinitelor, vom descrie rocile migmatice din punct de vedere microscopic și macroscopic, apoi vom discuta chimismul rocilor și vîrstă rocilor feldspatizate.

Ectinitele

Într-o clasificare cu totul generală, ectinitetele sericii Lainici-Păiuș pot fi divizate, așa cum a arătat și Pavelescu (1963), luând în considerație compoziția mineralologică și poziția stratigrafică, în două grupe :

³ I. Berecia, Elvira Berecia. Prospecții pentru grafit în regiunea Baia de Fier. 1958. Arh. Com. Stat. Geol. București.

⁴ I. Berecia, Elvira Berecia. Raport asupra cercetărilor geologice din Munții Paringului. 1959. Arh. Com. Stat. Geol. București.

⁵ H. Savu. Structura plutonului granitoid de Șușița și relațiile sale cu formațiunile autohtonului danubian (Carpații Meridionali) (sub lipar). D. S. Inst. Geol. LVI/5, București.

un grup inferior, constituit din euarțite și sisturi euarțitice arcoziene cu biotit, și un grup superior, format din sisturi euarțitice cu biotit + muscovit, sisturi sericito-cloritoase, sisturi grafitoase, calcare și micașisturi euarțitice.

Mineralele principale care alcătuiesc aceste roci sunt: euarțul, biotitul, muscovitul, albitul, oligoclazul și andezinul.

Variatia mineralogică cantitativă din cadrul aceluiași grup, între tipurile de roci, se face treptat, motiv pentru care delimitarea pe hartă a diverselor sisturi cristaline este destul de convențională. Trebuie să menționăm de asemenea că în grupul inferior se află intercalate sisturi aparținând grupului superior și reciproc. Fenomenele de foldspatizare, suprapuse peste structura sistemelor cristaline, îngreuează și mai mult clasificarea categorică a rocilor.

Migmatitele

Rocile migmatice sunt constituite dintr-o fracțiune paleosomatică, reprezentată prin sisturi cristaline, și o fracțiune neosomatică de natură euarț feldspatică. Neosoma se prezintă fie sub formă de filoane, fie ca minerale crescute metasomatic cu evidente caractere porfiroblastice.

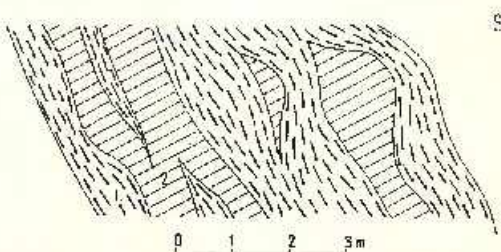
Filoanele au grosimi pînă la 2 m și sunt constituite aproape exclusiv din microclin uneori albitezat (85%) și euarț (12%). Aceștor minerale, în cantități mult subordonate, li se adaugă biotitul, muscovitul și calciitul (3%). Dimensiunile cristalelor de feldspat variază între limite destul de largi, de la 0,5 la 10 cm lungime. Culorarea filoanelor este albă sau cenușiu-neagră, cu reflexe sidefii pe fețele de clivaj ale feldspațiilor. Filoanele sunt localizate pe planele de sistozitate ale sistemelor sau mai rar traversează structura acestora, formînd suite de migmatite diadijitice (fig. 1). În-

NW

SE

Fig. 1. — Diadijit; valea Măcrișului.

1, schist euarțitic cu biotit; 2, filoane euarț-feldspatiche.

Diadijite; valea Măcrișului.
1, schiste euarțitice cu biotite; 2, filoane quartzo-feldspatice.

deosebi în grupul inferior al seriei Lainici-Păinș care are caracter puternic euarțitic, adică acolo unde rocile sunt mai dure și mai compacte, filoanele alcaline se dezvoltă foarte capricios formînd adevărate rețele care se in-

groasă sau se subțiază, înglobind fragmente de cuartite. Aceste agmatite au fost observate pe valea Șușita Verde (fig. 2).

Contactele filoanelor cu șisturile cuarțitice sunt deseori tranșante. Feldspatul este reprezentat prin microclin și micropertit-pertit. Contururile

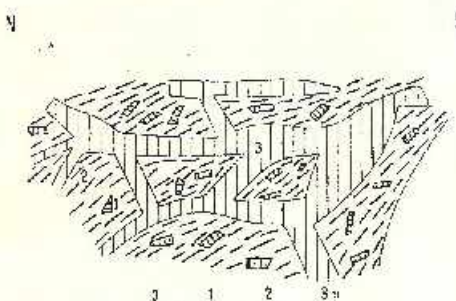


Fig. 2. — Agmatit; valea Șușita Verde
km 6,7.

1. cuarț; 2. fenoblaste de feldspat fumaritic; 3. filon cuarț-feldspatic fumaritic.

Agmatite; valea Șușita Verde; km 6, 7.
1. quartze; 2. phénocristaux de feldspaths couleur de fumée; 3. filon quartz-feldspathique couleur de fumée.

cristalelor sunt idiomorfe. Micropertitul și pertitul s-au format pe scama microclinului. În secțiuni se observă invazia de feldspat sodic (albit) peste structura în grătar a microclinului. Feldspatul sodic se prezintă în fișii vermiculare fuziforme paralele între ele în interiorul feldspatului potasic. Alteori, benzile de albit sunt continue și păstrează în general o anumită orientare în spațiu; mai rar benzile albitice se întrelapă la 90° (pl. I, fig. 1). Porfiroblastele de feldspat alcalin conțin ca incluziuni granule de cuart, feldspat plagioclaz sericitizat, muscovit și biotit (pl. I, fig. 2). Structurile poikilitice ale cristalelor de feldspat sunt caracteristice pentru metasomatism. Cuarțul juvenil tardiv este limpede, mărunt cristalinat și aliniat pe planuri de fisuri și clivaj. Diadisitele și agmatitele sunt migmatite heterogene.

Migmatitele omogene sunt reprezentate prin embreșite. Acestea se dezvoltă cu precădere în partea superioară a seriei Lainici-Păiuș, adică acolo unde șisturile cristaline au un caracter mai micaceu, mai puțin compact.

După dimensiunile neofeldspațiilor, embreșitele pot fi clasificate în două grupe: embreșite cu structură granoblastică care au dimensiunile fenoblastelor de feldspat apropiate de dimensiunile celorlalte minerale constitutive ale rocii și embreșite cu structură porfiroblastică, caracterizate prin contrastul dintre dimensiunile fenoblastelor de neofeldspati care pot ajunge pînă la 10 cm lungime și celelalte minerale constitutive cu dimensiuni de maximum 1 cm lungime (fig. 3).

Embreșitele au culoarea cenușiu-albă. Cu ochiul liber se observă cristale de cuart, feldspat și minerale micacee. Acolo unde feldspatizările

au fost mai intense, s-au format roci evasigranitice. Pe măsură ce fenomenul de granitizare progresează, scade proporțional cantitatea de biotit și muscovit. Fenocristalele de feldspat prezintă contururi idiomorfe. Acestea sunt orientate în general cu axul c paralel cu planele de șistozi-

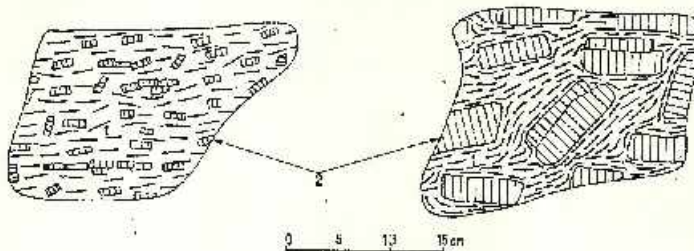


Fig. 3. — Embrechite; structura echigranulară (stanga); structură porfiroblastică (dreapta).

1. schist cuartitic micaciu; 2. fenoblaste de feldspat alcalin.

Embrechites; structure échigranulaire (à gauche); structure porphyroblastique (à droite).

1. schiste quartzitique micacé; 2. phénoblastes de feldspath alcalin.

tate. Uneori se observă creșterea unor fenocristale idiomorfe oblice sau chiar perpendicular în raport cu direcția de șistozitate (fig. 3). Forma idiomorf-prismatică și dimensiunile aberante ale feldspațiilor alcalini, care se observă la embreșitele cu structură porfiroblastică precum și aranjarea lor în contextul paleosomei justifică denumirea de „dinti de cal” dată acestor feldspați de origine metasomatică.

Observațiile microscopice pe care le vom menționa se referă atât la embreșitele cu structură echigranulară cât și la embreșitele cu structură porfiroblastică. Mineralele principale constitutive sunt următoarele: quart, microclin-pertit, plagioclaz, biotit și muscovit. Mineralele accesorii sunt reprezentate prin zircon, apatit și minerale opace. Calcitul a fost întâlnit uneori substituind feldspatul sau depus pe fisuri.

Cuarțul este mineralul care are o semnificație majoră în contextul rocilor migmatice, deoarece acesta indică după modul cum se prezintă diferitele etape ale genezei rocilor feldspatizate. Paleocristalele de quart sunt cataclazate, de dimensiuni mici (0,08-0,02 mm) și alungite în sensul șistozității. Cataclazarea a precedat feldspatizarea, concluzie că se desprinde din faptul că și celelalte minerale paleomicacee sunt rupte, aşchiiate sau contorsionate, în timp ce feldspații alcalini nu arată fenomene de zdrobire. Uneori paleocristalele de quart sunt incluse în neofeldspați. O genera-

ție mai nouă de cuart de natură juvenilă s-a depus pe fisurile mineralelor (pl. I, fig. 3). Acestea ar reprezenta de fapt cea mai mare parte din cantitatea de SiO_2 introdusă din afară. În strinsă legătură cu această venire de silice, prin omogenizarea cristalelor de cuart cataclazate anterior, au luat naștere porfiroblastele de cuart cu contururi lobate, ale căror dimensiuni sunt cuprinse între 0,5-2 mm (pl. I, fig. 4; pl. II, fig. 4). La microscop se observă deseori structura în fagure a porfiroblastelor determinată de contururile voalate ale vechilor cristale (pl. II, fig. 1). Omogenizarea este uneori bine realizată, încât contururile paleocristalelor de cuart sunt complet sterse. Porfiroblastele de cuart prezintă o extincție în evantai foarte caracteristică și contururi ameoboidale.

Paleofeldspații sunt reprezentați prin plagioclazi sericitizați, iar neofeldspații prin microclin-pertit. Neofeldspații au contururi idiomorfe sau panidiomorfe și spre deosebire de feldspații plagioclazi sunt totdeauna proaspeți. Microclin-pertitele se dezvoltă de obicei de-a lungul direcțiilor de șistozitate, dar au fost observate la microscop și orientări oblice sau perpendiculare în raport cu șistozitatea. În aceste cazuri, fenomenele de împingere a paleocristalelor de către neofeldspați sunt evidente (pl. II, fig. 2).

Relațiile dintre mineralele noi și mineralele vechi sunt semnificative pentru structurile metasomaticice. Au fost observate structuri de substituție și concreștere între neocuart, muscovit și microclin-pertit, între cuart și plagioclaz, biotit și neofeldspați. Structurile poikilitice ale microclin-pertitelor sunt frecvente. Citeodată două sau trei relicte de plagioclaz din interiorul unui micropertit prezintă aceeași orientare optică; în mod evident, în aceste cazuri relictele au provenit în urma substituirii incomplete a unui singur individ. De obicei, plagioclazul se înconjoară de o auricolă albitică atunci cind este în contact nemijlocit cu un feldspat alcalin. Cel mai frecvent, dintre neofeldspați apare pertitul, care a luat naștere ulterior, pe seama microclinului. Structura în grătar a microclinului este uneori substituită de albit (pl. II, fig. 3).

În general, feldspații alcalini nu prezintă fenomene de cataclază, dar fisurile existente sunt umplute cu cuart foarte mărunt cristalizat, împede, de natură juvenilă.

Chimismul comparat al rocilor migmatice

Pentru a pune în evidență deosebirile de compoziție chimică între ectinite și migmatite, au fost colectate patru probe din ectinite și patru probe din migmatite, precum și o probă dintr-un filon feldspatic cenușiu.

Probele au fost luate perechi, adică în aşa fel ca unui ectinit să-i corespundă, pe cît posibil, un migmatit care să fi avut înainte de feldspatizare aceeași compoziție mineralogică cantitativă și calitativă, cu acestinitului. Pentru aceste probe s-au efectuat analize chimice de silicii (tab. 1) și apoi pentru a ilustra care sunt cationii emigrați din migmatite și care sunt cationii imigrăți în migmatite au fost calculate celulele Barth corespunzătoare (tab. 2). Pentru a urmări mai bine schimbul de cationi produs în rocile feldspatizate în urma proceselor metasomatice, bilanțurile rezultate din calecul celulelor standard sunt prezentate într-un tabel separat (tab. 3), în care pentru fiecare element în parte semnul minus urmat de cifra respectivă indică numărul cationilor îndepărtăți din roca supusă migmatizării, iar semnul plus urmat de cifra corespunzătoare, numărul cationilor introdusi în roca feldspatizată. Această schimb de ioni este calculat pentru o celulă standard formată din 160 atomi de oxigen.

Analizând tabelul 3 se constată creșterea cantității de siliciu în rocile migmatice, cu o singură excepție pentru proba B; excepție care se explică prin caracterul extrem de enarțitic al ectinitului respectiv.

În migmatitele A' și B' s-a introdus o oarecare cantitate de potasiu, în timp ce în migmatitele C' și D' un număr relativ mic de ioni de potasiu a fost îndepărtat; în schimb, numărul ionilor de sodiu din migmatite este sistematic mai mare decât în ectinitetele corespondente. Aceste fapte ne sugerează ideea, întărită și de observațiile microscopicice, că inițial neofeldspatul a avut un caracter potasic și a fost reprezentat aproape exclusiv prin microclin. Ulterior microclinul a fost parțial substituit metasomatic prin albit și astfel au luat naștere pertitele. Această substituție albitică a fost neuniformă; în unele zone a avut o intensitate mai mare, în altele mai mică, în timp ce în alte părți nu s-a manifestat deloc. A fost suficient că numărul de cationi de sodiu care au substituit potasiul în rețeaua microclinului să fi fost ceva mai mare decât numărul de cationi de potasiu introdusi din afară pentru ca bilanțul potasiului să apară negativ.

În rocile migmatice crește ușor cantitatea de calciu, situație care ilustrează, după cum se observă la microscop, depunerea secundară a calcitului.

Elementele îndepărtate din rocile feldspatizate sunt Fe, Ti, P și Mg.

Rocile supuse transformărilor metasomatice conțin mai puțină apă, în raport cu ectinitete (OH = -12,6; -1,32; -6,04; -14,60). Această lucru se explică prin înlocuirea mineralelor hidroxilate de tipul biotitului și muscovitului de către feldspații alcalini.

TABELUL 1
Analize chimice

Nr. ert.	Proba	Denumirea rochi	SiO ₂	TiO ₂	Al ₂ O ₃	FeO	MgO	CaO	K ₂ O	MnO	P ₂ O ₅	S	H ₂ O	Total	
1	A	Grafit cu biotit	64,96	1,04	13,32	2,41	5,45	2,10	0,91	2,15	4,60	0,10	—	0,55	2,37
2	A'	Migmatit	69,05	—	15,97	1,18	—	0,35	2,03	3,98	5,45	0,10	1,50	—	0,46
3	B	Grafit	71,98	0,64	13,89	2,12	2,18	0,65	1,10	2,58	3,47	0,05	—	0,02	1,36
4	B'	Migmatit	62,36	—	20,90	2,77	—	0,50	1,57	5,28	4,40	0,12	0,69	0,05	—
5	C	Grafit areozian	53,34	1,30	26,54	4,64	3,49	—	1,40	2,93	4,63	0,28	—	0,05	0,12
6	C'	Migmatit	74,83	—	11,61	2,50	—	0,86	0,60	5,84	2,66	0,12	—	—	0,18
7	D	Sist. cuarctic cu biotit și muscovit	58,93	1,30	21,61	0,43	6,59	—	1,12	1,32	4,18	0,14	—	0,03	0,20
8	D'	Migmatit	65,32	1,06	19,06	2,18	3,61	—	1,61	2,77	2,84	0,14	—	0,08	0,11
9	E	Filon feldspat. furnarul (micoclin)	64,35	—	18,10	0,75	0,45	0,35	1,05	1,75	12,25	0,03	—	0,10	—
														0,60	99,80

Analiză: Iucrăția Anghel (2,4), Mariana Cristea (1,3), Alexandra Dănciușeu (6), Cristina Popescu (5,7,8), G.R. Racu (9).



TABELUL 2
Cetula Baritii

Nr. erit.	Pro- ba	K	Na	Ca	Mg	Fe	Mn	Al	Ti	P	Si	O ₁₆₀	OII ₁₆₀
1	A	5,24	3,74	0,86	2,78	5,53	—	13,90	0,71	0,04	57,90	145,30	14,70
2	A'	6,22	6,76	1,90	0,36	0,78	—	16,55	0,00	0,00	60,50	157,36	2,64
3	B	3,80	4,34	1,04	0,83	2,91	0,03	14,18	0,43	0,07	62,33	152,20	7,80
4	B'	4,94	9,04	4,47	0,64	1,85	0,06	2,76	0,00	0,06	55,10	153,52	6,48
5	C	5,22	5,04	1,33	0,00	7,52	0,29	27,53	0,85	0,03	47,03	146,44	13,56
6	C'	3,00	9,80	0,57	0,84	1,58	0,10	11,75	0,00	0,00	64,10	152,58	7,42
7	D	4,66	2,24	1,06	—	5,05	0,07	22,30	0,84	0,01	51,63	137,00	23,00
8	D'	3,14	4,68	1,54	—	4,03	0,07	19,58	0,78	0,04	57,08	151,60	8,40
9	E	14,26	3,08	1,00	0,43	0,87	0,02	19,45	—	0,05	58,72	156,40	3,60

TABELUL 3
Bilantul rezultat din calculul ecuației Baritii

Nr. erit.	Proba	K	Na	Ca	Mg	Fe	Mn	Al	Ti	P	Si	H
1	A'	+0,98	-4,3,02	-1,1,04	-2,42	-4,75	0,00	+ 2,65	-0,71	-0,04	+ 2,60	-12,06
2	B'	+1,14	+4,70	+0,43	+0,19	-1,06	+0,03	+ 7,58	-0,43	-0,01	-13,29	-1,32
3	C'	-2,22	+4,76	-0,76	+0,84	-5,94	-0,19	-15,73	-0,85	+ 0,05	+ 17,05	-6,04
4	D'	-1,52	+2,44	+0,52	0,00	-1,02	-0,09	- 2,72	-0,06	+ 0,03	+ 5,45	-14,60

Observații similare dar cu unele precizări semnificative se pot face construind tabelele de variații preconizate de Lapadu-Hargues.

Din tabelul 4 reiese faptul că în rocile migmaleice raportul $\text{Na}_2\text{O} + \text{K}_2\text{O}/\text{Al}_2\text{O}_3$ este totdeauna mai mare decât pentru ecitite; se pune în

TABELUL 4
Valoarea oxizilor după modelul Lapadu-Hargues

Oxizi	Proba							
	A	A'	B	B'	C	C'	D	D'
$\frac{\text{Na}_2\text{O} + \text{K}_2\text{O}}{\text{Al}_2\text{O}_3}$	0,50	0,60	0,43	0,46	0,28	0,33	0,25	0,29
$\frac{\text{Na}_2\text{O}}{\text{K}_2\text{O}}$	1,89	0,43	0,74	1,20	0,63	2,18	0,31	0,97
MgO	2,10	0,35	0,65	0,50	0,0	0,66	0,0	0,0
CaO	0,91	2,03	1,10	1,57	1,40	0,60	1,12	1,61
FeO	5,45	0,0	2,16	0,0	3,49	0,0	6,59	3,61

evidență scăderea relativă a aluminiului în raport cu creșterea sumei de alcalii. Dintre alcalii, Na_2O predomină cantitativ K_2O ; aceste observații reflectă fenomenul de albitezare a microclinului. În afara acestor precizări, pentru modul cum se comportă celelalte elemente, aceleși observații deja menționate adică, în migmatite simultan cu creșterea cantității de Ca scade cantitatea de Fe și Mg.

Mecanismul procesului de feldspatizare

Observațiile de teren coroborate cu studiile microscopice și informațiile din literatură permit să ne facem o idee asupra modului cum s-a desfășurat fenomenele de feldspatizare.

Migmatitele diadisitice tardecinematicice sunt rezultatul circulației pe fracturi, crăpături și zone de slabă rezistență a unor soluții cuarțo-feldspatice.

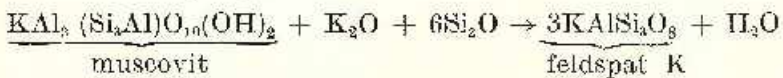
Instalarea zonelor feldspatice a fost precedată de teotonizarea într-un grad oarecare a seriei Lainici-Păină și acest lucru a nșurat mult circulația soluțiilor cuarțo-feldspatice. Mineralul cel mai sensibil la solicitările mecanice a fost paleocuarțul, care la microscop prezintă fenomene caracteristice de cataclazare. Aceste procese sunt îndeosebi vizibile în embreșite.

Atât embreştele cu structură echigranoblastică cit și embreştele cu structură porfiroblastică („dents de cheval”) au luat naștere ca urmare a infiltrației soluțiilor cuarț-feldspatice pe zone tectonizate, care au pătruns apoi în întințitatea sistemelor cristaline sub formă de film intergranular. Mecanismul intim de desfășurare a schimbului de ioni între fază de vapozi intergranulară și roca gazdă s-a produs probabil, așa cum presupune Orville, 1963, datorită gradientului de temperatură.

Substanțele volatile potasice fierbinți în contact cu rocile care conțin o fază solidă au tendința să restabilească echilibrul reportului K₂O/Na între cele două faze fie prin cristalizarea directă a feldspatului potasic din soluție fie prin substituția feldspatului sodic preexistent cu feldspat potasic datorită gradientului de temperatură, și anume, ionii de potasiu vor migra către zonele cu temperatură mai joasă, iar ionii de Na către zonele cu temperatură mai înaltă (Orville, 1963). În felul acesta, s-ar putea explica formarea unor pertite, dar înai ale microclinului.

Fenoblastele de microclin și cuarț au luat naștere prin substituția metasomatică a mineralelor preexistente, dar aceste fenoblaste nu s-au format în întregime din elementele juvenile de potasiu și siliciu. O parte din aceste elemente au fost racolate din mineralele preexistente (muscovit, biotit, plagioclaz, cuarț) și mobilizate pe loc pentru construirea noilor edificii cristaline. În sprijinul acestei afirmații pledeză rezultatele analizelor chimice, care arată introducerea în rocile feldspatice a unor cantități nu prea mari de alcalii și SiO₂ în raport cu marea participare și dimensiunile cristalelor de feldspati alcalini și cuarț. Analizele microscopice sugerează de asemenea, prin structura în fagure a unor fenoblaste de cuarț, că acestea sint în parte rezultatul remobilizării unor vechi cristale de cuarț de dimensiuni mai mici. În felul acesta nu suntem obligați să ne imaginăm o circulație și un aport deosebit de mare de substanțe juvenile în sisturile cristaline pentru formarea rocilor migmatice embreștice. Problema spațiului își găsește în felul acesta o rezolvare acceptabilă.

După R a m b e r g, între mineralele micace dintr-o rocă în stare solidă și o fază de vapozi care conține K₂O se petrece următoarea reacție cu formare de feldspat potasic:



În mod similar, și biotitul poate reacționa cu K₂O; din această reacție rezultă, de asemenea, feldspat potasic; se îndepărtează apă și elementele fero-magneziene. Un schimb de ioni, la o temperatură și o presiune convenabilă, se poate produce și între ionii de potasiu din faza de

vapori și ionii de sodiu ai unei faze solide, efectul fiind de asemenea apariția feldspatului potasic.

După formarea embreșitelor, care au avut inițial un caracter potasic, echilibrul mineralogic și chimic a fost din nou deranjat prin schimbarea condițiilor de temperatură și presiune și venirea unor noi soluții cuarțofeldspatice, de data aceasta cu un pronunțat caracter sodic. Rezultatul a fost albitezarea feldspatului potasic. O parte din ionii de potasiu din rețeaua microclinului au fost înlocuiți cu sodiu :



Această albitezare a microclinului s-a produs, credem noi, la scurt interval după formarea feldspatului potasic, datorită unui aport de soluții sodice, care însă au avut o temperatură mai joasă decât a rocilor cu care au venit în contact. Rocile au moștenit un timp temperatură multă a primei faze potasice de feldspatizare. Conform schemei preconizate de Orville, în această etapă sodiu din substanțele volatile a migrat către zonele mai calde substituind în rocă ionii de K care la rindul lor au lăscat în fază de vapori.

În timpul procesului de feldspatizare și ceva mai târziu s-a introdus o cantitate de SiO_2 din care o parte a ajutat ca paleocristalele de cuarț tectonizate să se remobilizeze în fenoblaste, iar o altă parte de SiO_2 să depus pe fisuri sub formă de cristale limpezi mărunte.

Vîrstă feldspatizării

O primă ipoteză care trebuie luată în considerație este aceea că migmatitele sunt legate de punerea în loc a granitoidului de Șușița, sincronic, în raport cu orogeniza baicaliană (Savu, 1970) *. Imediata vecinătate a corpului granitic cu zonele feldspatizate conduce la ideea că acestea sunt în legătură iminentă cu diferențierea magmatică a granitului de Șușița.

Pe de altă parte, fenoblastele de neofeldspati alcalini din regiunea cercetată, se aseamănă ca formă, geneză și compoziție chimică cu fenoblastele de feldspati alcalini descriși de Răileanu et al. (1967) în partea de vest a munților Vilcan, sector unde feldspati alcalini străbat formațiunile sedimentare permiene; deoarece formațiunea de Schela, care se dezvoltă în apropierea zonelor migmatizate, nu este afectată de fenomenele de feldspatizare, este probabil ca acest proces să fi avut loc înaintea sedimentării formațiunii de Schela, formațiune pe care în acest caz ar trebui să-o considerăm liasică (Manolescu, 1937). Vom

* Op. cit. pet. 5.

menționă aici faptul că și formațiunile liasice situate în zona de vest a munților Vilcan nu sunt afectate de fenomene de feldspatizare (Răileanu et al., 1967). Mai mult, în 1968 Măier și Căulea, determinând vîrstă absolută a unor granite din România pe baza extincției ondulatorii a cristalelor de cuarț, ajung la concluzia că granitul de Tismana este de vîrstă carbonifer-permiană (230 milioane ani). Granitul de Tismana este considerat de Berecia, Berecia (1958)⁷ ca fiind format prin metasomatoza alcalină în urma căreia au lmat naștere porfiroblastele de feldspat identice cu cele observate de noi în seria Lainici-Păiuș. Aceste fapte sugerează ideea că feldspatizarea seriei Lainici-Păiuș, cel puțin în parte, a fost urmarea mișcărilor hercinice tîrzii în Carpații Meridionali. Migmatitele din seria Lainici-Păiuș se dezvoltă în imediata vecinătate a granitului de Șușita, dar în acest caz nu puteam presupune că feldspatizarea ar avea legătură cu acesta, întrucât granitul de Șușita este sincinematic în raport cu orogeneza baicaliană (Savu, 1970). Diferențierea magmatică nu a putut dura o perioadă atât de lungă.

Dar dacă vom considera feldspatizările de vîrstă hercinică, în mod normal ar trebui ca formațiunca de Tulișa să fie afectată. Or, acest lucru nu a fost observat decât într-un singur punct, la Stincești, după cum menționează Pavelescu, de către Mrazec. Este de asemenea incompatibilă cu vîrstă hercinică a migmatitelor și observația că formațiunea de Schela este nefeldspatizată, dacă această formațiune o considerăm carboniferă (Drăghici et al., 1967) sau carbonifer-liasică (Semaka, 1963).

Vîrsta migmatitelor rămîne să fie rezolvată în viitor, pe măsură ce unele probleme de stratigrafie vor fi elucidate.

Concluzii

Rocile feldspatizate din cadrul seriei Lainici-Păiuș sunt reprezentate prin diadisite, agmatite și embreșite.

Diadisitele și agmatitele se dezvoltă în partea inferioară a seriei cristaline Lainici-Păiuș. Acestea s-au format prin introducerea mecanică și consolidarea unor soluții cuarț-feldspatic pe zone de fracturi, fisuri sau plane de șistozitate. Contactele dintre formațiunea filoniană neofeldspatică și șisturile cristaline sunt deseori transante. Metasomatoza a avut aici un rol secundar.

⁷ Op. cit. pet. 3.

Embreștele, atât cele cu structură echigranulară cit și cele cu structură porfiroblastică („dents de cheval”), situate mai ales în partea superioară a seriei cristalofiliene Lainici-Păiuș care aici are un caracter mai șisto-micacu, mai puțin compact, sunt formate prin metasomatiză. Acest punct de vedere este susținut de structurile embreștelor și de analizele chimice comparate. Fenoblastele de feldspați alcalini au dimensiuni mari, pînă la 10 cm lungime, au forme cristalografice perfect idiomorfice, orientate uneori perpendicular pe direcția de șistozitate. În aceste situații, fenomenul de impingere a mineralelor mai vechi de către fenoblastele de neoformătoare se observă atât macroscopic cit și microscopic. Structurile poikilitice, mirmecitice, diablastice precum și existența porfiroblastelor de euarț cu contururi lobate, uneori suprapuse pe un fond de paleocristale cataclazate, sunt caracteristice pentru metasomatism. Prelucrarea analizelor chimice și interpretarea comparativă arată schimbările de ioni în procesele metasomatiche. Calecul celulei Barth demonstrează că în rocile migmatizate crește cantitatea de SiO_2 și alcalii ($\text{Na}_2\text{O} + \text{K}_2\text{O}$) și simultan scade numărul de ioni de Mg, Fe, Ti, P, iar în unele cazuri de Al. Aceste concluzii sunt în esență conforme cu părerile lui Reynolds (1946) asupra schimburilor geochimice care se produc într-o rocă în cel de-al doilea stadiu de granitizare.

Reynolds indică însă pentru rocile granitizate o descreștere a conținutului de calciu, ceea ce în cazul nostru nu se verifică; rocile migmatice analizate arată o ușoară creștere a cantității de calciu. Această constatare este însă compatibilă cu concluziile la care au ajuns Lapadu-Hargues. Referitor la creșterea cantității de caleiu în rocile feldspatizate, comparativ cu acelea nefeldspatizate, la aceeași concluzie ajunge și Dimitrescu (1964), pentru gnaisele de injectie din munții Făgăraș precum și Eshcher (1966) pentru rocile granitizate din regiunea Nanortalik (Groenlanda). Creșterea conținutului de caleiu din migmatitele din seria Lainici-Păiuș se explică prin prezența calcitului depus secundar pe fisuri și care în mod semnificativ indică circulația unor soluții prin aceste roci. Tabelul de variație a elementelor preconizat de Lapadu-Hargues arată în rest identitatea de păreri cu cele exprimate de Reynolds, unele aspecte fiind chiar mai bine evidențiate. Scăderea relativă a Al_2O_3 concomitent cu creșterea conținutului de alcalii în rocile migmatizate este convingător ilustrată prin valorile raportului $\text{Na}_2\text{O} : \text{K}_2\text{O}/\text{Al}_2\text{O}_3$. Dintre elementele alcaline, sodiul predomină cantitatativ potasiul.

Feldspatizarea s-a produs pe zone de slabă rezistență, acolo unde în prealabil șisturile cristaline au fost făilate, fisurate sau zdrobite tectonic.

Mărturie în acest sens sunt filoanele neofeldspatice, precum și paleocristalele de cuarț și mineralele micace cataclazate sau indoite, din embreșite. Legătura dintre mișcările tectonice și feldspatizare este menționată și de alți cercetători (Gore, 1968; Walker, Mathias, 1946). După crearea spațiilor în sisturile cristaline, s-a produs ascensiunea soluțiilor cuarț-feldspatice, care la început au avut un caracter potasic. Schimbul intim de ioni și substituirea metasomatică între faza de vapozi intergranulară și roca gazdă s-a produs pentru embreșite, probabil așa cum spune Orville, datorită gradientului geotermic.

Cantitatea de K și SiO_2 , introdusă din afară pentru formarea embreșitelor, așa cum arată analizele chimice și cum sugerează observațiile microscopice, nu a fost prea mare. Pentru construirea noilor edificii cristaline microclinul a luat o mare parte din potasiu, din muscovitul și biotitul pre-existent, adică din paleomineralele substituite prin metasomatoză. Cuarțul porfiroblastic cu conchuri amfiboidale a rezultat din remobilizarea paleocristalelor de cuarț cataclazate, remobilizare care a fost posibilă prin introducerea din afară a unei cantități de SiO_2 .

După faza potasică a urmat faza sodică, soldată cu albitezarea microclinului. În acest fel au luat naștere micropertitele și pertitele. În această etapă au continuat să se formeze porfiroblaste de cuart și să se depună pe fisurile mineralelor cuarț și calcit de origine juvenilă. Albitezarea metasomatică este un fenomen frecvent, care urmează fazei potasice (Pavescu, 1963; Pavescu, Pavescu, 1964; Escher, 1966).

BIBLIOGRAFIE

- Codarcea A.I., Pavescu L. (1963) Considérations sur la genèse des roches granitiques de l'Autochtone danubien des Carpates Méridionales. *Assoc. Géol. Carp.-Balk. Congr. V, II*, București.
- Dimitrescu R. (1964) Studiul geologic și petrografic al părții de est a masivului Făgăraș. *An. Com. Geol. XXXIII*, București.
- Drăghici C., Huică I., Isac Maria, Bîlciu M. (1967) Date privind geologia zonei Schela-Viczuroi. *D. S. Com. Stat. Geol. LIII/I*, București.
- Escher A. (1966) The deformation and granitization of Ketilidian rocks in the Nanortalik Area, S. Greenland. *In Gronlands Geol. Undersøgelse, Hul. 59*, Trondheim.
- Ghika-Budești Șt. (1934) Études géologiques et pétrographiques dans les Munții Lotru (Carpates Méridionales, Rom.). *An. Inst. Géol. XVI*, București.
- Gore J. Dorothy (1968) Potash Metasomatism and Granitization Accomplished by Boron-Potassium Compounds. *Inst. Geol. Congres. Report of the Twenty Thirs Session, Czechoslovakia, Section 1*, Praha.

- Maior O., Căvălea V. (1968) O nouă metodă optică de determinare a vîrstelor relative a granitelor aplicată unor granit din România. *D. S. Com. Stat Geol.* LIII/3, Bucureşti.
- Manolescu G. (1937) Étude géologique et pétrographique dans les Munții Vilcan (Carpates Méridionales). *An. Inst. Géol. Roum.* XVIII, Bucureşti.
- Orville P. M. (1963) Alkali ion exchange between vapor and feldspar phases. *Am. J. Sci.* 261/3, New-Haven.
- Pavelescu L. (1963) Contributions à l'étude du subassèchement cristallin et l'aire de distribution des différentes formations cristallophyliennes dans la partie centrale et orientale de l'Autochtone danubien. *Assoc. Géol. Carp.-Balk. Congr.* V, II, Bucureşti.
- Pavelescu Maria (1964) Geologia și petrografia văii Jiului Românesc între Oslea și Petroșeni. *An. Com. Geol.* XXXIII, Bucureşti.
 - Pavelescu Maria, Bercia I., Bercia Elvira (1964) Cercetări petrografice și structurale în defileul Jiului între Bumbești și Isroni. *D. S. Com. Geol.* L/I, Bucureşti.
- Răileanu Gr., Bercia I., Pop Gr. (1967) Asupra vîrstelor unor roci granitoide din munții Vilcan (Carpății meridionali). *D. S. Com. Stat Geol.* LIII/I, Bucureşti.
- Reynolds D. L. (1946) The sequence of geochemical changes leading to granitization. *Geol. Soc. Quart. Jour.* 102/3, London.
- Semakoff A.I. (1963) Despre vîrstă formațiunii de Schela. *Assoc. Géol. Carp.-Balk. Congr.* V, III/2, Bucureşti.
- Walker F., Mathias M. (1946) The petrology of two granite-slate contacts at Cape-Town, South Africa. *Geol. Soc. Quart. Jour.* 102/4, London.

MIGMATITES DES VALLÉES ȘUȘIȚA VERDE ET PORCULUI (MONTS VILCAN)

(Résumé)

Les processus de feldspathisation des Carpates Méridionales (Roumanie) ont été observés par Ghika-Budești (1934). Dans les monts Vilcan (Carpates Méridionales) les phénomènes de feldspathisation ont été signalés par Manolescu (1937). Plus tard, Bercia (1958), Pavelescu (1963) sont arrivés à la conclusion que les feldspathisations étaient d'origine métasomatique à partir des données recueillies sur le terrain et des études microscopiques. L'auteur y argumente ce point de vue à l'aide des analyses chimiques des roches migmatiques et eclogitiques, confirmées par les études microscopiques et de terrain.

Dans la série cristallophyllienne Iainici-Păiuș (monts Vilcan), dans les vallées Șușița Verde et Porcului, les roches migmatiques se présentent sous forme d'agmatites, diatirites et embrûchites.

Les schistes cristallins épimétamorphiques (faciès amplibolique rétrométamorphisé au faciès de schistes verts) sont constitués à la partie inférieure de quartzites et quartzites arcoisiens à biotite; vers la partie supérieure, les schistes cristallins passent graduellement aux schistes quartzés à biotite (parfois chloritisé) ± muscovite, schistes séricite-chloriteux, schistes graphiteux, calcaires et micaschistes quartzés.

Les filons quartzo-feldspathiques qui participent à la formation des agmatites et des diadiisites sont constitués de microcline souvent albitisée (83 %), quartz (12 %), biotite, muscovite et calcite (3 %). Ces filons traversent la structure des schistes cristallins ou s'insinuent sur leurs plans de schistosité, en constituant des migmatites hétérogènes. Leur origine est prépondéramment allochimique; le métasomatisme y a joué un rôle secondaire.

Les migmatites homogènes, constituées par métasomatose et représentées par embréchites, sont localisées de préférence dans la partie supérieure de la série Lainici-Păiuș, là où les schistes quartzés ont un caractère plus micacé, moins compact. Leur structure est échigranulaire ou porphyroblastique (dents de cheval). On peut observer, au microscope, des cristaux de quartz, feldspath et minéraux micacés. Dans les endroits où les feldspathisations ont été plus intenses, la roche présente une structure quasi granitique. La quantité de muscovite et biotite baisse par rapport à l'intensité du processus de granitisation.

Au microscope, la composition minéralogique des embréchites est la suivante : quartz, microcline, perthite, plagioclase, biotite, muscovite, zircon, apatite et minéraux opaques. La calcite remplace partiellement le feldspath ou elle se dépose dans des fissures.

Le quartz des roches migmatiques a une signification majeure parce qu'il indique, par son aspect, les différentes étapes de la genèse des roches feldspathiques. Les paléocristaux de quartz sont cataclásés, à petites dimensions (de 0,80 mm à 0,02 mm), allongés dans le sens de la schistosité. La cataclasation a précédé la feldspathisation; cette conclusion ressort du fait que les autres paléominéraux micacés sont aussi rompus, brisés en éclats ou contorsionnés tandis que les néo-feldspaths et le néo-quartz ne présentent pas les traces du phénomène de brisement. Les porphyroblastes de quartz à contours lobés ont pris naissance par l'homogénéisation des paléocristaux de quartz cataclases, grâce à une certaine quantité de SiO_2 d'en dehors. Finalement cet apport juvénile de SiO_2 a cristallisé dans les fissures des minéraux sous forme de quartz cristallin.

Les structures des embréchites prouvent que la métasomatose a eu lieu dans un milieu solide. Les phénoblastes de feldspaths alcalins sont grandes (environ 10 cm longueur) à formes idiomorphes, orientées parfois perpendiculaire sur la direction de schistosité. En ces cas, les phénomènes de poussée des minéraux anciens par les phénoblastes de néo feldspaths peuvent être remarqués tant macroscopiquement que microscopiquement. Les structures poléllitiques, mirmidétiques, diablastiques, ainsi que la présence des porphyroblastes de quartz à contours lobés, superposées à un fond de paléocristaux de quartz antérieurement cataclásés sont caractéristiques pour le métasomatisme dans le milieu solide.

L'interprétation comparée des cellules standard indique l'échange d'ions. Le bilan des cellules Barth démontre que, dans les roches migmatisées, la quantité de SiO_2 et alcalis ($\text{Na}_2\text{O} + \text{K}_2\text{O}$) augmentent tandis que le nombre des ions de Mg, Fe, Ti, P et parfois Al baisse. En dernière analyse, ces conclusions sont conformes aux opinions de Reynolds sur les changements géochimiques qui ont lieu dans les roches pendant le deuxième degré de granitisation. Mais Reynolds indique pour les roches granitiques un armoindrissement de la teneur en calcium, ce qui n'est pas valable dans notre cas, parce que les roches migmatiques analysées manifestent une faible augmentation de la teneur en calcium. Cette constatation va de pair avec les conclusions de Lapadu-Hargraves. Quant à l'augmentation du calcium dans les roches feldspathisées par comparaison à celles non feldspathisées, Dimitrescu (1964) est arrivé aux mêmes conclusions pour les gneiss d'injection des monts Făgăraș (Carpates Orientales); de même Escher (1966) pour les roches granitisées de la région Nanortalik (Groenland). L'augmentation de la teneur en calcium dans les migmatites de la série Lainici-Păiuș s'explique par la présence de la calcite, déposée secondairement dans les fissures et qui indique d'une manière significative la circulation des solutions dans ces roches. Du reste, le-

tableau de variation des éléments, préconisé par L a p a d u - H a r g u e s , fait voir l'identité d'opinions avec celles de R e y n o l d s , certains aspects étant mieux mis en évidence. Par exemple, la baisse relative du Al_2O_3 simultanément avec l'augmentation de la teneur en alcalis dans les roches migmatisées est illustrée d'une manière convaincante par les valeurs du rapport $\text{Na}_2\text{O} + \text{K}_2\text{O}/\text{Al}_2\text{O}_3$; de tous les éléments alcalins, c'est le sodium qui prédomine quantitativement par rapport au potassium.

À la suite de l'analyse des bilans de la cellule Barth, on constate la baisse de la teneur en eau dans les roches feldspathisées par rapport à celles non-feldspathisées. Ce fait s'explique par cela que le feldspath sodo-potassique contient en réseau une quantité d'eau plus petite que les minéraux micacés qu'il remplace.

La feldspathisation a eu lieu dans des zones de faible résistance, là où les schistes cristallins ont été préalablement faillés, fissurés ou brisés par l'activité tectonique. Dans le sens de ce qui a été dit, les filons feldspathiques ainsi que les paléocristaux de quartz et les minéraux micacés cataclasés des embréchites font foi. Après la fissuration des schistes cristallins, c'est l'ascension des solutions quartzo-feldspathiques qui s'est produite, ayant au commencement un caractère potassique. L'intime échange d'ions et la substitution métasomatique entre la phase de vapeurs intergranulaire et la roche hôte a eu lieu pour embréchites grâce au gradient géothermique (selon O r v i l l e).

La quantité de K et de SiO_2 , introduite d'en dehors pour la formation de la microcline et des phénoblastes de néo-quartz, selon les analyses chimiques et les données microscopiques, n'a pas été trop grande. Pour constituer les nouveaux édifices cristallins, la microcline a pris une partie du potassium de la muscovite et la biotite préexistantes c'est-à-dire des paléocristaux substitués par métasomatose. Le quartz porphyroblastique à contours lobés a résulté de la remobilisation qui a été possible par l'introduction d'une quantité juvénile de SiO_2 .

La phase potassique a été suivie par la phase sodique, qui s'est soldée avec l'albitisation de la microcline. De cette manière ont pris naissance les micropertites et les perthites.

PLANŞA 1

- Fig. 1. — Vîne de albă incrușată (alb), dezvoltată pe seama unui feldspat potasic (negru) N + ; $\times 10$.
Veinules d'algite entrecroisées (blanc), développées sur un feldspath potassique (noir). N + ; $\times 10$.
- Fig. 2. — Microclin cu structură poikilitică; în centru (alb) un cristal mai mare de plagioclaz ușor sericitizat cu conururi franjurate. Se mai observă și alte incluziuni de plagioclaz, cuarț și biotit. N - ; $\times 10$.
Microcline à structure poikilitique; au centre (blanc) un cristal plus grand de plagioclase faiblement séricitisé à contours frangés. On observe encore d'autres inclusions de plagioclase, quartz et biotite. N + ; $\times 10$.
- Fig. 3. — Cuarț juvenil (alb) aliniat pe fisurile unui cristal de microclin. N - ; $\times 70$.
Quartz juvénile (blanc) aligné dans les fissures d'un cristal de microcline. N - ; $\times 70$.
- Fig. 4. — Porfiroblast de cuarț cu extincție în evantai (alb), (stingă și centrul) format prin remobilizarea paleocristalilor cataclasate de cuarț (sus, creapta jos). N + ; $\times 70$.
Porphyroblastes de quartz à extinction en évantail (blanc), (à gauche et au centre), formé par la remobilisation des paléocristaux cataclasés de quartz (en haut, en bas à droite). N + ; $\times 70$.

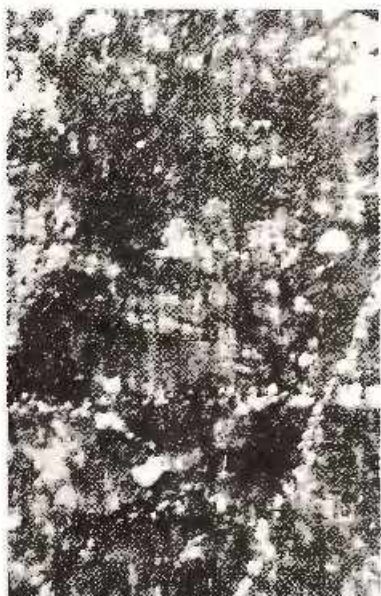
N. STAN. Migmatitele de pe văile Șușita Verde și Poreului. Pl. I.



1



2



3



4

Institutul Geologic, Dăr' de seamă aloc şedinţelor, vol. LVI/I.

PLANŞA II

Fig. 1. — Structură în fagure: paleocristale de cuarz, cu dimensiuni mici pe cale de a fi incorporate în structura porfiroblastelor de néoquartz; dreapta sus și stînga jos, microcline-perlite, N - ; $\times 70$.

Structure alvéolaire : paleocristaux de quartz à petites dimensions en train d'être incorporés dans la structure des porphyroblastes de néoquartz ; en bas à gauche et en haut à droite, microcline-perlite, N + ; $\times 70$.

Fig. 2. — Trei néocristale dezvoltate perpendicular pe schistositate : jos dreapta (alb negru) un porphyroblast de cuarz, mijloc (negru) și sus (cenușiu) porphyroblast de microperlite, N + ; $\times 10$.

Trois néocristaux développés perpendiculairement sur la schistosité : en bas à droite (blanc-noirâtre) un porphyroblaste de quartz ; au centre (noir) et en haut (grisâtre) des porphyroblastes de microperlite, N + ; $\times 10$.

Fig. 3. — Structura în grătar a microclinelui substituită începând prin albă vermicular (alb), N - ; $\times 70$.

Structure quadrillée du microcline faiblement substituée par de l'albite vermiculaire (blanc). N + ; $\times 70$.

Fig. 4. — Feldspati plagioclazi corrodăți, inclusi într-un porfiroblast de cuarz (negru), N - ; $\times 70$.

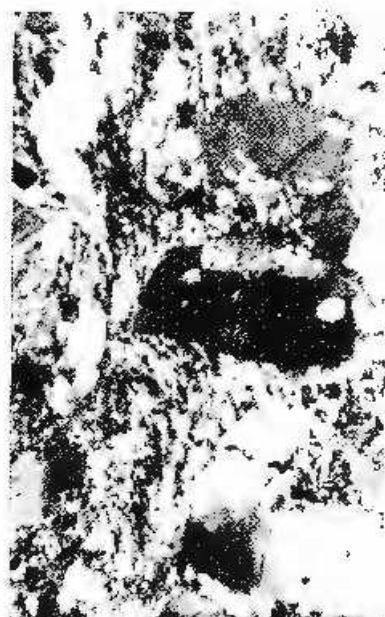
Feldspaths plagioclases corrodes, inclus dans une porphyroblaste de quartz (noir). N + ; $\times 70$.



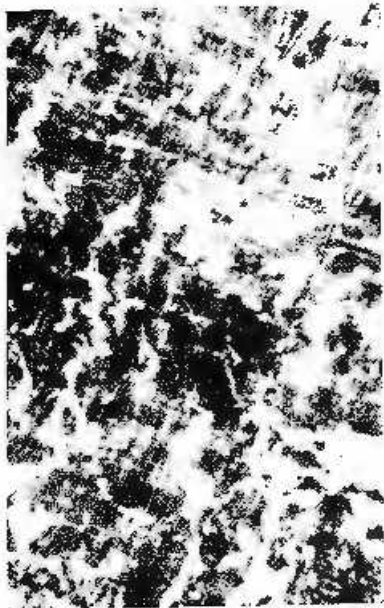
N. STAN. Migmatitele de pe valele Șușita Verde și Porcului. Pl. II.



1



2



3



4

Institutul Geologic. Dări de seamă ale ședințelor, vol. LVI/I.



Institutul Geologic al României

PETROLOGIA ROCILOR MAGMATICE

LITOLOGIA CALCARELOR MEZOZOICE ASOCIAȚE
BAUXITELOR DIN MASTIVUL PĂDUREA CRAIULUI
(MUNȚII APUSENI)¹

DE

VICTOR CORVIN PAPU²

Abstract

Lithology of the Mesozoic Limestones Associated with the Bauxites of the Pădurea Craiului Massif (Apuseni Mountains). The Mesozoic limestones associated with the bauxites of the Pădurea Craiului massif (Apuseni Mountains) are represented by the Upper Jurassic reef limestones in the basement of bauxites, and lacustrine limestones with Charophylae. Neocomian in age, and subordinately marine limestones in the roof of these bauxites. The lithological study pointed out a wide range of types of calcareous rocks. Within the Jurassic limestones three lithofacies may be distinguished: reef facies str. s. (organogenous limestones), reef-like facies (the lithological types being distinguished as a function of the relationship between the material of a lithoclastic-organogenous nature and of the precipitation one and the diagenetical facies. Among the Neocomian limestones there have been distinguished organogenous limestones under the continental facies (lacustrine), and subordinately the limestones under the littoral marine facies (calcirudites), as well as limestones under the mixed facies (?) (organogenous-granular). The accumulation of the Upper Jurassic reef limestones was followed by a continental phase (Purbeckian-Wealdian) when bauxites and lacustrine limestones have formed; this phase has not excluded in some zones the preservation of the marine characters.

I. Considerații generale

Depozitele de bauxită din masivul Pădurea Craiului (Munții Apuseni) se găsesc placate peste calcare jurasic-superioare în facies de Stramberg și sunt acoperite de calcare de vîrstă cretacic-inferioară, în facies preponderent lacustru, caracterizate prin prezența charophytelor. Studiul petro-

¹ Comunicare în ședință din 7 februarie 1969.

² Institutul Geologic, Sos. Kiseleff nr. 55, București.

grafic pe care îl prezentăm se referă la rocile din imediata vecinătate a lentilelor de bauxită, fără a avea pretenția de generalizare asupra întregii formațiuni calcaroase din masivul Pădurea Craiului. Materialul utilizat în acest studiu provine atât din aflorimente naturale cît și din forajele executate de Întreprinderea Geologică de Explorări pus la dispoziție de G. J. acotă.

Calcarele mezozoice din masivul Pădurea Craiului au format obiectul unui capitol principal în toate studiile geologice întreprinse în regiune, mai ales pentru stabilirea stratigrafiei, fără însă a se fi executat cercetări litologice de acum sănunt. Înainte de primul război mondial, începând cu Hauser (1852), aceste roci au fost menționate de o seamă de autori, cum sint: Mártonfi (1884), Matyásovszky (1882) și apoi studiate de Hoffmann (1898), Szádeczky (1905), Lachmann (1908), Pauls (1913), Pálffy, Rozlozník, Szontagh (1912), Rozlozník (1918), Fisch (1924). Ulterior geologia masivului Pădurea Craiului este cercetată de Kräutner (1939), iar în ultimele două decenii de: Patrulius (1955)³, Pauliu (1953)⁴, Răileanu (1957), Preda (1962). Patrulius analizează caracterele calcarelor din culenșul și acoperișul bauxitelor, scoțind în evidență variațiile structurale și paleontologice, în funcție de orizonturile definite. Dragastan, Istoceanu, Diaconu (1966) citează în aceste calcare o microfloră caracteristică pentru Cretacicul inferior (Barremian-Aptian) și pentru Jurasicul superior.

Studii recente⁵ au arătat că calcarele jurasice conțin cantități cu mult mai mici de stronțiu decât cele urgoniene cu pahiodonte, mijloc prin care pot fi deosebite cele două tipuri litologice. Calcarele cu charophyto se caracterizează prin conținuturi intermediare. Prospecțiunile geofizice executate recent în masivul Pădurea Craiului au arătat că, în fundament, sub calcarele de Strauberg se găsesc o seamă de mase dense și cu proprietăți magnetice mai ridicate corespunzînd probabil unor roci eruptive bazice.

³ D. Patrulius. Raport asupra geologiei bauxitelor din partea centrală a Pădurii Craiului cu o anexă asupra lucrărilor de cartare din 1954. Arh. Inst. Geol. București.

⁴ D. Patrulius. Raport asupra ridicărilor geologice în reg. Pădurea Craiului. (Apușeni) 1955. Arh. Inst. Geol. București.

⁵ S. Pauliu. Cercetări geologice în bazinul Remeți. 1953. Arh. Inst. Geol. București.

⁶ S. Bordea, Irina Bratosin, R. Giușcă, Alexandra Medeșan. Studii geochemice asupra scriilor carbonatice din Munții Apuseni de Nord. Tema 51/62 — 1967. Arh. Inst. Geol. București.

II. Studiul petrografic al calcareelor mezozoice

Studiul litologic executat asupra calcareelor mezozoice asociate bauxitelor din munții Pădurea Craiului a condus la întocmirea următoarei clasificări, în funcție de poziția stratigrafică și de litofacies :

A) Jurasic superior (faciesuri biohermice și peribiohermice)

1. Facies recifal (biohermic str. s.) : calcare recifale,
2. Facies recifogen (sub- și perirecifal) :

a) calcare organogene (biocalcarenite); b) calcare organo-pseudo-olitice (lito-chemo-biocalcarenite); c) calcare organo-pseudoolito-granular; d) calcare granular; e) calcare granular breccioase; f) calcare oolitice.

3. Facies diagenetic : calcare recristalizate.

B) Neocomian (Purbekian-Wealdian)

1. Facies continental (lacustru) : calcare organogene microgranulare.
2. Facies marin litoral (macroelastice) : psefite calcaroase (calciuride grozioase).
3. Facies mixt (marin + continental (?)) : calcare organo-granulare.

Un caracter comun atât calcareelor jurasice cît și celor neocomiene este lipsa totală a oricărui adăos de material detritic cum și conținutul cu totul subunitar al reziduului clorhidric.

A) Calcare jurasic-superioare. În materialul examinat s-a constatat predominarea categorică a calcarelor recifogene asupra celor recifale, observație în concordanță cu situația tuturor masivelor calcaroase recifale, ca și cu observațiile oceanologice actuale. În general rocile întâlnite au textură masivă, rareori cu indicii de orientare sau chiar de stratificație, și culori deschise : alb-gălbui, uneori cu trecere spre cenușiu și negru. Grosimea întregii formațiuni este evaluată, de către Patrulius, între 200-300 m, cu variații locale. Anomalii geofizice menționate considerăm că sunt datorate unor roci eruptive bazice (eventual diabaze), de tipul color ce constituie de altfel substratul de fixare al recifilor portlandieni și în alte sectoare ale Munților Apuseni. Această interpretare apare astfel în concordanță cu ipoteza emisă de noi în trecut, potrivit căreia materia primă din care au luat naștere bauxitele din masivul Pădurea Craiului ar fi fost reprezentată prin tufuri diabazice desilicificate (Papiu, Minzatu, 1968).

1. Calcare recifale (*construite*). Aceste depozite prezintă, după cum s-a enunțat, o dezvoltare cu totul subordonată și este posibil ca probole cu asemenea caracter să reprezinte de fapt blocuri și fragmente psefite

de calcare recifale, înglobate în depozitele de flanc sau chiar perircifale. Se caracterizează prin structură organică coralieră specifică. În masa fin granulară (alcătuită din 60-70%), apar zone subțiri de calcit recristalizat cu aspecte meandriforme. Local, se recunosc secțiunile transversale ale lojelor calcaroase, rareori cu septe vizibile, ca și structuri de crustificație care pot fi rezultatul acțiunii de precipitare a unor alge calcearoase de tip *Lithothamnium*. Uneori se vădă o tendință de conturare de forme circulare sau ovoidale, indicând că geneza corpusculilor pseudoolitici este legată de dizolvarea acestor resturi scheletice. În masa granulară, ca și în zonele recristalizate corespunzînd lumenurilor primare, s-a constatat prezența unor schelete de foraminifere bine conservate, pătrunse după distrugerea substanței organice.

2. *Calcare recifogene*. Se caracterizează printr-un amestec intim și în proporțiile cele mai variate de detritus organic (recifal, bentonic și pelagic) intraclaste de calcilutite, corpusculi pseudoolitici. În cazuri speciale se adaugă oolite str. s., cu structuri concentrice și concentric-radiare. Geneza pseudoolitelor este fără îndoială multiplă: fragmente calcearoase preexistente lithice sau organogene, organogenă (polete fecale), sau organochimică, legată de trecerea în soluție a materialului calcaros, mai ales organogen, a cărui triturare a avut loc atât sub acțiunea abraziunii marine cât și a organismelor perforate, urmată de precipitare și aglutinare. Această aglutinare selectivă a fost invocată, pe baza observațiilor oceanologice, de Liling (1951) și Beals (1958) pentru explicarea genezei corpusculilor pseudoolitici. Beals a aplică unor depozite devoniene considerate ca rezultat din aglutinarea materialului coloidal sau în suspensie și dărocilor rezultate denumirea de bahamite⁶. Acolo unde procesul de solubilizare a calcarului organogen a fost urmat de o amplă agitare a apei marine a avut loc procesul de oolitizare, acești corpusculi putind fi și ei antrenăți apoi în dinamica apelor, asemenea materialului detritic. În felul acesta a rezultat un material mixt, generat atât de procesul de abraziune cât și de corelarea acestui proces cu procese chimice și organochimice, însoțite de formarea de miluri calcearoase (calcilutite). Depozitul psamitic (calcarenitul propriu-zis) are deci un caracter mixt (detrito-organo-chimic) corespunzînd, după litificare, unui calcar cu structură mixtă, tip litologic, pentru care Langhjorne (1929) a utilizat termenul de sper-

⁶ Termen utilizat și de către unul dintre autori în legătură cu carbonatitele din epizona masivului Potana Rusca.

genit. În graficele date de F. J. Pettijohn (1957) ocupă un loc intermediar între termenii de microcoquina (biocalcarenite str. s.) alcătuite aproape numai din detritus organic și calcarele oolitice propriu-zise.

Calcarele recifogene sunt astăzi rezultatul acumulării la marginea recifilor, în zonele interrecifale sau în lagunile interioare ale atolilor (?), a materialului de trei proveniențe: detritic-organogenă (biocalcarenite), detritic-litogenă (litocalcarenite), chemogenă (chemocalcarenite)⁷. În această ultimă grupă se situează corpusculii pseudoolitici și oolitici (în unele cazuri) ca și calcilintitele litografice. Participarea celor trei grupe de materialo la geneza calcarelor învederează astăzi trei componente extreme: litogenă, organogenă și chemogenă. În graficul ternar dat de F. J. Pettijohn (1957), intervenția materialului terigón (euarțul) conduce spre rocile detritice (epiplasticice) prin roci mixte.

Calcarele granulare, pe de altă parte, apar ca rezultat al dezagregării și al reprecipitării diagenetice a carbonatului de origine detritică și chimică cu toate tranzițiile de la tipurile litologice prezentate și pînă la cele strict granulare. În cazul calcarelor litografice, în care originea s-ar datora consolidării mînlurilor (calcilintite) și desigur unor ample procese chimice, deosebirea este și mai anevoieasă, masa fiin calcaroasă avînd o origine mixtă. Din aceste motive, diagnoza privește de multe ori doar aspecte litologice locale care pot varia pe o scară întinsă chiar în același eșantion (microfaciesuri petrografice). Referindu-ne la timpul formării componentelor litologice, seria recifogenă rezultă în trei tipuri extreme și anume: materialul calcaros detritic (bio- și litogen), materialul calcaros rezultat din precipitarea singenetică sau penecontemporană și materialul calcaros epigenetic.

În cele ce urmează dăm descrierea principalelor tipuri de calcare recifogene recunoscute:

a) Caleare organogenă (biocalcarenite) (pl. I, fig. 2). În aceste roci materialul organogen domină în mod categoric asupra celui pseudoolitic, care însă nu este niciodată totalmente absent. În rocile cele mai bogate în detritus organic (calcarul din patul lentilei de bauxită de la Schireaua) aceste resturi nu depășesc 90%, astfel că se situează aproximativ la limita dintre ceea ce se denumește microcoquina și spogenit; local au caracterul unor adesea rare microlumășele, cu fragmente organice de dimensiuni foarte variate, de la centimetrice pînă la

⁷ Introducerea acestui termen nu-a apărut utilă pe linia acceptării genezei corpusculilor oolitici și pseudoolitici, pe calea precipitării chimice (tipul bahamitic).

submilimetrice, în care domină resturi de alge calcaroase și de organisme coloniale. Sunt frecvente și resturile de bivalve la care uneori se recunoaște și stratul lamellar. Alteori, forma lor inițială este indicată doar de o pulbere fină calcitică ce se concentrează la periferie, partea centrală fiind recristalizată. Contrația sedimentului, survenită cu litificarea mîlului, a determinat uneori fragmentarea acestor resturi cu o ușoară deplasare a porțiunilor rezultate care, în ansamblu, conturează formă inițială a fragmentului. Resturile de echinoderme constau în primul rînd din entroce, întregi sau fragmentare, urmate de radiolele de echinoide și de plăcile de crinoide, mai mult sau mai puțin denaturate de diageneză și cu periferia regenerată cu calcit de neoformațiune. În masa calcitului recristalizat se recunosc uneori insule sau mici zone periferice cu structură organică relictă. Numărul foraminiferelor, ca și gradul lor de conservare, este de asemenea foarte variat, formele întregi fiind frecvente (textularii, miliolide etc.). Resturile de brahiopode prezintă grade diferite de fragmentare și de diagenezare. Pseudoolitele sunt în general circulare pînă la ovoidale și au dimensiuni care variază între 0,10 și 0,25 mm. Ele pot prezenta o uniformitate granulometrică remarcabilă, în jurul a $\pm 0,25$ mm. Probele cu un procent de pseudoolite mai mare de 10% corespund – după cum s-a arătat – termenului de spergenit (fără material epiclastic). Cimentul, format pe scama resturilor organice amintite (autocimentare), este reprezentat prin calcit recristalizat, variind cantitativ pe o scară întinsă (ex. 10% în calcarul din patul lentilei bauxitice de la Schireaua, 20-30% în puțul 3530 – I.S.E.M.).

b) *Calcare organo-pseudoolitic (ito-chemo-biocalcarenite)* (pl. I, fig. 1). Acest tip litologic poate fi derivat din precedentul prin creșterea cantității de pseudoolite în detrimentul celei de resturi organice. Cantitatea de corpusculi pseudoolitici poate ajunge pînă la 90%, evoluînd astfel spre un calcar pseudoolitic tipic (pl. II, fig. 3). Procesele diagenetice conduce uneori la fuzionarea corpusculilor sau la fuzionarea lor cu resturile organice astfel că structura evoluează spre o masă uniformă granulară, în care vechile contururi se recunosc cu atît mai greu cu cît metamorfoza este mai avansată (spre tipul calcarelor granulare). În alte cazuri (Cornet II-Fîșea) resturile de organisme sunt bine individualizate și umplute uneori cu calcit fibroradiar sferulitic. Fragmentele diagenezate de alge, de bivalve și de organisme coloniale sunt frecvente alături uneori de spiculi de spongieri și de radiolari calcitizați. În aceeași secțiune se pot întîlni, alături de corpusculi pseudoolitici, estompați, forme bine

conturate puse în evidență și printre-o crustă de calexit fibroradiar. Liantul este calcit recristalizat ca și în cazul precedent.

Cel mai tipic calcar jurasic din această grupă conține pseudoolite și resturi organice în proporții analoge, iar heterogenitatea materialului îl situează la limita dintre calcarele psorfitice și psamitice (calcarenit-calcirudit). Este remarcabilă buna conservare a fragmentelor de corali care pot atinge dimensiuni centimetrice, însoțite de material organic fin triturat, de entroce întregi și fragmentare, de pseudoolite de origine chimică sau de corpusculi parțial dezagregăți. Aceste calcar corespund, prin structură și componentă, cu nisipurile coraliere actuale. Aleătura lor procentuală este indicată în tabelul 1.

TABELUL 1

Proba	Detritus organic %	Pseudoolite %	Diametru mm	Liant calcitic %
29 (Cornet II-Fișca)	50-70	30-40	0,14-0,20	±10
28 (Zecă Hotare)	±50	±40	±0,20	±10
7 (Zecă Hotare-bloc în bauxită)	10-30	70-90	0,15-0,20	±1-±10
8 (limita cu bauxita, prj 3530, I.S.E.M.)	±10	±40	0,10-0,20	±20

Rocile descrise sunt adeseori străbătute de fisuri dese, anastomozate, umphuite cu calexit, conducind local spre tipul brecios. Pot prezenta insule de opal sau calcedonită fină asociată cu limonit (Cornet II-Fișca) sau limonit format pe seama unei piroto hidrotermale. Silicea amorfă mai provine și pe seama spiculilor și radiolarilor, a căror prezență a fost citată mai sus, și care sunt substituți cu calexit.

c) Calcar organo-granular. Aceste roci rezultă din transformarea diagenetică a calcarelor descrise anterior, a căror structură se estompează treptat, conducind pînă la tipurile fin granulare. Structurile inițiale se recunosc cu greutate. Corpusculii figurați se dezagregă diagenetic sau apar fuzionați prin redepunerea calcitului. În calcarul de la limita cu bauxita din planul inclinat I.S.E.M. (pr. 6) se recunosc miliolide, ostracode, structuri de organisme coloniale, alge calcaroase, în proporție de 10-15% din masa roci, iar în proba de la Cornet II-Fișca, în proporție de 20%. Notăm că unii corpusculi din această probă au forme ce amintesc de resturile de taluri de charophyte, organisme caracteristice calcarelor

din acoperișul bauxitelor. Fuzionarea totală a corpusculilor pseudooolitici (pînă la 70%) conduce la o masă uniformă.

Pe fisurile care străbat aceste roci se recunosc concentrații de oxizi ferici (hematit) rezultați din oxidarea piritei. Oxizii ferici pot proveni de altfel și din depozitele bauxitice, aduși de apele de infiltratie. Este foarte probabil că, mai ales calcarele roșii, pigmentate cu oxizi ferici, conțin oxizi de ambele proveniențe.

Alteori, pseudomorfozele de hematit după pirită sunt localizate pe fisuri, alături de concentrări de oxizi ce conturează parcele de calcar în zonele mai brecioase sau se concentrează în jurul scheletelor de foraminiferi. În calcarele de la Chicera Tarbii se observă microstilolite și suturi foarte fine marcate prin oxizi ferici, ca și zone difuze de hematit (coloidal) răspândite în toată masa rocii.

d) **Calcare granulară fină.** Sunt produsul final al diagenezei, în care întreaga masă calcaroasă s-a uniformizat. Cu totul sporadic, se mai pot recunoaște contururi primare de resturi organice sau de corpusculi. În toate aceste calcare apar granule de hematit, rezultate din oxidarea piritei uneori idiomorfe. În alte cazuri, acumulările de asemenea granule par independent de fisuri, indicând o depunere anterioară ultimelor eforturi tectonice care au fisurat roca.

e) **Calcare granulară brecioasă.** Se deosebesc de tipurile precedente doar prin textura brecioasă, rezultată din anostomozarea unui mare număr de fisuri orientate cu precădere pe o anumită direcție. Aceste fisuri, umplute cu calcit, prezintă uneori, la periferie, granule de hematit. Alteori fisurile străbat chiar granulele hematitice, dovedind o tectonizare ulterioară aportului de pirită. Independent de fisuri, în masa rocii se mai găsesc granule de hematit (sau hidrohematit) cu forme ovoidale și cu periferia înconjurată de cristale cu contururi idiomorfe. Presupunem că ne găsim în prezentă unor glomeruli de pirită total substituți cu oxid feric, a căror formare a avut loc tot anterior ultimei fisurări. Aceste observații ne-au condus la concluzia că aporturile hidrotermale au două vîrste: o generație anterioară fisurării principale din roca actuală și o a doua generație, legată chiar de această fisurare, precedind depunerea calcitului diagenetic.

Aceste roci prezintă o structură microgranulară uniformă în care se conturează, extrem de rar și de estompat, formele organismelor și pseudooolitelor din calcarul inițial. Uneori fisurarea pare a se fi orientat pe conturul unor fragmente milimetrice de calcare preexistente (calcarele din patul Lentilei bauxitice de la Chicera Tarbii). Corelația care există între gradul

de fisurare și transformarea diagenetică a rocii este deci evidentă. Epi-geneza a acționat mai ales în urma acestor eforturi tectonice, iar procesul a fost înlesnit și de participarea unor soluții juvenile, survenite după litificație.

f) **Calcaree oolitice.** Au o participare subordonată și apar ca un subfacies local în cadrul masivului calcaros preponderent recifogen, prezintând uneori amestecuri de oolite și pseudoolite (structuri mixte). Subordonat cantității coloralte tipuri litologice, asemenea roci au fost determinate în materialul colectat din galeria de la Călățeaua (început de oolitizare) și de la Aștileu (unde s-au recunoscut cele mai tipice calcaro oolitice). Corelarea datelor în cele două puncte ne-a condus la stabilirea a trei subtipuri litologice : (1) calcare cu început de oolitizare, (2) calcare oolitică mixtă (cu adăosuri pseudoolitice), (3) calcare oolitică str. s.

(1) **Calcarele cu început de oolitizare** (embrionare sau incipiente) (pl. II, fig. 1, 2) sunt alcătuite, în proporție de cca 75%, din corpuseculi organo-detritici înconjurați de un singur strat pelicular calcitic (oolite superficiale, Carozzi, 1957), printre care rareori se remarcă resturi organice (plăci de crinoide, fragmente de brahiopode) necrustificate. Corpuseculii au $D = 0,25-1,5$ mm iar liantul este calcitul recristalizat, alcătuind o plajă de cristale uniforme mărunte, cu contururi sinuoase și lobate ($D = \pm 0,025$ mm), fără clivaj și măce polisintetice.

Formele corpuseculilor variază în funcție de formele nucleelor. În secțiuni sunt circulare, eliptice, poligonale, alungite, neregulate. Între nucle se recunosc fragmente de alge calcareoase (?), de echinoderme (entroce, radiole, plăci de crinoide), fragmente de polipieri, de brahiopode și chiar foraminifere intregi (rotaliide). Alteori nucleul este reprezentat prin fragmente fin granulare, nedeterminabile sau cu structură ștearsă diagenetică, total sau numai în zona centrală (calcit recristalizat). Crustele de calcit sunt alcătuite dintr-o singură peliculă, rareori din două plicule, au structură radiară și sunt groase de 0,04-0,08 mm. Oxizii ferici apar pe fisuri și în jurul sau în interiorul corpuseculilor, atestând o origine net supergenă.

(2) **Calcarele oolitice mixte** (pl. I, fig. 3) sunt alcătuite din patru componente principale :

Oolite (mari) — cca 70% cu $D = \pm 0,5-1$ mm ;

Pseudoolite (mărunte) — cca 10% cu D sub 0,25 mm ;

Resturi organice nediagenizate — sporadic asociate pseudoolitelor ;

Ciment calcitic recristalizat — cca 20%.

Distribuția oolitelor în masa rocii este neregulată, în timp ce în unele porțiuni corpuseculii oolitici se concentrează atingindu-se reciproc, în altele

sunt separați prin ciment calcitic analog cimentului bazal. Pseudoolitele se concentrează local în zone milimetrice sinuoase, indicând aporturi sau jeturi locale, printre corpusculii oolitici mari.

Oolitele au forme circulare, rareori ovoidale, și sunt alcătuite din pături concentrice de calcit cu dispoziție radiară mai ales în stratul lor interiu, cu grosimi de 0,015-0,025 mm, depuse în jurul unor nuclei organo-detritive calcaroase. Între acestea se recunosc granule calcarenitice cu structură microgranulară, foraminifere întregi (miliolide), fragmente spațiale de echinoderme, alge calcaroase. Numărul crustelor calcitice vizibile variază între 3 și 8, cele dinspre nucleu prezintind o structură din ce în ce mai ștearsă, astfel că uneori alcătuiesc o singură crăstă cu grosime mare (pînă la 0,15 mm). Corodarea periferică diagenetică conduce la forme cu contururi ondulate, dar nu se întâlnesc oolitele tipice „cerebroide” cu structură ștearsă (Carozzi, 1962). Mai ales în porțiunile mai bogate în corpusculi pseudoolitici, se adaugă și resturi de schelete organice: fragmente de bivalve mai mult sau mai puțin recristalizate și mai ales entrocele de crinoide prezintind grade diferite de diagenizare, cu ștergerea structurii organice, urmată de apariția de monocristali spațiali de calcit, uneori de dimensiuni centimetrice. În aceste cazuri, calcitul redus alcătuiește liantul, iar conturul inițial al fragmentului de crinoid se poate încă recunoaște în masa calcitică de neoformație.

Rocă este fisurată și impregnată cu oxizi ferici exogeni, atât în jurul diaclazelor cât și în jurul oolitelor în care procesul de substituire se manifestă uneori după crăstele concentrice de calcit. Alteori oxizii substituie nucleul la care ajung pe fisuri, interesind într-o măsură subordonată structura concentrică inițială.

(3) Calcare oolitic str. s. cu ciment recristalizat (pl. III, fig. 1,2). Rocile au un aspect destul de uniform fiind alcătuite din corpusculi oolitici (cca 70%) inclusi într-o masă de calcit recristalizat uniform, care constituie cimentul (cca 30%). Corpusculi oolitici se mențin în jurul a ± 1 mm Ø; cei de dimensiuni inferioare (ajungînd pînă la ± 5 mm) sunt cu totul subordonati cauțativ. Forma acestor corpusculi este circulară, mai rar elipsoidală, rareori evoluînd spre aspecte triunghiulare sau colțuroase, impuse de forma inițială a nucleului. Structura este concentric-radiară caracteristică, iar nucleul reprezentat în genere prin resturi organice (fragmente de palipieri, de alge calcaroase, de echinoide, plăci de crinoide, foraminifere întregi) sau prin resturi indeterminate cu centrul calcitic recristalizat, indicînd poate o evoluție diagenetică anterioară procesului de oolitizare. Adeseori nu se recunoaște nucleul central, fapt da-

torat fie secționării, fie depunerii carbonatului inițial în jurul unei bule de gaz. În alte cazuri, corpusculii centrali sunt rotunzi și cu structură fin granulară, putind reprezenta chiar și un granul pseudoolitic. Mult mai rar apar oolite cu nuclee duble, rezultate din cîte două mici oolite preexistente. În fine, tot sporadic apar oolite cu nucleu excentric. Păturile de calcit au structură granulo-radiară cu marginea uneori aproape opacă. Structura descrisă pînă aici se întâlnește la cca. 75% din oolite, la cca 25% fiind în mare parte ștearsă diagenetică. Numărul stratelor variază (pînă la 12), iar grosimea lor actuală, între 0,02 mm pentru corpusculii nealterați și 0,2 mm pentru cei cu structură primară ștearsă. Periferia oolitelor este în genere ușor ondulată evoluind, ca și în cazul precedent, spre formele „cerebroide”. Din morfologia acestor corpusculi (pl. II, fig. 1) se poate deduce, paralel cu evoluția lor genetică, însăși evoluția paleogeografică a bazinului de acumulare. Continuitatea păturilor calcitice din apropierea nucleului indică o precipitare ritmică mai mult sau mai puțin continuă, proces care se poate întrerupe la un moment dat prin disecarea bazinului, având ca urmare deshidratarea și contractarea păturilor periferice, aflate încă în stare plastică. Consecința este denaturarea conturului inițial și discontinuitatea păturilor periferice. O nouă fază de submersie și de redupunere a carbonatului de calciu generează ultimele pături calcaroase care, după cum rezultă din planșa II, figura 4, mulează, de astă dată, forma cea nouă — cu discontinuități — a oolitului. Procesele de disoluție ce au urmat au condus uneori la noi denaturări în contururile oolitelor și la formarea liantului din calcitul dizolvat. Uneori zonele de disoluție se pierd în masa liantului asemenea unor nori granulari, indicând că cimentul a luat naștere, pe seama stratelor calcitice de la periferia oolitelor. Din acest motiv, dimensiunile oolitelor se reduc, rămînind doar nucleul central care, într-un stadiu și mai avansat, poate fi „digerat” integral. Faptul că și în aceste portiuni au existat corpusculi oolitici se mai poate deduce și din caracterul local al calcitului care este ceva mai tulbure (datorată granulilor relicte). Destul de frecvente sunt însă și căzurile în care procesul de recristalizare se manifestă chiar între păturile de calcit granular care par să se desprindă de nucleul central. Fragmentele păturilor inițiale apar adeseori ca niște coji relicte în calcitul cimentului, păstrînd nealterată doar orientarea originară față de nucleu.

Sporadic se recunosc fragmente milimetrice de calcare organogene sau fin granulară, în bună parte „digerate” în procesul diagenetic (contururi relicte lobate), fragmente spătice de entroce cu periferia acoperită de

un strat difuz de calcit fin granular, ca și relictele unui detritus organic, nedeterminabil.

Liantul este reprezentat prin calcit recristalizat, în indivizi cu forme xenomorfe, cu clivaj evident și cu măce polisintetice.

Pe fisuri apare calcit larg recristalizat asociat de multe ori cu oxizi de fier mai ales periferic. Limitele acestor fisuri se pierd adesea în masa cimentului sau în calcitul secundar dintre păturile oolitelor. În spațiile dintre corpusculi se produc concentrații de oxizi asociate calcitului, indicând originea analogă celei de pe fisuri. Uneori cristalele de carbonat din aceste interstiții vădese tendințe de idiomorfism și prezintă vagi structuri concentrice, datorată poate unor procese de dolomitizare cu totul locale.

În lumina acestor date se poate admite că recristalizarea liantului și stergerea epigenetică a structurii primare se datoră acțiunii unor soluții interstițiale cu contribuția unor aporturi hidrotermale.

Genetic, roca poate fi numai parțial derivată din tipul precedent prin dizolvarea materialului fin din masa interstițială și a celui ce aleătuiește oolitele.

3. Caleare cu structură de recristalizare diagenetică. Au fost remarcate în cadrul brecilor și microconglomeratelor cu ciment bauxitic de la limita inferioară cu lentilele de bauxită. Contactul dintre fragmentele calcaroase și bauxită este transant și în genere fără modificări diagenetice. Fragmentele milimetrice și submilimetrice sunt însă uneori total recristalizate și din calcitul întrepătruns cu bauxita. Uneori, la marginea fragmentelor mari se recunoaște o vagă recristalizare, cu stergerea structurii primare, dar fără schimburi ionice reciproce. Corpusculii hematito-allitici pătrund (prin dizolvare și presiune) în masa calcarului (cariera Jofi, lentila 37).

Acest tip litologic are o dezvoltare redusă și nu prezintă trecceri gradate sau locale, spre ortomarinire.

B) Caleare cretacic-inferioare (pl. IV, fig. 3). Principalul tip litogetic care caracterizează formațiunea atribuită Neocomianului de peste lentilele bauxitice și calcarele jurasicice este un calcar lacustru de culoare închisă pînă la neagră, stratificat, bogat în resturi de charophyte, ostracode și gasteropode. În mod subordonat, la același nivel, apar calcarirudite alcătuite din blocuri și din fragmente psefítice, mai mult sau mai puțin rotunjite, cu ciment calcaros care, macroscopic, lasă uneori impresia unor calcare omogene, datorată asemănării de culoare și consistență dintre ciment și galeți. În mod cu totul subordonat s-au recunoscut calcare or-

ganogen-granulare care prezintă, alături de resturile organismelor lacustre citate, un detritus organogen ascuțător celui din calcarul jurasic (caracteră mixte). În supozitia acumulării sincrone a celor trei tipuri de calcare, se poate ajunge la concluzia că, la începutul Neocomianului, carstul Păduri Craiului, alcătuia un uscat pe care avusese loc acumularea bauxitelor, acoperit de lacuri și de mlaștini întinse (facies wealdian). Acost uscat alcătuia țărmul unei mări în care locul condițiilor recifale fusese luat de condiții litorale propice acumulării materialului grosier detritic, material care se desprindea continuu din masa de calcar jurasic exondată care forma o faleză destul de escarpată. Local se produceau amestecuri datorate, fie unor ușoare ingresiuni marine, cu caracter local, fie unor aporturi de apă dulce (asnpră acestei cehiuni păstrăm însă toate rezervele).

1. Calcare lacustre cu charophyte și ostracode (organogene) pînă la calcare microgranulare (pl. IV, fig. 1). Sub microscop aceste roci apar alcătuite dintr-o (a) masă calcaroasă fină, granulară, uneori aproape opacă, pigmentată în genere cu pigment coloidal, organo-hidroilitic și din (b) resturi scheletice de organisme granulare sau recristalizate (Schireaua) în diverse grade de diagenizare.

Din relația cantitativă dintre acești doi compoziți rezultă diferențe tipuri litologice : de la calcarul fin granular și pînă la calcarul organogen, în care organismele alcătuiesc (docelabil) pînă la 50% (Schireaua). În masa roci și pe fisuri apar uneori insule cu calcit recristalizat însorit de oxizi ferici (Călățeaua, Schireaua). Resturile de charophyte cele mai caracteristice sunt fragmente de taluri și ogoane secționate în toate planurile, cu structură uneori foarte clară. Astfel, unele fragmente lungi și subțiri de taluri sunt fragmentate păstrîndu-și însă formă și indicind segmentarea prin contracția milului lacustru în care au fost incluse. Este probabil că mare parte din masa calcaroasă de bază este rezultatul amestecului intim de resturi organice fin triturate și mil lacustru. În ordinea frecvenței, urmează resturile de ostracode lacustre, uneori fragmentare și sporadice, alteori numeroase (aproape cu aceeași pondere cu charophytele) și păstrîndu-și ambele valve. Subordonat apar resturi, mai mult sau mai puțin recristalizate, de bivalve și de mici gasteropode, adeseori întregi precum și un material organogen, puternic triturat și nedeterminabil. În unele cazuri resturile organice se concentrează în anumite porțiuni (Brusturi), indicind fie mici zone preferentiale de acumulare a organismelor din milul de origine, fie redistribuire ulterioare datorate mișcării în masa depozitului încă mobil.

Singurul material decelabil, de altă natură decât cele descrise, este reprezentat prin oxizii ferici care apar fie difuzi (hipergeni) în toată roca, fie în concentrații locale. Uneori se întâlnesc corpusculi ovali hematitici remaniati din bauxitele subjacente cum și concentrații difuze de pigment, arătând uneori o concentrare preferențială în jurul resturilor organice. Datorită rețelelor de fisuri, și aceste roci pot prezenta local textura microbrecioasă.

2. *Calcaruditele grosiere* menționate apar sporadic în acoperișul bauxitelor. Presupunem că acestui tip litologic îl aparțin o seamă de calcare cu caracterele descrise la capitolul privind calcarale recifogene (jurasică), care am arătat că provin din remanirea blocurilor de calcar jurasică. Astfel este calcarul fin, aproape litografic, de la Cornet II-Fisca, în care se găsesc resturi organice coloniale (cu structuri dantelate-mean-driforme), ostracode și foraminifere granulare (miliolide, rotaliide) ca și fragmente de entroce. În mod exceptional s-a recunoscut un calcar pseudoolitic organogen cu trecere spre structuri granulare datorată fuzionării pseudoolitelor urmată de stergerea structurii. Se recunosc și aici foraminifere, resturi de alge și mici gastropode (lacustre?). Ca și în cazurile precedente, aceste roci prezintă grade variate de fisurare, conduceind spre aspecte locale microbrecioase.

3. *Calcare organo-granulară în facies mixt (?)*. Numai două probe din materialul examinat pînă în prezent ridică problema originii mixte, adică a amestecului de detritus organogen marin și lacustru, motiv pentru care păstrăm toate rezervele și asupra acestui tip litologic. Un prim tip este reprezentat printr-un calcar granulo-organogen alcătuit dintr-o masă fundamentală granulară fină, rezultată din fuzionarea diagenetică a unor corpusculi de calcit, de tipul citat anterior, alcătuind cca 80% din masa rocii. și în aceste cazuri se conturează resturi organice greu determinabile, recristalizate sau umplute cu calcit, între care se recunosc ostracode, fragmente de organisme coloniale și, în mod problematic, miliolide și resturi de charophyte. Cel de-al doilea are o structură foarte fină, aproape litografică și include resturi organice fragmentare, între care se disting ostracode, textularii și miliolide puternic diagenizate și, cu totul problematic, resturi de charophyte. Structura primară este profund modificată diagenetic, ca și în cazul precedent.

4. *Considerații asupra tectonicii și magmatismului*. Spre deosebire de calcarale jurasică, în care am arătat că apar două generații de fisuri, în

calcarele neocomiene am recunoscut doar o singură generație, fisuri umplute uneori cu pirită. De aici, desprindem concluzia că, între acumularea calcarelor jurasic-superioare și a celor cretaceice a avut loc o evidentă fază tectonică, urmată de aporturi hidrotermale. Calcarele cu charophyte din acoperișul bauxitelor, prezintă indicele unei unice faze tectonice, fiind tectonizate și hidrotermalizate într-o măsură mai mică decit calcarele jurasice din patul bauxitelor. Am arătat anterior că, în calcarele Jurasicului superior, fisurile celei de-a doua faze trec uneori prin cristalele de pirită din fisurile primei faze tectonice.

Pe baza acestor elemente presupunem că, în masivul Pădurea Craiului, după acumularea calcarelor de la finele Jurasicului, au avut loc erupții bazice de tipul color cunoște la nivelul Jurasicului superior și Neocomianului și în alte părți ale Munților Apuseni. Aceste erupții au generat materie primă, cineritică, pe seama căreia s-au format apoi bauxitele (Papiu, Mînzatu, 1968). Indicațiile privind o activitate juvenilă ulterioară acumulării calcarelor neocomiene sunt corelabile cu magmatismul banatitic sau neogen, deci ulterioare fazei de cutări laramice.

III. Considerații geo chimice

Analizele chimice executate asupra calcarelor jurasice și neocomiene din imediata apropiere a bauxitelor din masivul Pădurea Craiului (tab. 2)

TABEJUL 2

Analize chimice asupra calcarelor mezozoice din masivul Pădurea Craiului

Nr. probelor	Calcare neocomiene				Calcare jurasice		
	4	5	9	226	8	42	Cornet
	%	%	%	%	%	%	%
SiO ₂	0,62	0,25	0,20	0,06	0,14	0,08	0,15
Al ₂ O ₃	0,26	0,05	0,07	0,38	0,20	0,60	0,06
Fe ₂ O ₃	0,39	0,23	0,23	0,37	0,26	0,22	0,20
TiO ₂	urme	urme	urme	urme	urme	urme	urme
CaO	54,73	55,14	55,14	54,54	55,08	54,41	55,16
MgO	0,40	0,40	0,50	0,80	0,40	0,90	0,50
Na ₂ O	0,03	0,05	urme	0,08	0,10	0,08	0,04
K ₂ O	urme	0,03	urme	urme	0,09	urme	0,02
MnO	urme	urme	urme	urme	urme	urme	urme
P ₂ O ₅	urme	urme	urme	urme	urme	urme	urme
S	urme	urme	urme	lipsă	lipsă	lipsă	urme
H ₂ O total	urme	urme	urme	urme	urme	0,02	urme
CO ₂	43,40	43,75	43,75	43,65	43,69	43,59	43,70
Total	99,83	99,90	99,89	99,88	99,96	99,91	99,83

Executate la Întreprinderea Geologică de Prospecționă.

au arătat o mare asemănare, în ceea ce privește alcătuirea chimică între toate tipurile litologice. Este remarcabil faptul că toate conțin cantități subunitare de reziduu (0,054 % calcare jurasic și 0,70% calcarele cu charophyte)⁸. Ambele tipuri prezintă alumina de domeniul sutimilor de procent și silice de al sutimilor sau cel mult de al zecimilor de procent, fără vreo corelație cantitativă între conținutul în silice și alumina. Cantitatea de fier este destul de apropiată la toate probele analizate. Considerăm că fluctuația menționată trebuie pusă exclusiv pe seama aporturilor din masele bauxitice pe calea soluțiilor descendente, în cazul calcarelor jurasice și prin remobilizare, mai mult sau mai puțin sincronă sedimentogenezei ca și prin aporturi legate de circulația ulterioară a soluțiilor în cazul calcarelor neocomiene care acoperă bauxitele. Această „contaminare” explică de altfel și rezultatele unor analize din trecut (Zamfirescu, 1931). După opinia noastră, calcarele cele mai curate sunt cele cu conținut de Al_2O_3 sub 0,1% și cu excedent de silice. În afară de aporturile ulterioare sedimentării, insimele adăosuri de Al_2O_3 , Fe_2O_3 și SiO_2 ce apar în analizele din tabelul 1, provin din puținul material argilos aflat în calcare, iar faptul că silica depășește net alumina trebuie corelat fie cu minuscula aporturi detritice, fie cu aporturile hidrotermale la care ne-am referit ceva mai sus. Magneziul, cantitativ subunitar, ca și absența practică a litoralilor celorlalți ioni, arată că avem de-a face cu calcare foarte curate. De altfel considerăm neîndoios faptul că alcătuirea chimică a calcarelor jurasice, de curind extinse în timpul acumulării bauxitelor se caracterizează printr-un grad de puritate cu mult mai mare decât cel pe care îl constatăm în prezent, cu un chimism comparabil cu al calcarelor care alcătuiesc actualele insule recifale. și tocmai de acest argument credeam că trebuie să se țină seama în discuția originii bauxitei, a cărei misterie primă a fost, în concepția noastră pe care o opunem net celei reziduale, cu totul independentă de conținutul calcarelor subjacente (Papu, Mănzat, 1968).

Studiul spectrografic al rezidiurilor color două tipuri de calcară a arătat în general cantități mai mari de elemente minore în calcarul neocomian decât în cel jurasic, variind însă în cadrul acelorași intervale. Exceptie fac doar Na, V și Ni, ceea mai ridicat în calcarele jurasice, ca și Ga și mai ales Sn care lipsesc total în cele neocomiene (analist Constantin Uderescu). Această situație s-ar putea explica eventual prin conținutul ceea mai ridicat în material argilo-bituminos din calcarele lacustre

⁸ Probele analizate nu corespund celor din tabel. Reziduul a fost cercetat apoi spectrografic de Constanța Uderescu.

cu charophyte față de puritatea calcarelor recifale jurasice, roci marine (Na) care au fost în schimb afectate de două faze magmatische comparativ cu cele neocomiene afectate de o singură fază.

IV. Concluzii petrografice

Studiul litologic al calcarelor mezozoice asociate bauxitelor din masivul Pădurea Craiului a scos la iveală o seamă de caracteristici atât comune (chimism asemănător, lipsa practic totală a materialului detritic) cât și distinctive, rezultând din natura materialului organogen de origine și din structura și textura rocilor. Pe baza acestor caractere am formulat următoarea imagine evolutivă a munților Pădurea Craiului în intervalul Portlandian-Neocomian, reflectată în succesiunea proceselor de calcarogeneză.

Recifii mării jurasic-superioare (portlandiene) se fixează pe un fundăment dur reprezentat, cel puțin în parte, prin roci eruptive bazice, a căror prezență o deducem din anomaliiile geofizice. Punerea în loc a acestor roci admitem că a inceput înainte de Malmul superior și a continuat pînă în Valanginian, urmată de activitate hidrotermală. De această activitate legăm de altfel și desilicatarea ipoteticului material piroclastic, pe scama căruia presupunem că s-au format bauxitele.

După acumularea recifilor, a urmat o fază evidentă de exondare, corelată probabil ultimelor mișcări chimerice. În acest interval la începutul perioadei crétacice, a avut loc faza continentală în care, la suprafața calcarelor recifale de curînd exondate, s-a creat un relief carstic peste care admitem că s-a acumulat cîneritul diabazic ce urma să genereze bauxita. Într-o fază ulterioară, s-a instalat regimul palustru heterotrof ale cărui ape au solubilizat masiv ionii de aluminiu, fier și titan creind, în acceptia noastră, soluțiile bauxitogene. După precipitarea bauxitelor, faza continentală a continuat cu înlocuirea mediului palustru printr-un mediu lacustru de apă dulce în care s-au depus calcarele cu charophyte. Această perioadă continentală este analogă, mai mult sau mai puțin, intervalului Purbeckian-Wealdian din apusul Europei, caracterizat prin fascisuri continentale și în bună parte lacustre (opinie formulată și de Macovei, 1958).

Studiul litologic al calcarelor din acoperișul bauxitelor, ne-a condus însă la ipoteza, pe care o avansăm însă cu toate rezervele, că exondarea nu ar fi avut un caracter cu totul general și că acest sector al Munților Apuseni se găsea într-o zonă litorală în care se acumulau și depozite psefítice calcaroase : fragmente rupte din țărmul alcătuit din calcare jurasice recifale

(formarea calciruditelor). Asociațiile de faună marină și dulcicolă, recunoscute în unele calcar din acoperișul bauxitelor, și-ar avea explicația prin crearea unor zone de amestec datorate fie unor momente în care apele marine depășeau linia țărmului, fie unor aporturi masive de material organic continental, legate de scurte perioade de inundație sau de o reactivare a rețelei hidrografice (ecce ce pare insă mai puțin probabil întrucât aceste roci sunt total lipsite de material detritic). Ingresiunea marină care urmează, depunerii calcarilor cu charophyte, aduce instalarea faciesului recifal urgonian, în cadrul căruia se acumulează calcarele cu pahiodonte.

BIBLIOGRAFIE

- Airinci Șt., Velecescu George (1970) Lucrări experimentale gravimetrice-magnetometrice pentru prospectarea bauxitei din Pădurea Craiului (sectoarele Cornetu și Zece Ilotare). *St. tehn. econ. D* 7, București.
- Beals F. W. (1958) Ancient sediments of bahaman type. *Am. Assoc. Petroleum Geol. Bull.* 42.
- Carozzi A. (1957) Contribution à l'étude des propriétés géométriques des oolites. I. exemple du Grand Lac. Salé Utah. *Inst. Nat. Genève. Bull.* 58, Geneva.
- (1962) Microscopic sedimentary petrography. John Wiley and Sons, Inc. New York and London.
- Dragăstan O., Istoacescu D., Diaconu M. (1966) Étude du niveau à Charophytes d'âge crétacé inférieur des monts Pădurea Craiului (Roumanie). *Révue de Micropaléontologie*, Juin 1966 - 9^e Année, Paris.
- Fisch W. (1921) Beiträge zur Geologie des Bihargebirges. *Mitt. aus d. geol. Inst. Univ. Bern.*
- Hoffmann K. (1898) Der Kirabjerdö im Biharer Komitat. *Jahrb. ung. geol. H.A.*, Budapest.
- Illiung S. V. (1954) Bahaman-calcareous Sand. *Bull. Am. Assoc. Petroleum Geol.* 38.
- Kräutner Th. (1939) Die geologischen Verhältnisse des östlichen Teiles des Pădurea Craiului. *Bul. Soc. Rom. Geol.* VI, București.
- (1941 a) Études géologiques dans la Pădurea Craiului. *C. R. Inst. Géol. Roum.* XXV, București.
- (1941 b) Observations géologiques dans les monts du Bihor. *C. R. Inst. Géol. Roum.* XXVI, București.
- Lachmann R. (1908) Neue ostungarische Bauxitkörper und Bauxitbildungen überhaupt. *Zeitschr. f. prakt. Geol.* XVI.
- Macovei Gh. (1958) Geologia stratigrafică. Ed. tehnică, București.
- Mártonfi I. (1884) Ein mineralogisch-geologischer Ausflug im Taf der Sebes-Körös (= Crișul Repede). *Orv. Term. Tud. Etet. 1882*, Budapest.
- Matyasovszky I. (1882) Bericht über die geol. Aufnahmsarbeiten im Kom. Szilág (→ jud. Zalău). *Földt. Közl.* XI, Budapest.
- Pálffy M., Rozlozník P., Szontagh Th. v. (1912) Geologische Notizen aus dem Bihargebirge. *Jahresber. d. k. ung. geol. A.* d. 1910, Budapest.

- Papiu C. V. (1953) Cercetări geologice în masivul Drocea (Munții Apuseni). *Hul. șt. Acad. R.P.R. secția Ști. biol. agr. geol. geogr.* V, 1, București.
- Miuzatu Silvia (1968) Geneza bauxitelor de pe teritoriul R.S.R. *Revista minelor*, An. XVIII, 5, București.
- Patrulius D. (1956) Contribuții la studiul geologic al Pădurii Craiului. *D. S. Com. Geol.* XL, București.
- (1958) Contribuții la studiul depozitelor mezozoice din regiunea Remetei (Pădurea Craiului). *Anal. Univ. G. I. Parhon, serie ști. nat.* 1, București.
- Pauls O. (1913) Die Aluminiumerze des Bihargebirges und ihre Entstehung. *Zeitschr. f. prakt. Geol.* Berlin.
- Preda I. (1962) Studiul geologic al regiunii Roșia-Moziad (munții Pădurea Craiului). Ed. Acad. R.P.R. București.
- Răileanu Gr. (1957) Cercetări geologice în regiunea Roșia (munții Pădurea Craiului). *Anal. Univ. G. I. Parhon, serie ști. nat.* 9, București.
- Rozloznik P. (1918) Vorläufiger Bericht über die Art des Auftretens der Bauxite im nördlichen Bihar (Kiralyeriő). *Jahrb. d. k. ung. Geol. A.* 1916, Budapest.
- Szádeczky J. (1905) Die Aluminiumerze des Bihargebirges. *Közl. Nöldt.* XXXV, Budapest.
- Zamfirescu-Leonida Eliza (1931) Contribuții la studiul bauxitelor din România. *St. tehn. econ.* XIII, 10, București.

LITHOLOGIE DES CALCAIRES MÉSOZOIQUES ASSOCIÉS AUX BAUXITES DU MASSIF DE PĂDUREA CRAIULUI (MONTS APUSENI)

(Résumé)

Les bauxites du massif de Pădurea Craiului (Monts Apuseni) sont déposées sur des calcaires jurassiques supérieurs en faciès de Stromberg et recouvertes de calcaires néocomiens inférieurs, prépondéramment à faciès lacustre-continental (calcaires à charophytes, ostracodes et gastéropodes) et subordonnément à caractères marins ou mixtes. Les calcaires du premier groupe ont des centaines de mètres d'épaisseur, sont pour la plupart massifs ou faiblement orientés et ont des couleurs claires, tandis que les calcaires du toit ne dépassent pas 10 m d'épaisseur, sont souvent stratifiés et ont des couleurs foncées jusqu'au noir. Un caractère commun c'est leur grande pureté, étant constitués presque exclusivement, de carbonate de calcium à pour-cent argilo-détritiques négligeables. Le résidu chlorhydrique est beaucoup inférieur à l'unité dans le cas des calcaires purs.

L'étude lithologique des calcaires jurassiques a mis en évidence toute une gamme de structures primaires et diagénétiques. À la constitution de ces roches participent des débris organiques, des corpuscules pseudo-oolithiques d'origines différentes et du matériel granulaire fin de précipitation. En fonction de la quantité et de la manière d'association de ces composants, on a distingué deux types lithologiques :

Calcaires construits (réciaux) à développement subordonné.

Calcaires récifogènes, provenus de l'accumulation du matériel récifal érodé et d'autres différents débris organiques : roches à caractère organo-détrito-chimique. Au sein de ces roches,

on a séparé une série de types lithologiques ; les calcarénites prédominent à côté des calcaires granulaires fins ou de précipitation.

Les termes extrêmes de la suite sont les lithocalcarénites, les biocalcarénites et les chémo-calcarénites dont les combinaisons déterminent de divers types lithologiques :

a) calcaires organogènes (biocalcarénites) à la prédominance du détritus organique (d'organismes calcaires benthoniques et planktoniques), les plus purs constituant de véritables „microcoquines".

b) calcaires organo-pseudo-oolithiques (litho-chémo-biocalcarénites) constitués d'un détritus organique, calcaires préexistants (intraclastes) et des corpuscules de précipitation, présentant parfois des types de transition vers les calcirudites. Ce sont des types lithologiques dénommés par les auteurs américains „spergénites" et „bahamites".

c) calcaires organo-pseudo-oolitho-granulaires, dérivés des précédents, par l'effacement de la structure sans influences diagénétiques, avec l'apparition des structures secondaires granulaires.

d) calcaires granulaires qui représentent les termes finals du processus mentionné, les pseudo-oolithes et les débris organiques n'apparaissant parfois que vaguement contournés.

e) calcaires granulaires brécheux, où l'apparition de la structure brécheuse, superposée aux précédentes structures, est généralement accompagnée de processus avancés de récristallisation.

f) calcaires oolithiques à trois sous-types lithologiques : calcaires à oolithes embryonnaires, calcaires oolithiques mixtes (à divers pour-cent de pseudo-oolithes et de détritus organogène) et calcaires oolithiques proprement dits. Les oolithes, qui représentent le composant caractéristique de ces roches, résultent de la précipitation des couches calcitiques successives autour d'un noyau organo-détritique, qui parfois fait défaut. Ils présentent généralement des sections circulaires, plus rarement ellipsoïdales ou lobées. Les caractères des oolithes indiquent des périodes alternatives de précipitation et d'exécration (contraction par dessèchement).

Dans la suite des calcaires néocomiens de la couverture des bauxites c'est le type fin granulaire qui domine nettement. Les roches sont pigmentées d'une quantité infime de substance organique mêlée avec de la monosulfure ferreux. Les débris fossiles (jusqu'à 25%) représentent des fragments et des gyronites de charophytes d'ostacodes et de gastéropodes. Sporadiquement on a rencontré des calcirudites à caractères marins et des calcarénites à caractères marins continentaux (organismes marins associés avec des charophytes).

En essayant de reconstituer l'évolution paléogéographique de ce secteur des Monts Apuseni, pendant le Portlandien et le Néocomien, selon le caractère des roches calcaires, on arrive à l'image suivante :

Les récifs de la mer jurassique supérieure se sont fixés sur un soubassement éruptif basique dont on déduit la nature des anomalies gravimétriques et magnétiques qui indiquent l'existence des masses denses en profondeur. Après l'accumulation de la formation récifale et récifogène, à la fin du Jurassique, la région a subi une exondation, suivie de l'accumulation des sédiments continentaux (bauxites et puis calcaires lacustres). Ce complexe lithologique peut être mis en parallèle avec les formations purbékienne ou wealdienne de l'Ouest de l'Europe. La présence des calcirudites et des calcaires mixtes nous suggère l'hypothèse que cette exondation n'a pas eu un caractère général. Ces roches indiquent le voisinage d'une zone littorale à falaises de calcaires jurassiques récemment exondés. À la fin du Néocomien, la mer envahie de nouveau et se déposent les calcaires en faciès récifal à pachyodontes, caractéristique aux formations urgoniennes. Il est aussi remarquable que, dans les calcaires néocomiens, apparaissent deux directions de fissuration, dans les calcaires jurassiques, il y a une seule génération

de fissures, parfois à pyrite et très rarement à quartz. Il en résulte que les calcaires de Stramberg ont été affectés par la phase orogénique kimérique nouvelle et puis par les phases alpines, tandis que les calcaires néocomiens ont été sollicités seulement par les phases plus récentes, alpines.

L'étude géochimique montre qu'il n'y a pas de liaison génétique entre les calcaires et les bauxites. L'intervention de la diagenèse, ainsi que l'allération exogène ont déterminé l'imprégnation descendante des calcaires avec une série d'éléments provenus des bauxites, surtout à la limite de ces deux types de roches. Le chimisme des calcaires jurassiques supérieurs, au niveau du Purbékien ou du Wealdien, était assurément comparable à celui des calcaires récifaux, récemment exondés, et non pas à leur chimisme actuel, résulté à la suite d'une action diagénétique durant plusieurs périodes géologiques.



PLANŞA I

Fig. 1. — Calcar organo-pseudoolitic Schireaua. Proba 34. N II; $\times 10$.

Calcaire organo-pseudo-oolithique Schireaua. Échantillon 34. N II; $\times 10$.

Fig. 2. — Calcar organo-pseudoolitic Pădurea Craiului — Puț 3530 C. Proba 9 (I.G.E.X.). N II; $\times 15$.

Calcaire organo-pseudo-oolithique Pădurea Craiului — Puits 3530 C. Échantillon 9 (I.G.E.X.), N II; $\times 15$.

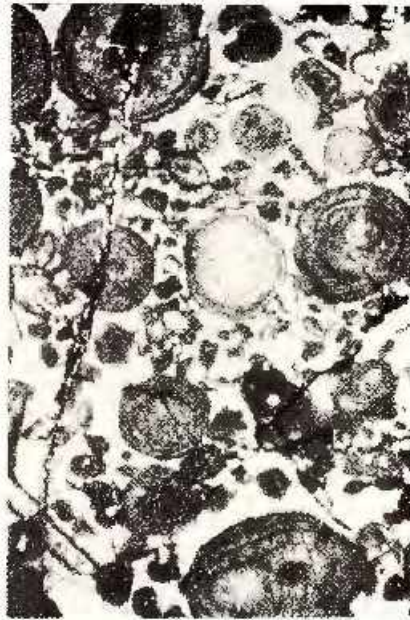
Fig. 3. — Calcar oolitic mixt Aștileu, Galeria 2, proba 59 (I.G.E.X.). N II; $\times 20$.

Calcaire oolithique mixte Aștileu, Galerie 2, échantillon 59 (I.G.E.X.), N II; $\times 20$.





2



3



PLANŞA II

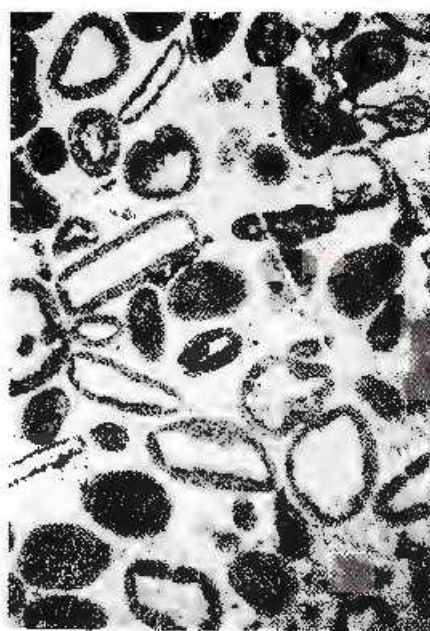
- Fig. 1, 2. — Calcare cu început de colitizare Călărașua Pădurea Craiuului, Galeria 3, proba 53 (I.G.E.N.), N II; $\times 20$.
Calcaires à commencement d'oolithisation Călărașua-Pădurea Craiuului, Galerie 3, échantillon 53 (I.G.E.N.), N II; $\times 20$.
- Fig. 3. — Calcar pseudoolitic cu puțin material organogen Pădurea Craiuului, Proba 8 (I.G.E.N.), N II; $\times 20$.
Calcaire pseudo-oolithique à peu de matériel organogène Pădurea Craiuului, Échantillon 8 (I.G.E.N.), N II; $\times 20$.
- Fig. 4. — Oolit cérébroïde Asăluțu, Galeria 2, proba 80 (I.G.E.N.), N II; $\times 50$.
Oolithe céphalique Asăluțu, Galerie 2, échantillon 80 (I.G.E.N.), N II; $\times 50$.



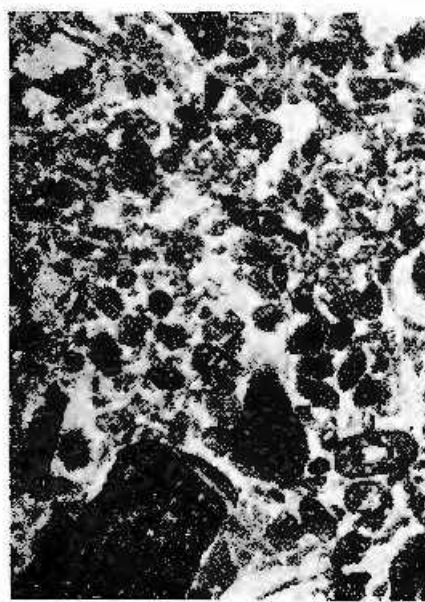
C. V. PAPIU. Litologia calcarelor mezozoice - Pădurea Craiului. Pl. II.



1



2



3



4

Institutul Geologic. Dări de seamă ale ședințelor, vol. LVII/1.

PLANŞA III

Fig. 1. — Calcar oclitic Astileu. Proba 60 (I.G.E.N.), N II; $\times 15$.

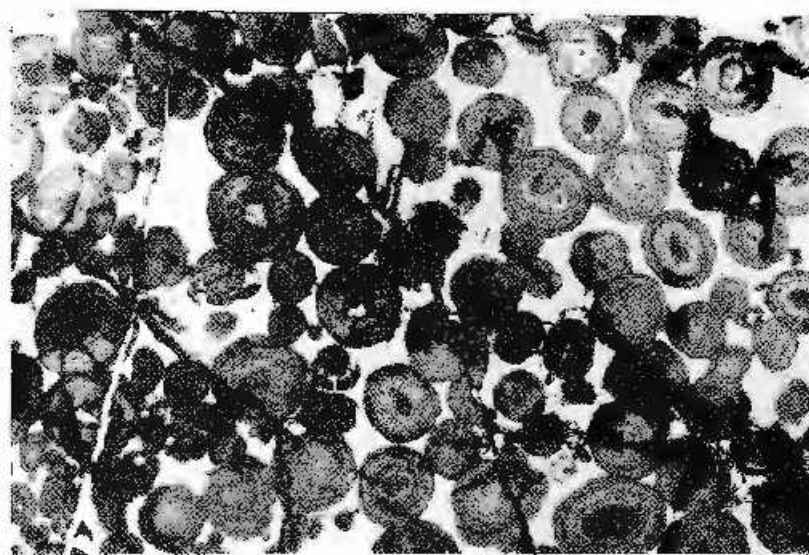
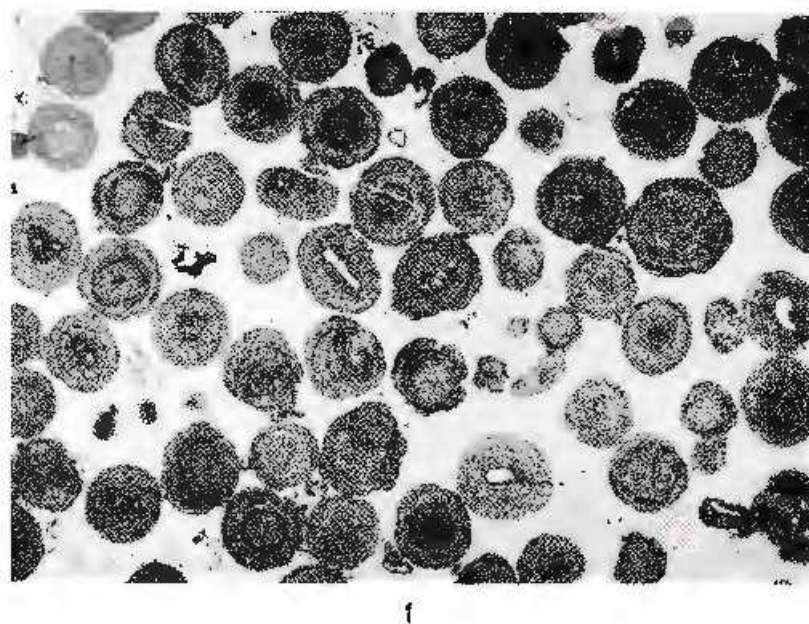
Calcaire oolithique Astileu. Echantillon 60 (I.G.E.N.), N II; $\times 15$.

Fig. 2. — Calcar oclitic impregnat cu oxiz ferie exogen Astileu. Proba 59 (I.G.E.N.), N II; $\times 10$.

Calcaire oolithique impregné d'oxyde ferrique exogène Astileu. Echantillon 59 (I.G.E.N.), N II; $\times 10$.



C. V. PAPIU. Litologia calcarelor mezozoice—Pădurea Craiului. Pl. III.



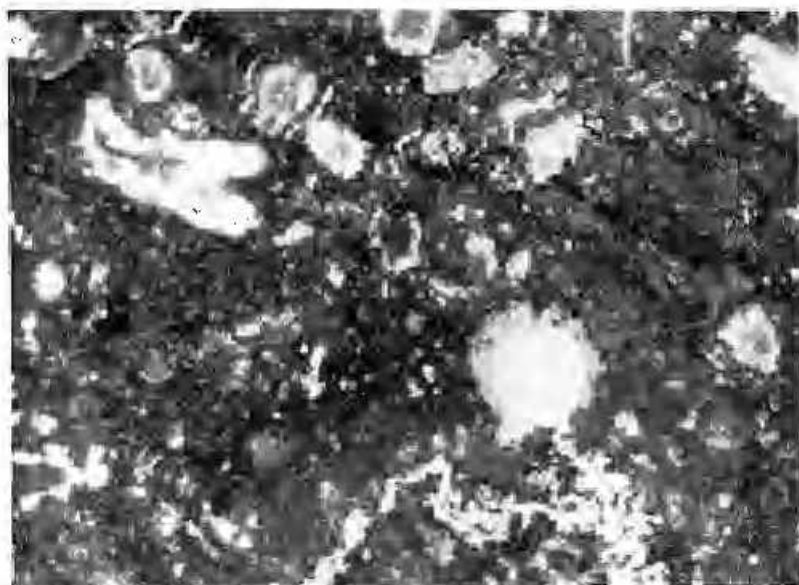
Institutul Geologic. Dări de seamă ale ședintelor, vol. LVI/1.

PLANŞA IV

- Fig. 1. — Gălăză lacustru cu charophyte Schreava. Proba 32 (I.G.E.N.), N II; $\times 28$.
Galeaire lacustre à charophytes Schreava. Échantillon 32 (I.G.E.N.), N II; $\times 28$.
- Fig. 2, 3. — Galeare cu charophyte : secțiuni prin gyrogonite de *Perochura* sp. Schreava. Proba 31 (I.G.E.N.), N II; $\times 100$.
Galeaires à charophytes : sections des gyrogonites de *Perochura* sp. Schreava.
Échantillon 31 (I.G.E.N.), N II; $\times 100$.



C. V. PAPIU, Litologia calcarelor mezozoice – Pădurea Craiului. Pl. IV.



1



- 2



3

Institutul Geologic. Dări de seamă ale ședințelor, vol. LVII/1.



Institutul Geologic al României

PETROLOGIA ROCILOR EXOGENE

**ASUPRA CARACTERELOR PETROLOGICE ALE BAUXITELOR
DIN MUNȚII BIHORULUI (REGIUNEA VĂII GALBINA)¹**

DE

VICTOR CORVIN PAPU, SILVIA MÎNZATU, VASILE IOSOF²

Abstract

On Petrological Characteristics of the Bauxites from the Bihor Mountains (Galbina Valley). The mineralogical research related to Neocomian karst bauxites from the Bihor Mts plateau (Apuseni Mountains) revealed the presence of free alumina (diaspore, boehmite), of ferric oxides (hematite, goethite), of kaolinite, chamosite, as well as of the titanium dioxide (anatase). The genetical type is that of the karst bauxites resulted from chemical precipitation. It is presumed that the primary bauxite was of a boehmite-hematite nature, subsequently evolving to a diaspore-goethite one.

Materialul care a fost utilizat pentru efectuarea studiului (două probe) ne-a fost furnizat de Bleahu și provine din lentele deschise prin vechi lucrări miniere în regiunea văii Galbina, de pe carstul bihorean. Aceste minereuri au fost conturate și urmărite prin lucrări miniere în timpul primului război mondial și apoi de I.S.E.M. în anul 1953, pe baza indicațiilor date de Bleahu. Asupra acestor bauxite au fost efectuate studii petrografice (microscopice), analize termodiferențiale, röntgenografice și chimice.

A) Istorieul cercetărilor

Date privind bauxitele din acest sector al Munților Apuseni apar în bibliografie din 1906 cind sunt semnalate de Szádeczky (1905), Pauls (1913) și Beysehlag (1918) le menționează, ultimul autor

¹ Comunicare în ședință din 24 ianuarie 1969.

² Institutul Geologic, Sos. Kiseleff nr. 55, București.

făcind o seamă de considerații privind tectonica calcarelor jurasice, a căror fracturare este scoasă în relief prin decroșarea lentilelor de bauxită.

Datele cele mai recente se datorăză lui Bleahu (1957) și Bleahu, Lubenescu (1959)³ care au prospectat regiunea punând accentul, în mod deosebit, asupra rezervelor de bauxită și extenziunii acestor roci la suprafața carstului bihorean.

B) Cadru geologic

După autorii menționați, bauxitele din masivul Bihorului se găsesc, ca și cele din masivul Pădurea Craiului, cantonate în vechi doline situate la suprafața calcarelor Malmului, având dezvoltarea sporadică și virsta probabil cretacic-inferioară (valanginiană), apreciere pe care Bleahu (1957) și apoi Bleahu, Lubenescu (1959) o fac prin comparație cu depozitele de aceeași natură din masivul Pădurea Craiului. Bauxitele din Bihor apar în lentile cu lungimi de cîțiva metri, prezentind uneori decroșări metrice după faliile cîtate, în care Bleahu (1918) a stabilit două direcții NW-SE și NE-SW. Calcarele din pat au culoarea alb-cenușie pînă la neagră și textura masivă, uneori recunoscindu-se bancuri groase de 15-16 m. Se deosebesc varietăți compacte, fine și ușor zaharoide. Procesele de recristalizare au șters structura primară, rareori apărînd în masa lor resturi fosile (fragmente de moluște sau foraminifero : textularii, miliolide). Spre deosebire de situația clără din masivul Pădurea Craiului, unde lentilele de bauxită se dispun pe suprafața structurală a calcarelor jurasice exondate dar necutate, în masivul Bihorului, bauxitele se astern (după Bleahu), peste un complex calcaros cu înclinări de 30-40° ceea ce reflectă efectele unei faze tectonice chimerice noi, care ar fi precedat instalarea regimului carstic, în ale cărui doline s-au cantonat bauxitele. Efectele unei faze chimerice noi au fost subliniate de unul dintre autori (Papiu, 1953) în legătură cu tectonica masivului Drocea și cu ele se poate corela eventual și magmatismul bazic a cărui consecință a fost acumularea unor piroclastite care a precedat, în vederile noastre, procesul de bauxitizare (Papiu, Minzatu, 1965⁴, 1967). Un alt caracter care deosebește bauxitele din cele două masive este faptul că, în acoperișul

³ M. Bleahu, D. Lubenescu. Raport asupra prospectiunilor de bauxită din reg. vîll Galbina-Munții Bihor. 1959. Arh. Inst. Geol. București.

⁴ V. Corvin Papiu, Silvia Minzatu. Studii geologice și geofizice în Munții Apuseni. Pregătirea sintezei asupra bauxitelor (Partea I). (Tema 98/IX a). 1965. Arh. Inst. Geol. București.

bauxitelor din masivul Bihorului, nu au fost recunoscute calcarele de apă dulce (cu characee) care acoperă bauxitele din Pădurea Craiului. B le a - h u , I u b e n e s c u (1959) consideră „puțin probabilă existența unor lentile de bauxite acoperite de calcară neocomiene invizibile la zi”.

C) Caracterele petrografice ale bauxitelor

Studiul petrografic al bauxitelor din Bihor a scos în evidență marea lor asemănare, atât structurală cât și mineralologică, cu bauxitele roșu-brune din munții Pădurea Craiului, ceea ce concordă cu modul de ocurență și deel cu caracterul genetic „primar” sau „autohton” al acestor roci. Macroscopic asemănarea merge pînă la identitate: roci de culoare brună sau roșcată, dure, compacte sau cu o vagă sistozită caracteristică. Microscopic asemănarea este de asemenea remarcabilă atît între cele două tipuri studiate din valea Galbina (Bihor), cit și între acestea și bauxitele din masivul Pădurea Craiului.

Bauxitele de tipul I (Bihor 1), considerate de noi ca tipul primar, normal, au caracter comune cu bauxitele din masivul Pădurea Craiului și anume existența unei mezostaze colomorfe alumino-feruginoase, care înglobă ooide și corpusculi de dimensiuni variate (1,5 mm Ø-0,1 mm Ø, uneori și mai mici). Raportul între mezostază și ooide este de 1 : 1 și 1 : 2. Ooidele, lipsite în genere de zonalitate, au compoziția mineralologică simplă: monominerale, compacte, feruginoase (pl. I, fig. 1), uncori cu fisuri de contracție circulare umplute cu diaspor (pl. I, fig. 2); unele ooide hematitice cuprind insule relicte de magnetit (martitizare). Ooidele diasporice prezintă grade diferite de cristalinitate. Între aceste tipuri extreme de ooide monominerale se remarcă, destul de frecvent, ooide cu centrul feruginos și periferia diasporică constituind o crustă de grosimi variabile. Ooidele acestui tip de bauxite au în genere contururi circulare, existind însă și ooide fragmentate sau cu forme angulare, ca și fragmente de bauxite formate probabil într-o fază anterioară (remaniere intraformatiōnală) de culoare mai deschisă decît mezostaza, datorată defezării. Bauxita de tipul I, deși compactă, prezintă rare fisuri cu diaspor cristalin. Din acest punct de vedere se deosebește de bauxita tipului II care este puternic fisurată.

Bauxita de tipul II (Bihor 2) poate fi derivată din tipul I prin procese mai avansate de levigare a fierului din mezostază și ooide, sub acțiunea apelor supergene. În consecință, mezostaza se decolorizează, devenind ușor transparentă, iar fierul se concentrează în zone mai mult sau mai puțin difuze de hematit sau pe fisuri, ca efect al procesului de defezare atît

de bine și variat reprezentat în bauxitele din masivul Pădurea Craiului (Papiu et al., 1970)⁶. Datorită acestui fapt s-au putut face o serie de observații mai amănunțite asupra acestor bauxite, în secțiunile subțiri, ceea ce a evidențiat o variație accentuată a formelor și dimensiunilor ooidelor și corpusculilor figurați (pl. I, fig. 3). La ooidele feruginoase, reduse ca număr se remarcă, în general, cele mai mari dimensiuni (2,5/1,5 mm-0,5 mmØ) în timp ce restul de ooidi, care predomină, au caracter diasporic sau diaspor-hematitic și dimensiuni mult mai reduse (în jur de 0,4 mmØ). Cu o frecvență subordonată se evidențiază și ooidele deformate prin contracție sau presiune (spastolite), ca și ooidele complexe a căror masă diasporică înglobază 2-3 nuclee hematitice.

Unele forme par a reprezenta mici fragmente de bauxită mai defezizată, înglobate în mezostază, cum și ooidi incomplete, modificate prin dizolvare diagonetică și resorbție în masa mezostazei.

La ooidele mixte, nucleul poate fi feruginos iar periferia diasporică. Extrem de rar se recunoște cazuri pe care, într-o primă ipoteză, le considerăm stadii de oolitizare propriu-zisă: un nucleu opac sau semitransparent, cu o formă oarecare, înconjurat de 2-4 pături suhițiri de oxizi de fier și aluminiu. Într-o a doua ipoteză, aceste nuclee ar reprezenta corpusculi rezultați dintr-o primă precipitare, „oolitizați”. Spre deosebire de bauxitele din masivul Pădurea Craiului, ooidele bauxitelor bihorene nu prezintă pături concentrice caolinitice sau titanifere.

În legătură tot cu procesul de defezizare, trebuie menționată în proba 2, apariția anatazului atât pe fisuri cât și uneori în mezostază, spre deosebire de proba Bihor 1 în care anatazul nu a fost identificat pe cale microscopică.

Deosebirea petrografică dintre cele două tipuri mai constă și în faptul că fisurarea este mai accentuată în bauxita de tipul II. La aceasta, sistemul de fisuri mai mult sau mai puțin paralele a facilitat pătrunderea soluțiilor ce au produs defezizarea. Ca o consecință, fierul spălat s-a depus pe fisuri sub formă de hematit (pl. II, fig. 1) sau de goethit fibroradiar (pl. II, fig. 2). Anatazul, individualizat în cursul procesului de defezizare, este prezent pe fisuri fie independent fie în asociere cu diaspor idiomorf, ambele prinse în caolinitul criptocristalin care umple fisurile (pl. II, fig. 3).

⁶ C. V. Papiu, Silvia Minzatu, V. Iosif, Constanța Udrăescu, R. Giușcă. Aleătuarea chimico-mineralogică a bauxitelor din masivul Pădurea Craiului (sub tipar). An. Inst. Geol. XXXVIII, București.

D) Aleătuirea chimico-mineralogică

Datele pe care le prezentăm în acest capitol se bazează pe analizele chimice ale celor două tipuri de bauxite (analist Alexandra Dănciulescu de la Întreprinderea Geologică de Prospețiiuni), cum și pe rezultatele analizelor termodiferențiale și röntgenografice (analist R. Giușă) (vezi tab.).

TABEL.

Bauxite din munții Bihorului (valea Galbina)

Probe :	Compoziția chimică		Compoziția mineralogică		
	Bihor 1	Bihor 2	Probe :	Bihor 1	Bihor 2
SiO ₂	0,75	0,85	Diaspor	21,6	71,1
Al ₂ O ₃	51,89	61,25	Boehmit	37,3	—
Fe ₂ O ₃	34,42	20,86	Caolinit	0,9	0,7
FeO	0,35	0,52	Chamosit	1,3	2,0
TiO ₂	3,55	2,40	Hematit	31,4	—
CaO	urme	0,15	Goethit	3,2	23,0
MgO	urme	0,20	Anatasă	3,5	2,4
Na ₂ O	urme	0,08	Elemente	0,8	0,8
K ₂ O	urme	0,89	exceden-		
MnO	0,08	urme	tare		
P ₂ O ₅	0,08	0,08	Total	100,0	100,0
S	0,02	urme			
H ₂ O	9,60	13,13			
Total	100,24	99,61			

Din analizele chimice rezultă prezența unor cantități foarte ridicate de aluminiu și de oxid fierie, în contrast cu conținuturile cu total reduse (subunitare) de silice și de oxid feros. Procentul minim de silice deosebește această rocă de bauxitele din masivul Pădurea Craiului (care conțin totdeauna silice peste 2%). Cantitatea mică de fier feros le situează, în grupa bauxitelor ferice (Papiu et al., 1970)⁶. Pe cale röntgenografică s-a pus în evidență prezența ambelor forme de oxihidroxizi de aluminiu: boehmit, mai mult decât diaspor în proba 1 (cu caracter primar) și a diasporului, exclusiv, în proba 2. Conținutul de caolinit este subunitar (ceea ce se reflectă în conținutul de silice) ridicându-le, în felul acesta valoarea extractivă (în comparație cu cele din masivul Pădurea Craiului).

⁶ Op. cit. pct. 5.

Marea majoritate a cantității de fier se găsește sub formă de hematit și o mică parte sub cea de goethit, în proba 1 și sub formă numai de goethit în proba 2. Se adaugă un conținut cu totul subordonat (subunitar) de chamosit care fixează o mică parte din conținutul de silice. Parogeneza descrisă ne conduce la supozitia că, inițial, aluminiul s-a găsit legat sub formă de boehmit care apoi, pe cale diagenetică pînă la metamorfică, s-ar fi transformat în diaspor (pr. 2). Tot un proces ulterior sedimentogenezei dar, de această dată, și diagenezei, trebuie să admitem că a fost și hidratarea hematitului cu formare de goethit (exogenă), concomitent cu procesul de defezizare și trecere de la tipul primar la cel secundar.

Imaginea mineralogică este completată de un conținut în TiO_2 analog bauxitelor din Pădurea Craiului fixat tot sub formă de anataz.

Bauxita de tipul II (Bihor 2) poate fi derivată aşadar din precedenta prin proceese mult mai avansate de diageneză care au condus la transformarea întregii cantități de boehmit în diaspor și prin hidratarea aproape integrală a hematitului, roca fiind caracterizată prin prezența exclusivă a diasporului și goethitului. Spre deosebire de tipul primar (Bihor 1) în această bauxită conținutul de fier este mai redus (efect al lovișării în defezizare).

Comparind acum bauxitele din Bihor cu cele din masivul Pădurea Craiului, constatăm următoarele asemănări : absența materialului detritic și a stratificației ; conținutul analog de Al, Fe și Ti, predominarea diasporului și a hematitului (în cele primare) și prezența anatazului, cum și următoarele deosebiri : procentul extrem de redus de silico (și deci de caolinit) și absența totală a hematitului într-o probă (Bihor 1) compensată prin goethit (la a două) care este transformată apoi și supergen (Bihor 2).

Studiile spectrografice executate foarte recent de U d r e s c u arată mari asemănări între bauxitele ambelor regiuni.

E) Concluzii genetice

Într-o seamă de lucrări anterioare am arătat că, în vederile noastre, bauxitele primare sau autohtone din masivul Pădurea Craiului și, prin asemănare, probabil că și sporadicile iviri din Poiana Rusă au luat naștere prin precipitare pe suprafața carstificată a calcarelor mezozoice, din soluții feri-alumino-titanifere, în urma amestecului acestora cu apele bicarbonatate ale carstului. Soluțiile generatoare de bauxită au conținut cai trei ioni (Al, Fe, Ti) fie sub formă electrolitică (în soluții cu pH-uri foarte acide sub 3) fie sub formă coloidală stabilizată prin coloizi de protecție de natură organică. Materia primă, dat fiind chimismul bauxitelor, mai

ales al celor roșii și vișinii (ferice și feroferice), am considerat că trebuie legată preponderent de acumulări piroclastice bazice, parțial sau total desilicatare anterior, care au trezut în soluție în apele unor mlaștini heterotrofe, în care se realizează pH-urile foarte scăzute, ape care s-au amestecat apoi cu apele bicarbonatare carstice. Valoarea pH a crescut în felul acesta, determinind precipitarea depozitelor bauxitice. Mediul palustru a făcut apoi loc unui mediu lacustru dulcicol în care s-au acumulat „calcareale cu charophyte” din acoperișul bauxitelor din masivul Pădurea Craiului, care le-au prezervat față de eroziune. Opinii analoge privind precipitarea bauxitelor din soluții acide au fost formulate de Gedeon (1952), Cailleire, Pobeguin (1964, 1965).

Deși rocile acoperitoare nu au fost întâlnite în masivul Bihorului, caracterele bauxitelor din această regiune, lipsite total de stratificare și de conținut clastic, constituția chimică cum și ocorența lor (peste calcarele jurasice mulind un vechi relief), ne justifică extinderea ipotezei genetice menționate și pentru aceste roci (situate de altfel la același nivel stratigrafic ca și cele din masivul Pădurea Craiului – Wealdian) (Macevici, 1958). Repetăm observația făcută și în trecut: faptul că nu se întâlnesc bauxite primare pe alte platouri carstice analoge ca vîrstă și desigur că și în ceea ce privește condițiile paleoclimatice (din baza Neocomianului), ne conduce la concluzia că, în aceste regiuni, nu au fost realizate integral multiplele condiții (petrografice, geologice, geochemică, paleoclimatice) pe care, în acceptia noastră, le-a reclamat bauxitogeneza carstică, începând cu natura materialului primar și terminând cu acoperirea sa de către stratul protector superjacent. Legătura între bauxitogeniza lateritică și materialul de origine ofiolitică a fost scoasă de altfel în evidență pentru multe alte cazuri, cum sunt de exemplu cele din India, cum și bauxitele din Grecia, chestiune documentată de Papastamatiou (1965) sau cele de la Sarawak-Borneo (Wolfsenden, 1961). Forma sub care a fost transportat materialul primar admitem că era cea de suspensii foarte fine (pulverulent), iar agentul a fost fie fluvial, fie mai curind colian așa cum admite pentru bauxitele din sudul Franței, Roch (1959, 1968). Este posibil că prima formă sub care s-a găsit alumina în aceste roci să fi fost integral boehmitul din care apoi s-a evoluat epigenetic spre diaspor. Bauxita tipului I ar reprezenta, în această supozitie, un stadiu intermediu între o bauxită net boehmitică (ipotecă) și cea exclusiv diasporică, a tipului II. Mineralele fierului au avut ca formă primară hematitul (tip I) din care, hidratarea net ulterioră, a condus la goethit (tip II).

BIBLIOGRAPHIE

- Beyschlag F. (1918) Bauxitvorkommen im Bihargebirge. *Zeitschr. d. deutsch. Geol. Gesell.* 70, (Bericht), Halle (Saale).
- Bleahu M. (1957) Cercetări geologice în regiunea Padis-Cetățile Ponorului (Munții Mihorului). *D. S. Com. Geol.* XI, București.
- Caillère Simonne, Pobeguin Thérèse (1964) Considérations sur la genèse des bauxites de la France méridionale. *C. R. Acad. Sc. Paris.* 259, groupe 9, Paris.
- Pobeguin Thérèse (1965) Considérations générales sur la composition minéralogique et la genèse des bauxites du midi de la France. *Museum Nat. Hist. Nat. serie C,* 12, Paris.
- Geddon T. (1952) The possibility of bauxite formation. *Acta Geol. Ac Sci. Hung.* I/4, Budapest.
- Macovei G. (1958) Geologia stratigrafică. Ed. Tehnică, București.
- Papastamatiou J. (1965) Quelques observations sur la genèse des bauxites en Grèce. *Trav. du Com. int. pour l'ét. des Bauxites etc.* 1, Zagreb.
- Papiu C. V. (1953) Cercetări geologice pe versantul de NW al masivului Poiana Rusca. *D. S. Com. Geol.* XI, București.
- Minzatu Silvia (1967) Geneza bauxitelor de pe teritoriul R.S.R. *Revista mineral.* 5, București.
- Pauls O. (1913) Die Aluminiumerze der Bihargebirge und ihre Entstehung. *Zeitschr. f. prael. Geol.* XXI, Berlin.
- Roch E. (1959) La genèse des bauxites de Provence et du Bas Languedoc. *Ann. Hébert et Haug.* IX/2, 69, Paris.
- (1968) Les problèmes relatifs à la géologie et à la biogéographie des terrains renfermant les bauxites et les ocre. *C. R. du Coll. sur la Biogéogr. du Crétacé Éocène. Tr. Lab. Géoch. de la Biosph.* Paris.
- Szádeczky J. (1905) Die Aluminiumerze der Bihargebirge. *Földt. Közl.* XXXV, Budapest.
- Wolfenden E. B. (1961) Bauxite in Sarawak. *Economic Geology,* 56.

SUR LES CARACTÈRES PÉTROLOGIQUES DES BAUXITES DES MONTS BIHOR (LA RÉGION DE LA VALLÉE GALBINA)

(Résumé)

À la suite de l'étude minéralogique des bauxites néocomiennes plaquées sur les calcaires jurassiques des monts Bihor, on a distingués deux types pétrologiques : un type boémito-diasporique-hématalitique et l'autre d'aspotique-goethitique. Le premier est considéré comme le type plus ou moins primaire. Les roches contiennent plus de 30% fer, lié sous forme d'hématite et, complètement subordonné, de la leptochlorite aussi que de la silice en quantité inférieure à l'unité (correspondant à un pourcentage de kaolinite aussi inférieur à l'unité). Dans le second type, le fer ferrique se trouve exclusivement sous forme de goéthite, la leptochlorite étant toujours subordonnée.

La conclusion génétique issue de cette étude est que les deux types de bauxites peuvent être dérivés d'un type primaire, hypothétique, boémitique, qui a subi des transformations



métamorphiques et épigénétiques; ainsi ont résulté au commencement des bauxites boémito-diasporiques à hématite (type Bihor I) et finalement des bauxites presque exclusivement diasporiques \pm goéthite (type Bihor II).

Des processus de déferrisation (supergènes et hydrothermaux), accompagnés par la hydratation et la transformation de la hématite en goéthite, ont eu lieu dans une phase ultérieure à la sédimentation permettant ainsi la transformation de la bauxite hématitique (type I^{er}) vers la bauxite goéthitique (type IInd). Cette supposition est d'ailleurs confirmée par la structure et la texture de la roche. Le type I^{er} est tout à fait semblable aux bauxites primaires du massif Pădurea Craiuului: oïdes mono- ou polyminérales inclinés dans la mésostase alumohématitique et un degré réduit de fissuration. Le Type IInd rappelle les bauxites déferrifiées du même massif, leur structure étant pélitomorphe et les contours des oïdes effacés en général; la roche est fortement fissurée et les fissures sont colmatées par kaolinite et goéthite. Pour conclure, le IInd type est le plus proche de la bauxite résultée de la précipitation du dépôt ferro-allitique, tandis que le Ind type dérive du premier, par des processus de diagenèse avancée jusqu'au faible métamorphisme et par la déferrisation supergène. La teneur en TiO_2 est constante toujours sous la forme d'anatase.

La genèse de ces roches est liée à la précipitation des solutions ioniques hyper-acides ou colloïdales à la suite du mélange aux eaux karstiques bicaudinatées, la matière d'origine étant attribuée aux dépôts pyroclastiques diabasiques ultérieurement désilicifiés (latéritisés).

PLANSA I

Fig. 1. — Bauxită tipul I Bihor, valea Galbina. N II; $\times 30$. În mezostaza colomorfă alumoferruginoasă se disting oolde și corpusculi hematitici (H), diasporic (D) și oolde cu periferie diasporică și centrul hematitic, mixte (M).

Bauxite du 1^{er} type de Bihor, vallée Galbina. N II; $\times 30$. En mésostase colomorphe alumo-ferrugineuse on distingue des ooides et des corpuscules hématitiques (H), diasporiques (D) et des ooides à périphérie diasporique et centre hématitique, mixtes (M).

Fig. 2. — Detaliu ; ooid hematitic cu fisuri de contracție circulare umplute en diaspor. N II; $\times 50$.

Détail : ooid hématitique à fissures de contraction circulaires remplies de diaspore. N II; $\times 50$.

Fig. 3. — Bauxită tipul II Bihor, valea Galbina. N II; $\times 20$. Levigarea fierului evidențiază structura și natura mineralogică a corpusculilor și ooidelor.

Bauxite du 2nd type de Bihor, vallée Galbina. N II; $\times 20$. La levigation du fer met en évidence la structure et la nature minéralogique des corpuscules et des ooides.



C. V. PAPIU et al. Caracterele petrologice ale bauxitelor din munții
Bihorului. Pl. I.



Institutul Geologic. Dări de seamă ale ședințelor, vol. LVI/1.



Institutul Geologic al României

PLANŞA II

- Fig. 1. — Détail : fissure a permis pénétrationa solujiilor deferrizante și depunerea hematitului. N II; $\times 50$.
Détail : la fissuration a permis l'infiltration des solutions déterrissantes et la sédimentation de la hématite. N II; $\times 50$.
- Fig. 2. — Détail : fissură cu goethit fibro-radial (G) rezultat al procesului de deferrizare, dispus în cruce. N II; $\times 150$.
Détail : fissure à goethite fibre radiale (G), résultant du processus de déterrification, disposée en croûtes. N II; $\times 150$.
- Fig. 3. — Détail : fissură umplută cu canieri criocristalin (C) avind la centru cristale de diaspore (D) și de anatasă (A). N II; $\times 130$.
Détail : fissure remplie de kaolinite cryptocrystalline (C) ayant au centre des cristaux de diaspor (D) et d'anatasé (A). N II; $\times 130$.



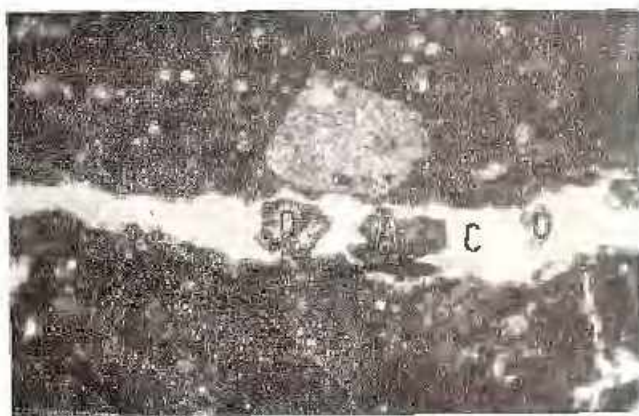
C. V. PAPIU et al. Caracterele petrologice ale bauxitelor din munții
Bihorului. Pl. II.



1



2



3

Institutul Geologic. Dări de seamă ale ședințelor, vol. LVII/1.

GEOCHIMIE

**GEOCHIMIA ȘI PETROLOGIA OFIOLITELOR DIN PRIMA ETAPĂ
DE EVOLUȚIE A MAGMATISMULUI INITIAL ALPIN DIN MASIVUL
DROCEA (MUNTII APUSENI)¹**

DE

HARALAMBIE SAVU, CECILIA VASILIU, CONSTANTĂ UDRESCU²

Abstract

*Geochemical and Petrological Study of Ophiolites in the First Evolution Stage of the Initial Magmatic Phase within the Drocea Massif (Apuseni Mountains). The ophiolite rocks, which have formed in the mobile zone within the southern part of the Apuseni Mountains, are represented by various types of basalts, anamites and dolerites. Within this basalt complex there lie several bodies of intrusive ultrabasic rocks (peridotites and melagabbros) formed at the T>1000° C, and of the basic rocks (gabbros). Although these rocks tally with various types of magmas, which have differentiated in the subcrustal magmatic basin and afterwards *in situ*, nevertheless on diagrams they follow a single differentiation direction of the saturated tholeiitic magma. The distribution of minor elements Ga, Li, Ni, Co, Cr, V, Ba, Sr, Cu and Pb is generally corresponding to the variation of the content in major elements as a function of the magmatic differentiation. The saturated tholeiitic magma has formed in the basaltic cover of the upper mantle located between the Sial and the peridotite cover. The formation of the basaltic cover is presumably due to the long evolution of continental shields which took place in the course of several tectono-magmatic cycles. During each cycle meltings and re-meltings did occur in the upper part of the mantle and in the Sial, as well as exchanges of substances between the both covers so that the upper part of the mantle was gradually saturated with SiO₂. In this way there resulted the saturated basaltic (tholeiitic) cover from which the initial magmatites-ophiolites erupted.*

Introducere

Datorită condițiilor în care au erupt, la începutul evoluției zonelor mobile cu caracter de geosinclinal, rocile ofiolitice prezintă o importanță

¹ Comunicare în ședință din 6 mai 1969.

² Institutul Geologic, Șos. Kiseleff nr. 55, București.



deosebită atât pentru cercetarea proceselor de diferențiere a magmei bazaltice în decursul evoluției magmatismului inițial, cit și prin faptul că ele ne oferă indicii prețioase asupra constituției mantalei superioare a Pământului, respectiv a zonelor de sub scoarța sialică, precum și asupra fenomenelor de schimb de substanță care au loc între aceste două pături.

În lucrarea de față vom prezenta comparativ distribuția elementelor majore și minore în principalele tipuri de roci efuzive și intrusiv Bazice sau ultrabazice din prima etapă de evoluție a magmatismului inițial alpin din partea de sud-est a munților Drocea, precum și noi considerații asupra originii acestor ofiolite.

Structura geologică de ansamblu a acestui teritoriu a fost cercetată în trecut de Rozloznik (1905), Socolescu (1940) și Pașiu (1953), iar un studiu petrologic al rocilor ofiolitice este întreprins de unul din noi mai recent (Savu, 1962 a; 1962 b). Particularitățile geologice și petrografice ale regiunii sunt luate în considerație în lucrările de sinteză întocmite de Giușcă, Cioclică și Savu (1963) și Ianovici et al. (1969) asupra întregii părți sudice a Munților Apuseni. Unele indicații asupra distribuției elementelor minore în rocile ofiolitice au fost aduse de Savu (1962) și Giușcă et al. (1964), dar în mod sistematic nu a fost cercetată pînă în prezent decît geochemia corpului de gabbrouri de la Cuias (Savu, Udrescu, 1967).

Considerații asupra geologiei și petrografiei rocilor ofiolitice

Zona mobilă intracratonică cu caracter de geosinclinal din sudul Munților Apuseni (fig. 1), cunoscută sub denumirea de „Geosynklinale des Siebenbürgischen Erzgebirges” (Loczy, 1918) sau de „Maros Geosynklinale” (Stille, 1953), se formează la începutul ciclului alpin în lungul unor fracturi profunde (Savu, 1962 b) care iau naștere între blocul cristalin rigid din Poiana Ruscă și cel din munții Drocei, Bihor și Gilău, generind o importantă centură cu caracter de sutură ofiolitică.

Evoluția acestei zone mobile este însotită de o puternică activitate a magmatismului inițial care, manifestându-se de la sfîrșitul Triasicului sau începutul Jurasicului și pînă la începutul mișcărilor mezocreacțice, se desfășoară în trei etape principale. În prima etapă care durează pînă la începutul Jurasicului superior, au loc eurperi de bazalte însotite de intruziuni bazice și ultrabazice; a doua etapă cuprinde Jurasicul superior și Neocomianul și se caracterizează în special prin roci vulcanice puternic

diferențiate; în etapa a treia situată în Apțian, se produc erupții de roci spilitice.

Prima etapă de evoluție a magmatismului inițial, cea mai importantă, se desfășoară caracteristic în munții Drocei, ceea ce ne-a determinat să

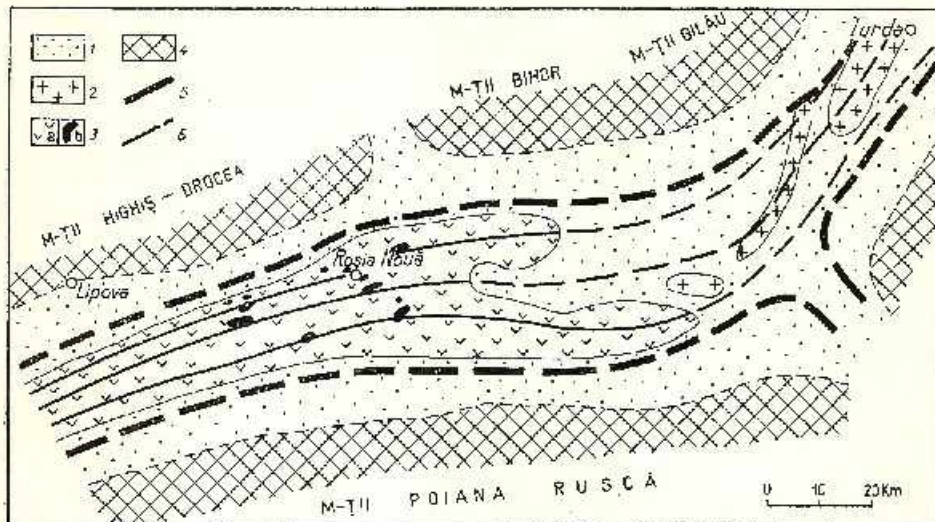


Fig. 1. — Schiță geocronologică a zonei mobile a Mureșului în timpul Mezozoicului.

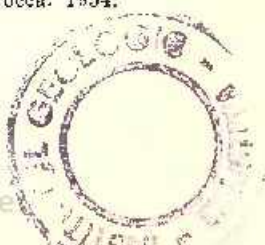
1. formațiuni sedimentare mezozoïque; 2. eruptii din etapa a doua de evoluție a magmatismului inițial; 3. eruptii din prima etapă de evoluție a magmatismului inițial (a) și corpuri intrusive bazice și ultrabazice (b); 4. fundimentul prealpin; 5. fracturi profunde marginale; 6. fracturi profunde axiale.

Esquisse géochronologique de la zone mobile du Mures pendant le Mésozoïque.

1. formations sédimentaires mésozoïques; 2. éruptions de la seconde étape d'évolution du magnétisme initial; 3. éruptions de la première étape d'évolution du magnétisme initial (a) et corps intrusifs basiques et ultrabasiques (b); 4. socle préalpin; 5. fractures profondes marginales; 6. fractures profondes axiales.

alegem pentru scopul studiului nostru regiunea Rosia Nouă-Almășel, cercetată amănunțit de unul din noi³ (Savu, 1962 a; 1962 b; 1962 c), în care sunt reprezentate cele mai diverse tipuri de roci bazice (pl. IV). În această etapă activitatea magmatică s-a manifestat prin importante eurgeri subînălține dând naștere unui complex bazaltic gros de peste 3000 m, în care au fost puse în loc concomitent și cîteva corpuri de roci intrusive bazice și ultrabazice, ce au suferit un proces de diferențiere *in situ*.

³ H. Savu. Raport geologic asupra părții de E și SE a masivului Drocea. 1954. Arh. Inst. Geol. București.



Rocile efuzive cele mai caracteristice sunt bazaltele, adesea în facies de pillow-lava, între care se deosebesc diferite varietăți ca, bazalte amigdaloidice, mai rar bazalte cu olivină, bazalte sticloase (hialobazalte), bazalte porfirice și variolite. Cu acesta se asociază uneori aglomerate și brecii vulcanice bazaltice, mai rar nivele de sticle tachilitice. Bazaltele se caracterizează prin structura de obicei ofitică, formată din baghete de plagioclaz (An_{55-42}) dispuse divergent. În interstițiile rețelei de plagioclaz se găsesc cristale de augit, adesea titanifer, rar olivină, magnetit, pirită și sticlă. În bazaltele porfirice, pe acest fond caracteristic se observă fenocristale de plagioclaz și mai rar de augit. La alte varietăți cum sunt variolitele, se observă o aşezare radiară a cristalelor de plagioclaz, între care apar augit, magnetit și sticlă. Din lavele vacuoare formate în timpul manifestării vulcanismului submarin, au rezultat roci cu structură amigdaloidală, determinată de mandulele umplute cu clorit, quart, zeoliți și clorit.

Foarte rar se întâlnesc roci picrotice și bazalte cu olivină (melabazalte), care apar sub formă de curgeri subțiri, intercalate între bazaltele descrise mai sus.

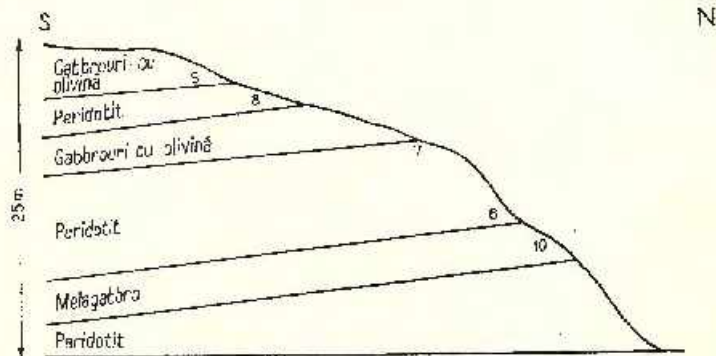


Fig. 2. — Structura stratificată a corpului de roci ultrabazice de pe valea Marcului (Roșia Nouă).

6-10, probe de roci analizate.

Structure stratifiées du corps de roches ultrabasiques de la vallée
Marcului (Roșia Nouă) :
6 à 10, échantillons de roches étudiés.

Produsele piroclastice asociate lavelor bazaltice din această etapă a magmatismului inițial sunt puțin răspândite (pl. IV). Ele sunt alcătuite din aglomerate și brecii de explozie formate din fragmente de bazalte, de obicei sticloase. Sticlele tachilitice sunt separate în mici forme sferoidale sau ovoidale, ce se exfoliază în pătură concentrice. Ele sunt de obicei fin

recristalizate și transformate parțial într-un material cu caracter palagonitic.

În complexul bazaltic sunt cantonate cîteva mici corpuri de roci ultrabazice, cum sunt cele de pe valea Marcului și de pe pîrul Drumul Radei (pl. IV) care, deși de dimensiuni reduse, prezintă o structură stratificată evidentă (Savu, 1962 a). Corpul de pe valea Marcului este cel mai bazic și constă dintr-un orizont peridotitic inferior și un orizont de gabbouri cu olivină superior (fig. 2). În zona de tranziție de la un orizont la altul se remarcă o stratificație ritmică formată din alternanțe de peridotite, melagabbrouri și gabbouri cu olivină cu structură doleritică, roci care prezintă un mod de alterație caracteristic (fig. 3).



Fig. 3. — Alterația radiară a rocilor ultrabazice de pe valea Marcului (foto H. Savu, 1967).

Altération radiaire des roches ultrabasiques de la vallée Marcului (photo H. Savu, 1967).

Corpul ultrabazic de pe pîrul Drumul Radei (Savu, 1962 a) prezintă de asemenea structură stratificată, dar orizontal inferior peridotitic se află sub nivelul actual de eroziune. Deasupra lui urmează un orizont de melagabbrouri, care suportă un orizont de gabbouri cu olivină, peste care succed gabbouri cu magnetit și cu structură doleritică. Proiecția

conținutului de TiO_2 (31,5%) din magnetitul din aceste gabbouri pe diagrama stabilită de Buddington et al. (1955), arată că ele au cristalizat la temperatura de aproximativ $1020^{\circ}C$, valoare care se corelează cu datele obținute anterior (Savu, Urescu, 1967) asupra paleotemperaturii gabbourilor din munții Drobei, care variază în funcție de corpul analizat, de la 710° pînă la $970^{\circ}C$.

Peridotitele constau din olivină ($Fo_{46} Fa_{54}$), în parte serpentinizată, diopsid, hornblendă brună, rar tremolit, biotit, clorit, magnetit și crómít. Spre deosebire de peridotite, melagabbourile conțin pe lîngă aceste minerale și 0,5-23% plagioclaz cu 47-52% An în corpul de pe pîrîul Drumul Radei și 68-70% An în cel de pe valea Mareului.

Gabbourile cu olivină participă în ambele coruri și constau din plagioclaz (An_{45-62}), olivină ($Fo_{80} Fa_{20}$), piroxen și antigorit. În partea superioară a corpului de pe pîrîul Drumul Radei apar și gabbouri cu magnetit, cu structură doloritică, formate din labrador, diopsid și cristale xenomorfe de titanomagnetit.

Activitatea magmatică continuă în această primă etapă cu eruptii bazice, printre care sunt frecvente anamesitele și diferite varietăți de roci cu aspect mai grăunțos, cum sunt doloritele, doloritele porfirice, doloritele cu olivină și doloritele cu quartifere în parte albilitate. Aceste roci apar sub formă de silluri intercalate între cîrgerile de bazalte și mai rar sub formă de filoane. Doloritele se caracterizează printr-o granulație mai mare decit a bazaltelor, lungimea cristalilor de plagioclaz variind între 2 și 5 mm. În general ele constau din plagioclaz (An_{50-60}), augit, clorit secundar și magnetit sau pirită. În anamesite, care prezintă o granulație intermediară între aceea a bazaltelor și a doloritelor, este prezentă uneori și sticla. Varietățile porfirice ale acestor roci sunt determinate de prezența fenocristalelor de plagioclaz ce se detașează clar pe fondul structurii lor ofitice.

Concomitent cu aceste eruptii este pus în loc și corpul de gabbouri de la Almășel (pl. IV), a cărui structură îl încadrează în grupa corupilor compuse, el rezultînd din mai multe intruziuni succesiive de magmă (Savu, 1962 b). O primă intruziune de dimensiuni reduse, situată în partea de vest a corpului, este alcătuită dintr-un nucleu de gabbouri și microgabbouri cu olivină, înconjurate de hyperite. A doua intruziune formată din gabbouri cu diopsid (dialag), gabbouri cu titanomagnetit vanadiler, gabbouri pegmatoidi și mai rar microgabbouri, are o lungime de 3 km și este orientată pe direcția NE-SW. În partea superioară intruziunea se largeste mult, luînd forma unei albii cu perechi asimetrice, cel estic fiind aproape vertical, iar cel vestic inclinat spre SE. A treia venire de magmă,

cea mai acidă, a determinat formarea gabbourilor cuarțifere, dioritelor cuarțifere pegmatoide și a micropegmatitelor din partea de sud-est a corpului. Aceste roci se caracterizează prin structura divergentă, determinată de cristalele de plagioclaz (An_{43-20}), lungi de 1-2,5 cm și prin prezența constantă a cuarțului care, în micropegmatite, formează concreșteri micrografice cu feldspatul intersticial (Savu, 1962 b). Ele se aseamănă cu granofirele de la Skaergaard descrise de Wager și Brown (1968).

Soluțiile reziduale au determinat alterarea hidrotermală a bazaltelor și gabbourilor în diferite faciesuri (Savu, 1967) și au condus la formarea mineralizațiilor de pirită din rocile efuzive și de cupru din corpul intrusiv de la Almășel.

Petrochimia rocilor ofiolitice

Pornind de la ideea că rocile efuzive, eruptind în mod succesiv, ar trebui să reflecte sensul procesului continuu de diferențiere a magmei bazaltice subcrustale și că, corporile intrusive bazice și ultrabazice reprezintă fracțiuni de magmă emise în anumite momente ale acestui proces și care au suferit la rîndul lor un fenomen de cristalizare fracționată în condiții supracrustale (Savu, 1968), analizele chimice și spectrale obținute le-am grupat ca atare⁴. În acest fel se va putea urmări pe de o parte, evoluția magmei primare subcrustale și pe de alta, evoluția corporilor intrusivi diferențiați *in situ*.

În rocile efuzive din complexul bazaltic (tab. 1), conținutul de SiO_2 variază între 47 și 52%, ceea ce indică roci bazice, caracter ilustrat și de conținutul ridicat de oxizi de fier, magneziu și calciu. Compoziția normată CIPW (tab. 4) scoate de asemenea în evidență acest caracter, majoritatea rocilor fiind lipsite sau conținând puțin cuarț. Cuarțul normativ care apare la unele din ele (probele 2, 4) este secundar și numai cel din doloritul cuarțifer este primar. În general, rocile efuzive se caracterizează prin relația $An > Ab$ și prin conținutul ridicat de diopsid și hipersten, în unele fiind prezentă și olivina ca mineral normativ.

Rocile din corporile ultrabazice provenite din magma bazaltică primară (tab. 2) prezintă un conținut de SiO_2 mai scăzut decât bazaltele, caracter mai evident la corpul de pe valea Mareului, în care acest compo-

⁴ H. Savu, Cecilia Vasiliu, Constanța Udreescu. Studii geochimice asupra masivelor de gabbrouri și a complexului bazaltic de la Roșia Nouă-Almășel. 1967. Arh. Inst. Geol. București.

TABLICU 1
Compoziția chimică a rocilor din complexul bazaltic

Nr. crt.	1		2		3		Sticla vulcanică transformată în palagonit	Dolerit cuar- țifer
	Roca	Anaruesit	Bazalt	Bazalt				
Nr. probă	61	55	30		x		48	
Locul de colectare	Piriu Zimbrului	Valea Alunișel	Foc		Corbești		Julița	
	%	%	%		%		%	
SiO ₂	47,77	47,88	48,41		50,58		52,78	
Al ₂ O ₃	15,20	14,81	15,16		14,78		13,92	
Fe ₂ O ₃	3,87	4,99	3,01		4,21		4,08	
FeO	7,53	6,12	5,41		7,87		6,69	
(Fe,Fe ₂)	0,14	0,07	0,09		—		0,03	
MnO	0,19	0,17	0,14		0,22		0,16	
MgO	7,02	5,45	7,54		3,62		5,51	
CaO	10,48	11,66	12,91		7,05		6,25	
Na ₂ O	2,75	1,97	3,33		1,96		4,46	
K ₂ O	0,13	0,19	0,14		0,48		0,13	
TiO ₂	1,62	1,83	1,10		1,82		1,82	
P ₂ O ₅	0,16	0,17	0,09		0,06		0,29	
H ₂ O	2,78	2,60	2,07		6,93		2,73	
CO ₂	—	2,11	0,57		—		—	
S	0,16	0,08	0,10		0,03		0,04	
Total	99,80	100,10	100,07		99,61		99,79	

nent variază între 38 și 40 %. În rocile același corp ultrabazic, conținutul de MgO ajunge pînă la 31,7 %, în timp ce CaO se menține la valori mult mai scăzute decît în bazalte și relativ mai mici decît în corpul de pe pîriul Drumul Radei.

Corpul de pe pîriul Drumul Radei prezintă conținuturi de oxizi ale căror valori se situează între acele ale bazaltelor și ale corpului ultrabazic de pe valea Marecului. Astfel, SiO₂ variază între 41,3 și 49,3 %, iar MgO între 7,2 și 25,2 %. De asemenea, se constată deosebiri în privința variației conținutului de Al₂O₃ și CaO atât între aceste două corpori, cât și între ele și rocile bazaltice din a căror magmă s-au diferențiat; Al₂O₃ prezintă valorile cele mai mici în corpul de pe valea Marecului (5,6-6,9 %). În corpul de pe pîriul Drumul Radei valorile Al₂O₃ sunt mai ridicate (8,8-17,1 %), apropiindu-se de conținutul acestui oxid din bazalte. Cantitatea de CaO este relativ scăzută în ultrabazitele corpului de pe valea Marecului (3,26-4,92 %). În același corpori ultrabazice se remarcă și valorile cele mai scăzute pentru Na₂O, K₂O și SiO₂.

TABELUL 2

Compoziția chimică a roilor intrusivi ultrabazice

Nr. crt.	6	7	8	9	10		11		12		13		14		15	
					Gabbro cu olivină	Melagabbro	Melagabbro	Melagabbro	Gabbro cu olivină	Gabbro cu olivină	Gabbro cu olivină	Gabbro cu magnetit	Gabbro cu olivină	Gabbro cu olivină	Gabbro cu strucțiuă criptică	
Rocă	Peridotit	Peridotit ± plagioclaz	Peridotit ± plagioclaz	Gabbro cu olivină												
Nr. probef	10	9	7	6	11	19	22	21	22	21	21	21	13	13	17	
Lokal de colectare	Corpușul ultrabazic de pe vîlăea Mărcușului (Roșia Nouă)															
	%	%	%	%	%	%	%	%	%	%	%	%	%	%	%	%
SiO ₂	38,71	38,73	39,43	39,76	40,00	41,29	45,18	45,97	46,97	48,73	49,33					
Al ₂ O ₃	6,57	5,60	6,50	6,92	6,50	6,50	6,82	7,14	7,14	14,62	14,69					
Fe ₂ O ₃	4,20	4,22	7,53	8,44	4,19	3,39	4,02	3,88	3,88	3,48	2,20					
FeO	7,38	7,77	4,83	4,24	7,46	7,38	4,76	5,07	5,07	7,77	5,20					
Recessus	—	—	—	—	—	0,04	0,03	0,06	0,06	0,13	0,04					
MnO	0,19	0,18	0,18	0,18	0,18	0,19	0,19	0,12	0,12	0,18	0,15					
MgO	29,76	31,73	27,35	26,28	29,32	25,17	11,10	10,29	10,29	7,19	8,56					
CaO	3,85	3,37	3,75	3,26	4,92	6,38	10,72	10,49	10,49	7,84	12,20					
Na ₂ O	0,05	0,18	0,06	0,06	0,06	0,50	0,54	1,87	2,01	4,35	3,35					
K ₂ O	0,05	0,07	0,07	0,02	0,02	0,05	0,09	0,12	0,11	0,06	0,61					
TiO ₂	0,46	0,41	0,44	0,51	0,52	0,61	0,91	0,98	0,98	1,28	0,91					
D ₂ O ₃	0,03	0,05	0,06	0,07	0,02	0,07	0,11	0,12	0,12	0,19	0,10					
H ₂ O	8,25	7,31	9,71	9,97	6,30	6,18	3,37	3,52	3,52	3,51	1,93					
CO ₂	—	—	—	—	—	—	—	—	—	—	0,16	0,33				
S	urne	urne	urne	urne	urne	urne	urne	urne	urne	urne	urne	urne				
Total	99,51	99,62	99,85	99,71	100,19	100,20	99,79	99,60	99,60	99,64	99,63					



TABLELUL 3
Compoziția chimică a rocilor intrusivi bazice din corpul de grăboiu de la Atmășei

Nr. crt.	16		17		18		19		20		21		22	
	Rocă	Gabbro	Microgabbro cu olivină	Gabbro cu pegmatoid	Gabbro cu olivină	Z	Microgabbro	Microgabbro	A	B	Diorit cu quartifer pegmatoid	B		
Nr. probei	18 A 25	C	30 A 25					49 A 25						
Locul de colectare	A.N. drept al Pirului Riplor	Izv. Pirul Riplor	Piroul Padinici	Izv. Pirul Riplor	Pirul lui Iulian	Pirul lui Iulian	Pirul Riplor	Pirul Riplor						
%	%	%	%	%	%	%	%	%	%					
SiO ₂	46,19	46,69	46,70	46,84	47,99	47,99	47,99	49,58	53,11					
Al ₂ O ₃	18,87	17,18	19,73	17,17	16,63	16,63	16,63	15,13	16,31					
Fe ₂ O ₃	2,18	6,24	1,54	3,61	2,27	4,49	4,49	4,49	4,93					
FeO	3,82	5,31	3,61	6,03	4,98	6,30	6,30	6,30	4,60					
MnO	0,07	0,12	0,10	0,17	0,17	0,17	0,17	0,16	0,06					
MgO	10,76	8,13	9,01	8,35	9,67	7,60	7,60	7,60	5,16					
CaO	12,05	9,65	13,28	12,12	13,71	6,13	6,13	6,13	3,63					
Na ₂ O	1,75	3,05	1,65	1,79	1,61	3,61	3,61	3,61	4,59					
K ₂ O	0,14	0,06	0,30	0,51	0,13	0,39	0,39	0,39	0,79					
TiO ₂	0,32	1,15	0,40	0,54	0,39	1,38	1,38	1,38	1,81					
P ₂ O ₅	0,07	0,08	0,09	0,13	0,09	0,20	0,20	0,20	0,31					
H ₂ O+	2,57	2,05	2,71	2,20	1,69	3,77	3,77	3,77	3,41					
CO ₂	—	0,10	0,45	0,09	0,21	0,91	0,91	0,91	0,87					
Total	99,58	99,81	99,57	99,56	99,57	99,65	99,65	99,58						

Variația mare a valorilor diferenților oxizi din rocile ultrabazice se reflectă și în compoziția normată a acestora (tab. 4). Este semnificativ în această privință, faptul că în toate rocile apare olivina, mineral care în peridotitele corpului de pe valea Mareului depășește 50%. Se remarcă de asemenea, valori mai ridicate pentru conținutul de hipersten normativ din acest corp, în raport cu cel de pe pîrul Drumul Radei și cu rocile din complexul bazaltic.

TABELUL 4

Compoziția normală (C.I.P.W.) a rocilor ofiolitice

Nr. crt.	qu	or	ab	an	ne	dl	hy	ol	c	ap	ce	ml	il	pr
1	—	0,56	23,58	28,63	—	18,20	15,78	0,87	—	0,34	—	5,57	3,04	0,30
2	9,66	1,11	16,77	30,86	—	10,20	12,60	—	—	0,34	4,80	7,19	3,50	0,48
3	—	0,56	27,25	26,13	0,57	26,66	—	8,49	—	0,34	1,30	4,41	2,13	0,18
4	14,07	2,78	16,77	30,02	—	3,43	15,89	—	—	0,34	—	6,03	3,50	0,06
5	5,73	0,56	37,73	17,51	—	9,39	14,56	—	—	0,67	—	7,19	3,50	0,06
6	—	0,56	0,52	17,51	—	0,65	19,68	45,05	—	0,34	—	6,03	0,91	—
7	—	0,56	1,57	14,18	—	1,33	15,73	51,64	—	0,34	—	6,03	0,76	—
8	—	—	0,52	17,51	—	0,22	35,29	24,51	—	0,34	—	10,90	0,76	—
9	—	—	0,52	15,20	—	—	43,78	15,29	1,22	0,34	—	12,30	0,91	—
10	—	0,56	4,19	15,29	—	7,01	10,45	49,09	—	—	—	6,03	0,91	0,06
11	—	0,56	4,72	21,13	—	7,69	15,21	38,05	—	0,34	—	4,87	1,22	0,12
12	—	0,56	15,72	38,92	—	10,53	12,75	9,90	—	0,34	—	5,80	1,67	0,06
13	—	0,56	16,77	36,97	—	10,99	16,74	5,92	—	0,34	—	5,57	1,98	0,12
14	—	0,56	36,68	20,02	—	13,76	5,35	11,25	—	0,34	0,40	5,10	2,43	0,24
15	—	2,78	26,20	23,63	1,14	27,07	—	10,48	—	0,34	0,80	3,25	1,82	0,12
16	—	0,56	14,67	46,15	—	10,10	9,12	12,20	—	0,34	—	3,25	0,61	—
17	—	0,56	25,68	33,08	—	10,50	11,65	4,53	—	0,34	0,20	9,05	2,28	—
18	—	1,67	14,15	45,31	—	13,47	10,45	7,31	—	0,34	1,00	2,09	0,76	—
19	—	2,78	15,20	37,53	—	16,93	12,93	5,07	—	0,34	0,30	5,34	1,06	—
20	—	0,56	13,62	37,81	—	22,40	14,17	4,41	—	0,34	0,50	3,25	0,76	—
21	2,94	2,22	30,39	23,91	—	0,22	24,51	—	—	0,34	2,00	6,50	2,74	—
22	10,50	4,45	38,78	10,84	—	—	14,25	—	3,98	0,67	1,90	7,19	3,50	—

Corpul de gabbouri de la Armășel, privit comparativ cu rocile bazaltice și ultrabazice, relevă o serie de particularități. Conținutul de SiO_2 (tab. 3) prezintă variații largi (16-53,1%), fiind destul de apropiat de conținutul de SiO_2 din rocile bazaltice. Aceeași constatare generală se poate face și în privința conținutului de CaO , care este totuși ceva mai mare în gabbouri. Conținutul de MgO este însă mai ridicat decât în bazalte,



TABELUL 5
Valorile parametrilor Niquită

Nr. art.	sI	al	fm	c	mg	c/fm	ti	p	w	Qz	Q	L	M	Tipul de magma
1	111,4	20,9	46,5	26,2	6,4	0,02	0,52	0,56	2,8	0,14	0,31	-14,2	26,8	Gabbroïdă
2	118,7	21,6	42,4	30,9	5,1	0,06	0,47	0,73	3,4	0,51	0,42	-1,7	32,2	Piroxen-gabbroïdă
3	109,2	20,2	41,2	31,2	7,4	0,02	0,62	0,76	1,9	0,14	0,33	-20,4	27,1	Piroxen-gabbroïdă
4	149,5	25,7	45,3	22,4	6,6	0,14	0,35	0,49	4,1	0,18	0,32	23,1	39,2	Normal-gabbroïditică
5	142,9	22,1	47,3	18,2	11,9	0,01	0,46	0,38	3,7	0,16	0,40	-4,7	32,5	Normal-gabbroïditică
6	62,4	6,3	86,8	6,7	0,2	0,50	0,82	0,08	0,6	0,10	0,34	-38,4	10,8	Peridotitică
7	60,3	5,1	88,9	5,6	0,4	0,25	0,83	0,06	0,5	0,09	0,33	-41,3	8,8	Peridotitică
8	67,4	6,5	86,5	6,9	0,1	0,00	0,81	0,08	0,5	0,10	0,58	-33,0	13,6	Peridotitică
9	69,9	7,2	86,6	6,4	0,1	0,00	0,80	0,07	0,5	0,11	0,64	-30,5	15,2	Peridotitică
10	63,4	6,1	84,8	8,3	0,8	0,11	0,82	0,10	0,6	0,10	0,33	-39,8	10,5	Peridotitică
11	70,0	8,3	78,6	11,6	1,0	0,10	0,81	0,15	0,8	0,10	0,39	-34,0	14,9	Hornblendit-peridotitică
12	96,0	21,8	49,9	24,4	3,9	0,03	0,70	0,49	1,4	0,13	0,43	-19,6	27,0	Gabbroïd-eukritică
13	100,4	21,8	49,5	24,4	4,3	0,03	0,68	0,49	1,7	0,13	0,40	-16,3	27,9	Gabbroïdă
14	111,7	20,7	48,7	20,5	10,3	0,01	0,53	0,42	2,3	0,14	0,29	-23,5	27,1	Hawaiitică
15	111,6	19,6	42,8	29,6	8,0	0,08	0,67	0,69	1,6	0,14	0,28	-20,4	27,1	Miharaitică
16	98,0	24,8	44,1	27,4	3,7	0,03	0,77	0,62	0,5	0,13	0,36	16,8	28,9	C-gabbroïdă
17	104,3	22,6	47,6	23,0	6,7	0,02	0,58	0,48	2,0	0,13	0,51	-22,5	27,0	Gabbroïdă
18	103,5	25,7	38,8	31,5	4,0	0,10	0,76	0,81	0,7	0,13	0,26	-12,5	30,5	Piroxen-Gabbroïdă
19	104,2	22,3	44,7	28,5	4,5	0,15	0,61	0,64	0,9	0,13	0,55	-13,8	29,2	C-gabbroïdă-miharaitică
20	103,1	21,0	43,9	31,6	3,5	0,04	0,71	0,72	0,7	0,13	0,28	-10,9	29,4	Piroxen-Gabbroïdă
21	126,3	22,6	51,1	16,8	9,5	0,07	0,56	0,33	2,8	0,15	0,39	-11,7	30,6	Melagabbroïditică
22	157,3	28,5	45,3	11,6	14,6	0,10	0,50	0,26	4,1	0,36	0,49	-1,1	35,1	Dioritică

apropiindu-se de conținuturile acestui oxid în rocile corporului de pe pîrîul Drumul Radei, dar mult mai scăzut decît în rocile ultrabazice de pe valea Marcului. O caracteristică importantă a unora din rocile din corpul de la Almășel este conținutul lor scăzut de fier, în raport cu celelalte roci bazice și ultrabazice. Ele prezintă însă un conținut mai ridicat în CaO și Al_2O_3 , ceea ce arată că sunt bogate în plagioclaz.

Compoziția normată (tab. 4) a rocilor din acest corp gabbroid relevă prezența olivinei în cele mai multe roci, mineral care apare în cantități mai mici decât în corpurile ultrabazice. Olivina nu apare în norma micropigmatitului și a dioritului cuarțifer pegmatoid, roci care sunt însă mai bogate în albit decât în anortit și conțin cuarț, minerale care sunt în evidență caracterul mai acid al acestor roci derivate de asemenea din magma bazaltică. Majoritatea rocilor gabbroide de la Almășel sunt mai bogate în anortit decât rocile ultrabazice și chiar decât bazaltele.

Parametrii Niggli (tab. 5) repartizează rocile bazice și ultrabazice la tipuri de magmă foarte variate (Burrini, 1959). Bazaltele și cele mai multe gabbrouri de la Almășel aparțin magmelor gabbroide și piroxengabbroide, iar diferențialele lor mai acide, cum sunt doleritele cuarțifere, micropigmatitele și dioritul cuarțifer pegmatoid aparțin magmelor din grupa dioritică și anuine: normal-gabbrodioritică, melagabbrodioritică și dioritică. Spre deosebire de bazalte, în corpul de gabbrouri de la Almășel apar magme bogate în calciu, cum sunt magmele e-gabbroide, care indică diferențiate bogate în plagioclaz bazic. Rocile ultrabazice de pe valea Marcului aparțin magmelor din grupa peridotitică, aceasta fiind o caracteristică generală a acestui corp. Diferențiatele din corpul intrusiv de pe pîrîul Drumul Radei, reprezentat prin melagabbrouri și diferite tipuri de gabbrouri, aparțin magmelor: bornblendit-peridotitică, gabbroid-eucritică, gabbroidă, hawaitică și miharaitică.

Tipurile de magmă la care corespund rocile bazice și ultrabazice din prima etapă de evoluție a magmatismului inițial reprezintă diferențiatele unei magme bazaltice saturate cu SiO_2 . Variația mare a acestora arată că magma bazaltică inițială s-a diferențiat în bazinul magmatic, conducind pe de o parte la separarea unor magme ultrabazice și pe de alta, la roci cu cuarț. Acest proces de diferențiere rezultă clar din modul de repartiție a diferențelor roci în diagramele construite pe baza parametrilor Niggli.

Așfel, pe diagrama $al : alk$ (fig. 4) rocile bazice ale căror parametru al este mai mare, se concentrează în cîmpul sărac în alcătii, cu excepția dioritului cuarțifer și a dioritului cuarțifer pegmatoid care se proiectează

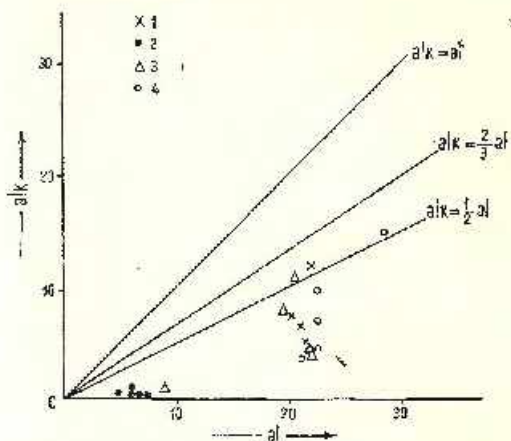
în cîmpul rocilor cu conținut intermediar în astfel de compoziții. Rocile ultrabazice cu parametrii al și alk foarte mici se diferențiază net de acestea, proiecțindu-se în partea stingă a cîmpului sărac în alcali.

Fig. 4. — Diagrama $al : alk$.

1, roci bazaltice; 2, roci ultrabazice din corpul de pe valea Marculei; 3, roci ultrabazice și basaltice din corpul de pe pîrîul Drumul Radei; 4, roci intrusive bazice de la Almășel.⁵

Diagramme $al : alk$.

1, roches basaltiques; 2, roches ultrabasiques du corps de la vallée Marculei; 3, roches ultrabasiques et basaltiques du corps de ruisseau Drumul Radei
4, roches intrusives basiques d'Almășel.



Rocile bazaltice și gabbrourile de la Almășel se proiectează pe diagrama $al : fm$ (fig. 5) între cîmpurile semic, semifemic și izofalic, pe cînd rocile ultrabazice se grupează în cîmpul ultrafemic.

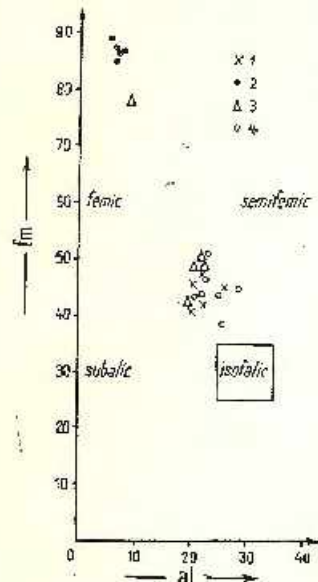
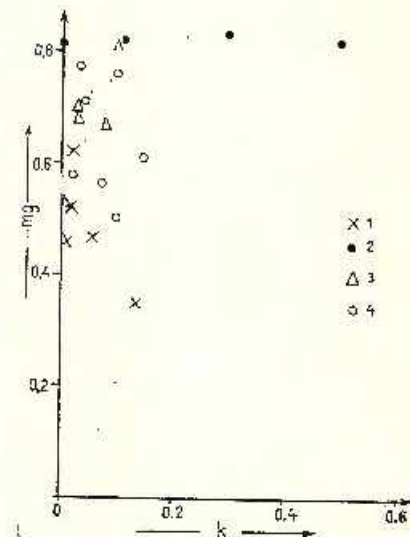
Pentru toate tipurile petrografice reiese clar caracterul de roci bogate în mafite, fapt ilustrat de diagrama $mg : k$ (fig. 6) din care rezultă valori ridicate pentru parametrul mg și scăzute pentru k . La roci de pe valea Marculei este deosebit de remarcat faptul că, în timp ce parametrul mg se menține aproape constant, valoarea parametrului k variază de la 0 la 0,50, ceea ce face ca ele să se proiecteze pe acastă diagramă de-a lungul unui dreptă aproape orizontal, care marchează particularitatea diferențierii *in situ* a acestui corp ultrabazic.

Sensul evoluției magmei bazaltice în prima etapă a magmatismului inițial alpin rezultă clar din diagrama de diferențiere din figura 7, care prezintă comparativ variațiile parametrilor magmatici ai bazaltelor și ai rociilor din corporile intrusive. Parametrul fm are valori foarte mari în rocile ultrabazice de pe valea Marculei și în melagabbroul de pe pîrîul Drumul Radei, de la care valoarea lui scade puternic spre roci bazaltice

⁵ Semnele stabilite pentru diagrama $al : alk$, vor fi folosite și la următoarele diagrame.

Pour les diagrammes suivants on utilisera les mêmes signes que ceux du diagramme $al : alk$.

și gabbroide, prezintăd unele oscilații în intervalul $si = 100-120$. Parametrul al crește treptat de la rocile ultrabazice spre cele bazice, pînă la rocile în care este prezent cuarțul. Curba parametrului c este în prima parte paralelă cu aceea a lui al , după care prezintă o serie de oscilații cu

Fig. 5. — Diagramma $al : fm$.Diagramme $al : fm$.Fig. 6. — Diagramma $mg : k$.Diagramme $mg : k$.

valori maxime în același interval în care oscilează și parametrul fm , după care că capătă o alură descendentă. Se remarcă faptul că variația parametrului c este inversă celei a parametrului fm . Parametrul alk crește treptat de la rocile ultrabazice spre cele bazice și spre cele cu cuarț, curba lui menținindu-se aproape paralelă cu aceea a parametrului al .

Cu toate că rocile analizate aparțin la grupe petrografice formate oarecum independent, curbele parametrilor magmatici se suprapun în mare parte, indicând același sens de diferențiere și subliniind consanguinitatea tuturor acestor roci bazice și ultrabazice. Curbele parametrilor al și c ai seriei de roci bazaltice și ai rocilor intrusiv se intersectează la $si > 145$. Aceste izofali amintesc sensul diferențierii din provincia calcocalcarină.

Rocile din prima etapă de evoluție a magmatismului inițial alpin au caracteristici tipice de ofiolite. Aceste caracteristici petrochimice reies clar din diagrama Q-L-M (fig. 8), pe care rocile bazice se proiectează în principalul cîmp de proiecție al ofiolitelor din Alpi, cercetate de Burriș i

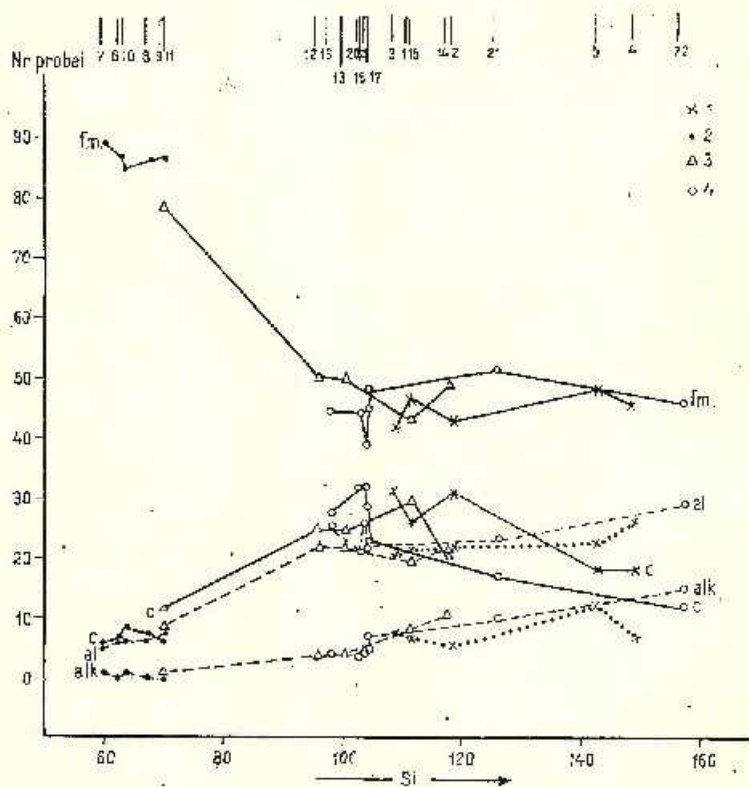


Fig. 7. — Diagrama de diferențiere a rocilor bazice și ultrabazice.

Diagramme de différenciation des roches basiques et ultrabasiques.

Niggli (1945). Tot în acest cîmp se proiectează și gabbrourile din corpul ultrabazic de pe pîrul Drumul Radei. Rocile ultrabazice de pe valea Marecului se proiectează în al doilea cîmp de proiecție al ofiolitelor din Alpi, situat în colțul M. În apropierea acestui cîmp se proiectează și melagabbroul din corpul de pe pîrul Drumul Radei, ceea ce demonstrează că roca este bogată în MgO și a provenit din diferențierea *in situ* a magmei melagabbroice din care a rezultat acest corp (Savu, 1962 a).

Din aceste considerente rezultă o mare asemănare din punct de vedere petrochimic între rocile din provincia ofiolitică din Munții Apuseni și cele din Alpi, precum și între acestea și alte serii de roci similare formate la începutul evoluției zonelor mobile intracontinentale din alte regiuni de pe glob.

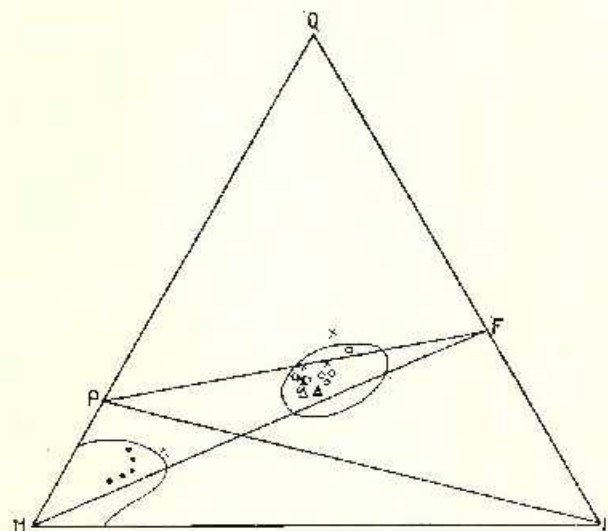


Fig. 8. — Diagramma Q-J-M.

Diagramme Q-L-M.

Distribuția elementelor minore în rocile ofiolitice

Pentru urmărirea distribuției elementelor minore caracteristice rocilor ofiolitice am analizat spectral atât probele cercetate chimic (tab. 6), cît și un număr de 11 probe colectate în diferite punete din aria de dezvoltare a ofiolitelor din prima etapă de evoluție a magmatismului inițial din munții Drocei (tab. 7), determinînd următoarele elemente minore : Ga, Li, Ni, Co, Cr, V, Ba, Sr, Cu și Pb.

Datele obținute sunt proiecționate pe diagramele de tipul celor construite de Nockolds și Allen (1956), folosind pe abscisă funcția $(1/3 \text{ Si} + \text{K}) - (\text{Ca} - \text{Mg})$, calculată pe baza conținuturilor elementelor majore (tab. 8), iar pe ordinată conținutul procentual de elemente majore și conținutul (ppm) de elemente minore. Diagramele de variație construite astfel sunt grupate în planșe corespunzînd fiecare serici de roci intrusive sau efuzive analizate (pl. I, II, III).

În ceea ce privește variația conținutului de Si, așa cum s-a remarcat mai sus, el crește slab de la rocile ultrabazice spre cele bazice

TABELUL 6

Elemente minore (ppm) din rocile basice și ultrabazice din munții Dracui

Nr. crt.	Nr. probei	Ni	Co	Cr	V	Ba	Sr	Li	Cu	Pb	Ga
<i>Roci din complexul bazaltic</i>											
1	61	45	38	40	310	14	142	<1,5	116	<5	17
2	55	50	37	78	410	15	122	<1,5	90	5	13,5
3	30	60	40	172	210	<10	220	6,5	122	<5	11
4	x	12	23	<5	270	48	375	3	97	7	19
5	48	25	25	22	195	<10	55	<1,5	68	<5	16
<i>Corpul ultrabazic de pe valea Marecului</i>											
6	10	870	135	1450	112	<10	11	<1,5	36	<5	7
7	9	900	150	1750	98	12	21	<1,5	47	<5	7
8	7	820	135	1200	95	<10	15	5	96	<5	7
9	6	765	150	1550	140	<10	15	<1,5	58	<5	7
10	11	290	52	775	40	10	35	1,5	50	<5	7
<i>Corpul ultrabazic de pe pârâul Drumul Rădei (Rusia Nouă)</i>											
11	19	325	65	465	90	11	38	2,5	49	<5	7,5
12	22	286	49	215	182	16,5	122	3,5	95	6	12
13	21	205	58	240	195	40	105	1,5	88	6	12
14	13	28	35	<5	265	<10	70	2,0	118	<5	13
15	17	55	32	65	260	56	450	2,0	50	12	10
<i>Corpul de gabbro de la Almășel</i>											
16	18A25	105	30	115	112	<10	166	4,5	22	<5	8,5
17	c	42	36	44	450	14	126	<1,5	44	6,5	14
18	30A25	105	30	180	200	12	240	1,5	29	<5	9
19	z	88	37	205	195	85	450	<1,5	52	8	13
20	49A25	123	40	270	220	13	110	<1,5	76	<5	13,5
21	A	12	17	<5	450	22	140	4	37	8	16
22	B	18	20	<5	480	15	122	6	26	9	24

și spre micropegmatite. Aceeași tendință de creștere ușoară spre rocile cu quart manifestă în general Ga și Al, curbele lor menținindu-se aproxi-mativ paralele, cu excepția gabbrourilor pegmatoide de la Almășel.

Litiul prezintă în toate rocile ofiolitice conținuturi în general mici, care variază între 1,5-6,5 ppm. Deși Li ($0,78 \text{ \AA}$), înlocuiește izomorf Mg (Goldschmidt, 1937), în rocile ultrabazice bogate în olivină și formate la temperatură de peste 1000°C se constată o discrepanță evidentă între curba Mg, care scade puternic de la peridotite spre gabbrouri și aceea a Li, care indică conținuturi apropiate de aceleia din restul rocilor ofiolitice. Această comportare arată pe de o parte, că Li este captat



TABELUL 7

Elemente minore (ppm) din rocile efuzive și intrusive bazice din munții Drocei

Nr. crt.	Nr. probet	Tipul de rocă	Locul de colectare	Ni	Co	Cr	V	Ba	Sr	Li	Cu	Pb	Ga
23	49/67	Bazalt (pilow-lava)	N. Iliecescu	28	40	48	320	240	115	2,0	38	6	14,5
24	83 p	Bazalt	Pietriș	28	31	60	250	14	123	<1,5	45	<5	11
25	51	Dolerit	Almășel	67	43	340	175	15	166	3,5	144	<5	11
26	60	Dolerit	Valea Trosuului	31	30	64	225	13	100	<1,5	85	<5	11
27	91/67	Dolerit	N. Bălcescu	46	39	65	240	<10	105	<1,5	80	<5	12
28	41/67	Gabbro-porfirit	Julița	68	41	110	205	17	125	<1,5	133	<5	11,5
29	93/67	Aplit	Julița	8,5	<5	<5	38	175	29	<1,5	10	7	13,5
30	152/67	Bazalt la contact cu banaticele	Temești	38	52	48	360	37	300	<1,5	31	<5	12
31	79	Bazalt la contact cu banaticele	Temești	42	31	115	270	28	230	<1,5	27	<5	10,5
32	142	Bazalt la contact cu banaticele	Temești	49	32	260	220	16	215	<1,5	14	6	11
33	150/67	Gabbro la contact cu banaticele	Temești	24	26	62	230	345	39	<1,5	30	7	11

TABELUL 8

Elemente majore din rocile bazice și ultrabazice din regiunea Retezat-Almășel

Nr. crt.	Si	Al	Fe ^{III}	Fe ^{II}	Mg	Ca	Na	K	$\frac{1}{3} \text{Si} + \text{K}$	(Ca + Mg)
1	22,33	8,04	2,71	5,85	4,23	7,48	2,04	0,11	—	4,17
2	22,38	6,84	3,49	4,76	3,29	8,33	1,16	0,16	—	4,00
3	22,63	8,01	2,10	4,20	4,55	9,23	2,47	0,12	—	6,12
4	23,65	7,82	2,91	6,12	2,18	5,04	1,43	0,40	—	1,06
5	24,67	7,36	3,48	5,20	3,32	9,47	3,31	0,11	—	0,54
6	18,09	3,47	2,94	5,74	17,95	2,75	0,04	0,04	—	14,63
7	18,11	2,96	2,95	6,04	19,14	2,41	0,13	0,06	—	15,46
8	18,43	3,44	5,26	3,75	16,50	2,68	0,05	0,01	—	13,03
9	18,59	3,66	5,00	3,29	15,85	2,33	0,05	0,02	—	11,97
10	18,70	3,14	2,93	5,80	17,81	3,52	0,37	0,04	—	15,06
11	19,30	4,66	2,37	5,74	15,18	2,58	0,40	0,07	—	13,24
12	21,12	9,22	2,81	3,70	6,70	7,66	1,39	0,10	—	7,32
13	21,49	8,96	2,71	3,94	6,21	7,46	1,19	0,09	—	6,42
14	22,78	7,75	2,43	6,01	4,31	5,60	3,23	0,05	—	2,30
15	23,07	7,77	1,54	4,01	5,16	8,72	2,48	0,45	—	5,74
16	21,59	10,50	1,52	2,18	6,48	8,61	1,30	0,12	—	7,77
17	21,83	9,08	4,36	4,13	4,90	6,90	2,26	0,05	—	4,48
18	21,83	10,42	1,08	2,81	5,43	9,49	1,22	0,25	—	7,39
19	21,90	9,08	2,52	4,69	5,01	8,66	1,33	0,42	—	5,98
20	22,43	8,80	1,59	3,87	5,83	9,82	1,19	0,11	—	8,56
21	23,18	8,00	3,14	4,89	4,58	4,38	2,68	0,32	—	0,92
22	24,83	8,63	3,45	3,57	3,11	2,59	3,40	0,66	—	3,23



în poziția Mg în cantitate mai mare la temperaturi mai scăzute și pe de altă, că el poate înlocui izomorf Fe^{3+} și Ti^{4+} (Goldschmidt, 1937), eventual și Al^{3+} (Lundegårdh, 1946).

Vanadiul prezintă de asemenea unele particularități în distribuția sa (Savu, Udrescu, 1967). Astfel, în seria de roci bazaltice și doloritice care reflectă mersul diferențierii magmei bazaltice subcrustale, curba lui prezintă analogii cu curbele vanadiului din diferite serii de roci bazaltice analizate de Nockold și Allen (1956). Ea prezintă o creștere treptată în rocile bazaltice și apoi o scădere în direcția doloritelor cuartifere; în prima parte ea este paralelă cu curba fierului (pl. I b). În rocile ultrabazice, curba vanadiului prezintă creșteri treptate, paralel cu curba fierului, caracteristică ce se observă și la corpul de gabbrouri de la Almășel. Raportul $\text{V} \times 1000 : \text{Fe}$ (tab. 9) prezintă valorile cele mai mici în peridotito, ceea ce reflectă conținuturile scăzute de vanadiu în aceste roci (tab. 6), în comparație cu celealte ofiolite. Valorile maxime pentru acest raport apar în rocile de la Almășel.

Cromul prezintă în general conținuturi foarte ridicate în rocile peridotitice, în care au fost observate și rare cristale de cromit. Conținutul lui variază de la valori mici în rocile efuzive bazice (22 ppm), pînă la 175 ppm în peridotite. Curba lui prezintă în toate grupele de roci analizate o tendință de scădere accentuată de la cele mai bazice spre cele mai acide. Rapoartele $\text{Cr} \times 1000 : \text{Mg}$ și $\text{Cr} \times 1000 : \text{Fe}$ au valori mult mai ridicate în peridotite, fără de rocile bazice efuzive și intrusive.

Conținutul de Co din grupa rocilor bazaltice prezintă valori cuprinse între 23 și 40 ppm, care scad în sensul diferențierii magmei. În corpul de roci peridotitice el prezintă valori practic constante (135-150 ppm), cu excepția melagabbroului în care scade pînă la 52 ppm. Aceste valori se apropie de conținutul de Co din rocile ultrabazice alpine cercetate de Stueber și Goles (1967). În corpul de roci intrusive de pe pîrul Drumul Radei conținutul de Co scade ușor spre diferențiatele mai bogate în plagioclaz.

Trebuie remarcat faptul că melagabbroul din corpul de pe valea Mareului diferă de rocile ultrabazice cu care este asociat, prin conținutul lui mai scăzut de Cr, Ni și Co. Din acest punct de vedere el se apropie de melagabbroul din corpul de pe pîrul Drumul Radei. Această deosebire se explică prin faptul că în compoziția acestei roci, ca și în aceea a melagabbroului din celălalt corp intrusiv, participă plagioclazul în a căruia retea practic nu sunt captate aceste elemente.

TABELUL 9

Rapoartele dintre elementele minore și majore din rocile bazice și ultrabazice din munții Drocei

Nr. crt.	Nr. probel	Cr. $\times 10^3$ Mg	V. $\times 10^3$ Mg	Ni. $\times 10^3$ Mg	Co. $\times 10^3$ Mg	Co Ni	Cr. $\times 10^3$ Fe	V. $\times 10^3$ Fe	Ge. $\times 10^{31}$ Fe	Sr. $\times 10^3$ Ca	Sr. $\times 10^3$ Ca + K	Ba. $\times 10^3$ K
Roci din complexul bazaltic												
1	61	0,94	7,32	1,56	0,90	0,85	0,46	3,62	0,44	1,90	1,87	1,27
2	55	2,37	12,45	1,52	1,12	0,74	0,94	3,92	0,45	1,46	1,44	0,94
3	30	3,78	4,62	1,32	0,88	0,67	2,73	3,33	0,63	2,48	2,35	<0,83
4	X	0,14	12,40	0,55	1,05	1,92	<0,55	2,98	0,25	7,43	6,90	1,20
5	48	0,66	5,86	0,75	0,75	1,00	0,25	2,24	0,29	1,23	1,20	<0,90
Corpul ultrabazic de pe valea Mărcușii												
6	10	8,06	0,62	4,35	0,75	0,15	16,6	1,29	1,55	0,40	0,39	<2,5
7	9	9,15	0,46	4,70	0,78	0,17	19,5	1,09	1,67	0,57	0,85	2,0
8	7	7,28	0,57	4,96	0,82	0,16	13,35	1,05	1,49	0,56	0,56	<10
9	6	9,76	0,93	4,82	0,85	0,20	16,85	1,52	1,63	0,64	0,64	<5
10	11	4,35	0,22	1,63	0,29	0,18	8,87	0,46	0,59	0,99	0,98	2,5
Corpul ultrabazic de pe pârâul Drumul Radei (Russia) Nenai												
11	19	3,06	0,59	2,14	0,43	0,20	5,75	1,11	0,80	0,83	0,82	1,57
12	22	3,20	2,71	4,27	0,73	0,17	3,30	2,78	0,75	1,59	1,57	1,65
13	21	3,86	3,14	3,30	0,93	0,28	3,71	2,93	0,87	1,41	1,39	4,45
14	13	0,07	6,10	0,64	0,80	1,25	<0,50	3,12	0,41	1,25	1,24	<2,0
15	17	1,26	5,05	1,07	0,62	0,58	1,16	4,65	0,57	5,15	5,02	1,24
Corpul de gabbro de la Almășel												
16	18A25	1,77	1,73	1,62	0,46	0,29	3,11	3,03	0,81	1,93	1,90	<0,83
17	C	0,90	9,20	0,86	0,74	0,86	0,52	5,30	0,42	1,83	1,81	2,80
18	30A25	3,32	3,68	1,93	0,55	0,28	4,62	5,14	0,77	2,53	2,46	0,48
19	Z	4,17	3,87	1,63	0,73	0,42	2,86	2,70	0,51	5,20	4,95	2,02
20	19A25	4,63	3,76	2,15	0,69	0,32	4,95	4,02	0,73	1,12	1,11	1,18
21	A	0,07	9,80	0,26	1,02	3,90	<0,62	5,60	0,59	3,19	2,98	0,62
22	B	0,19	16,90	0,58	0,23	1,45	<0,71	6,82	0,37	4,70	3,78	2,27

În rocile de la Almășel, conținutul de Co prezintă variații mici, curba lui fiind aproape paralelă cu abscisa. Raportul $Co \times 1000 : Mg$ nu prezintă diferențe prea mari între o grupă de roci și alta, în timp ce raportul $Co \times 1000 : Fe$ prezintă valori ceva mai ridicate în rocile peridotitice.

Conținutul de nichel din rocile ofiolitice scade în general de la rocile ultrabazice spre cele cu conținut de cuarț. Valorile cele mai ridicate se găsesc în peridotite și în gabbreurile cu olivină asociate (900-250 ppm); tendința de scădere de la roci mai bazice spre cele mai acide se observă și în cadrul fiecărei grupe de roci analizate, fapt care rezultă clar din



alnă curbelor de pe diagramele din figura b (pl. I, III) și figura c (pl. II). Raportul $\text{Ni} \times 1000 : \text{Mg}$ prezintă valori maxime în peridotite și gabroanele asociate lor.

În privința variației conținutului de Sr din grupele de roci analizate se constată, în general, un paralelism cu variația calciuului, pe care Sr (1,27 Å) îl înlocuiește izomorf (Turkestan, Kulp, 1956). În cazul corpului de gabroane de la Almășel, curba stronțiului prezintă un maxim în gabroană cu olivină, cu toate că curba calciuului nu manifestă decât tendință de a descrește în lungul întregii serii de roci (pl. III c). Această neconcordanță s-ar putea explica prin faptul că Sr poate înlocui și Ca din piroxen, mineral care participă în cantitate mare în gabroană cu olivină. Rapoartele $\text{Sr} \times 1000 : \text{Ca}$ și $\text{Sr} \times 1000 : (\text{Ca} + \text{K})$ prezintă valorile cele mai scăzute în rocile peridotitice.

Bariul prezintă conținuturi mici în toată seria de roci ofiolitice și este explicabil acest fapt, deoarece Ba (1,43 Å) înlocuiește de obicei K^{+} , element care se găsește în cantitate foarte redusă în rocile bazice și ultrabazice (Hamilton, Mountjoy, 1965). Se constată că curba Ba urmează în general pe aceea a K; conținuturi mai ridicate de Ba prezintă numai bazaltul de la N. Bălcescu, aplitul de la Julița și gabroană afectat de contactul banatitelor de la Tomești (tab. 7).

În rocile ofiolitice conținutul de plumb este foarte scăzut (5-12 ppm). Cuprul prezintă și el în rocile analizate conținuturi ce variază între 22 și 97 ppm. Valori mai ridicate decât acestea au fost observate în rocile în care a fost pus în evidență prin analiza chimică și sulful, ceea ce presupune legarea lui de prezența eventuală a calcopiritei în aceste roci.

Originea magmei ofiolitice

Geneza rocilor ofiolitice din munții Drobei a preocupat pe unul din noi cu mulți ani în urmă (Savu, 1962 b), cind s-a subliniat originea lor simatică, subcrustală. În ultimul timp, studiile petrochimice asupra diferitelor suite bazaltice de pe glob și cercetările de laborator au condus la concluzii interesante privind originea bazaltelor și modul de formare a magmelor tholeitice, punându-se la punct metode noi de cercetare.

Studiind bazaltele oceanice din Hawaii, Mac Donald și Katsura (1961) ajung la concluzia că rocile din suita tholeitică – pe care le separă în bazalte cu mai puțin de 5% olivină modală și bazalte cu olivină – se proiectează pe diagrama $\text{Na}_2\text{O} + \text{K}_2\text{O} : \text{SiO}_2$ sub diagonala stabilită, într-un cîmp pe care noi l-am divizat prin izolinii de conținut (fig. 9). Rocile ofiolitice bazice ($\text{SiO}_2 = 45-52\%$) din munții Drobei se

proiectează de asemenea în cîmpul rocilor din suita tholeiitică; numai trei roci mai bogate în SiO_2 , dintre care una conține cîteva procente de cuarț modal, se situază deasupra acestei diagonale. Deși conțin în normă atât hipersten, cât și diopsid, aceste roci bazice se caracterizează în general prin relația $hy > di$. Olivina normativă apare în cantitate mică sau este absentă (tab. 4), demonstrînd că rocile ofiolitice (bazalte și gabbrouri)

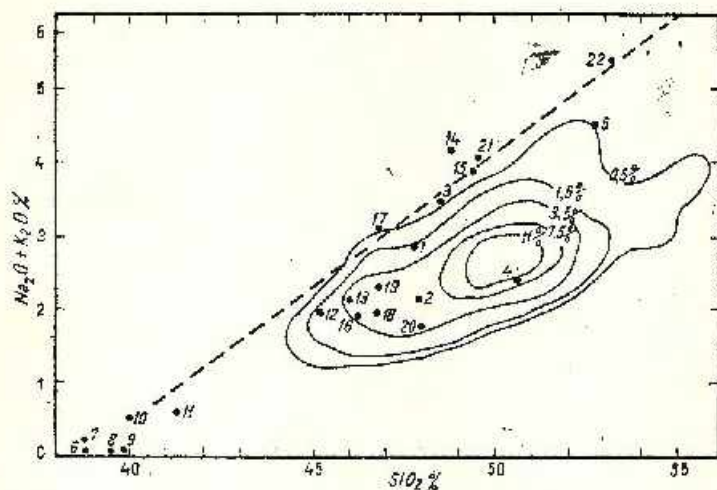


Fig. 9. — Diagrama $\text{Na}_2\text{O} + \text{K}_2\text{O} : \text{SiO}_2$ pentru rocile ofiolitice din munții Drocea, în raport cu bazaltele din insulele Hawaii.

Diagramme $\text{Na}_2\text{O} + \text{K}_2\text{O} : \text{SiO}_2$ pour les roches ophiolitiques de monts Drocea, par rapport aux basaltes des îles Hawaï.

se încadrează ca chimism în grupa bazaltelelor tholeiitice. Rocile ultrabazice (6-11) în care olivina normativă atinge 51,64% se proiectează în colțul stîng de jos al diagramei, iar rocile intrusive (21 și 22) cu cuarț modal, se situază în lungul diagonalei, imediat deasupra ei.

Concluzia care rezultă este că diagonala, care în cazul bazaltelelor oceanice separă bazaltele alcălaine subsaturate de cele tholeiitice saturate, în cazul magmatitelor inițiale din zonele mobile intracontinentale delimită cîmpul bazaltelelor tholeiitice cu 45-52% SiO_2 , cum sunt cele care au erupt în prima etapă de evoluție a magmatismului inițial din munții Drocei, de rocile cu cuarț suprasaturate în SiO_2 , derive din aceeași magmă tholeiitică primară și în special de cele din etapa a doua de evoluție a magmatismului inițial care, după cum s-a arătat (Savu, 1962 c), sunt în general mai bogate în silice și alcălui.

Pe baza acestor observații trebuie să admitem că există două serii de roci tholeiitice și anume, o serie în general subsaturată, cunoscută în bazinile oceanice actuale și în zonele cu fracturi de tip rift, care evoluează spre roci alcaline și o serie bazaltică saturată, care apare în zonele mobile intracontinentale, reprezentând magmatitele inițiale ale acestora și care evoluează în general spre diferențiate cu cuart. Formarea acestor magme tholeiitice depinde, evident, de nivelul la care iau naștere prin topirea mantalei superioare, dar constatăm că, în timp ce în oceane predomină bazaltele subsaturate, în zonele mobile se dezvoltă mai ales cele saturate. Această deosebire este determinată de structura deosebită a mantalei în cele două unități structogene majore — oceane și continent. În zonele oceanice caracterizate printr-o crustă sialică foarte subțire, trecerea la substratul ultrabazic se face probabil bruse, în timp ce sub continent (fig. 10), unde suprafața Mohorovičić se află între 33 și 40 km, ca în cazul munților Drobei (Ciocheid, Eșca, 1966), între pătura ultrabazică și scoarta sialică trebuie să existe o pătură formată din roci apropiate de compoziția bazaltelor saturate (Kropotkin, 1953; Savu, 1962), din care sunt generate magmele ofiolitice ale magmatismului inițial.

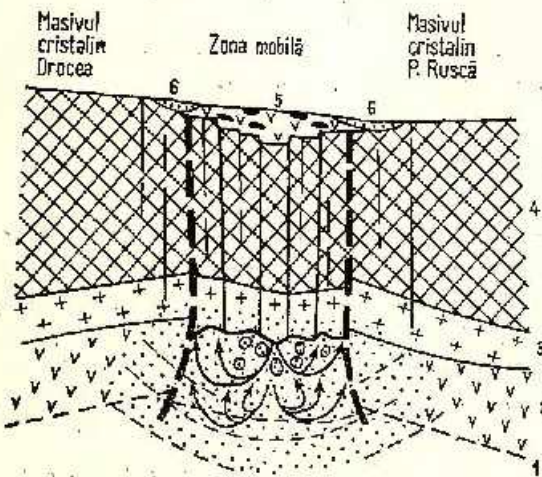


Fig. 10. — Tectonograma zonei mobile a Mureșului și a mantalei superioare.

1, pătură peridotitică; 2, pătură bazaltelor saturate; 3, pătură granitică; 4, socru terestră; 5, rochi effusive și intrusive bazice și ultrabazice; 6, depozite sedimentare mesozoice.

Tectonogramme de la zone mobile du Mureș et du manteau supérieur.
1, couverture peridotitique; 2, couverture des basaltes saturés; 3, couverture granitique; 4, écorce terrestre; 5, roches effusives et intrusives basiques et ultrabasiques; 6, dépôts sédimentaires mesozoïques.

Originea acestei pături bazaltice trebuie să rezide în evoluția mai îndelungată a scuturilor continentale, în raport cu aceea a zonelor oceanice actuale. În acest sens, evoluția domeniului carpatic pînă în stadiul actual de consolidare s-a făcut, conform celor stabilită de Giuşcă et al. (1969),

în patru cicluri tectono-magmatice — prebaicalian, baicalian, hercinic și alpin — presupunind că primul ciclu a evoluat pe un fundament oceanic. În fiecare ciclu este de așteptat că mantaua superioară din acest domeniu a fost afectată de topiri și retopiri succesive, ca de astfel și scoarța sialică ce s-a afundat în aceste zone (fig. 10). Porțiuni din aceasta din urmă, în special din pătura granitică, au fost antrenate de curentii din pirolitul format (Green, Ringwood, 1966), fiind retopite și contaminând treptat partea superioară a mantalei suberustale (Savu, 1962 b); rezultă astfel, această pătură de bazalte saturate în SiO_2 .

În fiecare ciclu tectono-măgmatice se pare că topirea începe de obicei la nivelul acestei pături bazaltice, formându-se un pirolit corespunzător, din care rezultă magmele tholeiitice saturate, caracteristice în substratul continentelor (Turner, Verhogen, 1960). La naștere astfel în pătura bazaltică un bazin magmatic, cum a fost cel din substratul muntelor Drocea, dezvoltat în lungul zonei mobile alpine. Este posibil că această pătură bazaltică să nu fie continuă — sau să nu aibă aceeași grosime peste tot — ci să apară numai în zonele de labilitate maximă ale zonelor mobile din ciclurile tectono-magmatice anterioare. În funcție de acest caracter sau de adâncimea pînă la care ajung fracturile profunde formate la începutul evoluției unei astfel de zone mobile, printre magmatitele inițiale pot să predomină rocile bazaltice saturate ca în Munții Apuseni sau roci în general subsaturate, bogate în olivină, cum sunt cele din geosinclinalul alpin-himalayan, în zona cuprinsă între Dinarizi, Turcia și Himalaya.

Evoluția unui bazin magmatic suberustal din pătura bazaltică saturată diferă de aceea a unui bazin magmatic format în substratul zonelor oceanice, sau la adâncime mai mare în pătura peridotitică. În cazul celui care a generat ofiolitele din Munții Apuseni, magma tholeiitică saturată rezultată prin topirea substratului bazaltic la presiunea de aproximativ 15 Kb, a produs o mare cantitate de roci, în general efuzive, care conservă caracterele chimice ale magmei inițiale (fig. 11). Datorită proceselor de diferențiere, în bazinul magmatic suberustal s-au separat și magme mai bazice care, pulsate spre suprafață, s-au diferențiat *in situ* în condiții de PT supracrustale, rezultând mici corpuri ultrabazice și picritice citate în literatură (Rozloznik, 1905), roci care ca volum sunt infime în raport cu masa mare de roci bazice saturate care alcătuiesc ofiolitele generate de geosinclinalul alpin al Mureșului.

Aceste diferențiate emise în anumite momente ale acestui proces evolutiv din bazinul magmatic suberustal se deosebesc între ele prin

compoziția chimică globală. De exemplu, în corpul de pe valea Mareului predomină rocile foarte bogate în olivină, pe cind în corpul de pe pîrul Drumul Radei rocile ultrabajice se asociază cu gabrouri a căror compoziție se apropie de aceea a gabrourilor din corpul de la Almășel. Dar, eu

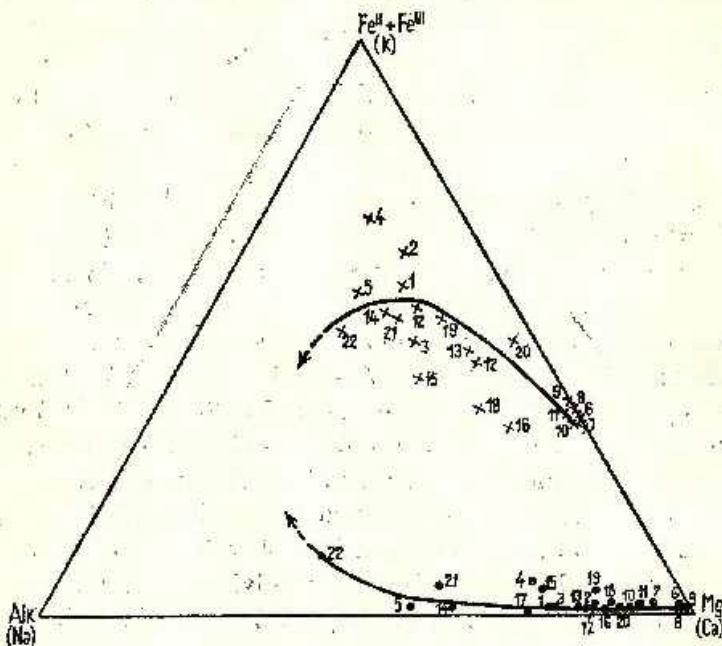


Fig. 11. — Diagrama $\text{Fe}^{2+} + \text{Fe}^{3+}$ (K)-Alk(Na)-Mg(Ca).

Diagramme $\text{Fe}^{2+} + \text{Fe}^{3+}$ (K)-Alk(Na)-Mg(Ca).

toate că aceste corperi sint izolate, rocile din care sint alcătuite formează pe diagrama din figura 11 o serie continuă, ceea ce demonstrează diferențierea lor succesivă din aerea magmă bazaltică; particularitățile care apar sint determinate în mare măsură de procesul de diferențiere *in situ* a fracțiunilor de magmă intruse (Savu, Uderescu, 1967). Astfel, se observă clar că în funcție de distribuția fierului, alcaliilor și magneziului, rocile ofiolitice se proiectează pe diagramă într-un cîmp apropiat de latura $\text{Fe}^{2+} + \text{Fe}^{3+} - \text{Mg}$, ultrabajitele situindu-se în imediata apropiere a acesteia. Curața trăsătă pe diagramă arată că diferențierea a condus mai întâi la separarea unor produse bogate în Mg, după care magma reziduală s-a imbogățit treptat în fier, iar în stadiul final ca a început să se imbogătească slab în alcalii.

Sensul diferențierii în bazinul magmatic suberustal rezultă și din modul cum se proiectează rocile pe diagrama din figura 12, în funcție de cele trei elemente minore caracteristice în rocile bazice. Pe această diagramă cele patru grupe de roci analizate se situează în patru cîmpuri diferite :

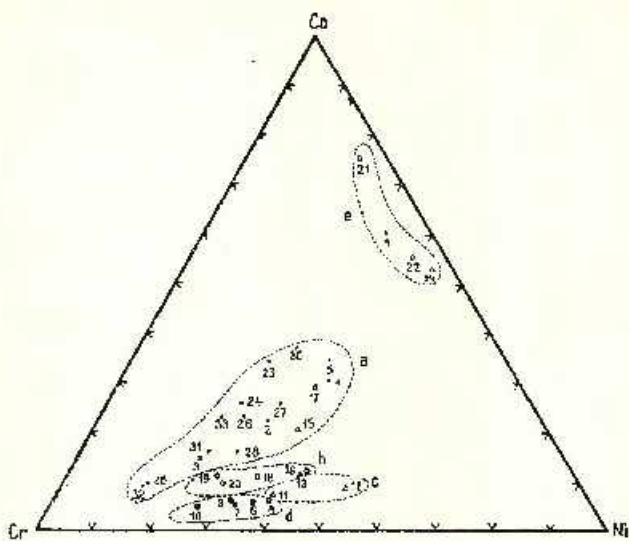


Fig. 12. — Diagrama Co-Ni-Cr.

Diagramme Co-Ni-Cr.

rocile efuzive formează cîmpul (a), sub care se dispun în ordine, pe măsura scăderii conținutului de Co, cîmpurile rocilor din corporile de la Almășel (b), pîriul Drumul Radei (c) și valea Marcului (d).

În stadiul final al primei etape de evoluție a magmatismului inițial, în zona geosinclinală încep să-și facă apariția rocile cu quart hipoabisice (doleritele) sau intrusive (dioritele cuartifere pegmatoide și micropegmatoide), ceea ce arată că diferențierea magmei suberustale contaminată cu material din sial a condus la separarea unor magme bazice suprasaturate cu SiO_2 și imbogățite treptat în Na_2O (Savu, 1962 b). Această concluzie rezultă și din alura curbei trasată în funcție de conținutul rocilor ofiolitice în K, Na și Ca, care indică o evoluție de la o magmă bogată în calciu, spre magme care se imbogătesc treptat în alcali, în special Na. Pe diagrama din figura 12 ultimele roci se proiectează într-un cîmp (e) apropiat de latura Co-Ni, ceea ce arată că ele sunt mai bogate în Co decît

restul ofiolitelor. Cu aceste roci se încheie de fapt prima etapă a evoluției magmatismului inițial alpin, care se caracterizează din punct de vedere orogenic-printr-o evoluție liniștită; mișările, care au survenit în zona geosinclinală, au avut numai un caracter de scufundare datorită proceselor de subsidență (Savu, 1962 b).

Concluzii

Datele rezultate din cercetarea distribuției elementelor majore și minore în rocile ofiolitice din prima etapă de evoluție a magmatismului inițial alpin din Munții Apuseni conduc la următoarele concluzii:

Rocile ofiolitice au rezultat dintr-o intensă activitate vulcanică submarină, însoțită de punerea în loc a unor corpuri cu caracter intrusiv, în general de dimensiuni reduse.

Intruziunile de magmă ultrabazică au suferit după punerea lor în loc, un proces de diferențiere *in situ*, care a condus la formarea de roci peridotitice și melagabbroice. Corpul de gabrouri de la Almășel însă este un corp compus care a rezultat dintr-o succesiune de intruziuni, a căror diferențiere de la gabrouri cu olivină pînă la micropegmatite și diorite cuarțifere pegmatoidice a avut loc în bazinul magmatic subcrustal.

Compoziția chimică a acestor roci indică o magmă bazaltică saturată primară, din care s-au diferențiat roci în care SiO_2 variază de la 38,71% la 53,11%. Acest proces de diferențiere este scos în evidență de diferențele diagrame petrochimice construite. S-a arătat de asemenea, că roci bazice din regiunea Roșia Nouă-Almășel prezintă caractere petrochimice asemănătoare cu cele ale ofiolitelor din Alpi.

Distribuția elementelor majore indică o îmbogățire a peridotitelor în Mg, iar a gabrourilor și bazaltelor în fier, roci cu cuarț tînzind să se concentreze în alcălii, mai ales Na.

Pînă la elementele minore se remarcă vanadiul, care în rocile bazaltice se comportă ca și în alte serii de roci tholeiitice, curba lui prezentând un maxim evident; în rocile ultrabazice și gabrourile de la Almășel, curba lui indică o creștere în sensul creșterii conținutului de SiO_2 .

Elementele Cr, Co și Ni sunt mai abundente în rocile ultrabazice de pe valea Marcului și în corpul de pe rîul Drumul Radei, decît în bazalte și în gabrourile de la Almășel. Diferențele în privința conținutului acestor elemente în cele patru grupe de roci analizate sunt mai mari la Ni și Cr.

Bariul prezintă în general valori scăzute, iar Sr care se corelează în general cu Ca, se găsește în cantitate foarte scăzută în rocile ultrabazice.

Cuprul prezintă conținuturi asemănătoare datelor din literatură pentru aceste tipuri de roci. Conținuturile mai mari de Cu apar în rocile în care a fost pus în evidență și sulful.

Magma primară din care au rezultat rocile ofiolitice a fost o magmă tholeiitică saturată, formată în pătura bazaltică a mantalei superioare a Pământului. Această magmă s-a diferențiat în bazinul magmatic, astfel că succesiv au venit spre suprafață lave bazaltice, anarnesite, dolerite și dolerite cuartifere, precum și intruziuni de roci ultrabazice, bazice și cu cuarț.

Formarea păturii bazaltice în partea de sus a mantalei este rezultatul schimbului de substanță dintre pătura peridotitică și scoarța sidică în timpul proceselor de topire și retopire în diferite cicluri teitono-magmatice.

BIBLIOGRAFIE

- Buddington A. F., Fahey J., Vissidis Angelina (1955) Thermodynamic and petrogenetic significance of titaniferous magnetite. *Amer. Journ. Sci.* 253, 9.
- Burri G. (1959) Petrochemische Berechnungsmethoden auf äquivalenter Grundlage. Basel u. Stuttgart.
- Niggli P. (1945) Die jungen Eruptivgesteine des mediterranen Orogens, I, II. Zurich.
- Ciocirdei I., Esca L. (1966) Essai de synthèse des données actuelles concernant les mouvements verticaux récents de l'écorce terrestre en Roumanie. *Rev. Roum. Géol.-Géophys.-Géogr. Ser. Géophys.* 10, 1, București.
- Giușcă D., Cioîlcea G., Savu H. (1963) Vulcanismul mezozoic din Masivul Drocea (Munții Apuseni). *Asoc. Geol. Carp.-Balc. Congr.* V, 1961, II, București.
- Ionescu Jana, Udrăescu Constanța (1964) Contribuții la studiul geochemical al Masivului Highiș. *Stud. cerc. geol.* 9, 2, București.
- Savu IL, Berciu J., Kräntner H. (1969) Sequence of tectonomagnetic pre-alpine cycles on the territory of Romania. *Acta Geol. Acad. Scient. Hung.* 13, Budapest.
- Goldschmidt V. M. (1954) Geochemistry. Clarendon Press, Oxford.
- Grin T. B., Ringvud A. E. (1968) Proizhojdene bazaltovoi magm. *Petrologija vechnei manti*. Moskva (trad. din lb. engleză).
- Hamilton W., Mountjoy W. (1965) Alkali content of alpine ultramafic rocks. *Geochim. Cosmochim. Acta*, 29, 6, Oxford.
- Ianovici V., Giușcă D., Ghijulescu T. P., Borcoș M., Lupu M., Bleahu M., Savu H. (1969) Evoluția geologică a muntilor Metaliferi. Ed. Acad. R.S. România, București.
- Kropotkin P. N. (1953) Sovremennye geofizicheskie daniye o stenach Zemli i problem proizhojdjenii bazallovoy i granitnoi magmi. *Izvestia AN. SSSR. ser. geol.*, 1, Moskva.
- Loczy L. (1918) Einige Betrachtungen über den geologischen Aufbau der Geosynklinalen des Siebenbürgischen Erzgebirges im weiteren Sinne und der nordwestlichen Karpaten. *Földt. Körzl.* XLVIII, Budapest.



- Lundegård P. H. (1946) Rock composition and development in Central Roslagen, Sweden. *Ark. Kemi. Min. geol. A.* 23, 9, Stockholm.
- MacDonald G. A., Katsura T. (1964) Chemical composition of Hawaiian lavas. *Jour. Petrology*, 5, 1, Oxford.
- Nockolds S. R., Allen I. (1956) The geochemistry of some igneous rock series. Part 3. *Geochim. Cosmochim. Acta*, 8, 1/2, Oxford.
- Papiu C. V. (1953) Cercetări geologice în masivul Drocea (Munții Apuseni). *Bul. St. Acad. R.P.R.* V, 1, București.
- Rozloznik P. (1905) Die Eruptivgesteine des Gebietes zwischen den Flüssen Maros u. Körös an der Grenze der Komitate Arad u. Hunyad. *Földt. Közl.* XXXV, Budapest.
- Savu H. (1962 a) Asupra unor iviri de roci ultrabazice din partea centrală a geosinclinalului Mureșului. *D. S. Com. Geol.* XI.V, București.
- (1962 b) Corpul gabbroic de la Almășel și contribuția la cunoașterea chimismului și petrogenesei ophiolitelor din Masivul Drocea. *An. Com. Geol.* XXXII, București.
 - (1962c) Chimismul vulcanitelor jurasic-superioare - cretacic-inferioare din Munții Drocea. *D.S. Com. Geol.* XI.VII, București.
 - (1967) Die mesozoischen Ophiolithe der rumänischen Karpaten. *Acta Geol. Sci. Hung.* XI, Budapest.
 - (1968) Considérations concernant les relations stratigraphiques et la pétrologie des ophiolites mésozoïques de la Roumanie. *An. Com. Stat. Geol.* XXXVI, București.
 - Udrescu Constanță (1967) Paleotemperatura și geochimia gabbrourilor de la Câias (Munții Drocea). *D. S. Com. Stat. Geol.* LIII/2, București.
- Socolescu M. (1940) Les affleurements de minéraux de la région Vața-Șoimuș-Buceava-Sărățin-Zam. *C. R. Inst. Géol. Roum.* XXIII, București.
- Stille H. (1953) Der geotektonische Werdegang des Karpatenbogens. *Geol. Heftse*, VIII, Hanover.
- Stueber A. M., Goles G. G. (1967) Abundances of Na, Mn, Cr, Sc, and Co in ultramafic rocks. *Geochim. Cosmochim. Acta*, SI, Oxford.
- Turekian K. K., Kulp J. (1956) The geochemistry of strontium. *Geochim. Cosmochim. Acta*, 10, 5/6, Oxford.
- Turner F. J., Verhoogen J. (1960) Igneous and metamorphic petrology. McGraw-Hill, New York.
- Wager L. R., Brown G. M. (1968) Layered igneous rocks. Oliver and Boyd, Edinburgh-London.

GÉOCHIMIE ET PÉTROLOGIE DES OPHIOLITES DE LA PREMIÈRE ÉTAPE D'ÉVOLUTION DU MAGMATISME INITIAL ALPIN DU MASSIF DE DROCEA (MONTS APUSENI)

(Résumé)

Dans ce travail, les auteurs établissent une comparaison entre la distribution des éléments majeurs et celle des éléments mineurs des principaux types de roches effusives et intrusives basiques et ultrabasiques de la première étape d'évolution du magmatisme initial des monts de Drocea et ils présentent des considérations sur la pétrogenèse des ophiolites. Le magmatisme

initial se développe dans la zone mobile intracontinentale à caractère de géosynclinal du sud des Monts Apuseni, constituée au commencement du cycle alpin le long des fractures profondes qui ont pris naissance entre le bloc cristallin rigide de Poiana Rusca et celui des monts de Drocea, Bihor et Gilău, en ayant pour effet une importante suture ophiolitique (fig. 1). Ce magmatisme se développe en trois étapes: une première étape, qui fait l'objet de cette étude, commence vers la fin du Trias et se prolonge jusqu'au commencement du Jurassique supérieur, et deux autres étapes qui comprennent le Néocomien et l'Aptien.

Les plus divers types de roches de la première étape d'évolution du magmatisme initial se trouvent dans la région Roșia Nouă-Almășel (pl. IV), où l'activité magmatique s'est manifestée par d'importantes coulées sous-marines qui forment un complexe basaltique dans lequel quelques corps intrusifs basiques et ultrabasiques sont mis en place.

Les plus caractéristiques roches effusives sont les basaltes à structure ophitique, souvent en faciès de pillow-lave, parmi lesquels on distingue des basaltes amygdaloïdes, basaltes à olivine, hyalobasaltes et variétés auxquels se rattachent quelque fois des agglomérats et des brèches volcaniques, plus rarement des verres tachyllitiques, transformés partiellement en palagonites, et parfois des pierrites.

Les roches ultrabasiques forment deux petits corps à structure stratifiée. Le corps de la vallée Marcului est le plus basique et il consiste dans un horizon péridotitique inférieur et un horizon supérieur de gabbros à olivine (fig. 2) réunis par une zone de transition à stratification rythmique, formée d'alternances de péridotites, mélagabbros et gabbros à olivine qui s'altèrent radiairement (fig. 3). Le corps ultrabasique du ruisseau Drumul Radiei est aussi constitué d'un horizon péridotitique qui supporte un horizon de mélagabbros, surmonté par un horizon de gabbros à olivine et de gabbros à magnétite. En tenant compte de la teneur de la magnétite en TiO_2 , on a établi que ces gabbros avaient cristallisé à une température d'environ 1.020°C.

La composition chimique des principaux minéraux qui forment les roches des corps intrusifs varie de sorte que c'est une olivine de type $Fo_{48} Fa_{52}$ qui est fréquente dans les péridotites tandis que la forstérite à composition $Fo_{80} Fa_{20}$ prédomine dans les gabbros à olivine. La plagioclase des mélagabbros et des gabbros de ces deux corps ultrabasiques est un labrador à une teneur en anortite de 50% à 70%.

Durant l'activité magmatique des coulées d'anamésites ont eu lieu et des sillls de dolérites, dolérites porphyriques et dolérites quartziques partiellement albilisées ont été mis en place. Le corps composé d'Almășel (pl. IV) prend naissance en même temps, résultant plusieurs intrusions successives de magma: la première intrusion est constituée de gabbros et microgabbros à olivine et hypersthène, la deuxième de gabbros à diopside (dialog), gabbros à titanomagnétite vanadière, gabbros pegmatoides et parfois des microgabbros, et la troisième de gabbros quartziques, diorites quartziques pegmatoides et micropegmatites. Les dernières roches contiennent du plagioclase ($An_{48} - An_{20}$), hornblende verte et présentent des structures micrographiques formées entre quartz et feldspath.

Les solutions résiduelles déterminent l'altération des roches effusives et intrusives en différents faciès et elles causent des minéralisations de pyrite et chalcopyrite.

Les données des analyses chimiques effectuées (tableaux 1, 2, 3) ont été inscrites dans des tableaux différents et projetées sur des dyagrammes qui caractérisent chaque groupe de roches: basaltiques, intrusives ultrabasiques du corps de la vallée Marcului et du ruisseau Drumul Radiei et gabbroïques du corps d'Almășel. La norme CIPW (tableau 4) indique la relation $An > Ab$ et la teneur élevée en diopside et hypersthène normalisé comme caractéristiques des

roches effusives et intrusives basiques. L'olivine apparaît en quantité plus petite de 5%, mais elle est plus fréquente dans certaines roches ultrabasiques, y dépassant 50%; le quartz n'apparaît que dans les roches plus acides. À la différence des autres ophiolites, les roches à quartz se caractérisent par la relation $Ab > An$.

Selon les paramètres magmatiques (tableau 5), les basaltes et la plupart des gabbros d'Almășel correspondent aux magmas gabbroïdes, pyroxène-gabbroïdes et c-gabbroïdes et les roches à quartz aux magmas normal-gabbroïdioritique et dioritique. Les roches des corps ultrabasiques correspondent aux magmas péridotitique, hornblendite-péridotitique, gabbroïde-cucritique, gabbroïde, hawaïtique et mihareïtique. Tous ces types de magmas sont le résultat d'une différenciation, dans le bassin magmatique sous-crustal, d'un magma basaltique saturé qui a conduit d'une part à la séparation d'un magma ultrabasique et d'autre part aux magmas plus riches en SiO_2 . Ce processus est aussi reflété par la position des roches sur les diagrammes des figures 4, 5 et 6 et surtout par le diagramme de différenciation de la figure 7; il en résulte que, bien que les roches appartiennent aux différents groupes pétrographiques et corps éruptifs différenciés *in situ*, en général, les courbes de leurs paramètres se superposent, en indiquant le même sens de différenciation et en soulignant ainsi la consanguinité de toutes les roches de la province ophiolitique des Monts Apuseni. Les points d'isofaille se trouvent à $si > 145$, en caractérisant de la sorte le sens de la différenciation des provinces chalcoc-alcalines.

Le caractère ophiolitique de ces roches ressort du diagramme de la figure 8, où les roches se situent dans le champ de projection des ophiolites des Alpes, en mettant ainsi en évidence la grande ressemblance des magmatites initiales des différentes régions du globe.

La teneur en Ga, Li, Ni, Co, Cr, V, Ba, Sr, Cu et Pb des roches ophiolitiques connaît de grandes variations, enrегистrées dans les diagrammes tracés selon la méthode Nockolds et Allen (1956) et présentées par groupe de roches dans les planches I, II et III.

On y constate une évidente discordance entre la courbe du Mg qui baisse puissamment des péridotites vers les gabbros et la courbe du Li qui indique des teneurs voisines à celles d'autres roches ophiolitiques. Ce comportement du Li démontre d'une part que les quantités dans lesquelles il est admis dans la position du Mg augmentent à mesure que la température baisse et d'autre part qu'il peut remplacer par diadochie le Fe^{2+} , Ti^{4+} et peut-être le Al^{3+} .

Dans les roches basaltiques qui reflètent l'évolution ininterrompue de la différenciation du magma basaltique sous-crustal (pl. I, fig. b), la courbe du V présente des analogies avec les courbes du V d'autres séries de roches similaires, analysées dans la littérature de spécialité.

Le chrome, le nickel et le cobalt sont plus abondants dans les roches ultrabasiques (surtout dans les péridotites) que dans les roches basiques ou à quartz. La variation de la teneur de ces éléments dans les quatre groupes de roches résulte aussi de la variation des valeurs de leurs rapports avec les éléments majeurs qu'elles remplacent dans le réseau cristallin des minéraux (tableau 9).

La teneur en Sr varie à peu près parallèlement à celle en Ca, mais, dans les gabbros à olivine d'Almășel, il apparaît une discordance entre les courbes de ces deux éléments et on peut supposer que le Sr remplace tant le Ca du plagioclase que celui du clinopyroxène, minéral qui s'y trouve en grandes quantités. La courbe du Ba suit en général la courbe du K. La teneur en Pb est réduite dans les roches ophiolitiques. Le cuivre est plus abondant dans les roches où l'on a mis en évidence le soufre.

Les roches ophiolitiques basiques ($SiO_2 = 45\% \text{ à } 52\%$) des monts de Drocea se projettent sur le diagramme de la figure 9 dans le champ des roches tholéïtiques, donc, du point

de vue de la composition chimique, elles entrent dans le groupe des tholéïtites à moins de 5% d'olivine. Les roches ultrabasiques occupent le coin gauche du bas du diagramme et les roches à quartz se trouvent au-dessus de la diagonale qui, dans le cas des basaltes océaniques, sépare le champ des basaltes tholéïtiques et celui des basaltes alcalins. Donc, il faut admettre l'existence de deux séries de magmas tholéïtiques, à savoir une série subsaturée — océanique — qui évolue vers des magmas alcalins et une série saturée en SiO_2 — les magmas initiaux des zones mobiles intracontinentales — qui évolue vers les roches à quartz.

La formation de ces deux séries de magmas tholéïtiques dépend de la structure particulière du manteau supérieur, placé au-dessous des océans ou des continents. Dans les monts de Drocea, où la surface Moho se situe entre 38 km et 40 km, il est à présumer l'existence d'une couche à composition de basaltes saturés (fig. 10) qui sépare la couche périclithique et l'écorce sialique et dans laquelle le magma basaltique (ophiolitique) du magmatisme initial prend naissance. L'origine de cette couche basaltique réside dans l'évolution prolongée des écoulements continentaux. Dans le domaine carpathique, par exemple, l'écorce sialique s'est formée le long des quatre cycles tectono-magmatiques (pré-himalien, himalien, hercynien et alpin) et on suppose que, pendant chaque cycle, le manteau supérieur a subi des fusions et de refusions successives ; l'écorce sialique qui s'est affaissée dans cette région (fig. 10) a été soumise au même processus et, par endroits, elle a été entraînée dans le pyrocliste formé, en saturant en SiO_2 la partie supérieure du manteau sous-crustal ; ainsi s'est formée la couche basaltique à épaisseur variable.

Vu le chimisme des roches, le bassin magmatique qui a générée les ophiolites des monts de Drocea s'est formé par la fusion de cette couche basaltique à une pression d'environ 15 Kb, qui a produit une grande quantité de roches effusives qui gardent généralement les caractères chimiques du magma tholéïtique initial et reflètent la direction de sa différenciation (fig. 11). Les processus de différenciation mènent à la séparation de magmas plus basiques, d'où résultent les corps intrusifs ultrabasiques. Ces magmas, à différents moments d'émission dans le processus évolutif de différenciation, sont différents par la composition chimique globale, mais sur le diagramme (fig. 11) ils forment une série pétrologique continue, ce qui souligne leur différenciation successive à partir du même magma basaltique saturé. La direction de ce processus ininterrompu de différenciation résulte aussi d'un autre diagramme (fig. 12), sur lequel les quatre groupes de roches se situent dans quatre champs de projection successifs, chacun engendrant l'autre.

La première étape du magmatisme initial s'achève avec des magmas basiques suprasaturés en SiO_2 et Na_2O (fig. 11) généralement plus riches en Ca que les autres magmas tholéïtiques (fig. 12).

EXPLICATION DES PLANCHES

Planche I

Diagrammes de variation des éléments mineurs et majeurs des roches basaltiques.

a, diagramme de variation du Si, Ca et Al; b, diagramme de variation du Li, Mg, V, Cr, Fe, Co et Ni; c, diagramme de variation du Ca, Sr, Ba, Na et K.



Planche II

Diagrammes de variation des éléments mineurs et majeurs des corps ultrabasiques.
a, diagramme de variation du Si, Ga, et Al ; b, diagramme de variation du Ca, Sr, Ba, Na et K ; c, diagramme de variation du Li, Mg, V, Cr, Fe, Co, et Ni.

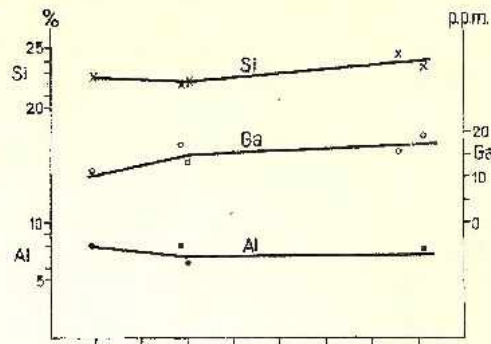
Planche III

Diagrammes de variation des éléments mineurs et majeurs du corps de gabbros d'Almășel.
a, diagramme de variation du Si, Ga et Al ; b, diagramme de variation du Li, Mg, V, Cr, Fe, Ni et Co ; c, diagramme de variation du Ca, Sr, Ba, Na et K.

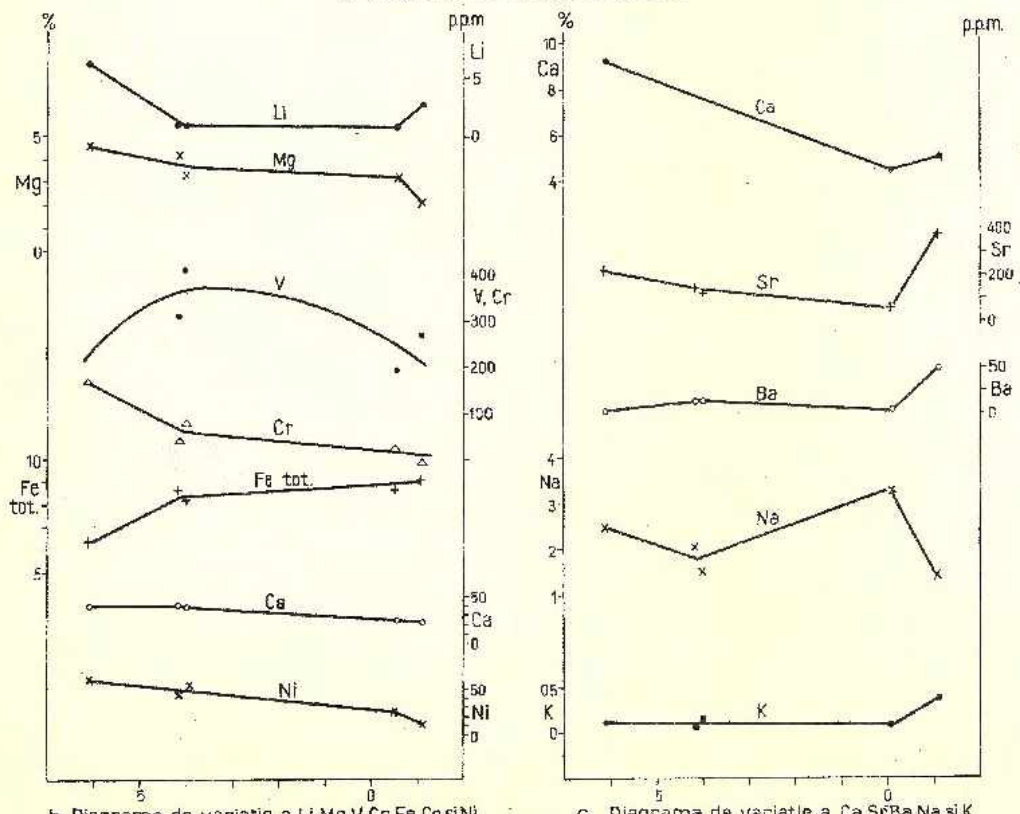
Planche IV

Carte géologique de la région Buceava-Roșia Nouă-Almășel-Pietriș (monts de Drocea).
1, alluvions ; 2, graviers néogènes ; 3, pyroclastites andésitiques néogènes ; 4, banatites :
a, granodiorites ; b, zone hydrothermalisée ; 5, Aptien. Magmatites de la 1^{re} étape et dépôts sédimentaires ; 6a, rhyolites, dacites, orthophyres, porphyres granitiques et granodioritiques ; 6b, Crétacé inférieur ; 6c, andésites à hornblende et augite ; 6d, oligophyres et albiphyses ; 6e, calcaires récifaux néocomiens et jurassiques supérieurs ; 6f, basaltes, andésites, pyroclastites ± spilites ; 6g, jaspes néocomiens et jurassiques supérieurs. Magmatites de la 1^{re} étape : 7a, gabbros à olivine et hyperite ; 7b, gabbros à diopside ; 7c, microgabbros ; 7d, diorites quartzifères pégma-toides et micropégmatites ; 8, anamésites, dolérites, dolérites quartzifères ; 9, péridolites mélagabbros, gabbros à olivine ; 10, dolérites à olivine ; 11a, agglomérats ; 11b, tachillites ; 12a, basaltes ; 12b, pillow-lave ; 12c, basaltes amygdaloïdes ; 13, basaltes bréchiques à filons de calcite et zéolites ; 14, minéralisations de pyrite (Py) et chalcopyrite (Cu) ; 15, faille de chevauchement ; 16, faille ; 17, position des couches ; 18, galerie ; 19, puits, 20, carrière.

DIAGRAMELE DE VARIATIE A ELEMENTELOR MINORE SI MAJORE
DIN ROCILE BAZALTICE



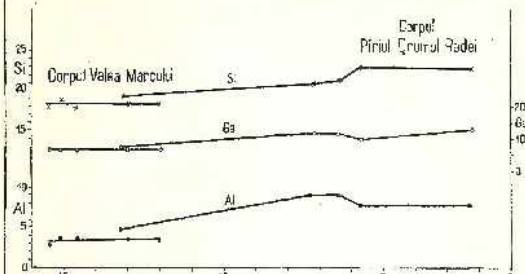
a. Diagrama de variație a Si, Ga și Al



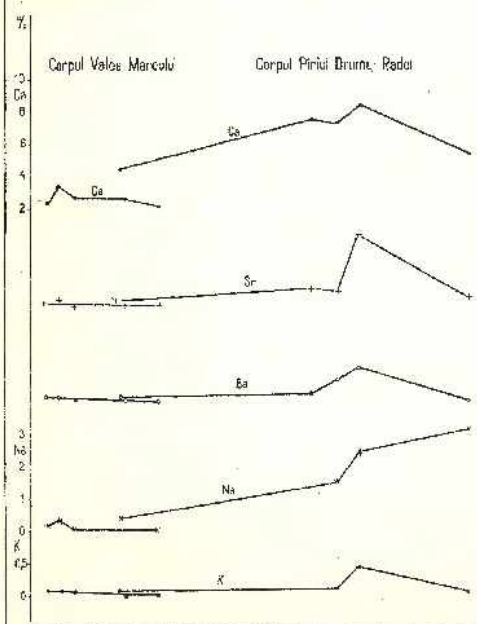
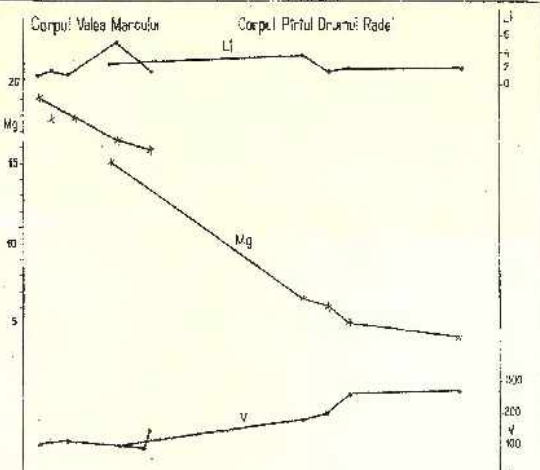
b. Diagrama de variație a Li, Mg, V, Cr, Fe, Ca și Ni

c. Diagrama de variație a Ca, Sr, Ba, Na și K

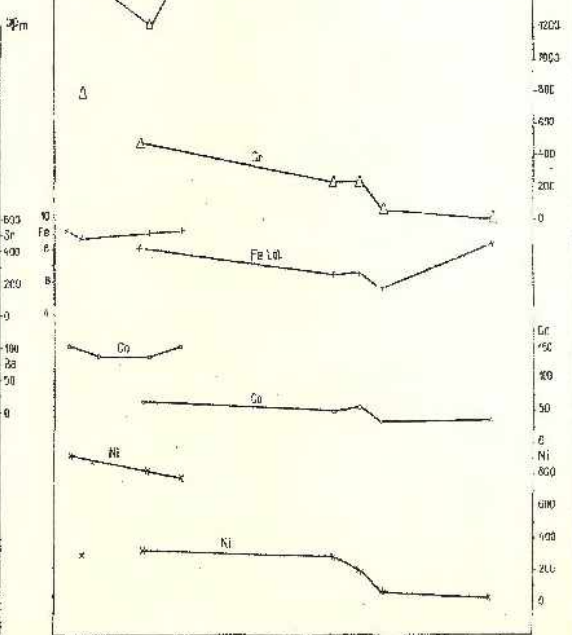
**DIAGRAMELE DE VARIATIE A ELEMENTELOR MINORE SI MAJORE
DIN CORPURILE ULTRABAZICE**



a. Diagrama de variație a Si, Ca și Al



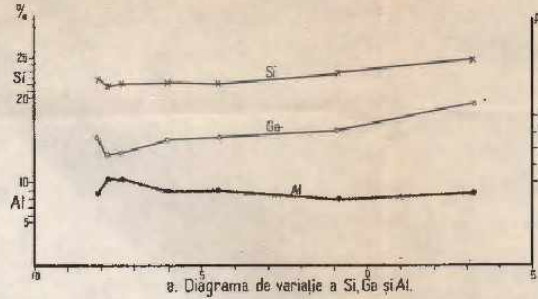
b. Diagrama de variație a Ca, Sr, Ba, Na și K



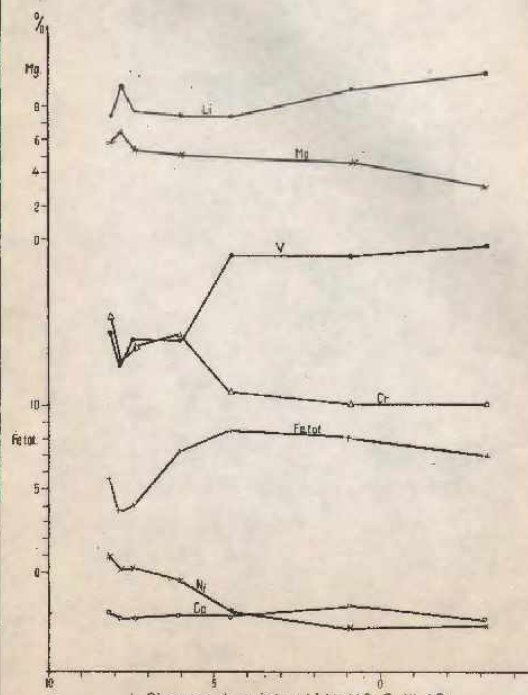
c. Diagrama de variație a Li, Mg, V, Cr, Fe, Co și Ni



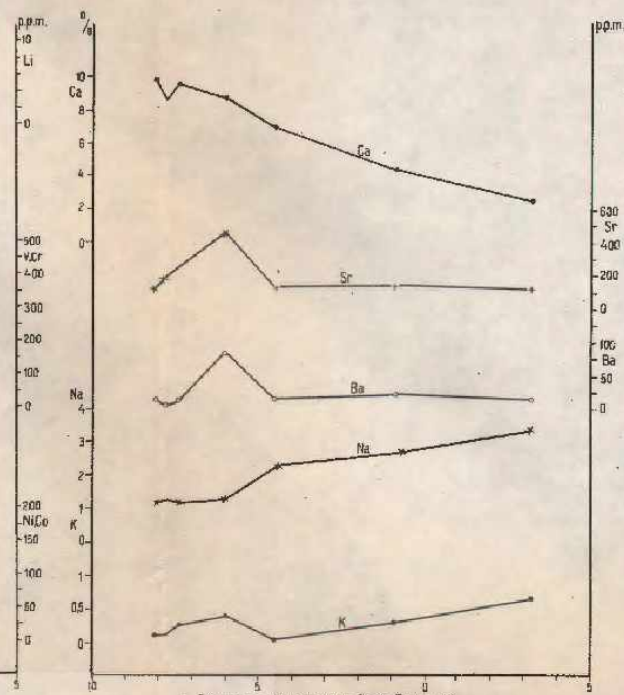
**DIAGRAAMELE DE VARIATIE A ELEMENTELOR MINORE SI MAJORE
DIN CORPUL DE GABBRO DE LA ALMAŞEL**



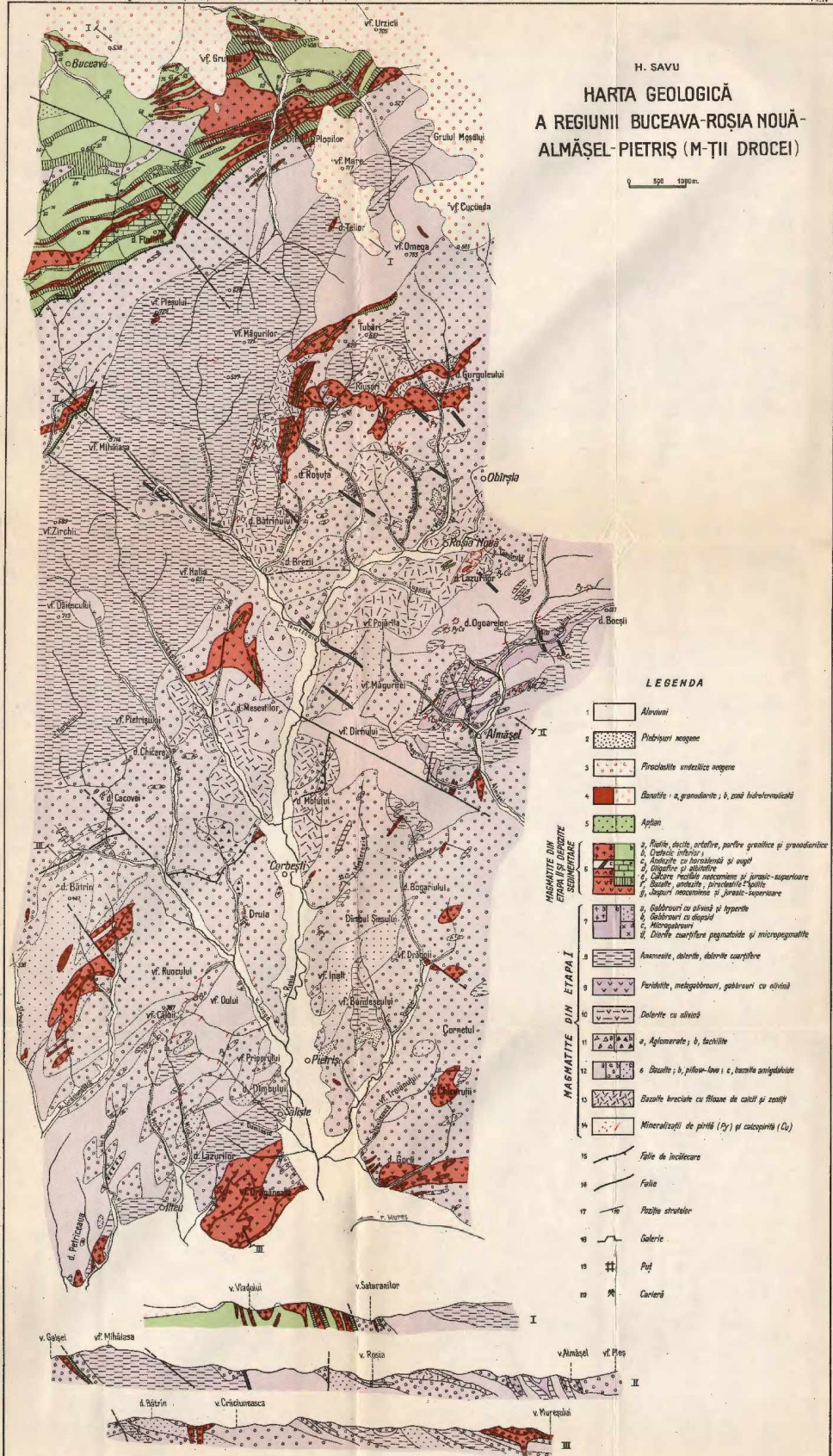
a. Diagrama de variație a Si, Ge și Al.



b. Diagrama de variație a Li, Mg, V, Cr, Fe, Ni și Co



c. Diagrama de variație a Ca, Sr, Ba, Na și K



C U P R I N S

MINERALOGIE

	Paz
1. Antonovici Suzana, Borcea Maria. Contribuții la studiul semseyitului de la Baia-Mare	11
2. Balintoni I. Asupra caracterului blastic al microclinului din migmatitele oculare de lîngă Plaiu Foii (Birsa Groșelului)	21
3. Berbeleac I. Alunitul de la Voia (Munții Metaliferi)	31
4. Borcea Maria, Antonovici Suzana. Contribuții la studiul filopitului de la Baia-Mare	51

PETROLOGIA ROCILOR MAGMATICE

5. Kalmár I., Ionescu Doina. Considerații asupra vulcanismului tortonian din partea de NW a masivului Preluca (județul Maramureș)	57
6. Mușat A.I. L., Vasilescu Olimpia. Asupra prezenței unor elemente de roci bazice în brecile tectonice de la Arșița-Iacobeni (Carpații Orientali)	83
7. Peltz S., Peltz Margaretă. Contribuții petrografice și paleovulcanologice la cunoașterea părții de sud-vest a munților Gurgiu	89
8. Ștefan R., Popovici I. Considerații privind intruziunile granito-dioritice de la Cazalgic Bair, Mihail Kogălniceanu (județul Tuleca)	113
9. Teodoru I., Teodoru Camelia, Țăndureanu I. Cercetări petrografice în munții Călimani de nord	129

PETROLOGIA ROCILOR METAMORFICE

10. Arion M., Ignat V. Considerații asupra migmatitelor din versantul sudic al munților Făgăraș	151
11. Slănic N. Migmatitele de pe valea Șușita Verde și valea Porcului (munții Vilcan)	169

PETROLOGIA ROCILOR EXOGENE

12. Papiu C. V. Litologia calcarelor mezozoice asociate bauxitelor din masivul Pădurea Craiului (Munții Apuseni)	187
13. Papiu C. V., Minzatu Silvia, Iosof V. Asupra caracterelor petrologice ale bauxitelor din munții Bihorului (regiunea văii Galbina)	209

GEOCHIMIE

14. Savu H., Vasiliu Cecilia, Udrescu Constanța. Geo chimia și petrologia ofiolitelor din prima etapă de evoluție a magmatismului inițial alpin din masivul Drocea (Munții Apuseni)	219
---	-----



CONTENU

(Résumé)

MINÉRALOGIE

	Page
1. Antonovici Suzana, Borcea Maria. Contributions à l'étude de la semseyite de Baia-Mare	17
2. Balintoni I. Concernant le caractère blastique de la microcline des migmatites œillées des environs de Plaiu Voii (Bîrsa-Groșetu).	29
3. Berbeleac I. Alunites de Voii (Monts Métallifères)	49
4. Borcea Maria, Antonovici Suzana. Contributions à l'étude du feldspathopéite de Baia-Mare	55

PÉTROLOGIE DES ROCHES MAGMATIQUES

5. Kalmár L., Ionescu Doina. Considérations sur le volcanisme tortonien du NW du massif Preluca (Maramureş)	81
6. Mușat Al. I., Vasilescu Olimpiu. Sur la présence des éléments de roches basiques dans les brèches tectoniques d'Arsita-Iacobeni (Carpates Orientales)	87
7. Peitz S., Peitz Margareta. Contributions pétrographiques et paléovolcanologiques à la connaissance de la partie SW des monts Gurghiu	109
8. Stefan M., Popoviciu. Sur les intrusions grano-dioritiques de Cazalnic Bair, Mihail Kogălniceanu (Tulcea)	128
9. Teodoru I., Teodoru Camelia, Intorsuranu I. Recherches pétrographiques dans la partie septentrionale des monts Călimani	149

PÉTROLOGIE DES ROCHES MÉTAMORPHIQUES

10. Arion M., Ignat V. Considérations sur les migmatites du versant méridional des monts Făgăraş	166
11. Stan N. Migmatites des vallées Șușita Verde et Porcului (monts Vilcan)	184

PÉTROLOGIE DES ROCHES EXOGÈNES

12. Papiu C. V. Lithologie des calcaires mésozoïques associés aux bauxites du massif de Pădurea Craiului (Monts Apuseni)	205
13. Papiu C. V., Minzatu Silvia, Iosof V. Sur les caractères pétrologiques des bauxites des monts Bihor (la région de la vallée Galbina)	216

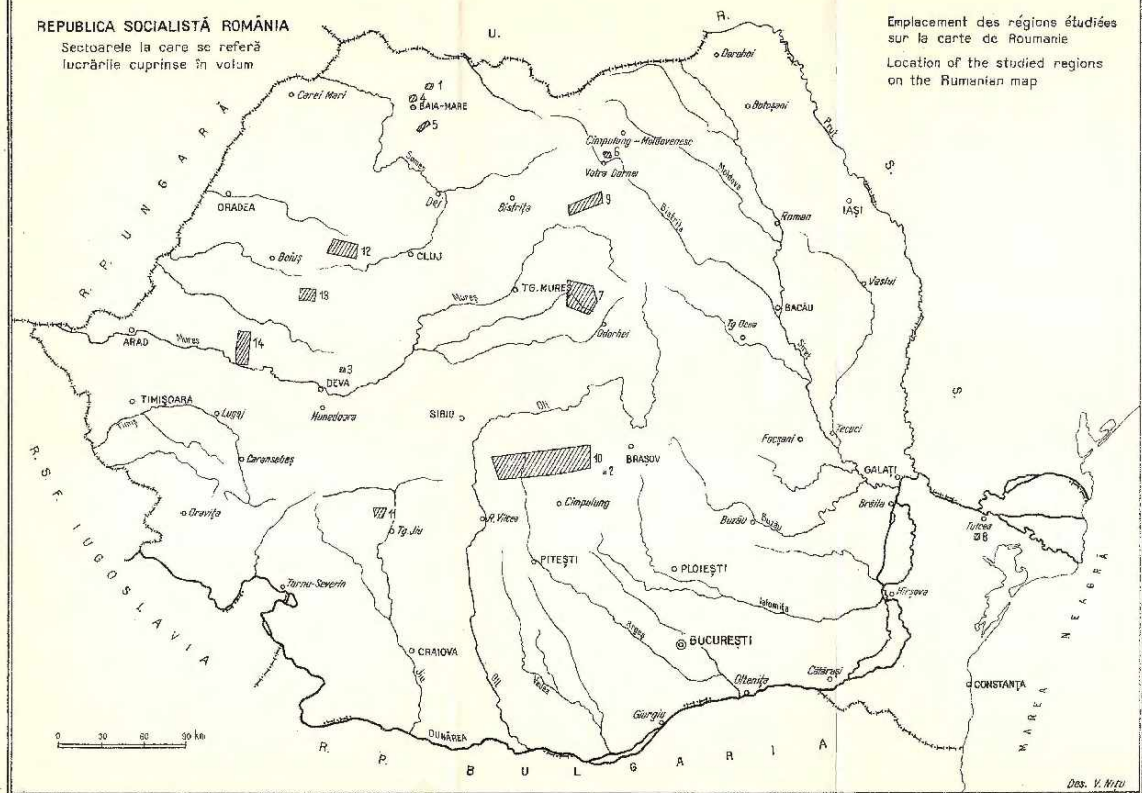
GÉOCHIMIE

14. Savu H., Vasiliu Cecilia, Udrescu Constanța. Géochimie et pétrologie des ophiolites de la première étape d'évolution du magnétisme initial alpin du massif de Drocea (Monts Apuseni)	248
--	-----



REPUBLICA SOCIALISTĂ ROMÂNIA

Sectoarele la care se referă
lucrările cuprinse în volum



Emplacement des régions étudiées
sur la carte de Roumanie
Location of the studied regions
on the Romanian map

Redactor : MARGARETA FEITZ
Tehnoredactor : P. MIHALCEA
Corectori : ELENA BANDRARUR, GEORGETA BOALEA
Traduceri : MARGARETA HĂRJEU, FLORIN CHIUTU
Illustrația : V. NITU

*Dat la vîrstă : iun. 1970. Bum de tipar : dec. 1970. Tiraj : 1.000 ex. Hărți scrise
1 A. Format 70 × 100/56 a. Coll de tipar : 16. Comanda 267. Pentru bibliotecă indicale
de clasificare : 55 (058).*

Intrreprinderea poligrafică „Informația” str. Bresculanu nr. 23-25, București –
România



Institutul Geologic al României

1

Institutul Geologic al României



Institutul Geologic al României



1. MINÉRALOGIE - PÉTROLOGIE - GÉOCHIMIE



Institutul Geologic al României